الجمهوريــة الجزائـريــة الديمقراطيــة الشعبيــة République Algérienne Démocratique et Populaire وزارة التعليــم العالــي والبحث العلمـي

Ministère de l'Enseignement Supérieur et de la Recherche Scientifique

Centre Universitaire Abdelhafid Boussouf-Mila

Institut des Sciences et de Technologie Département Génie civil et Hydraulique



N TOTO 0		
N°Ket	:	

Projet de Fin d'Etude préparé En vue de l'obtention du diplôme de MASTER

Spécialité : Génie Civil Option: Structures

Etude d'un bâtiment R+7 avec sous-sol à Mila

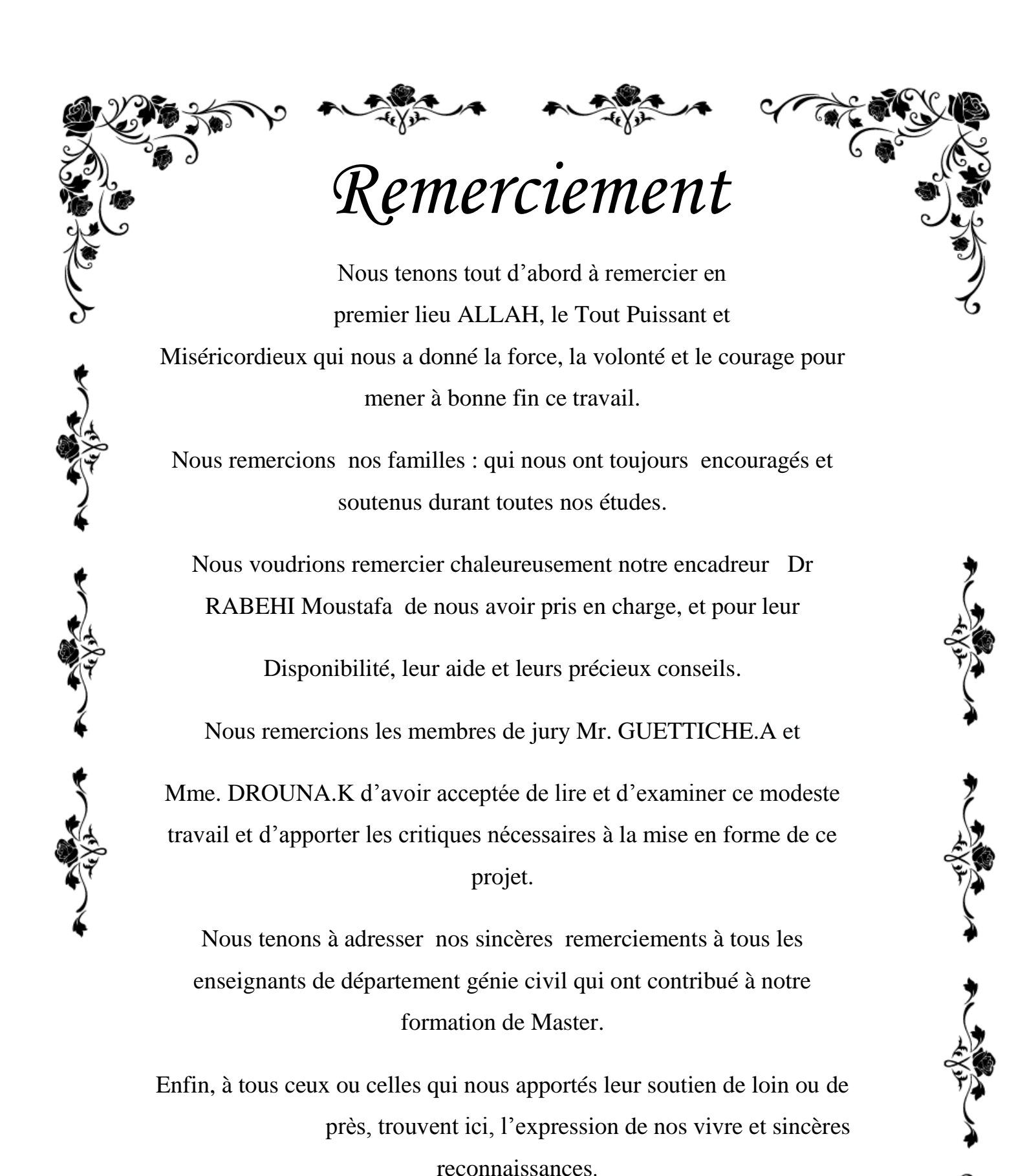
Réalisé par :

- BOUCHELOUKH Moufida
- BOUFENNECHE Rania

Soutenu devant le jury:

M. GUETTICHE Abdelheq Mme. DROUNA Karima Dr. RABEHI Moustefa Président Examinatrice Promoteur

Année universitaire : 2020/2021







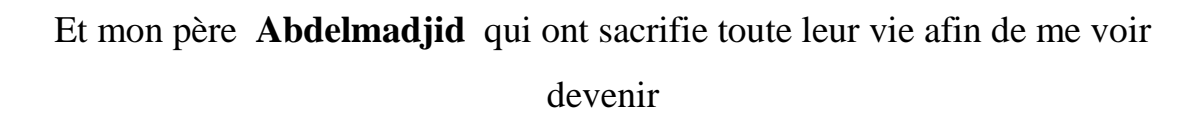


Je dédie ce modeste travail:

A mes très chers parents qui m'ont guidé

Durant les moments les plus pénibles de ce long

Chemin, ma mère Sihem



Ce que je suis, merci mes parents.

A tous mes oncles et mes tantes.

A mon cher frère FADI et sœur RADWA.

A tous ma famille BOUCHELOUKH

A tous mes amis et surtout RANIA, ROUMAISSA, HADJER.

Et à toute la promotion de génie civil : 2020/2021













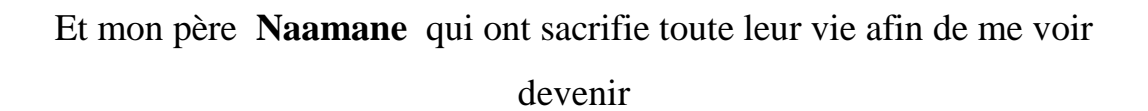


Je dédie ce modeste travail:

A mes très chers parents qui m'ont guidé

Durant les moments les plus pénibles de ce long

Chemin, ma mère Ghania



Ce que je suis, merci mes parents.

A tous mes oncles et mes tantes.

A mon cher frère NASSIM et mes sœurs Wissel et TAKWA.

A tous ma famille BOUFENNECHE

A tous mes amis et surtout MOUFIDA, ROUMAISSA, HADJER.

Et à toute la promotion de génie civil : 2020/2021











Sommaire

Introduction generale	. 1
Chapitre I : présentation de projet	
I.1 Introduction	2
I.2 Présentation de l'ouvrage	2
I.3 Données géotechniques du site	2
I.4 Caractéristique géométrique du bâtiment	3
I.5 Les éléments de l'ouvrage	7
I.5 1.Les planchers	7
I.5.2 La maçonnerie	7
I.5.3 Terrasse	7
I.5.4 Escaliers	7
I.5.5 Revêtement	7
I.5.6 L'acrotère	8
I.5.7 Ascenseur	8
I.5.8 Ossature	8
I.5.9 Balcons	9
I.5.10 Contreventement	9
I.5.11 Les façades	9
I.6 Caractéristiques des matériaux	9
I.6.1 Caractéristiques mécaniques du béton	9
I.6.1.1 Déformation du béton	12
I.6.1.2 Etat limite	14
I.6.2 Caractéristiques mécaniques de L'acier	16
I.7 Les actions et sollicitations	20
I.7.1 Les actions	20
I.7.2 Sollicitations	21
I.8 Règlements et normes utilisés	21
I.9 Conclusion	21

Chapitre II : pré dimensionnement des éléments

II.1 Introduction	23
II.2 Pré dimensionnement des éléments non structuraux	23
II.2.1 Les planchers	23
II.2.1.1 Planchers à corps creux	23
II.2.1.2 Plancher à dalle pleine	25
II.2.2 Pré dimensionnement des balcons	26
II.2.3 Pré dimensionnement des escaliers	26
II.2.4 Pré dimensionnement de L'acrotère	29
II.3 Pré dimensionnement des éléments structuraux	29
II.3.1 Pré dimensionnement des Poteaux	29
II.3.2 Pré dimensionnement des poutres	30
II.3.3 Pré dimensionnement des voiles	31
II.4 Evaluation des charges et surcharges	33
II.5 Descente de charge	37
	40
II.6 Conclusion	43
II.6 Conclusion	43
	43
Chapitre III : calcul des éléments secondaires.	
Chapitre III : calcul des éléments secondaires. III.1 Introduction	44
Chapitre III : calcul des éléments secondaires. III.1 Introduction	44
Chapitre III : calcul des éléments secondaires. III.1 Introduction III.2 Etude de l'acrotère III.2.1 Hypothèse de calcul	44 44 44
Chapitre III : calcul des éléments secondaires. III.1 Introduction	44 44 45
Chapitre III : calcul des éléments secondaires. III.1 Introduction	44 44 45 45
Chapitre III : calcul des éléments secondaires. III.1 Introduction III.2 Etude de l'acrotère III.2.1 Hypothèse de calcul III.2.2 Évaluation des charges III.2.3 Sollicitation et combinaison III.2.4 Calcul du ferraillage	44 44 45 45
Chapitre III : calcul des éléments secondaires. III.1 Introduction	44 44 45 45 46 49
Chapitre III: calcul des éléments secondaires. III.1 Introduction III.2 Etude de l'acrotère III.2.1 Hypothèse de calcul III.2.2 Évaluation des charges III.2.3 Sollicitation et combinaison III.2.4 Calcul du ferraillage III.3 Calcul des Escaliers III.3.1 Escalier type 1: étage courant	44 44 45 45 46 49
Chapitre III: calcul des éléments secondaires. III.1 Introduction III.2 Etude de l'acrotère III.2.1 Hypothèse de calcul III.2.2 Évaluation des charges III.2.3 Sollicitation et combinaison III.2.4 Calcul du ferraillage III.3 Calcul des Escaliers III.3.1 Escalier type 1: étage courant III.3.2 Escalier type 2: (RDC)	44 44 45 45 46 49 56
Chapitre III : calcul des éléments secondaires. III.1 Introduction III.2 Etude de l'acrotère III.2.1 Hypothèse de calcul III.2.2 Évaluation des charges III.2.3 Sollicitation et combinaison III.2.4 Calcul du ferraillage III.3 Calcul des Escaliers III.3.1 Escalier type 1: étage courant III.3.2 Escalier type 2 : (RDC) III.3.3 Etude de la poutre palière	44 44 45 45 46 49 56

III.4 Etude des planchers	67
III.4.1 Calcul des poutrelles	67
III.4.1.1 Disposition des poutrelles	67
III.4.1.2 Méthode de calcul	68
III.4.1.3 Calcul des charges revenant aux poutrelles	72
III.4.1.4 Choix de la méthode de calcul des sollicitations	72
III4.1.5 Les sollicitations dans les différents types des poutrelles	73
III.4.1.6 Ferraillages des poutrelles	83
III.4.2 Etude de la dalle de compression	91
III.5 Plancher en dalle pleine	91
III.5.1 Evaluation des charges	92
III.5.2 Calcul des moments	92
III.5.3 Ferraillage de la dalle	92
III.5.4 Vérification à l'ELS	94
III.6 Balcons	96
III.6.1 Evaluation des charges	96
III.6.2 Combinaison des charges	96
III.6.3 Calcul des moments	96
III.6.4 Ferraillage du balcon	97
III.6.5 Vérification à l'ELS	98
III.7 Ascenseur	99
III.7.1 Pré dimensionnement	100
III.7.2 Combinaison des charges	100
III.7.3 Calcul des efforts	100
III.7.4 Ferraillage de la dalle	101
III.7.5 Vérification à l'ELU	102
III.7.6 Vérification à l'ELS	103
III.8 Conclusion	105
Chapitre IV: Etude dynamique en zone sismique.	
IV.1 Introduction	107
IV.2 L'étude sismique	107

IV.2.1 Objective de l'étude dynamique	107
IV.2.2 Modélisation de la structure	107
IV.3 Méthodes de calcul	109
IV.3.1 Méthode statique équivalente	109
IV.3.2 Méthode dynamique modale spectrale	114
IV.3.3 Mode de vibration et taux de participation des masses	116
IV.3.4 Les modes de vibrations	117
IV.4 Vérification des résultats vis-à-vis du RPA 99/Version2003	118
IV.4.1 Vérification de l'effort tranchant à la base	118
IV.4.2 Vérification vis-à-vis des déplacements	119
IV.4.3 Justification de l'effet P- Δ	120
IV.4.4 Effort normal réduits	121
IV.4.5 Vérification au renversement	121
IV.5 Exigence du RPA/V2003 pour les systèmes mixtes	122
IV.6 Conclusion	123
Chapitre V: ferraillage des éléments structuraux	
Chapitre V: ferraillage des éléments structuraux V.1. Introduction	124
2	124 124
V.1. Introduction	
V.1. Introduction	124
V.1. Introduction	124 125
V.1. Introduction V.2 Les poutres V.2.1 Recommandation du RPA99/Version 2003 V.2.2 Ferraillage des poutres	124 125 125
V.1. Introduction V.2 Les poutres V.2.1 Recommandation du RPA99/Version 2003 V.2.2 Ferraillage des poutres V.2.2.1 Poutre principale	124 125 125 125
V.1. Introduction	124 125 125 125 130
V.1. Introduction	124 125 125 125 130 134

V.3.3.1 Vérification au flambement	143
V.3.3.2 Vérification des contraintes de cisaillement	144
V.3.4 Détermination de la zone nodale	144
V.4 Les voiles	146
V.4.1 Introduction	146
V.4.2 Les combinaisons des charges	146
V.4.3 Procédure de ferraillage des voiles	146
V.4.4 Méthode de calcul	146
V.4.5 Calcule des armatures longitudinales et transversales	149
V.4.6 Verification à l'état limite ultime (ELU)	154
V.4.7 Schéma du ferraillage	149
V.5 Conclusion	155
Chapitre VI : Etude de l'infrastructure	
VI.1 Introduction	156
VI.1 Introduction	156 156
VI.2 Reconnaissance de sol (contraint admissible)	
VI.2 Reconnaissance de sol (contraint admissible)	156
VI.2 Reconnaissance de sol (contraint admissible)	156 156
VI.2 Reconnaissance de sol (contraint admissible) VI.3 Combinaisons de calcul VI.4 Choix de type de fondation	156 156 157
VI.2 Reconnaissance de sol (contraint admissible) VI.3 Combinaisons de calcul VI.4 Choix de type de fondation VI.4.1 Vérification des semelles isolées VI.4.2 Vérification de la semelle filante	156 156 157 157
VI.2 Reconnaissance de sol (contraint admissible) VI.3 Combinaisons de calcul VI.4 Choix de type de fondation VI.4.1 Vérification des semelles isolées VI.4.2 Vérification de la semelle filante VI.4.3 Radier général	156 156 157 157 158 159
VI.2 Reconnaissance de sol (contraint admissible) VI.3 Combinaisons de calcul VI.4 Choix de type de fondation VI.4.1 Vérification des semelles isolées VI.4.2 Vérification de la semelle filante VI.4.3 Radier général VI.4.3.1 Différents types de radiers	156 156 157 157 158
VI.2 Reconnaissance de sol (contraint admissible) VI.3 Combinaisons de calcul VI.4 Choix de type de fondation VI.4.1 Vérification des semelles isolées VI.4.2 Vérification de la semelle filante VI.4.3 Radier général VI.4.3.1 Différents types de radiers VI.4.3.2 Pré dimensionnement de radier	156 156 157 157 158 159 160
VI.2 Reconnaissance de sol (contraint admissible) VI.3 Combinaisons de calcul VI.4 Choix de type de fondation VI.4.1 Vérification des semelles isolées VI.4.2 Vérification de la semelle filante VI.4.3 Radier général VI.4.3.1 Différents types de radiers VI.4.3.2 Pré dimensionnement de radier VI.4.3.3 Les vérifications	156 157 157 158 159 160 160
VI.2 Reconnaissance de sol (contraint admissible) VI.3 Combinaisons de calcul VI.4 Choix de type de fondation VI.4.1 Vérification des semelles isolées VI.4.2 Vérification de la semelle filante VI.4.3 Radier général VI.4.3.1 Différents types de radiers VI.4.3.2 Pré dimensionnement de radier VI.4.3.3 Les vérifications VI.4.3.4 Ferraillage du radier	156 156 157 157 158 159 160 160 162 165
VI.2 Reconnaissance de sol (contraint admissible) VI.3 Combinaisons de calcul VI.4 Choix de type de fondation VI.4.1 Vérification des semelles isolées VI.4.2 Vérification de la semelle filante VI.4.3 Radier général VI.4.3.1 Différents types de radiers VI.4.3.2 Pré dimensionnement de radier VI.4.3.3 Les vérifications	156 156 157 157 158 159 160 160

VI.5.1 Introduction	172
VI.5.2 Dimensionnement du mur	173
VI.5.3 Evaluation des charges et surcharges	173
VI.5.4 Ferraillage	174
VI.5.5 Vérification à l'ELU	174
VI.5.6 Vérification à l'ELS	175
VI.6 Conclusion	176
Conclusion générale	177

Référence bibliographique

Annexes

Liste des tableaux

Chapitre I : généralités

Tableau I.1 : Classification selon la masse volumique ρ	10
Tableau I.2 : Les classes de consistance du béton selon cône d'Abram	10
Tableau I.3 : Différents types d'aciers	17
Chapitre II : pré dimensionnement des éléments.	
Tableau II.1 : Charge permanente et surcharge d'exploitation revenant à l'acrotère	25
Tableau II.2 : évaluation des charges du plancher étage terrasse inaccessible en corps	
creu	33
Tableau II.3 : évaluation des charges du plancher étage courant en corps creux	34
Tableau II.4 : évaluation des charges du plancher dalle pleine RDC	34
Tableau II.5 : évaluation des charges du plancher dalle pleine S-SOL	35
Tableau II.6 : évaluation des charges du balcon	35
Tableau II.7: évaluation de la charge permanente des murs extérieurs	36
Tableau II.8 : évaluation des charges du palier de repos	36
Tableau II.9 : évaluation des charges de la volée 1	37
Tableau II.10 : évaluation des charges de la volée 2	37
Tableau II.11 : la descente de charge de poteau	40
Tableau II.12 : Résultat des vérifications au flambement	43
Chapitre III : Calcul des éléments secondaires.	
Tableau III.1 : Les sollicitations de l'acrotère	46
Tableau III.2 : Les combinaisons des charges d'escalier type 1	50
Tableau III.3 : Tableau récapitulatif des sollicitations de Volée 01	53
Tableau III.4 : Ferraillage des escaliers	54
Tableau III.5 : Les armatures de répartition	54
Tableau III.6 : Vérification des contraintes à l'ELS	55
Tableau III.7 : Les combinaisons des charges d'escalier type 2	57
Tableau III.8 : Tableau récapitulatif des sollicitations de Volée 02	60
Tableau III.9 : Ferraillage des escaliers	61

Tableau III.10 : Les armatures de répartition	61
Tableau III.11 : Vérification des contraintes à l'ELS	62
Tableau III.12 : Tableau récapitulatif de ferraillage de la poutre palière	65
Tableau III.13 : Vérification des contraintes à l'ELS	66
Tableau III.14: Sollicitation a l'ELU (poutrelle type 1 (terrasse inaccessible))	73
Tableau III.15: Sollicitation a l'ELS (poutrelle type 1 (terrasse inaccessible))	73
Tableau III.16: Sollicitation a l'ELU (poutrelle type 2 (terrasse inaccessible))	75
Tableau III.17: Sollicitation a l'ELS (poutrelle type 2 (terrasse inaccessible))	75
Tableau III.18 : Terrasse inaccessible cas de l'E.L.U	77
Tableau III.19 : Terrasse inaccessible cas de l'E.L.S	78
Tableau III.20 : Sollicitation a l'ELU (poutrelle type 1 (étage courant))	79
Tableau III.21 : Sollicitation a l'ELS (poutrelle type 1 (étage courant))	79
Tableau III.22 : Sollicitation a l'ELU (poutrelle type 2 (étage courant))	81
Tableau III.23 : Sollicitation a l'ELS (poutrelle type 2 (étage courant))	81
Tableau III.24 : Sollicitations maximales dans les différents types de poutrelles	83
Tableau III.25 : Calcul du ferraillage des poutrelles	85
Tableau III.26 : Vérification a l'ELU	88
Tableau III.27 : Vérification a l'ELS	89
Tableau III.28: Vérification des flèches	90
Tableau III.29 : Ferraillage de dalle pleine	93
Tableau III.30 : Vérification a l'ELS	95
Tableau III.31: Ferraillage de dalle pleine	97
Tableau III.32 : Vérification des contraintes à l'ELS	99
Tableau III.33 : Tableau récapitulatif des résultats de ferraillage	101
Tableau III.34 : Vérification des contraintes de la dalle en travée et sur appuis dans	les 2
sens	103
Tableau III.35 : Vérification des contraintes dans l'acier de la dalle en travée et sur	
appuis dans les 2 sens	103

Chapitre IV: Etude dynamique en zone sismique.

Tableau IV.1 : Coefficient d'accélération de zone	110
Tableau IV.2 : Valeur de facteur de qualité	111
Tableau IV.3 : Valeurs du coefficient de pondération β	112
Tableau IV.4 : Valeurs du coefficient d'amortissement suivant le système structurel	112
Tableau IV.5 : Les valeurs du coefficient C _T	113
Tableau IV.6 : Valeurs des périodes caractéristiques T1, T2	113
Tableau IV.7 : Modes propres, Périodes propres et Masses effectives	117
Tableau IV.8 : Vérification de l'effort tranchant à la base	119
Tableau IV.9 : Vérification des déplacements relatifs selon X-X	119
Tableau IV.10 : Vérification des déplacements relatifs selon Y-Y	119
Tableau IV.11 : Vérification de l'effet P-Δ selon le sens X-X	120
Tableau IV.12 : Vérification de l'effet P-Δ selon le sens Y-Y	120
Tableau IV.13 : Vérification d'effort normal réduit des poteaux	121
Tableau IV.14 : Moment de renversement provoqué parles charges horizontales	
sens (x)	122
Tableau IV.15 : Moment de renversement provoqué parles charges horizontales	
sens (y)	122
Chapitre V: ferraillage des éléments structuraux	
Tableau V.1 : Sollicitations de la poutre principale	125
Tableau V.2 : Ferraillage des poutres principales	127
Tableau V.3 : Vérification des contraintes à l'ELS de poutres principales	129
Tableau V.4 : Sollicitations de la poutre secondaire	130
Tableau V.5 : Ferraillage des poutres secondaires	131
Tableau V.6 : Vérification des contraintes à l'ELS de poutres principales	133
Tableau V.7 : Caractéristiques mécaniques des matériaux	135
Tableau V.8 : Sollicitations dans les poteaux	137
Tableau V.9 : Ferraillage des poteaux	142
Tableau V 10 · Armatures transversales adontées nour les noteaux	143

Tableau V.11 : Vérification des poteaux au flambement	144
Tableau V.12 : Vérification aux sollicitations tangentielles	144
Tableau V.13 : Caractéristique géométrique des voiles	150
Tableau V.14 : Calcul des sections d'armatures verticale pour RDC, étage 1, étage 2,	
étage 3	151
Tableau V.15 : Calcule des sections d'armatures verticale pour étage 4, étage 5, étage 6,	
étage 7	152
Tableau V.16 : Choix des armatures verticales pou RDC, étage 1, étage 2, étage 3	153
Tableau V.17 : Choix des armatures verticales pour étage 4, étage 5, étage 6, étage 7	153
Tableau V.18 : Choix des armatures horizontal pour RDC, étage 1, étage 2, étage 3	154
Tableau V.19 : Choix des armatures horizontal pour étage 4, étage 5, étage 6, étage 7	154
Tableau V.20 : Calcule et Vérification la contrainte de de cisaillement	155
Chapitre VI : Etude de l'infrastructure	
Chapitre VI : Etude de l'infrastructure Tableau VI.1: Section d'armateur du radier à l'ELU	166
•	166 166
Tableau VI.1: Section d'armateur du radier à l'ELU	
Tableau VI.1: Section d'armateur du radier à l'ELU	166
Tableau VI.1: Section d'armateur du radier à l'ELU	166 167
Tableau VI.1: Section d'armateur du radier à l'ELU	166 167 169
Tableau VI.1: Section d'armateur du radier à l'ELU	166 167 169 169
Tableau VI.1: Section d'armateur du radier à l'ELU	166 167 169 169
Tableau VI.1: Section d'armateur du radier à l'ELU	166 167 169 169 169
Tableau VI.1: Section d'armateur du radier à l'ELU	166 167 169 169 169 169
Tableau VI.1: Section d'armateur du radier à l'ELU	166 167 169 169 169 170
Tableau VI.1: Section d'armateur du radier à l'ELU	166 167 169 169 169 170 170

Listes des figures

Chapitre I : généralités

Figure I.1: Situation géographique de l'ouvrage	2
Figure I.2: Coupe en élévation	3
Figure I.3: Vue de façade principale	4
Figure I.4: Vue de façade postérieure	4
Figure I.5: Vue en plan de sous-sol	5
Figure I.6: Vue en plan de terrasse	5
Figure I.7: Vue en plan de RDC	6
Figure I.8: Vue en plan des autres étages	6
Figure I.9: Essai de compression	11
Figure I.10: Shéma de traction par fendage	12
Figure I.11: Shéma de traction par flexion	12
Figure I.12: Courbe de déformations instantanées (à court terme) du béton	13
Figure I.13: Diagramme contrainte-déformation du béton	15
Figure I.14: Bloc de contrainte rectangulaire simplifié adopté par le BAEL	16
Figure I.15: Diagramme de déformation du béton	16
Figure I.16: Diagramme expérimentale contrainte-déformation de l'acier	19
Figure I.17: Diagramme de calcule contrainte-déformation de l'acier	20
Chapitre II : pré dimensionnement des éléments.	
Figure II.1 : Coupe verticale d'un plancher à corps creux	24
Figure II.2 : Schéma d'une section en T	24
Figure II.3: Dimensions de la section en T	25
Figure II.4: Les composants de l'escalier	27
Figure II.5: Schéma d'escalier de l'étage courant	27
Figure II.6: Schéma d'escalier de RDC	28
Figure II.7: Schéma réel et statique de l'acrotère	29
Figure II.8: Coupe de voile en élévation	32
Figure II.9 : Coupes de voiles en plan	32
Figure II.10: Plancher terrasse inaccessible	32
Figure II.11: Détail des constituants du plancher étage courant en corps creu	33

Figure II.12: Détail des constituants du plancher en dalle pleine	34
Figure II.13: Constituants d'un mur extérieur	35
Figure II.14: Constituante d'un mur intérieur	36
Figure II.15: La surface afférente du poteau la plus sollicité	39
Chapitre III : calcul des éléments secondaires.	
Figure III.1: Modèle de calcul de l'acrotère	44
Figure III.2 : Coupe transversale de l'acrotère	44
Figure III.3: Section de l'acrotère à ferrailler	46
Figure III.4: Schéma de ferraillage de l'acrotère	49
Figure III.5: Diagramme des moments et des efforts tranchants en E.L.U	53
Figure III.6: Diagramme des moments en E.L.S	53
Figure III.7: Section d'escalier à ferrailler	54
Figure III.8: Diagramme des moments et des efforts tranchants en E.L.U	60
Figure III.9: Diagramme des moments en E.L.S	60
Figure III.10: Section d'escalier à ferrailler	61
Figure III.11: Schéma statique de la poutre palière	63
Figure III.12: Schéma de ferraillage d'escalier type 1	66
Figure III.13: Schéma de ferraillage de poutre palière	66
Figure III.14: Schéma de ferraillage d'escalier type 2	67
Figure III.15: Schéma d'une poutrelle	67
Figure III.16 : Moments sur une poutre à deux travées	69
Figure III.17 : Moments sur une poutre à plus de deux travées	69
Figure III.18 : Diagramme des efforts tranchants d'une poutre à 2 travées	70
Figure III.19: Diagramme des efforts tranchants d'une poutre plusieurs travée	70
Figure III.20: Paramètres utilisées dans la méthode de Caquot	71
Figure III.21: Evaluation des moments et efforts tranchants type 01	74
Figure III.22: Evaluation des moments et efforts tranchants type 02	76
Figure III.23: Evaluation des moments et efforts tranchants type 03	79
Figure III.24:Evaluation des moments et efforts tranchants type 01	80
Figure III.25:Evaluation des moments et efforts tranchants type 02	82
Figure III.26: Evaluation des moments et efforts tranchants type 03	83

Figure III.27 : Les schémas de ferraillages des poutrelles	90
Figure III.28: Schéma de ferraillage de la dalle de compression	91
Figure III.29: Disposition constructive des armatures de balcon	99
Figure III.30: Ferraillage de la dalle machine	105
Chapitre IV: Etude dynamique en zone sismique.	
Figure IV.1: Modélisation 3D de la structure	109
Figure IV.2: Diagramme de spectre de réponse	116
Figure IV.3: Plans de disposition des voiles	116
Figure IV.4: Mode 1 de déformation (translation suivant l'axe Y-Y)	117
Figure IV.5: Mode 2 de déformation (translation suivant l'axe X-X)	118
Figure IV.6: Mode 3 de déformation (rotation suivant Z-Z)	118
Chapitre V: ferraillage des éléments structuraux	
Figure V.1: Schéma de ferraillage des poutres principales	130
Figure V.2: Schéma de ferraillage des poutres secondaires	134
Figure V.3: Zone nodale	136
Figure V.4: Section du poteau à ferrailler	138
Figure V.5: Schéma de ferraillage des poteaux (35*35)	145
Figure V.6: Schéma de ferraillage des poteaux (35*45)	146
Figure V.7: Section entièrement comprimée	147
Figure V.8: Section entièrement tendu	147
Figure V.9: Section partiellement comprimé	148
Figure V.10: Schéma de ferraillage des voiles	155
Chapitre VI : Etude de l'infrastructure	
Figure VI.1: Semelle isolé	158
Figure VI.2: Semelle filante	158
Figure VI.3: Schéma du radier	160
Figure VI 4. Coffrage du radier	161

Figure VI.5: Schéma de Ferraillage du radier	167
Figure VI.6: Chargement de la nervure intermédiaire dans le sens X-X	168
Figure VI.7: Chargement de la nervure intermédiaire dans le sens Y-Y	168
Figure VI.8 : Ferraillages des nervures	172
Figure VI.9: Schéma statique d'un voile périphérique	173
Figure VI.10: Schéma de ferraillage du voile périphérique	176

Symboles et Notations

Majuscules romaines

A : Section d'acier tendu.

A': Section d'acier comprimé.

A max, Amin: Section d'acier maximale et minimale.

At: Section d'acier transversale.

B: Aire du béton.

Br: Section réduite du béton d'un poteau.

Bt: Section de la partie tendue.

Lt: Largeur de la section tendue.

E.L.S: Etat Limite de Service.

E.L.U: Etat Limite Ultime.

S.P.C : Section partiellement comprimée.

S.E.C: Section entièrement comprimée.

S.E.T: Section entièrement tendue.

Evj : Module de déformation longitudinale différée du béton.

Eij: Module de déformation longitudinale instantanée du béton.

G: Module d'élasticité transversale.

Es : Module de déformation longitudinale de l'acier.

I: Moment d'inertie.

Ie: Moment d'inertie équivalent.

M: Moment fléchissant.

M0: Moment isostatique.

Mt : Moment fléchissant en travée d'une poutre.

Ma : Moment fléchissant en appui d'une poutre.

Mu: Moment fléchissant à l'E.L.U.

Mser: Moment fléchissant à l'E.L.S.

N : Effort normal.

Nser: Effort normal à l'E.L.S.

Nu: Effort normal ultime.

Tu: Effort tranchant ultime.

Tw: Effort tranchant à gauche.

Te: Effort tranchant à droite.

Tser: Effort tranchant à l'E.L.S.

F: Effort de traction.

G : Charge permanente.

Q: Charge d'exploitation.

E : Charge sismique.

R : Coefficient de comportement globale.

T1, T2 : période caractéristique, associé à la catégorie du site.

HN : Hauteur mesurée en mètre à partir de la base de la structure jusqu'au dernier niveau.

Minuscules romaines

h: Hauteur de la section du béton.

b : Largeur de la section du béton.

b0 : Largeur de la nervure du béton (section en Té).

c1, c2, c, c' : Enrobage supérieur et inférieur.

d: Hauteur utile d'une section.

ep: épaisseur.

a : épaisseur du voile.

Fbu: Contrainte de compression du béton à l'E.L.U.R.

fcj: Résistance caractéristique du béton à la compression à « j » jours.

fc28: Résistance caractéristique du béton à la compression à « 28 » jours.

fe: Limite d'élasticité de l'acier.

ftj: Résistance conventionnelle de la traction du béton à « j » jours.

ft28 : Résistance conventionnelle de la traction de béton à «28 » jours.

i: Rayon de giration.

lf : Longueur de flambement.

St: Espacement d'armature transversale.

Srep: Espacement de répartition.

Majuscules grecques

 Σ : sommation.

Φ: Diamètre nominal d'une barre d'aciers.

W: poids.

α : Coefficient fonction de l'élancement du poteau.

γ : Coefficient de sécurité.

ε: Déformation relative.

 $\boldsymbol{\eta}$: Coefficient de fissuration.

 $\boldsymbol{\lambda}$: Élancement mécanique.

 $\boldsymbol{\mu}$: Coefficient de frottement.

v : Coefficient de POISSON.

 σ : Contrainte normale.

 $\boldsymbol{\tau}$: Contrainte tangentielle.

Autres notations

C.V: Condition vérifiée.

C.N.V: Condition non vérifiée.

RDC: rez-de-chaussée.

Résumé

Ce projet présent une étude détaillée d'un bâtiment à usage multiple, est constitué de rez de chaussée plus sept étages.

La structure est implanté dans la wilaya de MILA, classée comme une zone de moyenne sismicité (zone IIa) selon le Règlement Parasismique Algérien99 version 2003.

Le but de l'étude est d'atteindre la stabilité et la durabilité de la structure, passé par plusieurs étapes : commencez par le calcul de pré dimensionnement et descente de charge jusqu' aux les fondations.

Nous utilisons le logiciel de robot Autodesk 2014 pour connaître les sollicitations, le reste de calcul a été effectuée manuellement, selon les réglementations :

DTR C2.2, BAEL91 et le RPA99v2003.

ملخص

يعرض هذا المشروع دراسة تفصيلية لمبنى متعدد الاستعمالات, يتألف من طابق أرضي زائد سبع طوابق علوية. علوية

الهدف من هذه الدراسة هو تحقيق الاستقرار و الديمومة للمبنى, و تمت هذه الدراسة عبر مراحل: انطلاقا من حساب الأبعاد الأولية و التوزيع الكتلي إلى حساب الأساسات.

اعتمدنا على برنامج RobotAutodesk 2014 لمعرفة العزم و قوى القص..., أما باقي الحساب فقد تم يدويا و فق المعايير و الأنظمة:

le RPA99v2003 و DTR C2.2, BAEL91

Abstract

This project presents a detailed study of a residential building, consists of ground floor plus seven floors.

The structure is located in the willaya of MILA, classified as a zone of moderate seismicity (zone IIa) according to the Algerian Parasismic codes 99 version 2003.

The aim of the study is to reach the stability and sustainability of the structure, going through several stages: start with the calculation of pre-dimensioning and lowering of the load up to the foundations.

We used the Robot Autodesk 2014 software to know the solicitations; the rest of computation was carried out manually, according to the codes:

DTR C2.2, BAEL91 and the RPA99v2003.

Introduction Générale

Tout comme d'autres catastrophes naturelles, les séismes sont des phénomènes

Complexes et fortement endommageant, ils ont des manifestations spectaculaires etdévastatrices. Le phénomène sismique est toujours le souci de l'ingénieur en génie civil car il est difficile d'apprécier le risque sismique tant la prévision est incertaine et leur apparition aléatoire. On ne connaît les phénomènes sismiques que de manière imparfaite et seuls des séismes majeurs incitent la population à une prise de conscience générale.

A cet effet l'ingénieur en génie civil est censé concevoir des édifices de manière à faire face à ce phénomène (construction parasismique), il doit en outre tenir compte de différents facteurs tels que l'économie, l'esthétique, la résistance et surtout la sécurité.

Dans l'analyse et le dimensionnement des structures, l'ingénieur doit appliquerle règlement afin d'assurer le bon fonctionnement de l'ouvrage, son choix du systèmede contreventement dépend de certaines considérations à savoir la catégorie du site, lahauteur et l'usage de la construction ainsi que les contraintes architecturales. Le projet qui nous a été confié dans le cadre de la préparation de notre projet de fin d'étude porte sur l'étude d'un bâtiment (R+7+sous sol) à usage multiple. Il est contreventé par un système mixte (voiles-portiques) étant donné qu'il est situé en zone IIa.

Les calculs ont été menés en respectant les différents codes de calcul et de conception des structures du génie civil, notamment CBA93, BAEL91, RPA99.

Chapitre I présentation de projet

I.1 Introduction

L'ingénieur civil doit être conscient de ce qui est nécessaire pour étudier un bâtiment en béton armé, en plus de certaines exigences de base pour obtenir une structure sécuritaire, durable et économique.

Nous consacrons donc ce chapitre à quelques rappels et descriptions de ce projet à étudier.

Tous les calculs sont effectués conformément aux règlements en vigueur, à savoir :

- ➤ BAEL 91 modifiée en 99 et CBA93.
- > RPA99 version 2003.

I.2 Présentation de l'ouvrage

Le projet consiste à l'étude et le calcul des éléments résistance d'un bâtiment (r + 7 + sous-sol) a usage multiple constitué de:

- Un rez-de-chaussée(RDC) à usage commercial.
- du 1er au 7éme étage à usage d'habitation (chaque étage contient 4 logements de type F3).
- un sous-sol à usage parking.
- une terrasse inaccessible.

I.3 Données géotechniques du site

Cet ouvrage, est implanté à willaya de Mila classé selon le RPA 99 version 2003 comme zone de moyenne sismicité (Zone IIa). Sa hauteur totale est inférieur à 48 mètres ce qui nous conduit à le classer d'après le règlement parasismique algérien RPA 99/version 2003 « article 3.2 » dans le groupe d'usage 2.

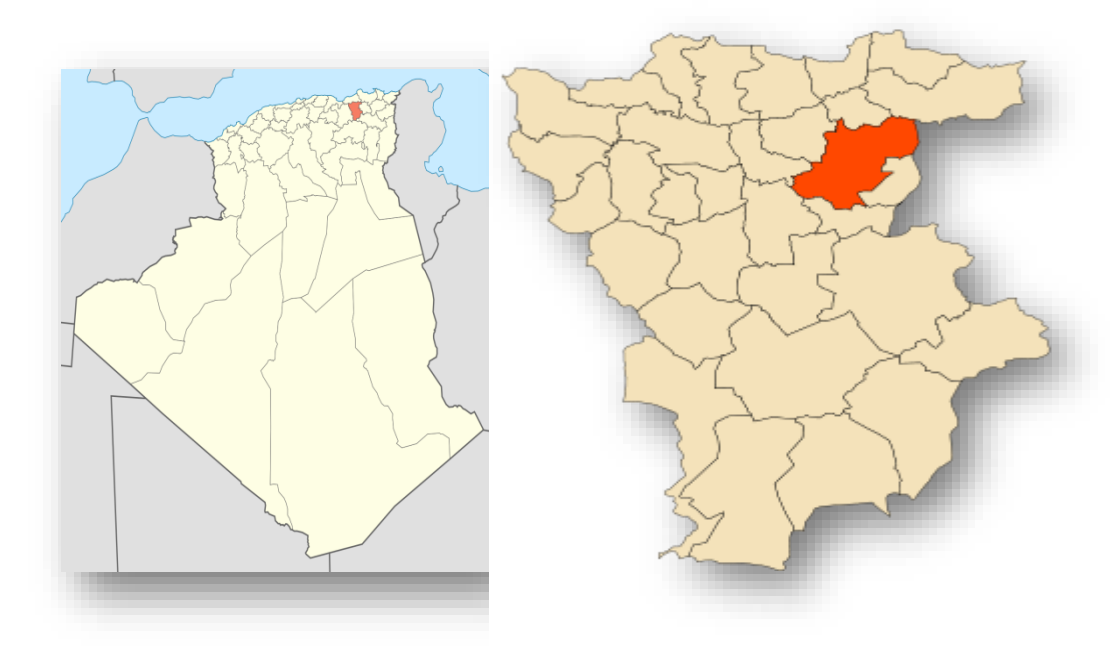


Figure I.1: Situation géographique de l'ouvrage.

Le site est considéré comme un sol ferme (S2), avec les caractéristiques suivantes :

- La contrainte du sol est σ sol = 1.5 bar
- L'ancrage minimal des fondations D= 1.5 m
- Le poids spécifique de terre $\gamma = 1.8t / m^3$

I.4 Caractéristique géométrique du bâtiment

> Dimension en élévation

- La hauteur totale du bâtiment par rapport au niveau 0.00 (sans acrotère) →28.56 m

- La hauteur de sous-sol
- La hauteur de RDC
- La hauteur de chaque étage
→3.57 m
→3.57 m
→3.06 m

> Dimension en plan

- La longueur en plan

- La largeur en plan

→ 19.5 m

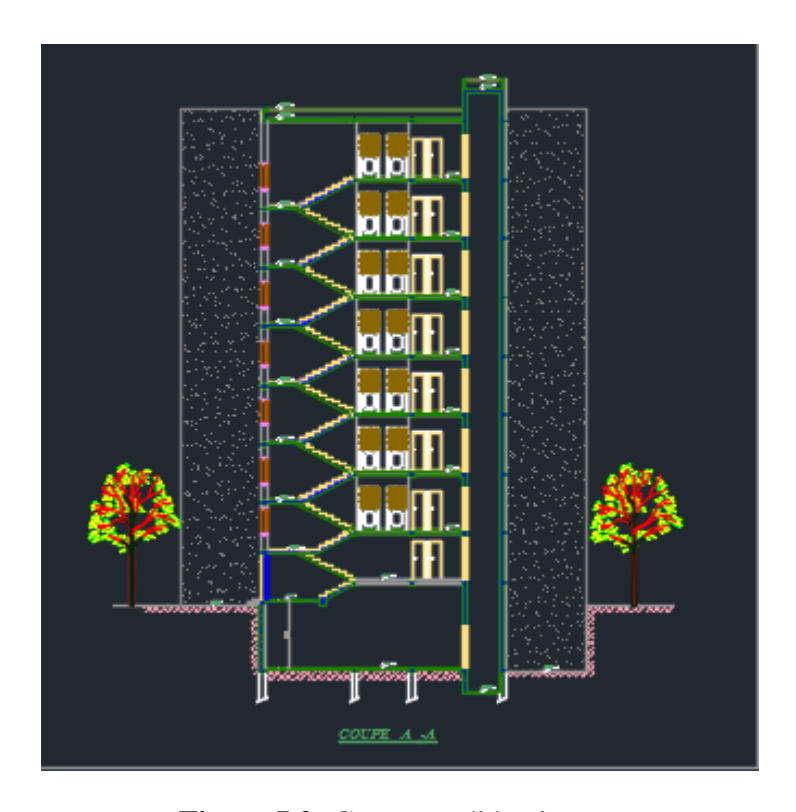


Figure I.2: Coupe en élévation.



Figure I.3: Vue de façade principale.



Figure I.4: Vue de façade postérieure.

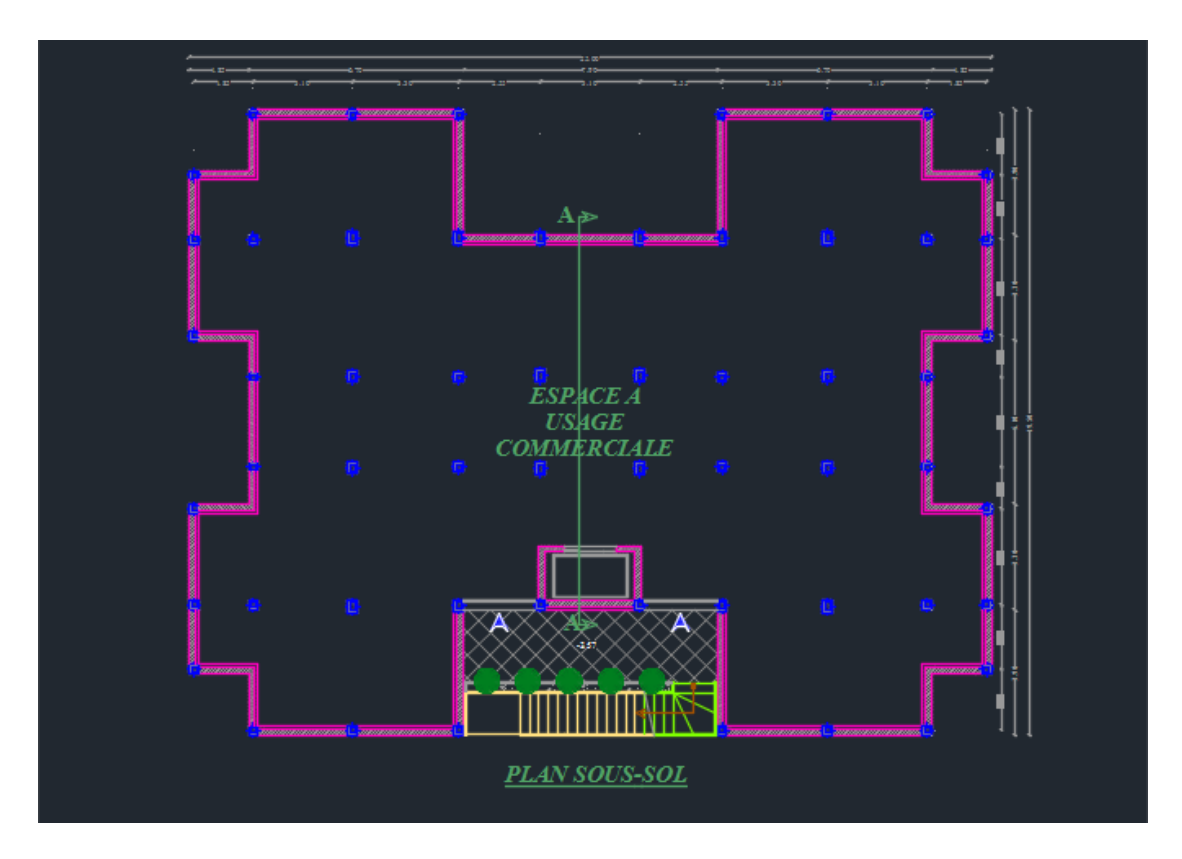


Figure I.5: Vue en plan de sous-sol.



Figure I.6: Vue en plan de Terrasse.

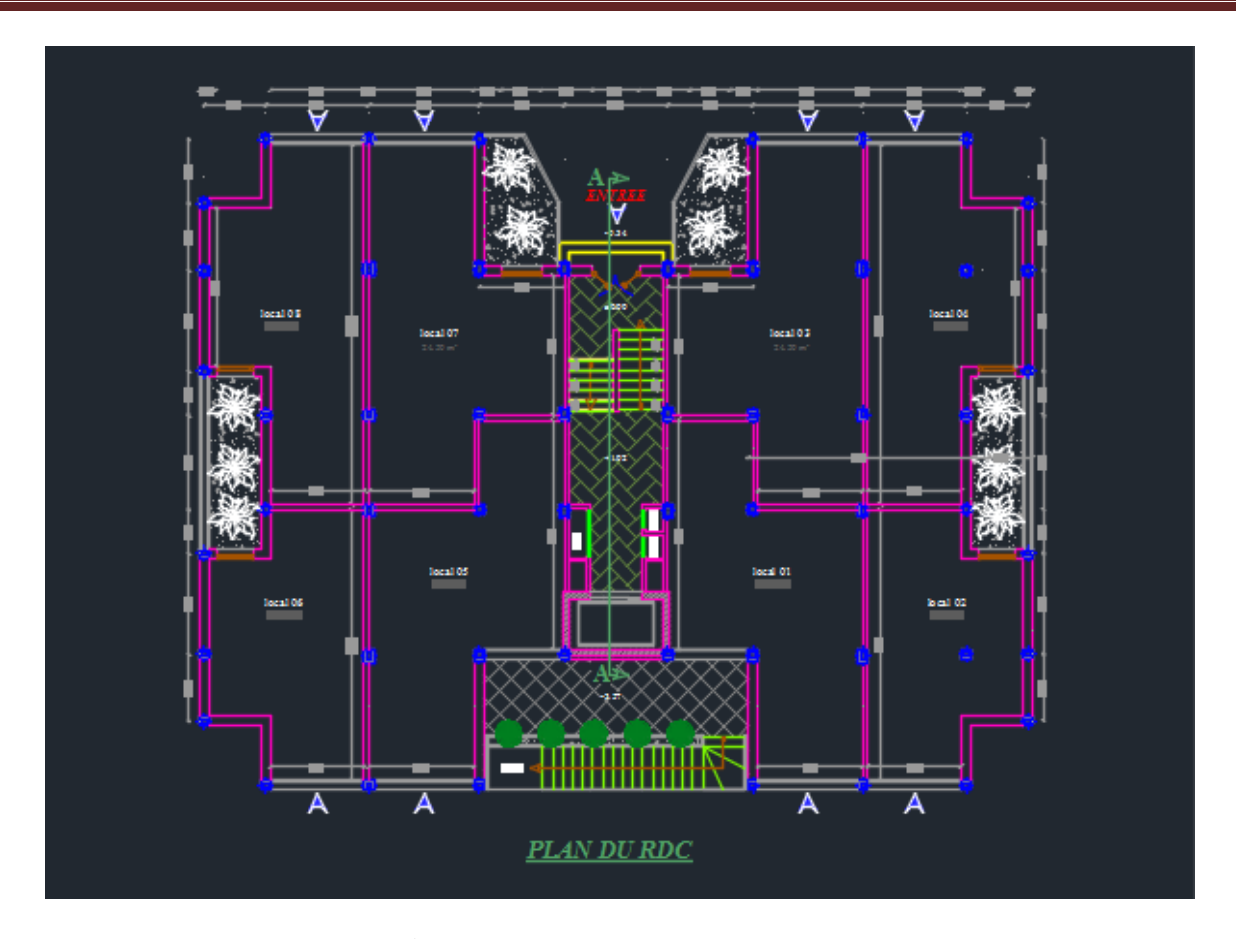


Figure I.7: Vue en plan de RDC.



Figure I.8: Vue en plan des autres étages.

I.5 Les éléments de l'ouvrage

Les planchers

La plancher est une surface horizontale séparant deux niveaux successifs dans une construction, qui ont deux fonctions principales qui sont la séparation des différents niveaux et de reprendre les différentes charges et surcharges, il a d'autres fonctions très importantes relatives au confort thermique et acoustique, à la sécurité protection incendie et à l'esthétique, sans oublier le rôle technique de support de canalisations et réseaux divers, dans notre projet on a opté pour (02) deux types de plancher :

- ➤ Plancher en corps creux (hourdis + table de compression reposant sur des poutrelles) pour les différents étages (RDC +7 étages).
- ➤ Plancher dalle pleine pour le sous- sol.

La maçonnerie

La maçonnerie est l'art de la construction de bâtiments en assemblant des matières premières, et cela se fait en utilisant la brique creuse.

Dans ce cas, nous utilisons:

- Les murs extérieurs seront en double cloison :
 - Brique creuse de 15 cm d'épaisseur.
 - L'âme d'air de 5 cm d'épaisseur.
 - Brique creuse de 10 cm d'épaisseur.
- Les murs de séparations intérieurs : seront réalisés en brique creuse de 10 cm.

Terrasse

La terrasse est inaccessible sauf pour entretien avec un acrotère périphérique en béton armé de 60 cm de hauteur.

Escaliers

La structure contient un escalier, et se compose:

- trois volées et deux paliers de repos pour le sous-sol et RDC.
- deux volées et un palier de repos pour le 1^{er} étage au 7 ème étage.

Revêtement

Un revêtement a pour but d'améliorer les propriétés de surface d'un objet. Par exemple, les revêtements peuvent servir pour préserver ou accroître l'apparence, l'adhésion, la résistance à la corrosion, la mouillabilité ou ajuster les propriétés de surface de l'objet considéré face aux contraintes mécaniques et aux différents éléments de l'environnement extérieur.

Ils seront réalisés:

- En carrelage pour les planchers et les escaliers et la céramique pour les salles d'eau.
- Mortier de ciment pour les murs de façade.
- En plâtre pour les cloisons intérieures et les plafonds.
 - Pour la terrasse:
- Protection gravillon.
- Etanchéité multicouche.
- Forme de pente.
- Polystyrène.
- Enduit en plâtre.

L'acrotère

L'acrotère est un relief constitué par un mur et situé en bordure de la toiture, dans le prolongement de ses murs de façade.

Généralement en béton armé, ce petite mur et de 60 ou 50 cm de hauteur et 10 cm d'épaisseur, permet de coller une étanchéité à chaud côté extérieur et possède des passager pour l'évacuation des eaux de pluie.

Ascenseur

C'est un appareil automatique élévateur installé, comportant une cabine dont les dimensions et la constitution permettant l'accès des personnes et de matériels aux différents niveaux du bâtiment.

Ossature

Quand on parle d'ossature, on parle de la stabilité de toute la structure, pour cela il faut que celle-ci soit bien capable de reprendre toutes les sollicitations auxquelles elle sera soumise.

Pour assurer cette fonction il faut opter pour avoir un comportement harmonique entre tous les éléments qui constituent cette ossature. Dans notre cas on a 3 éléments principaux :

- Les poteaux qui sont destiné à porter les charges verticales de l'ouvrage et les transmettre aux fondations qui a leur tour les transmettront au sol.
- Les poutres qui sont destinée à transmettre les charges de chaque niveau au poteau adjacent.
- Les voiles qui sont destinés à reprendre les sollicitations horizontales telles que le séisme et le vent.

Balcons

Par définition le balcon est une saillie pratiquée sur la façade d'un bâtiment et entourée D'une balustrade. Dans notre cas on aura des balcons forme géométrique simple et le type de balcon sera en dalle pleine.

Contreventement

L'ouvrage question de l'étude rentre dans le cadre de l'application du RPA99 version 2003, d'après les conditions de l'article (4-b) pour les structures en béton armé.

Donc on adopte Système de contreventement de structures en portiques, par des voiles en béton armé.

Les façades

Les façades sont réalisées en double cloison par des éléments de briques comportant des ouvertures pour fenêtres à certains endroits.

I.6 Caractéristiques des matériaux

Le calcul des ouvrages en béton armé est effectué à partir d'hypothèses des études qui tiennent compte en particulier des caractéristiques : physiques, chimiques et mécaniques des matériaux (béton, acier).

Les caractéristiques des matériaux concernent :

- les résistances caractéristiques à la compression et à la traction.
- Les déformations (allongement et raccourcissement).
- Les diagrammes déformations.

I.6.1 Caractéristiques mécaniques du béton

a) Définition de béton

Le béton est un matériau hétérogène, constitué par un mélange de proportion convenables des granulats (sable, graviers), de ciment, avec l'eau et l'adjuvant si c'est nécessaire.

Le mariage du béton et de l'acier la majorité du béton produit est employé en association avec des armatures en acier. Est appelé béton armé.

Le rôle fondamental du béton dans une structure est de reprendre les efforts de compression.

Les Quantités courantes du béton par m³ sont :

×	Ciment	.dosé	à	350kg/m^3
---	--------	-------	---	---------------------

$$\blacksquare$$
 Sable...... $0 < D < 5 \text{mm} \rightarrow 400 \text{ L}$

Eau.....180 L

a.1 Classifications du béton

La classification du béton est fondée sur plusieurs paramètres, dont les plus importants sont : la masse volumique, la consistance, la résistance à la compression.

\checkmark classification selon la masse volumique (ρ): on distingue les classes suivantes:

Tableau I.1: Classification selon la masse volumiquep

Classes de béton	Masse volumique ρ en kg /m ³
Béton très lourd	$ ho \geq 2500$
Béton lourd	1800≤ ρ< 2500
Béton léger	500≤ ρ< 1800
Béton très léger	$\rho < 500$

✓ **classification selon la consistance :** on distingue les classes suivantes :

Tableau I.2: Les classes de consistance du béton selon cône d'Abram.

Classes de consistance	Désignations	Affaissement au cône d'Abram (cm)
Ferme	F	0 à 4
Plastique	P	5 à 9
Très plastique	TP	10 à 15
Fluide	FL	> 16

✓ Classification selon la résistance à la compression: on distingue pour les ouvrages courants :

Les classes de béton suivantes : B200, B250, B300, B350, B400, etc.... on entend par B250, par exemple un béton de résistance à la compression égale à 250 bars.

b) Résistance à la compression "CBA.93 (A.2.1, 11)"

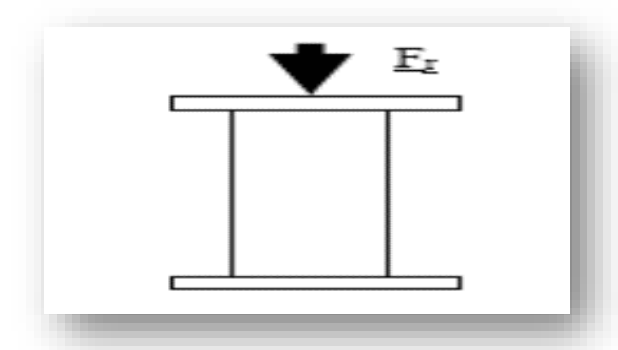
Le béton est définit par sa contrainte déterminée à 28 jours d'âges noté f_{c28}.

Pour un dosage courant de 350 Kg/m³de ciment CPA325, la caractéristique en compression à 28 jours est estimée à 25 MPa (fc₂₈= 25 MPA).

> Essai de compression

La résistance caractéristique à la compression du béton est déterminée à partir d'essais sur des éprouvettes normalisées de 16 cm de diamètre et de 32cm de hauteur.

L'essai est effectué sur des cylindres en béton comme suit : $\delta = \frac{4F}{\pi \theta^2}$



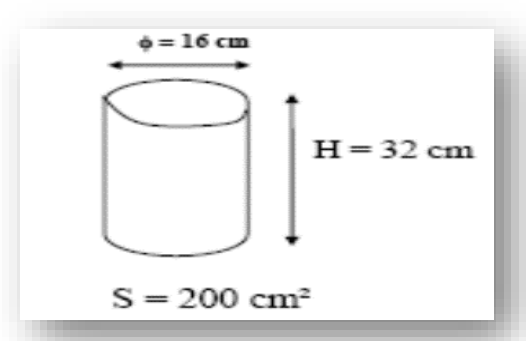


Figure I.9: Essai de compression.

> Evolution de la résistance à la compression avec l'âge du béton

La résistance à la compression varie dans le temps selon la loi suivante :

 \bullet Si $j \le 28$ jours:

$$\begin{cases} f_{cj} = \frac{j}{4,76+0,83j} f_{c28}; pour : f_{c28} \le 40 MPa. \\ f_{cj} = \frac{j}{1,4+0,95j} f_{c28}; pour : f_{c28} \ge 40 MPa \end{cases}$$

• Si j > 28 jours: $f_{ci} = 1.1 f_{c28}$.

 f_{ci} : La résistance à la compression à jour.

 $f_{\rm c28}$: La résistance à la compression à 28 jour ; On appelle aussi la résistance caractéristique du béton.

C) Résistance à la traction "CBA93 (Article A.1.2, 12)"

La résistance caractéristique du béton à la traction à j jours, notée (f_{tj}) , est définie conventionnellement par les relations :

♦
$$f_{tj} = 0.6 + 0.06 f_{cj}$$
 si $f_{c28} \le 60 Mpa$

 •
$$f_{tj} = 0.275(f_{tj})^{2/3}$$
 si $f_{c28} > 60Mpa$

f_{tj}et**f**_{cj} sont exprimés en MPa (N/mm²)

Pour notre cas f_{c28} = 25MPa donc f_{t28} = 2.1MPa

> Traction par fendage

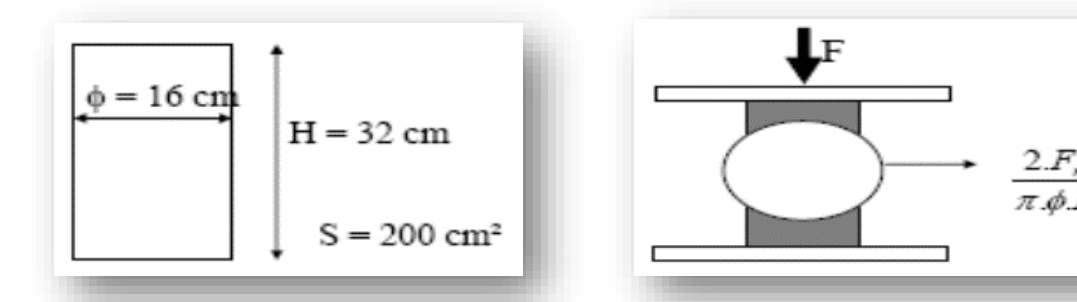


Figure I.10: Shéma de Traction par fendage.

> Traction par flexion

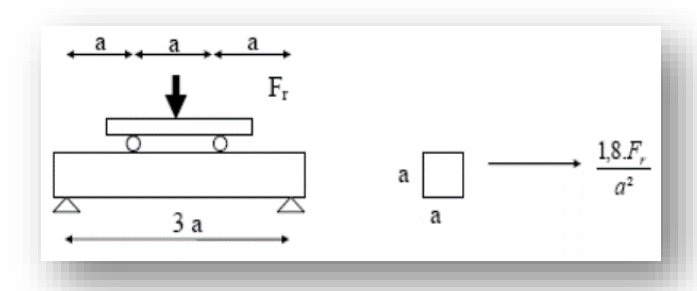


Figure I.11: Shéma de Traction par flexion.

a: une valeur donnée.

F_r: force de rupture.

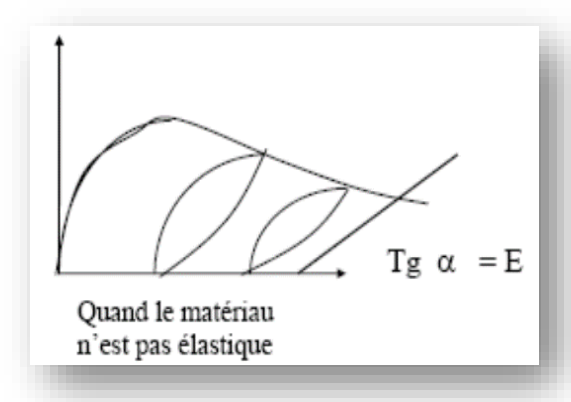
I.6.1.1 Déformation du béton

- 1) Module Déformations longitudinales du béton
- a) Déformation instantanées (A court terme) "BAEL 91 (art A.2.1, 21)"

D'après le BAEL91 (Article.2.1.21), sous les contraintes normales d'une durée d'application inférieure à 24 heures , on admet par défaut de mesures qu'a l'âge de" j " jours , le module de déformation longitudinale de béton est égale à:

$$E_{ij} = 11000\sqrt[3]{fcj}$$

Donc dans notre cas f_{c28} = 25MPa, on aura : E_{i28} =11000 $\sqrt[3]{25}$ =32164.2 MPa.



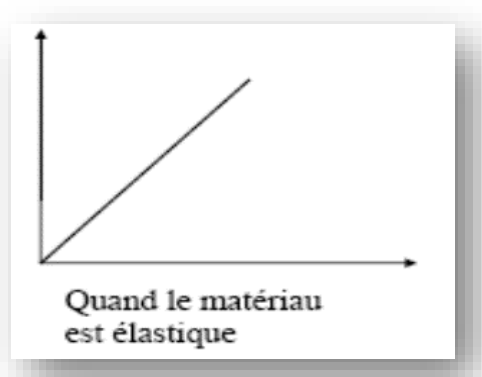


Figure I.12: Courbe de déformations instantanées (à court terme) du béton.

b) Déformations différées (A long terme) "BAEL 91(art A.2.1 ,22)"

Pour des chargements de longue durée, les déformations différées du béton comprend le retrait et le fluage. Dans ce cas, le module de déformation longitudinal différé du béton, noté E_{vj} est donné par la formule suivante :

$$E_{vj} = 3700 \sqrt[3]{fcj}$$

Donc dans notre cas f_{c28} =25MPaon aura : E_{v28} =3700 $\sqrt[3]{25}$ =10818.9 MPa

2) Module de déformation transversale du béton

Il est donné par la formule suivante :

$$G = \frac{E_{ij}}{2(1+v)}$$

Avec:

E: module de Young

 ν : Coefficient de poisson

3) Coefficient de dilatation thermique

 $\alpha=10^{-5}.1/i$ (béton armé). Ce coefficient peut varier de 0,8 à 1,2.10⁻⁵ selon la composition du béton et la nature du granulat.

4) Coefficient de Poisson "BAEL 91(art A.2.1 ,3)"

C'est le rapport entre la déformation transversale et le raccourcissement unitaire de déformation longitudinale.

$$v = \frac{\textit{d\'eformation transversale}}{\textit{d\'eformation longitudinale}}$$

$$v = \frac{\Delta d / d_0}{\Delta L / L_0} = \frac{\xi_t}{\xi_L}$$

Avec:

 ξ_t : Déformation limite transversale.

 ξ_l : Déformation limite longitudinale.

- \rightarrow v =0 : Pour le calcul des sollicitations à l'ELU (béton fissuré).
- \rightarrow v =0,2 : Pour le calcul des déformations à l'ELS (béton non fissuré)

I.6.1.2 Etat limite

C'est un état dans lequel se trouve une structure ou un élément de structure et tel que, s'il est dépassé dans le sens défavorable, cette structure ou cet élément ne répond plus aux fonctions pour lesquelles il est conçu.

> Contraintes limites

Selon le **BAEL** on distingue **deux** états limites :

- Etat limite ultime **E.L.U**
- Etat limite de service **E.L.S**

Les sollicitations de calcul ne doivent pas dépasser dans le sens défavorable les sollicitations limites ultimes:

> Etat limite ultime ELU

Il correspond à ce que l'on entend généralement par la limite de résistance mécanique au-delà de laquelle il y a ruine l'ouvrage. Il y a trois états limites:

- Etat limite ultime de l'équilibre statique.
- Etat limite ultime de résistance.
- Etat limite ultime de stabilité de forme.

1) Contraintes à l'état limite ultime "BAEL91 (Article A.4.3.4)"

$$\sigma_{bc} = \frac{0.85}{\theta \times vb} f_{c28}(\text{MPa})$$

Avec:

0.85 = coefficient réducteur

 σ_{bc} : Est un coefficient de sécurité, propre au béton, qui tient compte d'éventuels défauts localisés aussi que la réduction possible de la résistance du matériau mise en œuvre par rapport à sa résistance caractéristique définie a priori.

 γ_b : Coefficient de sécurité pour le béton tel que :

- $\gamma_{h} = 1.15 \rightarrow \text{situation accidentelle.}$
- $\gamma_b = 1.5 \rightarrow \text{situation courante (durable)}$.

θ : est un coefficient fixé en fonction de la durée d'application de l'action considérée.

 θ =1 \rightarrow pour une durée probable d'application de la combinaison d'action supérieure à 24h.

- ✓ θ =0.9 → pour une durée probable d'application comprise entre 1h et 24h.
- ✓ θ =0.85 → pour une durée probable d'application inférieure à1h.

Pour le cas de notre étude, on va considérer des durées d'application des actions qui dépassent les 24 heures, ce qui conduit à :

$$\sigma_{bc} = \frac{0.85 \times 25}{1 \times 1.5} = 14,666 \text{ MPa} \cong 14.2 \text{ MPa}$$

> Contraintes limites de cisaillement

Elle dépend du type de fissuration :

> Dans le cas d'une fissuration peu nuisible :

$$\overline{\tau_{u}} = \min \left(0.2. \frac{f_{c28}}{\gamma_{b}}; 5MPa\right) \Rightarrow \overline{\tau_{u}} = 3.33MPa$$

Dans le cas d'une fissuration préjudiciable et très préjudiciable :

$$\overline{\tau_{u}} = \min \left(0.15. \frac{f_{c28}}{\gamma_{b}}; 4MPa \right) \Rightarrow \overline{\tau_{u}} = 2.5MPa$$

Dans le cas des armatures inclinées

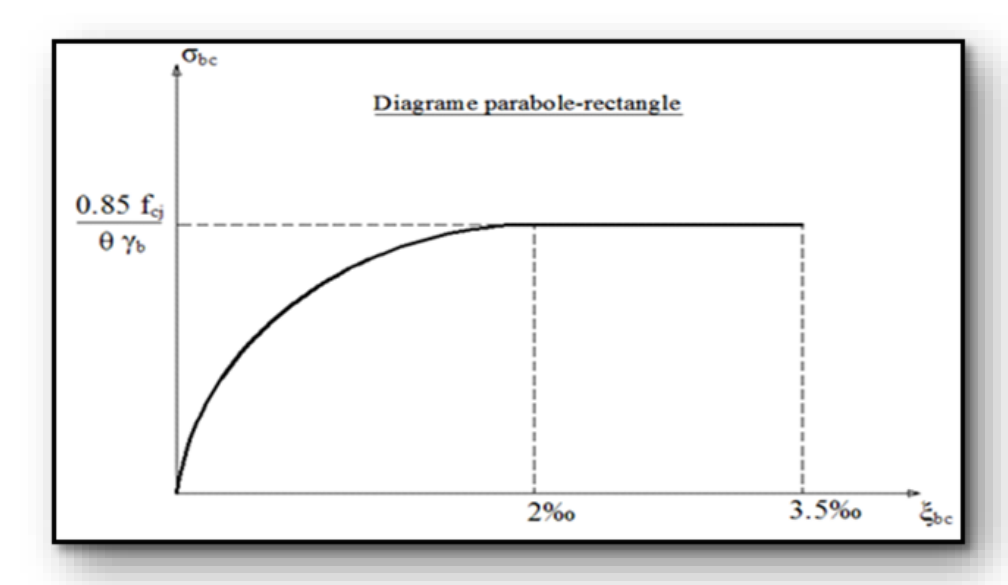


Figure I.13: Diagramme contrainte-déformation du béton.

Lorsque la section considérée n'est pas entièrement comprimé, le calcul à l'état limite ultime peut être effectué en substituant le diagramme parabole-rectangle par le diagramme rectangulaire simplifié, défini par la figure suivante :

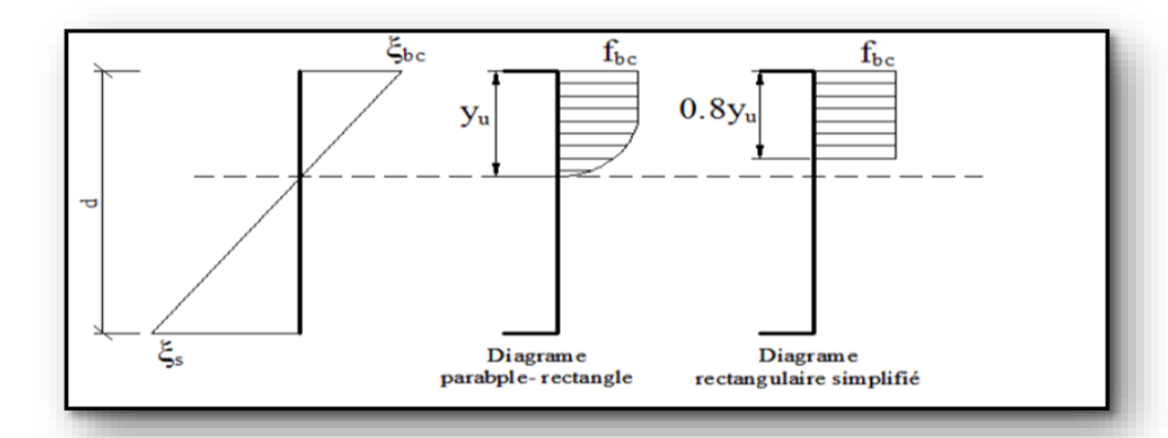


Figure I.14: Bloc de contrainte rectangulaire simplifié adopté par le BAEL.

E.L.S: Module de déformation du béton à ELS.

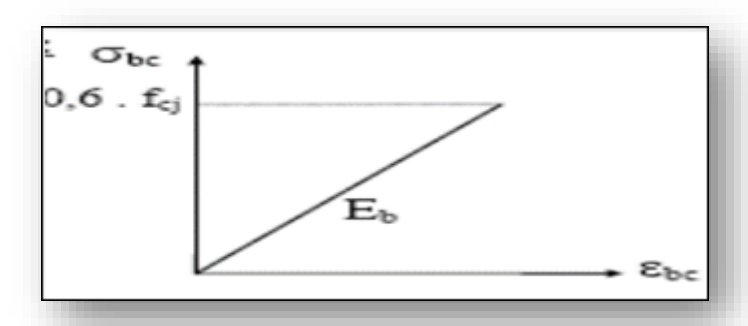


Figure I.15: Diagramme de déformation du béton.

 E_b : Module de déformation du béton.

 E_s : Module de déformation de l'acier

Le rapport $\frac{E_s}{E_b}$ est appeler coefficient d'équivalence : n =15

I.6.2 Caractéristiques mécaniques de l'acier

1) Définition de L'acier

Le matériau acier un alliage de deux composant (fer + carbone) en faible pourcentage, l'acier est un matériau caractérisé par une bonne résistance à la traction et faible résistance à la compression. Et par leur limite élastique et leur module d'élasticité .son rôle est de absorbé les efforts de traction, de cisaillement et de torsion. On distingue deux types d'aciers :

- Aciers doux ou mi-durs pour 0.15 à 0.25 ½ de carbone.
- Aciers durs pour 0.25 à 0.40 ½ de carbone.

Les aciers utilisés pour constituer les pièces en béton armé sont :

- Rondes lisses (RL)
- Barres à haute adhérence (HA)

- Treillis soudés (TS)

Tableau I.3: Différents types d'aciers.

ТҮРЕ	NUANCE	$f_e(Mpa)$	EMPLOI		
RONDS	FeE 22	215	Cadre et étriers des poutres et des poteaux, annaux de levage des pièces préfabriqué		
LISSES	FeE 24	235			
ACIER HA	FeE 40	400	Tous travaux	Emploi très fréquent	
TYPE 1	FeE 50	500	en béton armé	Emploi moins fréquent	
ACIER HA	FeE 40	400		Emploi fréquent	
TYPE 2	FeE 50	500		Emploi moins fréquent	
ACIER HA	FeTE 400	400	Emploi sous forme de barres droites ou de treillis e		
TYPE 3	FeTE 500	500			
TREILLIS SOUDES (RONDS LISSES TYPE 4)	TLE 520 θ≤6	520	armature préfabriqué		

2) Les contraintes limites de calcul aux limites

a) Etat limite ultime (ELU)

Si
$$\varepsilon_s = \frac{f_e}{\gamma_s \times E_S} \rightarrow \sigma_s = E_s.\varepsilon_s$$

Si
$$\frac{f_e}{\gamma_s \times E_S} \le \varepsilon_S \le 10\%$$
 \rightarrow $\sigma_s = \text{fe/}\gamma \text{s}$

 $\mathbf{f_e}$: Limite d'élasticité de l'acier.

 γ_s : Coefficient de sécurité de l'acier dépendant de la nature des actions.

 ε_s : Allongement relatif.

 E_s : module d'élasticité longitudinale « E_S =200000MPa ».

Tel que Le coefficient γ_s :

➤ 1.15 : en situation durable et transitoire.

➤ 1 : en situation accidentelle.

Contraintes de traction

$$\varepsilon_s = 10\%$$
 donc : $\sigma_s = \text{fe/}\gamma \text{s}$

Pour $f_e = 400 \text{MPa}$:

$$\sigma_s = 348 \text{MPa}$$

en situation durable.

$$\sigma_s = 400 \text{ MPa}$$

en situation accidentelle.

b) Etat limite service (ELS)

Selon le BAEL91 (Article 4.5.32), la limitation des ouvertures des fissures en limitant les contraintes dans les armatures est nécessaire. Donc la valeur de (σ_s) est donnée en fonction de type de la fissuration dans différents cas :

Fissuration peu nuisible (Art A-4.5.32 BAEL91) [3]

Aucune vérification à faire.

$$\sigma_{st}^{\equiv} = f_e$$

Fissuration préjudiciable (Art A-4.5.33 BAEL91)

$$\overline{\sigma}_{s} = \min\left(\frac{2}{3}f_{e}; 110\sqrt{\eta \times f_{tj}}\right)$$

> Fissuration très préjudiciable (Art A-4.5.34 BAEL91)

$$\overline{\sigma}_{\rm s} = \min(\frac{1}{2}f_e; 90\sqrt{\eta \times ftj})$$

Avec η : coefficient de fissuration

 $\eta = 1 \rightarrow \text{Pour les ronds lisses}$

 $1.6 \rightarrow \text{Pour les HA de } \phi \geq 6 \text{ } mm$

3) Diagramme contraintes-déformations "CBA93et le BAEL91"

a) Diagramme expérimental

Ce diagramme est fondé sur les résultats des essais de traction sur des éprouvettes en acier, il est présenté comme suit:

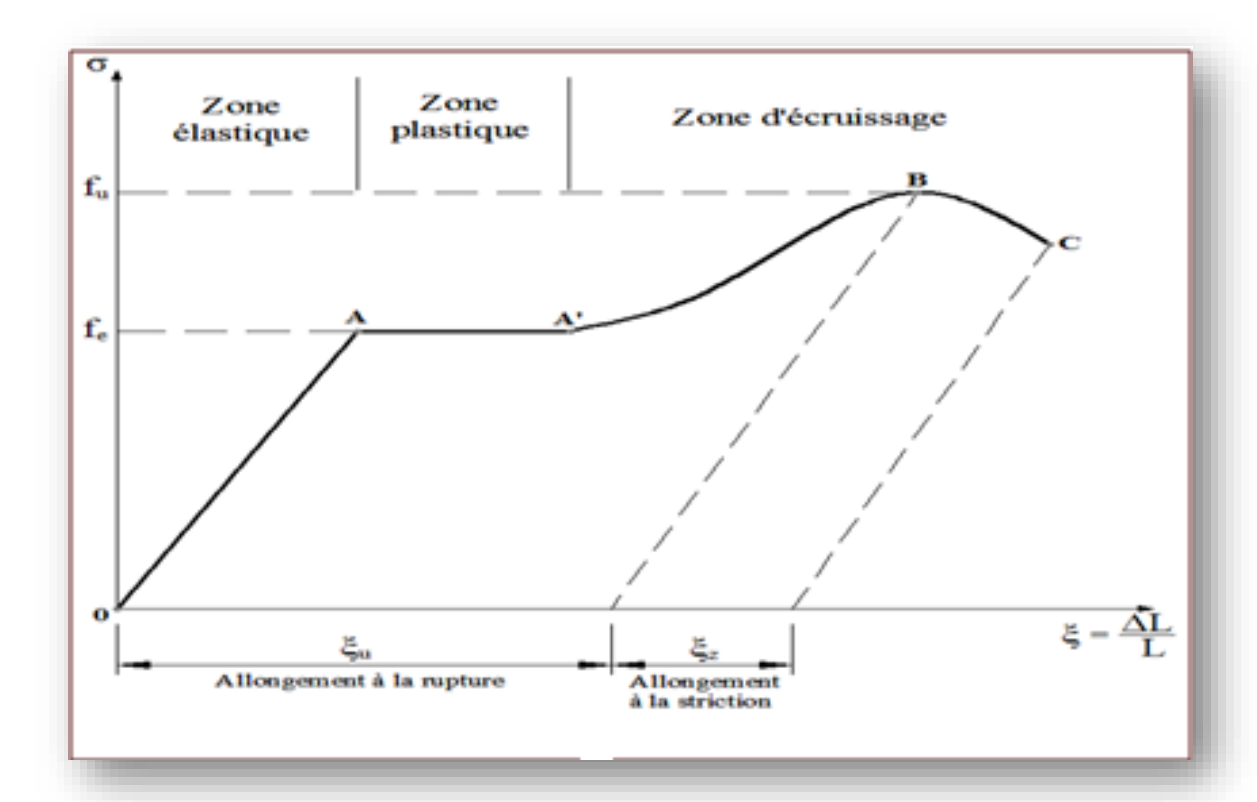


Figure I.16: Diagramme expérimental contrainte déformation de l'acier.

Avec:

OA: la zone élastique.

AA': la zone plastique.

A'B: la zone d'auto durcissement.

BC: la zone de striction.

C: le point de rupture.

b) Diagramme de calcul

Le diagramme de calcul contraintes (σ_s) -déformations (ϵ_s) à considéré dans le calcul à l'état limite ultime est conventionnellement définie par la figure ci-dessous. Ce diagramme se compose :

- De la loi de « Hook » de pente Es= 200000MPa « module d'élasticité longitudinale ».
- D'un palier horizontal d'ordonnée : $\frac{fe}{\gamma s}$

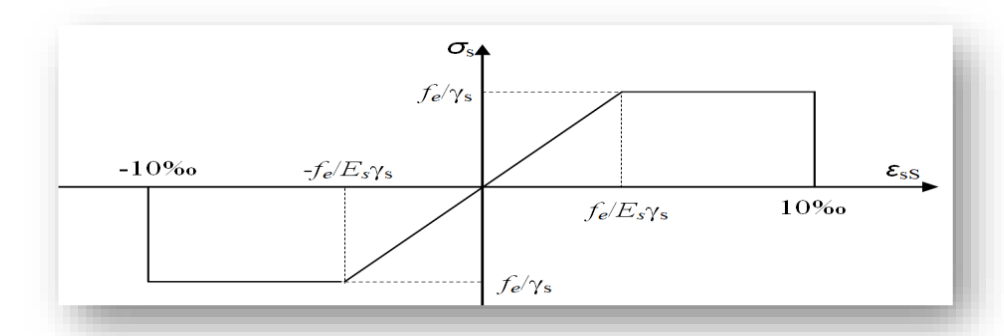


Figure I.17: Diagramme de calcul contrainte déformation de l'acier.

I.7 Les actions et sollicitations

I.7.1 Les actions

Définitions : Ce sont l'ensemble des forces et couples dus aux charges appliquées (permanentes, climatique, d'exploitations) à la structure ainsi que les conséquences des modifications statiques ou d'états (retrait, les variations de température, tassements d'appuis) qui entraînent des déformations de la structure.

On notera:

- G: Charge permanente (poids propre de la structure + les équipements fixes).
- Q: Charge variable (charges d'exploitations+ charges climatiques).
- E: Charges sismiques.

On distingue trois types d'actions :

• Les actions permanentes (G)

Ce sont des actions dont les variations de l'intensité sont rares ou négligeables par rapport à la valeur moyenne, elles comportent :

- Poids propres des éléments de construction.
- Le poids de revêtement et cloisons.
- Le poids et les poussées des terres des solides ou des liquides.
- Les déformations imposées à la structure.

• Les actions variables (Q)

Ce sont des actions de courte durée d'application dont l'intensité varie fréquemment dans le temps, elles comportent en particulier :

- Surcharge d'exploitation.
- Charges appliquées au cours d'exécution (équipement de chantier).
- Charges climatiques (neige, vent).
- Actions de températures, du retrait...etc.

• Les actions accidentelles (FA)

Ce sont des actions dues à des phénomènes qui se produisent rarement et avec une faible durée d'application citant :

- Séisme.
- Chocs de véhicules routiers.
- Explosion.

Différentes combinaisons d'action données par le RPA

Pour la détermination des sollicitations de calcul dans les éléments, on utilise les combinaisons suivantes :

- > Situation durable
- **ELU**: Nu= 1.35G+1.5Q
- **ELS**: Nu =G+Q
- > Situation accidentelle:
- G+Q±E.
- 0.8G±E

I.7.2 Sollicitations

Les sollicitations sont des efforts provoqués en chaque point et sur chaque section de la structure par les actions qui s'exercent sur elle, elles sont exprimées sous forme des forces, des efforts (normaux ou tranchants), de moments (de flexion, de torsion).

I.8 Règlements et normes utilisés

Notre étude se fera en respectant les règlements et les normes en vigueur à savoir :

- ➤ DTR BC 2.48 : Règles Parasismiques Algériennes RPA99/Version 2003.
- > DTR BC 2.41 : Règle de Conception et de Calcul des Structures en béton armé.
- ➤ CBA93.
- > DTR B.C.2.2 : Charges permanentes et charge d'exploitation.
- ➤ DTR BC 2.331 : Règles de calcul des fondations superficielles.
- ➤ Béton aux états limites BAEL 91/Version99.

I.9 Conclusion

Dans notre projet en utilise le béton armé comme un matériau de construction, Cette brève présentation sur les matériaux (béton, acier) permettez-nous de voir que introduire des armatures au béton amélioré les caractéristique mécaniques de composite telle que la résistance à la compression et à la traction, la résistance au cisaillement celle-ci rende ce matériau convenable pour la construction.

Béton : Ciment dosé à 350 kg / m³

 $F_{c28} = 25 \; \textit{MPa} \; ; \; \sigma \textit{bc} = 14.2 \; \textit{MPa} \; ; \; F_{t28} = 2.1 \; \textit{MPa} \; ; \; \textit{Ei} = 32164.2 \; \textit{MPa} \; ; \; \textit{Ev} = 10818.87 \; \textit{Ev} = 10818.87 \; \textit{Ev} = 10818.87 \; ; \; \textit{Ev} = 10818.87$

 $\gamma_b = 1.5$.

Acier: Des barres (HA): Fe E400

Fsu = 348 MPa; $\gamma_s = 1.15$; $\eta = 1.6$; $E_s = 2.10^5 MPa$.

Chapitre II pré dimensionnement des éléments

II.1 Introduction

La construction est un ensemble des éléments qui sont classés en deux catégories : Les éléments structuraux et non-structuraux.

Le pré dimensionnement a pour but "le pré calcul" et la vérification des dimensions des différents éléments données dans le plan d'architecture. Pour cela, nos calculs seront basés sur les règles suivant:

- RPA99 V 2003.
- BAEL 91 modifie 99.
- CBA 93.
- D.T.R.B.C.2.2, charges permanentes et charges d'exploitations.

Pour arriver à déterminer une épaisseur économique afin d'éviter un plus d'acier et du béton. Les résultats obtenus ne sont pas définitifs, ils peuvent être augmentés après vérifications dans la phase du dimensionnement.

II.2 Pré dimensionnement des éléments non structuraux

II.2.1 Les planchers

Pour notre bâtiment on a utilisés deux types de planchers :

- Plancher à corps creux.
- > Plancher à dalle pleine.

II.2.1.1 Planchers à corps creux

Ce types de plancher se trouve au niveau de tous les étages, il est constitué de :

- Poutrelles : éléments résistants du plancher coulées sur place.
- une dalle de compression : c'est une dalle en béton armé, sa hauteur varie de 4 à 6 cm.
- Treillis soudés.
- d'hourdis.

L'épaisseur des planchers est choisie d'une manière à satisfaire des conditions d'utilisation plus que les conditions de résistance. Pour trouver cette épaisseur on vérifiera les conditions ci-après :

> Condition acoustique

Pour assurer une isolation phonique minimale, l'épaisseur de plancher doit être supérieure ou égale à 15 cm; on adopte une épaisseur de : e=16cm.

Condition de résistance à la flèche "CBA93 (article B.6.8.4.4.2.4)"

La hauteur du plancher doit vérifier la condition suivante :

$$h_t \ge \frac{L}{22.5}$$

L : longueur maximal entre nus d'appuis selon la disposition des poutrelles adoptées.

 h_t : Hauteur total du plancher.

L =300 cm =>
$$h_t = \frac{300}{22.5} = 13.33$$
 cm

Donc on adoptera des planchers à corps creux avec une hauteur de 20cm.

Tel que $h_t = h_c + e$

 h_c = 16 cm : hauteur de corps creux.

e = 4cm : épaisseur de la dalle de compression.

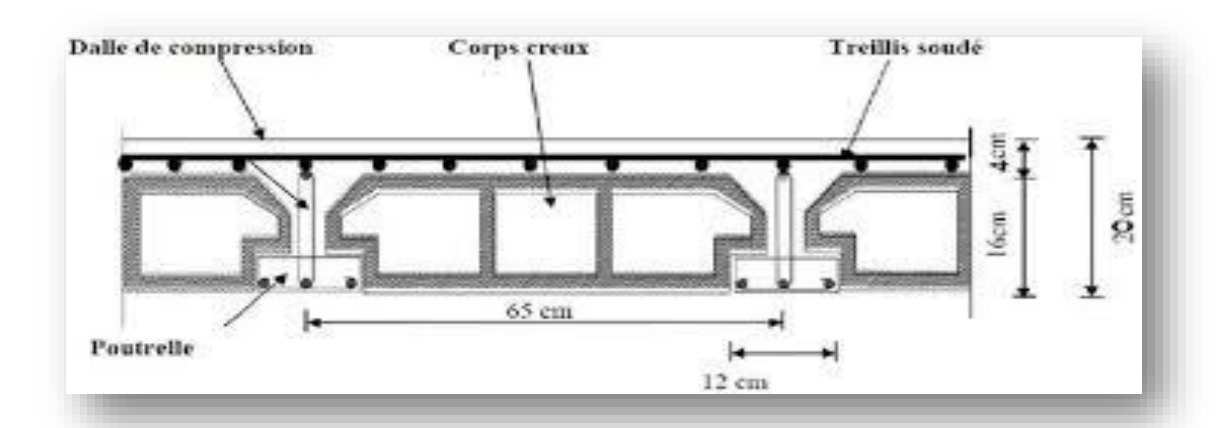


Figure II.1: Coupe verticale d'un plancher à corps creux.

> Dimensionnement des poutrelles

Les poutrelles sont des sections en T en béton armé, servant à transmettre les charges réparties ou concentrées aux poutres principales, elles sont calculées en flexion simple.

1) Calcul de la largeur de la nervure

 $0.4h \le b_0 \le 0.8h$ Avec h = 20cm

 $8cm \le b_0 \le 16cm$ \rightarrow On prend $b_0 = 10cm$

2) Calcul de la largeur d'une aile de la section en T

 $b_1 \leq \min\left(\frac{Lx}{2}; \frac{Ly}{10}\right)$

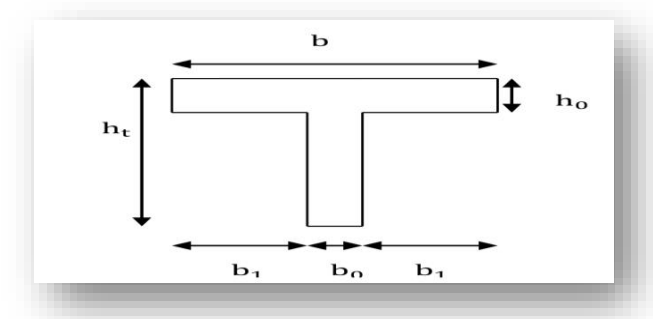


Figure II.2: schéma d'une section en T.

b: Largeur efficace.

 b_0 : largeur de la poutrelle ($b_0 = 10$ cm).

 l_x :La distance entre les faces voisines de deux nervures consécutives.

 l_y : Longueur entre nus d'appuis de la travée maximale des poutrelles.

$$L_x = 65 - b_0 = 65 - 10 = 55 \text{ cm}$$

 $L_v = 300 \text{ cm}$

Avec:
$$b_1 \le \min(\frac{55}{2}; \frac{300}{10}) \implies b_1 = \min(27.5; 3) \implies b_1 = 27.5 \text{ cm}$$

$$b = 2 \times b1 + b0 = b = 2 \times 27,5 + 10 = 65 \text{ cm}$$

On adoptera donc un plancher de (16 + 4) cm avec les dimensions suivantes :

$$b = 65cm$$

$$b_0 = 10cm$$

$$h_t = 20 \text{cm}$$

$$h_0 = 4cm$$

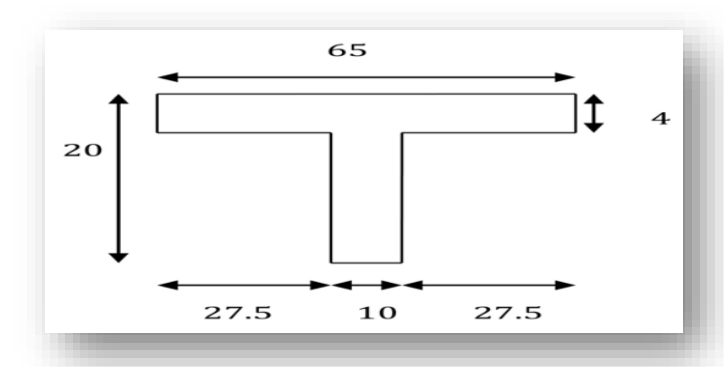


Figure II.3: Dimensions de la section en T.

II.2.1.2 Plancher à dalle pleine

a) Condition de sécurité

Selon le R.P.A.99 version 2003 : $h_0 \ge h_{min} = 5$ cm.

b) Condition de résistance au feu

 $h_0 = 7cm$: Pour une heure de coup de feu.

 $h_0 = 11 cm$: Pour deux heures de coup de feu.

c) Condition de résistance (Husson, 2002)

- ightharpoonup Si $α = \frac{Lx}{Ly} < 0.4 \rightarrow la$ dalle porte suivant sa petite portée uniquement et son calcul sera comme une poutre de 1 mètre de largeur.
- Si $\alpha = \frac{Lx}{Ly} > 0.4 \rightarrow \text{La dalle porte suivant les 2 directions x et y, et c'est le cas pour lequel on pré-dimensionne les planchers.}$

 l_x : Petite portée du plancher.

 l_y : Grande portée du plancher.

• Dalle pleine portant dans deux directions ($\frac{lx}{ly} > 0.4$)

Travée isostatique :
$$\frac{lx}{40} \le h_0 \le \frac{lx}{25}$$

Travée hyperstatiques :
$$\frac{lx}{50} \le h_0 \le \frac{lx}{35}$$

• Dalle pleine portant dans une direction ($\frac{Lx}{Ly}$ < 0.4)

Travée isostatique :
$$\frac{lx}{30} \le h_0 \le \frac{lx}{20}$$

Travée hyperstatiques :
$$\frac{lx}{35} \le h_0 \le \frac{lx}{25}$$

L_x étant la plus petite portée de panneau le plus sollicité (cas le plus défavorable).

Dans notre cas les dalles reposant sur quatre appuis ont une portée (L_x= 255 cm; Ly= 390 cm)

Donc
$$\alpha = \frac{lx}{ly} = \frac{255}{390} = 0.65 > 0.4 \Rightarrow$$
 Le panneau isostatique porte dans les deux directions.

Alors la dalle est reposée sur quatre appuis :

$$\frac{Lx}{40} \le h_0 \le \frac{Lx}{25} = \frac{255}{40} \le h_0 \le \frac{255}{25} = 6.4 \le h_0 \le 10.2$$

Finalement et d'après les conditions ci-dessus on prend : $h_0 = 15$ cm

II.2.2 Pré dimensionnement des balcons

L'épaisseur est conditionné par: e $> \frac{L}{20}$

Avec : L = 125 cm : Largeur de balcon.

On prend la valeur défavorable de " l".

Donc:
$$e > \frac{L}{20} = \frac{125}{20} = 6.26$$
 cm

On prendra e = 15cm.

II.2.3 Pré dimensionnement des escaliers

Les escaliers servent à relier les différentes niveaux d'un bâtiment elles sont constitués de volées classiques en béton armé reposant sur des paliers coulés sur place.

Pour le dimensionnement des marches (g) et les contre marches (h), on utilise la formule de "BLONDEL".

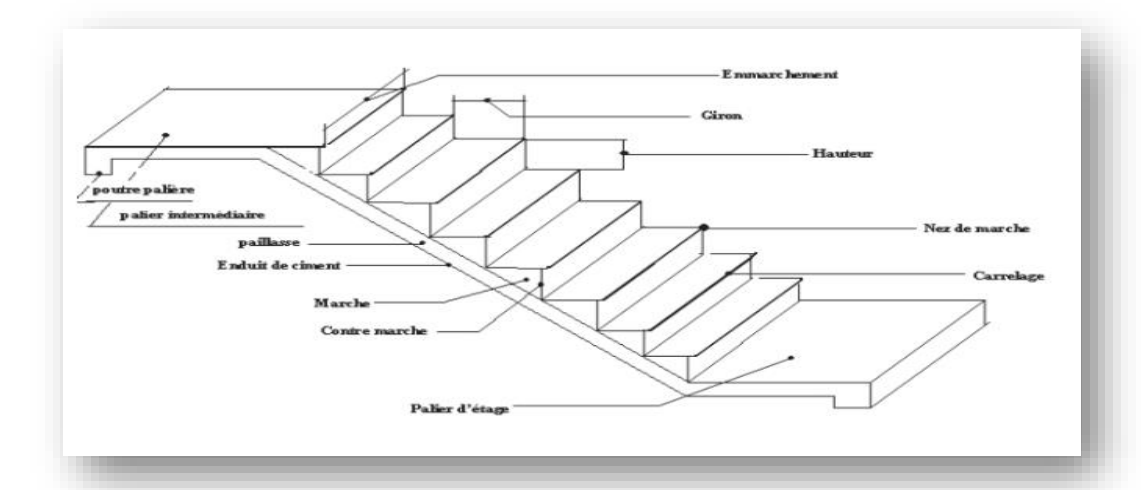


Figure II.4: Les composants de l'escalier.

• Dans notre projet on a deux types d'escalier :

Type I : escalier a deux volées pour les étages courants.

• Type II : escalier a trois volées pour le RDC.

En utilise la formule de BLONDEL pour dimensionner la géométrie de l'escalier.

En pratique, nous avons :

- ➤ la hauteur "h" des contremarches se situe entre 14 et 18 cm.
- ➤ la largeur "g" se situe entre 25 et 32 cm.

a) Escalier type (I):étage courant

La hauteur étage courant : 3.06 m

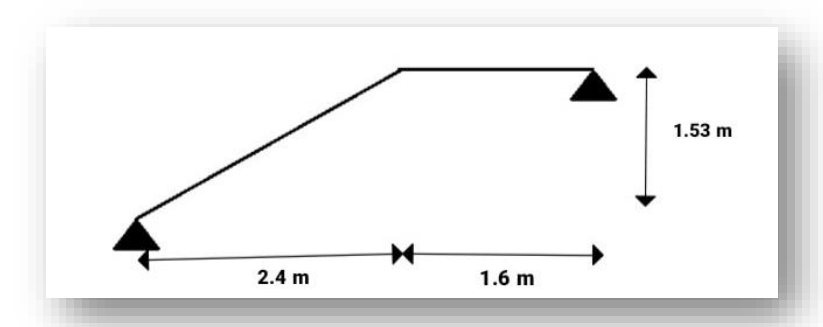


Figure II.5: Schéma d'escalier d'étage courant.

Deux volées de hauteur H=1,53 m, dites : Volée 01

On utilisé la formule de « blondel » : 59 < 2 h + g < 64

Avec:
$$g = \frac{L}{n-1}$$
 et $H = \frac{h}{n}$

n: Le nombre des contre marches

(n-1): Le nombre des marches

On pose
$$2 \times h + g = 64 \dots (1)$$

On remplace (g) et (h) on (1)

$$\Rightarrow \frac{L}{n-1} + 2 \times \frac{h}{n} = 64 = 64 \times n^2 - (64 + 2 \times H + L) + n + 2 \times H = 0$$

On trouve : n = 9 et n-1 = 8 marche $\Rightarrow g = 30 \text{ cm}$; h = 17 cm

Détermination de l'épaisseur de la paillasse

$$\tan \alpha = \frac{H}{L} = \frac{153}{240} = 0.63$$
 Donc $\alpha = 32.52$ °.

La paillasse est une dalle appuyée sur deux appuis inclinés d'épaisseur e.

$$L_v = \frac{240}{\cos \alpha} = 284.63 \text{ cm}.$$

$$L_T = L_v + L_p = 284.63 + 160 = 444.63 \text{ cm}$$

$$\frac{L}{30} \le e_p \le \frac{L}{20} = > \frac{444.63}{30} \le e_p \le \frac{444.63}{20} = > 14.821 \le e_p \le 22.23$$
 \Longrightarrow On choisit : $e_p = 15$ cm

b) Escalier type (II): (RDC)

La hauteur : 3.06 + 0.51 = 3.57 m avec trois volées comme suit :

- ➤ Deux volées de hauteur H=1.53 m dites : Volée 01
- ➤ Une petite volée de hauteur de H=1.02 m dite : Volée 02

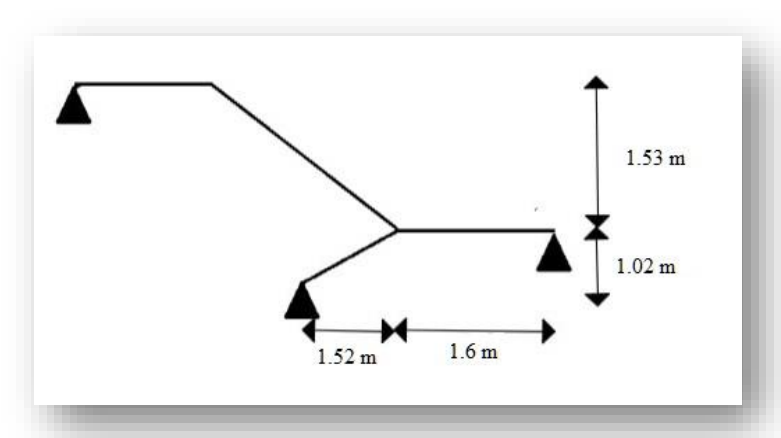


Figure II.6: Schéma d'escalier de RDC.

Pour Volée 01: Nombre de contre marches : $n = \frac{153}{17} = 9$; n-1 = 8 comme l'étage courant

Pour Volée 02: Nombre de contre marches : $n = \frac{102}{17} = 6$; n-1=5

Détermination de l'épaisseur de la paillasse

$$\tan \alpha = \frac{H}{L} = \frac{102}{152} = 0.67$$
 Donc $\alpha = 33.82^{\circ}$

$$L_v = \frac{152}{\cos \alpha} = 183.13 \text{ cm}$$

$$L_T = L_v + L_p = 183.13 + 160 = 343.13$$
cm

$$\frac{L}{30} \le e_p \le \frac{L}{20} = > \frac{343.13}{30} \le e_p \le \frac{343.13}{20} = > 11.43 \le e_p \le 17$$

Pour 2 heures de coupe-feu : e> 11 cm \rightarrow on choisit : e_p = 15 cm

II.2.4 Pré dimensionnement de L'acrotère

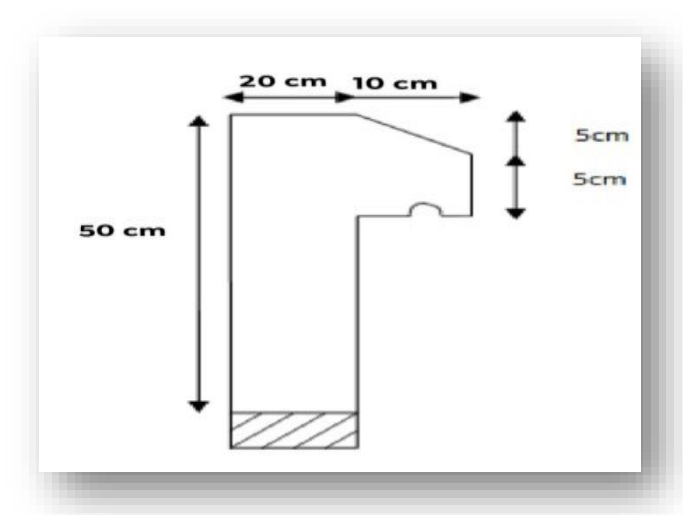


Figure II.7: Schéma réel et statique de l'acrotère.

> Charge permanente

L'acrotère est soumis à une charge permanente due à son poids propre :

$$S = S1 + S2 + S3$$

$$S = (0.5 \times 0.2) + (0.10 \times 0.05) + \frac{0.05 \times 0.10}{2} = 0.1075 m^2$$

Avec:

- G : poids propre de l'acrotère en mètre linéaire.
- ρ : Poids volumique du béton : 25 KN/m3

Tableau II .1: Charge permanente et surcharge d'exploitation revenant à l'acrotère.

désignation	h(m)	Surface (m ²)	Poids propre Totale G (KN/ml)	Surcharge d'exploitation Q(KN /ml)
Acrotère	0.5	0.1075	0.1875	1

II.3 Pré dimensionnement des éléments structuraux

II.3.1 Pré dimensionnement des Poteaux

Le pré dimensionnement des poteaux se fera en fonction des sollicitations de calcul en compression simple à l'ELU.

Selon les règles du BAEL91, en appliquant les trois critères suivant :

- Critère de résistance.
- Critère de stabilité de forme.

Les dimensions de la section transversale des poteaux selon le RPA99, doivent satisfaire

les conditions suivantes pour la zone IIa :

- Min $(b, h) \ge 25$ cm.
- Min $(b, h) \ge he / 20 cm$.
- $0,25 \le \frac{b}{h} \le 4$

On fixera les dimensions des poteaux après avoir effectué la descente de charge, tout en vérifiant les recommandations du RPA99 (version 2003) citées ci-dessus. On adopte

Préalablement la section des poteaux comme suit:

ótagas	Tous les étages		
étages	P1	P2	
Section (b× h) cm ²	35×45	35×35	

II.3.2 Pré dimensionnement des poutres

Les poutres sont des éléments porteurs horizontaux en béton armé, leur pré-dimensionnement, s'effectue par des formules données par les BAEL91, et vérifiées selon le règlement parasismique Algérien en vigueur (RPA99), une vérification de la rigidité s'effectue à l'aide des formules données par la résistance des matériaux (RDM).

II.3.2.1 Les poutres principales

Les poutres principales servent comme appuis pour les poutrelles. Elles sont disposées perpendiculairement à ces dernières, leurs doivent doit satisfaire les conditions de la flèchedonnée par le BAEL 91.

- La hauteur h de la poutre doit être : $\frac{Lmax}{15} \le h \le \frac{Lmax}{10}$
- La largeur b de la poutre doit être : $0.3h \le b \le 0.7h$

 L_{max} : La longueur maximale entre les nus (BAEL B.6.1.1).

h = hauteur de la poutre

b = largeur de la poutre

Dans notre cas la poutre la plus sollicitée est de longueur : L_{max} = 400 cm

Donc
$$\frac{400}{15} \le h \le \frac{400}{10}$$
 => 26.66 \le h \le 40 \Rightarrow on prend h = 40 cm

Donc
$$0.3 \times 40 < b < 0.7 \times 40 = 12 < b < 28 = 0$$
 on prend $b = 30$ cm

> Vérification

Selon les recommandations du RPA 99(version 2003) on doit satisfaire les conditions suivantes :

-
$$b = 30 \text{ cm} \ge 20 \text{ cm} \dots \text{CV}$$

-
$$h = 40 \text{ cm} \ge 30 \text{ cm} \dots \text{CV}$$

-
$$b_{max} \le 1.5 \text{ h} + b_1 = 1.5 \times 40 + 27.5 = 87.5 \text{ cm} \dots \text{CV}$$

La condition est vérifiée, donc on adopte pour les poutres principales une section de :

$$b \times h = (30 \text{ cm} \times 40 \text{ cm})$$

II.3.2.2 Les poutres secondaires

Les poutres secondaires sont des poutres en béton armé horizontales, elles ceinturent les Façades à chaque étage au niveau du plancher pour les rendre solidaires à la structure, elles Servent de porte à faux.

- La hauteur h de la poutre doit être : $\frac{Lmax}{15} \le h \le \frac{Lmax}{10}$
- La largeur b de la poutre doit être : $0.3 \text{ h} \le b \le 0.7 \text{ h}$

Dans notre cas la poutre secondaire la plus sollicitée est de longueur : L_{max} = 300cm.

Donc
$$\frac{300}{15} \le h \le \frac{300}{10} \implies 20 \le h \le 33 \implies$$
 on prend $h = 30$ cm

Donc
$$0.3 \times 30 \le b \le 0.7 \times 30 => 9 \le b \le 21 =>$$
on prend $b = 30$ cm

> Vérification

Selon RPA 99(version 2003) on doit satisfaire les conditions Suivantes :

-
$$b = 30 \text{ cm} \ge 20 \text{ cm} \dots \text{CV}$$

-
$$h = 30 \text{ cm} \ge 30 \text{ cm} \dots \text{CV}$$

-
$$b_{max} \le 1.5 \text{ h} \times b_1 = 1.5 \times 30 + 27.5 = 72 \text{ cm} \dots \text{CV}$$

La condition est vérifiée, donc on adopte pour les poutres principales une section de :

$$b \times h = (30 \text{ cm} \times 30 \text{cm})$$

II.3.3 Pré dimensionnement des voiles

Le pré-dimensionnement des voiles en béton armé est justifié par l'article 7.7.1 du RPA99. Les voiles servent d'une part à contreventer le bâtiment en reprenant les efforts Horizontaux (séisme et vent) et d'autre part de reprendre les efforts verticaux qu'ils Transmettent aux fondations.

- Les charges verticales : charges permanentes et surcharges.
- Les actions horizontales : effet de séisme et du vent.
- Les voiles assurant le contreventement sont supposés pleins.
- Seuls les efforts de translation seront pris en compte ceux de la rotation ne sont pas connues dans le cadre de ce pré dimensionnement.).

D'après le RPA 99 article 7.7.1 « les éléments satisfaisants la condition ($L \ge 4$ a) sont Considérés comme des voiles, contrairement aux éléments linéaires. »

Avec: L: porté du voile.

e : épaisseur du voile.

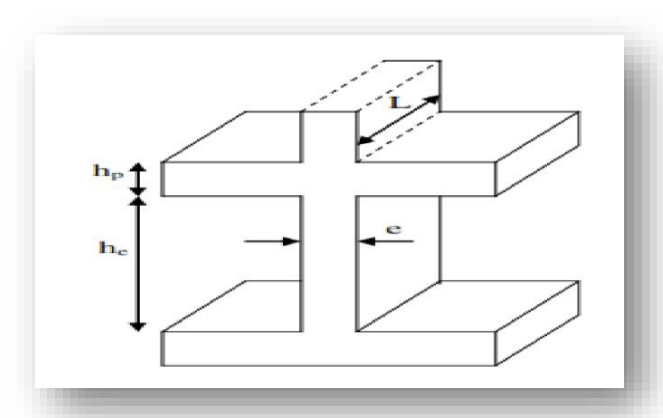


Figure II.8: Coupe de voile en élévation.

L'article 7.7.1 RPA99 « l'épaisseur minimale est de 15 cm », de plus l'épaisseur doit être déterminé en fonction de la hauteur libre d'étage h_e et des conditions de rigidité aux extrémités.

$$e_{min} = 15$$
cm.

 \triangleright A partir de la hauteur de RDC h_e = 3.57 m

$$e \ge max (e_{min}; \frac{he}{22}) => h_e = 3.57 - 0.40 = 3.17 m$$

$$e \ge \max(15; \frac{317}{22}) = e \ge \max(15; 14.40) = e \ge 15$$
 On prend : $e = 18$ cm

A partir de la hauteur d'étage courant h_e = 3,06 m

$$e \ge max (e_{min}; \frac{he}{22}) => h_e = 3.06 - 0.40 = 2.66 m$$

$$e \ge max (15; \frac{266}{22}) \Longrightarrow e \ge max (15; 12.09) \Longrightarrow e \ge 15 \text{ cm}$$
 On prend : $e = 18 \text{ cm}$

On adopte pour tous les voiles une épaisseur de : e=18 cm

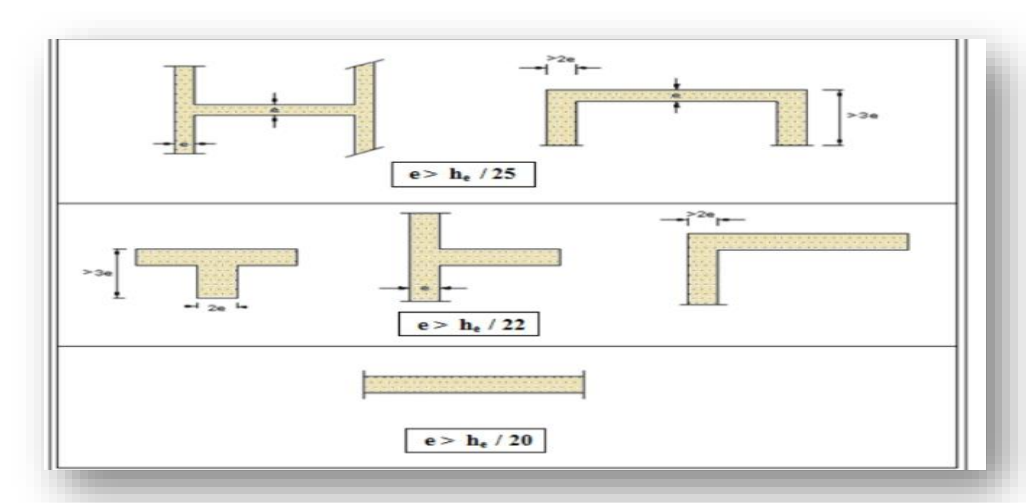


Figure II.9: Coupes de voiles en plan.

II.4 Evaluation des charges et surcharges

Evaluation des charges et surcharges est pour but la détermination des charges et surcharges revenant à chaque élément porteur au niveau de chaque plancher.

II.4.1 Les planchers

a) Plancher étage terrasse inaccessible en corps creux

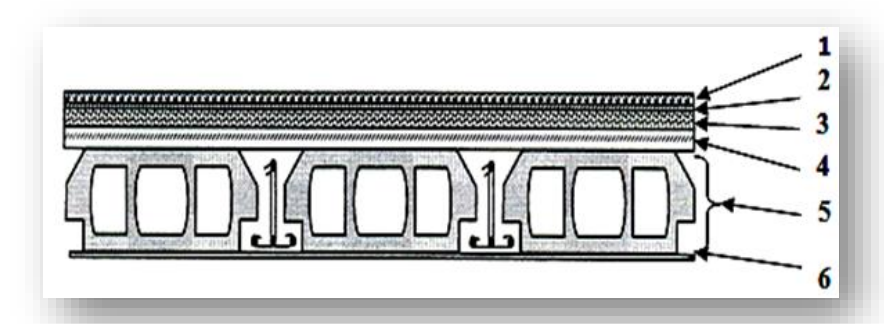


Figure II.10: plancher terrasse inaccessible.

Tableau II.2: évaluation des charges du plancher étage terrasse inaccessible en corps creux.

N	Désignation	E(m)	γ (N/m ³)	Charges (N/m²)
1	Gravillon de protection	0.05	20000	1000
2	Etanchéité multicouches	0.02	6000	120
3	Forme de pente	0.1	22000	2200
4	Isolation thermique	0.04	400	16
5	Dalle à corps creux	0.2	14000	2800
6	Enduit en plâtre	0.02	10000	200
	$G_T = 6336$			
	Surcharge d'expl	$Q_T = 1000$		

a) Plancher étage courant en corps creux

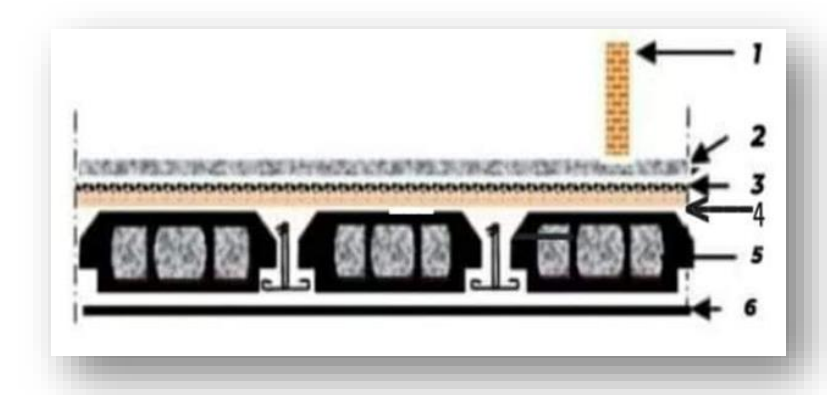


Figure II.11: Détail des constituants du plancher étage courant en corps creux.

N	Désignation	E(m)	γ (N/m ³)	Charges (N/m²)		
1	Carrelage	0.02	20000	400		
2	Mortier de pose	0.02	20000	400		
3	Couche de sable	0.03	18000	540		
4	Plancher à corps creux	0.20	14000	2800		
5	Enduit en plâtre	10000	200			
6	6 Cloison en brique 0.1 9000					
	$G_{\rm E}=5240$					
	Surcharge d'exp	$Q_E = 1500$				

Tableau II.3: évaluation des charges du plancher étage courant en corps creux.

b) Plancher dalle pleine RDC

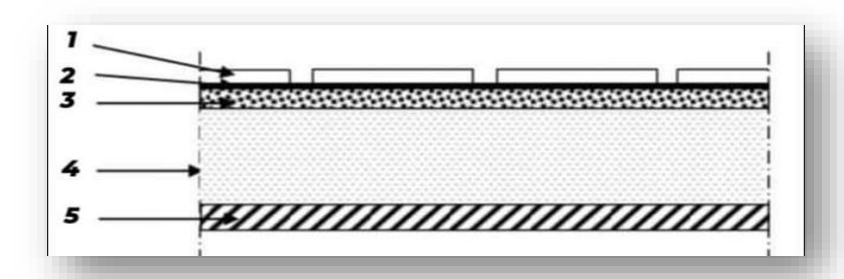


Figure II.12: détail des constituants du plancher en dalle pleine.

Tableau II.4: évaluation des charges du plancher dalle pleine RDC.

N	Désignation	E(m)	γ (N/m ³)	Charges (N/m²)		
1	Carrelage	0.02	20000	400		
2	Mortier de pose	0.02	20000	400		
3	Lit de sable	0.03	18000	540		
4	Dalle pleine	0.15	25000	3750		
5	Enduit en plâtre	10000	200			
6	Cloisons intérieures	0.1	9000	900		
	Charge permanent total					
	Surcharge d'exploitation					

c) Plancher dalle pleine S-SOL

Tableau II.5: évaluation des charges du plancher dalle pleine S-SOL.

N	Désignation	E(m)	γ (N/m ³)	Charges (N/m²)		
1	Carrelage	0.02	20000	400		
2	Mortier de pose	0.02	20000	400		
3	Lit de sable	0.03	18000	540		
4	Dalle pleine	0.15	25000	3750		
5	Enduit en plâtre	0.02	10000	200		
6	Cloisons intérieures	9000	900			
	$G_{DP} = 6190$					
	Surcharge d'exploitation					

d) Balcon

Tableau II.6: évaluation des charges du balcon.

N	Désignation	E(m)	γ (N/m ³)	Charges (N/m²)
1	Carrelage	0.02	20000	400
2	Mortier de pose	0.02	20000	400
3	Lit de sable	0.03	18000	540
4	Dalle pleine	0.15	25000	3750
5	Enduit en plâtre	200		
	$G_b = 5290$			
	Surcharge d'exp	$Q_b = 3500$		

II.4.2 Les murs

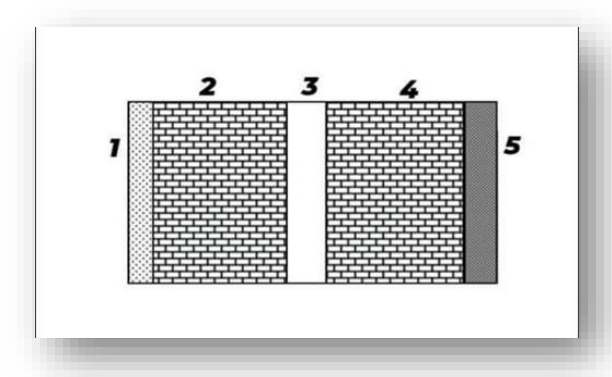


Figure II.13: constituants d'un mur extérieur.

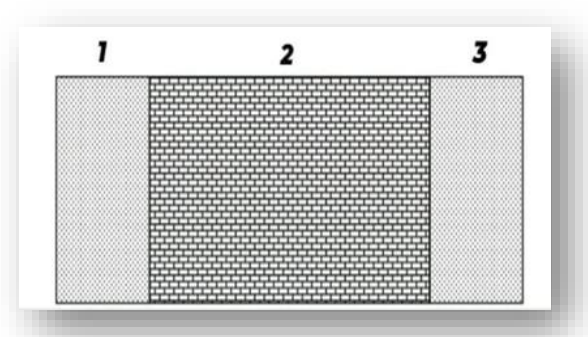


Figure II.14: constituante d'un mur intérieur.

Tableau II.7: évaluation de la charge permanente des murs extérieurs.

type de mur	Désignation	E(m)	γ (N/m ³)	Charges (N/m²)
	Enduit en ciment	0.02 18000		360
3.5	Brique creuse 15	0.15	9000	1350
Murs extérieurs	L'âme d'aire	0.05	-	-
cateficurs	Brique creuse 10	0.1	9000	900
	Enduit en plâtre	0.02	10000	200
Charge				
permanent totale				2810

II.4.3 Escaliers

✓ Palier de repos

Tableau II.8: évaluation des charges du palier de repos

N	Désignation	E(m)	γ (N/m ³)	Charges (N/m²)
1	Carrelage	0.02	22000	440
2	mortier de pose	0.02	20000	400
3	Lit de sable	0.02	18000	360
4	Dalle pleine	0.15	25000	3750
5	Enduit en plâtre	10000	200	
	Charge perman	$G_{pr} = 5150$		
	Surcharge d'exp	$Q_{pr} = 2500$		

✓ Paillasse

- Volée 1

Tableau II.9: évaluation des charges de la volée 1.

N	Désignation		E(m)	γ (N/m ³)	Charges (N/m²)
		Horizontale	0.02	22000	440
1	Carrelage	Verticale	0.02h/g	22000	0.02×(0.17/0.3)×22000 = 249.33
	Mortier de	Horizontale	0.02	20000	400
2	pose	Verticale	0.02h/g	20000	0.02×(0.17/0.3)×20000 = 226.66
3 Poids des marches h				25000	$(0.17/2) \times 25000$ = 2125
4	Poids de la	0.15/cosα	25000	(0.15/cos32.52)×25000 = 4447.3231	
5	Enduit e	n plâtre	0.02/cosα	10000	(0.02/cos32.52)×10000 = 237.1905
6	Gardes	corps	-	-	600
	C	$G_p = 8725.5936$			
	Su	$Q_p = 2500$			

- Volée 2

Tableau II.10: évaluation des charges de la volée 2.

N	Désignation		E(m)	γ (N/m ³)	Charges (N/m²)
		Horizontale	0.02	22000	440
1	Carrelage	Verticale	0.02h/g	22000	0.02×(0.17/0.3)×22000 = 249.33
	Mortier de	Horizontale	0.02	20000	400
2	pose	Verticale	0.02h/g	20000	0.02×(0.17/0.3)×20000 = 226.66
3	Poids des	h/2	25000	$(0.17/2) \times 25000$ = 2125	
4	Poids de la	paillasse	0.15/cosα	25000	(0.15/cos33.82)×25000 = 4513.77
5	5 Enduit en plâtre $0.02/\cos\alpha$ 10000				(0.02/cos33.82)×10000 = 240.73
6	Gardes	corps	-	-	600
	C	$G_p = 8795.49$			
	Su	$Q_p = 2500$			

II.5 Descente de charge

La descente de charge est le chemin suivi par les différentes actions (charges et surcharges) du niveau le plus haut de la structure jusqu'au niveau li plus bas avant leur transmission au sol, on

effectuera la descente de charge pour les poteaux plus sollicités et qui ont souvent les plus grandes surfaces afférentes.

On aura à considérer:

- Le poids propre de l'élément.
- La charge de plancher qu'il supporte.
- La part de cloison répartie qui lui revient.
- Les éléments secondaires (acrotère, escalier...).

Nous appliquons les lois de dégression uniquement pour les étages à usages d'habitation.

Loi de dégression (DTRB.C 2.2) [6]:

Soit Q0 la charge d'exploitation sur le toit ou la terrasse couvrant le bâtiment Q1 , Q2 , Q3 on les charges d'exploitation respectives des planchers des étages 1,2,3...n numérotés à partir du sommet du bâtiment.

On adoptera pour le calcul des pointes d'appui les charges d'exploitation suivantes.

Sous dernier étage (étage 1) $Q_0 + Q_1$

Sous étage immédiatement inferieur

(Étage 2)
$$Q_0 + 0.95 (Q_1 + Q_2)$$

(Étage 3)
$$Q_0 + 0.90 (Q_1 + Q_2 + Q_3)$$

(Étage 4)
$$Q_0 + 0.85 (Q_1 + Q_2 + Q_3 + Q_4)$$

(Étage n)
$$Q_0 + \frac{3+n}{2n} (Q_1 + Q_2 + Q_3 + Q_4 + ...Q_n)$$

En tenant compte de la dégression des surcharges de la façon suivante:

$$\Sigma Q = Q_0 = 1000 \text{ N}$$

$$\sum Q = Q_0 + Q_1 = 2500 \text{ N}$$

$$\Sigma Q = Q_0 + 0.95 (Q_1 + Q_2) = 3850 N$$

$$\Sigma Q = Q_0 + 0.90 (Q_1 + Q_2 + Q_3) = 5050 N$$

$$\sum Q = Q_0 + 0.85 (Q_1 + Q_2 + Q_3 + Q_4) = 6100 \text{ N}$$

$$\Sigma Q = Q_0 + 0.80 (Q_1 + Q_2 + Q_3 + Q_4 + Q_5) = 7000 \text{ N}$$

$$\sum Q = Q_0 + 0.75 (Q_1 + ... + Q_6) = 7750 N$$

$$\Sigma Q = Q_0 + 0.71 (Q_1 + ... + Q_7) = 8455 N$$

$$\Sigma O = O_0 + 0.68 (O_1 + ... + O_8) = 11540 N$$

Pour la vérification de leur section dans ce cas, on prend un type de poteau suivant :

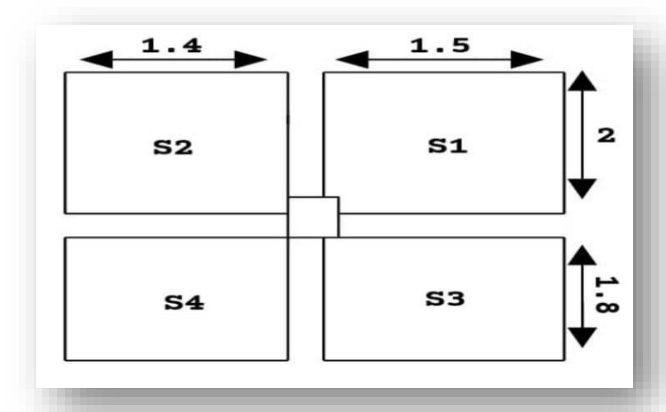


Figure II.15: la surface afférente du poteau la plus sollicité.

- Poteau intermédiaire (la surface afférente)

$$S_1 = 1.5 \times 2 = 3 \text{ m}^2$$

$$S_2 = 1.4 \times 2 = 2.8 \text{ m}^2$$

$$S_3 = 1.5 \times 1.8 = 2.7 \text{ m}^2$$

$$S_4 = 1.8 \times 1.4 = 2.52 \text{ m}^2$$

Donc:
$$S_{aff} = 11.02 \text{ m}^2$$

- Poutre

$$G_{PP} = 0.3 \times 0.4 \times 25 \times (2+1.8) = 11.4 \text{ KN}$$

$$G_{PS} = 0.3 \times 0.3 \times 25 \times (1.4 + 1.5) = 6.525 \text{ KN}$$

Donc:
$$G_{poutre} = 11.4 + 6.525 = 17.925 \text{ KN}$$

- Poteau

$$G_{pot1} = 0.35 \times 0.45 \times 25 \times 3.57 = 14.0568 \text{ KN}$$

$$G_{pot2} = 0.35 \times 0.35 \times 25 \times 3.57 = 10.9331 \text{ KN}$$

✓ Etage courant

$$G_{pot1} = 0.35 \times 0.45 \times 25 \times 3.06 = 12.0487 \text{ KN}$$

$$G_{pot2} = 0.35 \times 0.35 \times 25 \times 3.06 = 9.3712 \text{ KN}$$

- Les mures

$$S_1 = (3.57 - 0.4) \times 2 = 6.34 \text{ m}^2$$

$$S_2 = (3.57 - 0.4) \times 1.8 = 5.06 \text{ m}^2$$

$$S_3 = (3.57-0.3) \times 1.4 = 4.578 \text{ m}^2$$

$$S_4 = (3.57 - 0.3) \times 1.5 = 4.905 \text{ m}^2$$

$$S_{mur\ int}$$
= 21.529 m²

$$G_{mur} = S \times g = 21.529 \times 1.3 = 27.9877 \text{ KN}$$

✓ Etage courant

$$S_1 = (3.06-0.4) \times 2 = 5.32 \text{ m}^2$$

$$S_2 = (3.06\text{-}0.4) \times 1.8 = 4.788 \text{ m}^2$$

$$S_3 = (3.06-0.3) \times 1.4 = 3.864 \text{ m}^2$$

$$S_4 = (3.06\text{-}0.3) \times 1.5 = 4.14 \text{ m}^2$$

$$S_{mur\ int} = 18.112 \text{ m}^2$$

$$G_{mur} = S \times g = 18.112 \times 1.3 = 23.5456 \text{ KN}$$

Tableau II.11: La descente de charge de poteau.

Niveau	Élément	G(KN)	Q(KN)
No	Plancher terrasse	69.8227	
	Poutres	17.925	
	Total	87.7477	11.02
	Venant No	87.7477	
	Poteau 1	12.0487	
N_1	Poteau 2	9.3712	
	Mur	23.5456	
	Total	132.7132	
	Venant N ₁	132.7132	
N T	Plancher courant	57.7448	
N_2	Poutres	17.925	
	Total	208.383	27.55
	Venant N ₂	208.383	
	Poteau 1	12.0487	
N_3	Poteau 2	9.3712	
	Mur	23.5456	
	Total	253.3485	
	Venant N ₃	253.3458	
N ₄	Plancher courant	57.7448	
114	Poutres	17.925	
	Total	329.0183	42.427
	Venant N ₄	329.0183	
	Poteau 1	12.0487	
N_5	Poteau 2	9.3712	
	Mur	23.5456	
	Total	373.9838	
N ₆	Venant N ₅	373.9838	
	Plancher courant	57.7448	
	Poutres	17.925	
	Total	449.6536	55.651
	Venant N ₆	449.6536	
NT	Poteau 1	12.0487	
N_7	Poteau 2	9.3712	
	Mur	23.5456	

	Total	494.6191	
	Venant N ₇	494.6191	
N ₈	Plancher courant	57.7448	
	Poutres	17.925	
	Total	570.2889	67.222
	Venant N ₈	570.2889	
	Poteau 1	12.0487	
N ₉	Poteau 2	9.3712	
	Mur	23.5456	
	Total	615.2544	
	Venant N ₉	615.2544	
N ₁₀	Plancher courant	57.7448	
1110	Poutres	17.925	
	Total	690.9242	77.14
	Venant N ₁₀	690.9242	
	Poteau 1	12.0487	
N_{11}	Poteau 2	9.3712	
	Mur	23.5456	
	Total	735.8897	
	Venant N ₁₁	735.8897	
N ₁₂	Plancher courant	57.7448	
1112	Poutres	17.925	
	Total	811.5595	85.405
	Venant N ₁₂	811.5595	
	Poteau 1	12.0487	
N ₁₃	Poteau 2	9.3712	
	Mur	23.5456	
	Total	856.525	
	Venant N ₁₃	856.525	
N ₁₄	Plancher courant	57.7448	
1 114	Poutres	17.925	
	Total	932.1948	93.1741
	Venant N ₁₄	932.1948	
	Poteau 1	14.0568	
N ₁₅	Poteau 2	10.9331	
	Mur	27.9877	
	Total	985.1724	
	Venant N ₁₅	985.1724	
N ₁₆	Plancher courant	68.2138	
	Poutres	17.925	
	Total	1071.3112	127.1708
	Venant N ₁₆	1071.3112	
	Poteau 1	14.0568	
N ₁₇	Poteau 2	10.9331	
111/	Mur	27.9877	

- La somme des charges permanente: $G_{TOT} = 1124.2888 \text{ KN}$
- La somme des charges d'exploitation: $Q_{TOT} = 127.1708 \text{ KN}$

Avec: $N_u = 1.35G + 1.5Q$

Selon le CBA93 (article B.8.1.1) nous exige de majorer l'effort N_u come suit:

- 15% ... pour les poteaux centraux dans le cas de bâtiment à deux travées.
- 10% ... pour les intermédiaires voisins des poteaux de rive dans le cas des bâtiments comportant au moins trois travées.

Dans notre cas ; on doit majorer l'effort normal de compression ultime N_u de 10%.

$$N_u$$
= 1.1× ((1.35×1124.2888) + (1.5×127.1708))

$$N_{\rm u}$$
=1879.4007 KN

Vérification

■ Vérification du critère de résistance''(pour les poteaux (35×45) et (35×35))''

$$\frac{Nu}{B} \le fbu$$
 Tel que : $f_{bu} = \frac{0.85 \times fc28}{\gamma b \times \theta}$

Avec:

- **B**: la section brut du béton.
- \mathbf{F}_{c28} : la résistance à la compression à l'âge de 28 jours, \mathbf{f}_{c28} =25 MPa.
- $\gamma b = 1.5$: le coefficient de sécurité du béton.
- $\theta = 1$

$$B \ge \frac{Nu}{fbu}$$
..... $0.1575 \ge \frac{1879.4007 \times 10^{-3}}{14.16}$

 $0.1575 \ge 0.1327$ Condition vérifiée

■ Vérification du flambement "(BAEL 91 article B.8.4.1)"

L'effort normal ultime N_u agissant d'un poteau doit être au plus égale à la valeur suivante :

$$N_{admissible} = \left[\frac{Br \times fc28}{0.9 \times \gamma b} + \frac{A \times fe}{\gamma s}\right]$$

• B_r : section réduit du poteau obtenue en réduisant de sa section réelle (1m) d'épaisseur sur tout son périphérique.

$$B_r = (h-2) \times (b-2)$$

- α : coefficient fonction de l'élancement mécanique " λ ".
- $\gamma_b = 1.5$; $\gamma_s = 1.15$
- A: la section d'acier comprimé prise en compte dans le calcul.

A=max (A_{BAEL}; A_{min}).

- \rightarrow A_{BAEL}= max (4cm²/m de périmètre ; 0.2 %B).
- \rightarrow A^{RPA}= 0.8%B (zone IIa).

$$\lambda = \frac{0.7 \times he}{\frac{0.5}{\sqrt{12}}} ; \text{ Avec: } h_e = \text{hauteur libre de l'étage.}$$

$$\lambda 1 = \frac{0.7 \times 3.57}{\frac{0.5}{\sqrt{12}}} = 17.3136; \; \lambda 2 = \frac{0.7 \times 3.06}{\frac{0.5}{\sqrt{12}}} = 14.8421$$

Donc: $\lambda = 17.3136$

$$\alpha = \frac{0.85}{1 + 0.2(\frac{\lambda}{35})^2} = 0.81$$

$$B_{r1} = 1419 \text{ cm}^2$$

$$B_{r2} = 1089 \text{ cm}^2$$

Tableau II.12: Résultat des vérifications au flambement.

poteau	Nu (KN)	α	A ^{BAEL} (mm ²)	A ^{RPA} (mm ²)	A (mm ²)	B_r (mm ²)		condition
35×45	1879.4007	0.81	64000	1260	64000	141900	2629.1690	CV
35×35	1879.4007	0.81	56000	980	56000	108900	2018.9579	CV

II.6 Conclusion

Les résultats obtenus dans ce chapitre seront utilisé dans les prochains chapitres comme le calcul de ferraillage des éléments et l'étude sismique donc ce chapitre une liaison entre la conception de la structure et son analyse. Et pour cela, nous vous présentant ci-dessous les différentes dimensions obtenues dans notre structure étudiée:

a) Plancher

Plancher à corps creux 16+4 cm.

Plancher à dalle pleine 15 cm.

b) Poutre

Poutre principale: b=30 cm, h=40 cm.

Poutre chainage: b=30 cm, h=30cm.

c) Poteau

Poteau 01: s-sol, RDC et étage courant: 35×45 cm.

Poteau 02: s-sol, RDC et étage courant: 35×35 cm

d) Voile

Un voile d'épaisseur de 18 cm.

e) Escalier

e = 15cm pour la paillasse.

e = 15 cm pour le palier de repos.

Chapitre III calcul des éléments secondaires

III.1 Introduction

Les éléments non structuraux sont des éléments qui ne font pas partie ni du système de contreventement ni du système porteur. L'étude de ces éléments est indépendante de l'action sismique. Leur calcul se fait généralement sous l'action des charges permanentes et des surcharges d'exploitation.

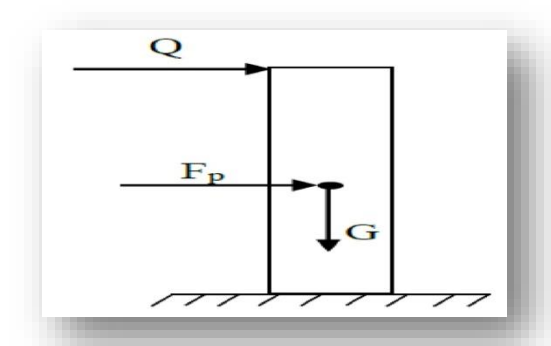
Ce chapitre est consacré aux calculs des éléments ci-après :

- Les planchers (corps creux, dalle pleine).
- Balcon.
- Les escaliers.
- L'acrotère.
- L'ascenseur.

III.2 Etude de l'acrotère

L'acrotère est un élément non structural coulé sur place comme une console encastrée à l'extrémité du plancher terrasse, il assurer la sécurité des personnes circulant au niveau de la terrasse et d'empêcher la filtration des eaux pluviales entre la forme de pente et le plancher \mathbb{R}^2 Il est soumis à son Poids propre(G) et une surcharge d'exploitation (Q) due à la main courante qui crée un moment « M_Q » au niveau de l'encastrement et La force sismique (F_p).

Le calcul sera faire en flexion composée au niveau de la section d'encastrement pour une bande d'un mètre linéaire, la fissuration étant préjudiciable.



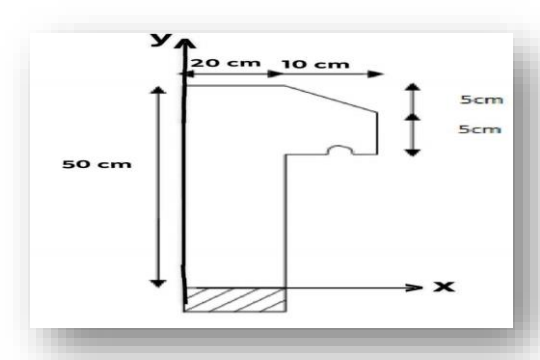


Figure III.1: Modèle de calcul de l'acrotère. Figure III.2: Coupe transversale de l'acrotère.

III.2.1 Hypothèse de calcul

- L'acrotère est sollicité en flexion composée.
- La fissuration est considérée comme préjudiciable.
- Le calcul se fait pour une bande de un mètre linéaire.

III.2.2 Évaluation des charges

D'après le chapitre précédent on a :

G = 3.0475 KN/ml et Q = 1 KN/ml (plancher terrasse inaccessible).

• La force sismique horizontale FP est donnée par la formule suivante :

$$F_P = 4 \times A \times CP \times WP......$$
 (RPA99/2003, Art 6.2.3)

A : Coefficient d'accélération de zone (groupe d'usage 2, zone IIa, A=0.15).

 C_P : Facteur de force horizontal (Cp = 0.8).

W_P: Poids de l'acrotère.

Donc : $F_P = 4 \times 0.15 \times 0.8 \times 3.0475 = 1.4628 \text{ KN/ml}$

Calcul du centre de gravité de la section G (X_q, Y_q) :

$$X_g = \frac{\sum Ai*xi}{\sum Ai} = \frac{\left(0.2\times0.5\times0.1\right) + \left(0.05\times0.1\times(0.2 + \frac{0.1}{2})\right) + \left(\frac{0.1\times0.05}{2}\right)\left(0.2 + \frac{0.1}{3}\right)}{0.2\times0.5 + 0.05\times0.1 + \frac{0.1\times0.05}{2}} = \frac{0.01 + 0.00125 + 0.000583}{0.1075}$$

$$X_q = 0.110074$$
m

$$Y_g = \frac{\sum Ai*yi}{\sum Ai} = \frac{(0.2\times0.5\times0.25) + (0.05\times0.1\left(0.4 + \frac{0.05}{2}\right)) + (\frac{0.1\times0.05}{2})(0.4 + 0.05 + \frac{0.05}{3})}{0.1075} = \frac{0.025 + 0.002125 + 0.001166}{0.1075}$$

$$Y_q = 0.263172 \text{ m}$$

III.2.3 Sollicitation et combinaison

• Sous l'action de surcharge

 N_G : effort de compression du au poids propre : G = 3.0475 KN/ml

 M_G : moment créé par N_G : $M_G = N_G \times L = 0 \ (L = 0)$

 N_0 : effort dû à la surcharge : Q = 1 KN/ml

 M_Q : moment créé par N_Q : $M_Q=Q\times L=1\times 0,5=0,5$ KN .m

• Sous l'action sismique

$$M_{FP} = F_P \times d = 1.4628 \times \frac{0.5}{2} = 0.3657 KN.m$$

Combinaison des charges

E.L.U:
$$N_U = 1,35N_G + 1,5 N_Q = 1,35(3.0475) + 1,5(0) NU = 4.1141 KN$$

$$M_U = 1,35M_G + 1,5M_O = 1,35(0) + 1,5(0,5) MU = 0,75KN .m$$

E.L.S:
$$N_S = N_G + N_Q = 3.0475 = 3.0475 \text{ KN}$$

$$M_S = M_G + M_Q = 0 + 0.5 = 0.5 \text{ KN .m}$$

• La combinaison accidentelle

$$G+Q\pm E = 3.0475+1\pm1.4628$$

Sens X:
$$M_a = (1 \times 0.5) + (1.4628 \times 0.263172 = 0.8850 \text{ KN.m})$$

Sens Y :
$$Na = G = 3.0475KN/m$$

Calcul de l'effort tranchant

E.L.U:
$$V_u = Q + F_P = 1 + 1.4628 = 2.4628 \text{ KN/ml}$$

Tableau III.1: Les sollicitations de l'acrotère.

Sollicitations	RPA99	ELU	ELS
Combinaison de charges	$G + Q \pm E$	1,35G + 1.5Q	G + Q
N (KN)	3.0475	4.1141	3.0475
$\mathbf{M}(KN.m)$	0.8850	0.75	0.5
V (KN/ml)	/	2.4628	/

III.2.4 Calcul du ferraillage

• Détermination de l'excentricité

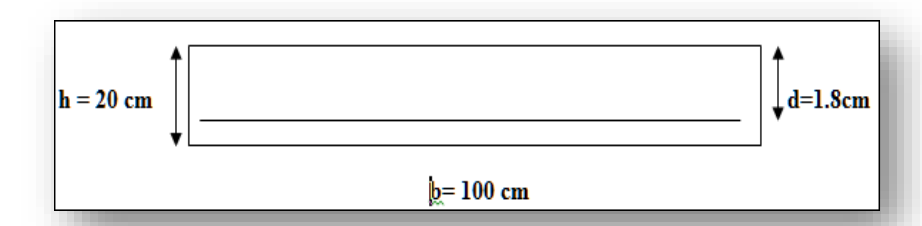


Figure III.3: Section de l'acrotère à ferrailler.

a) à l'état limite ultime

En adopte une excentricité totale de calcule :

$$e = e_0 + e_2 + e_a$$

Avec:

e₀ : Excentricité de la résultante.

e₂ : Excentricité due aux effets du second ordre liée à la déformation de la structure.

 e_a : Excentricité additionnelle traduisant les imperfections géométriques initiales.

1) Calcul l'excentricité de la résultante

$$e_0 = \frac{Mu}{Nu} = \frac{0.75}{4.1141} = 0.1822 \text{ m} \implies e_0 > \frac{h}{6}$$

 $\frac{h}{6} = \frac{0.5}{6} = 0.083 \text{ m}$

→ Le centre de pression se trouve à l'extérieur de la section et Nu est un effort de compression donc la section est partiellement comprimée. le ferraillage se fait par assimilation à la flexion simple.

2) Calcul l'excentricité additionnelle

$$e_a = \max (2 \text{ cm}, \frac{h}{250}) = e_a = \max (2; \frac{50}{250}) - e_a = 2 \text{ cm} = 0.02 \text{ m}$$

$$e_1 = e_0 + e_a = 0.1822 + 0.02 = 0.2022 \text{ m}$$

3) Calcul l'excentricité due aux effets du second ordre

L'excentricité du deuxième ordre (e_2) liée à la déformation de la structure. Pour déterminer l'excentricité du second ordre

$$\frac{Lf}{h} \le \max(15; 20\frac{e1}{h})$$

 $\frac{1}{0.1} \le \max (15; 8.008) \rightarrow 10 \le 15$ on détermine l'excentricité e2 de façon forfaitaire

$$e_2 = \frac{3l^2f}{10^4h} (2+\alpha \emptyset)$$

Ø: C'est le rapport de déformation finale due au fluage à la déformation instantanée sous la charge considérée, il est généralement pris égal à 2.

α: Le rapport du moment du premier ordre, dû aux charges permanentes et quasi-Permanentes, au moment total du premier ordre, le coefficient αest compris entre 0 et1.

$$L_f$$
: Longueur de flambement $\rightarrow L_f = h \times 2 = 0.5 \times 2 = 1 \text{ m}$

h: Hauteur de la section qui est égale à 15cm

$$\alpha = \frac{M_G}{MG + MQ} = \frac{0}{0 + 0.5} = 0$$

$$e_2 = \frac{3 \times 1^2}{0.2 + 10^4} (2 + 0 \times 2) = 0.0015 \text{ m}$$

$$e = e_2 + e_0 + e_a = 0.0015 + 0.1822 + 0.02 = 0.2037 \text{ m}$$

Les sollicitations majorées

$$M_{UG} = Nu \times e = 4.1141 \times 0.2073 = 0.8380 \ KN. m$$

$$M_{ua} = M_{UG} + N_u (d - h_0/2) = 0.8380 + 4.1141 (0.18 - 0.2/2) = 1.16712 \text{ KN. } m = 1167.12 \text{N.m}$$

$$f_{bu} = 14.2 \text{ MPA}$$
 ; $f_{st} = 348 \text{ MPA}$; $b = 1 \text{ m}$; $d = 0.18 \text{ m}$.

On applique la formule de la flexion simple :

$$\mu_{bu} = \frac{M_{ua}}{bd^2 f_{bu}} = \frac{1167.12 \times 10^3}{1000 \times 80^2 \times 14.2} = 0.01284 < \mu_l = 0.391...$$
 AS = 0

$$\alpha = 1.25 \times (1 - \sqrt{1 - 2\mu}) = 1.25 \times (1 - \sqrt{1 - 2(0.01284)}) = 0.01615$$

$$Z = d (1-0.4 \alpha) = 0.18 (1-0.4 \times 0.01615) = 0.1683 m$$

$$A_u = \frac{M_{ua}}{Z \times f_{st}} = \frac{1167.12 \times 10^{-6}}{0.1683 \times 348} = 0.000020 \text{ m} = 0.20 \text{ cm}^2/\text{ml}$$

> Retour à la section réelle

$$A_s = A_u - \frac{Nu}{f_{st}} = 0.20 \times 10^{-4} - \frac{4.1141 \times 10^{-3}}{348} = 0.0000081 \text{ m}^2 = 0.081 \text{ cm}^2$$

Vérification de condition de non fragilité

$$A_{min} = 0.23bd \frac{f_{t28}}{f_e} = 0.23 \times 1 \times 0.18 \times \frac{2.1}{400} = 2.17 \text{ cm}^2/\text{ml}$$

 $A_{min} > A_s$ On adopte: $As = 4HA10 = 3.14 \text{ cm}^2/\text{ml}$.

> Armatures de répartition

$$A_r = \frac{A_s}{4} = \frac{3.14}{4} = 0.785 \text{ cm}^2$$
 On adopte : $A_t = 4\text{HA6} = 1.13 \text{ cm}^2/\text{ml}$

> Espacement

1) Armatures principale:

$$S_t \le \frac{b}{3} = \frac{100}{3} 33.33 \text{ cm}$$
 On adopte $S_t = 25 \text{ cm} \dots \text{CV}$

2) Armatures de répartitions :

b) à l'état limite service

$$e = \frac{M_{Ser}}{N_{Ser}} = \frac{0.5}{3.0475} = 0.1640 \text{ m}$$

$$e > \frac{h}{6} = \frac{0.2}{6} = 0.033 \text{ m}$$

Nous avons une section partiellement comprimée on calculera la section en flexion simple sous l'effort d'un moment fléchissant par rapport au centre de gravité des armatures tendus.

$$M_{ser/A} = M_{ser} + N_{ser} (d - \frac{h}{2}) = 0.5 + 3.0475(0.18 + 0.1) = 0.7438 \text{ KN. } m = 743.8 \text{ N.m}$$

Calcul de moment limite de service M1

$$M_1 = \mu_r \, bd^2 \sigma_{bc}$$
 $=> \mu_r = \frac{\alpha_r}{2} (1 - \frac{\alpha_r}{3})$ et $\alpha_r = \frac{15 \, \sigma_{bc}}{15 \, \sigma_{bc} + \sigma_s}$

> La contrainte d'acier

Fissuration préjudiciable

$$\sigma_s = \min(\frac{2}{3}f_e; 110\sqrt{\eta \times f_{t28}}) \quad \eta = 1.6 \implies \sigma_s = \min(266.66; 201.63)$$

$$\Rightarrow \quad \sigma_s = 201.63 \text{ MPA}$$

> La contrainte de béton

$$\sigma_{bc} = 0.6 \text{ f}_{c28} = 15 \text{ MPA Donc}: \alpha_{r} = \frac{15 \times 15}{15 \times 15 + 201.63} = 0.5273$$

$$\mu_r = \frac{0.5273}{2} (1 - \frac{0.5273}{3}) = 0.2173$$

$$M_1 = 0.2173 \times 2000 \times 180 \times 15 \implies M_1 = 1173420 \text{ N/mm}$$

$$Z = d \left(1 - 0.4 \frac{\alpha_r}{3}\right) = 0.18 \left(1 - 0.4 \frac{0.5273}{3}\right) = 0.1673$$

$$A_S = \frac{\textit{M}_{\textit{Ser}/\textit{A}}}{\textit{Z} \times \sigma_{\textit{S}}} = \frac{743.8 \times 10^3}{167.34 \times 201.63} = 0.22 \text{ cm}^2 / \text{ml}$$

$$A_{ser} = A_{s} - \frac{N_{ser}}{\sigma_{s}} = 22 - \frac{3047.5}{201.63} = 0.068 \text{ cm}^2/\text{ml}$$

Donc : $A_S = \max (0.068; 0.081; 2.17)$ \rightarrow On adopter: $A_{S1} = 2.17 \text{ cm}^2/\text{ml} \Rightarrow 4\text{HA}10$

Vérification de condition de cisaillement

On doit vérifier que : $\tau_u \le \overline{\overline{\tau}_u}$

$$\overline{\overline{\tau}_{u}} = \min (0.15 \, \frac{f_{c28}}{\gamma_b} \, ; \, 4\text{MPa}) = 2.5 \, \text{MPA}$$

$$\tau_u = \frac{T_u}{bd} = \frac{2.4628 \times 10^3}{2000 \times 180} = 0.0068 \text{ MPa} < 2.5 \text{ MPa} \dots \text{CV}$$

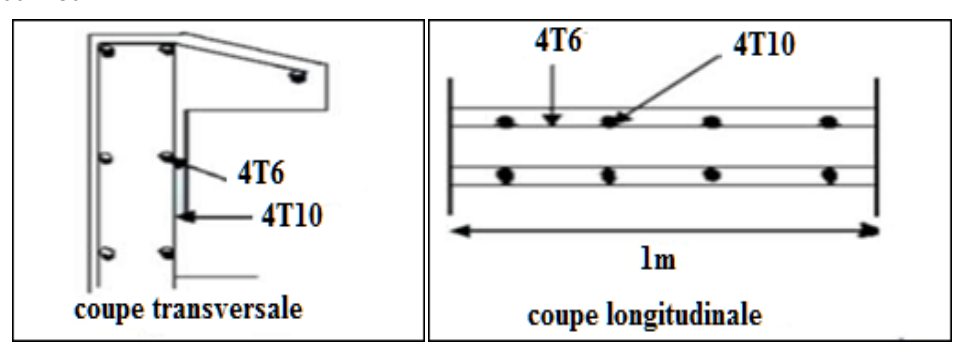


Figure III.4: Schéma de ferraillage de l'acrotère.

III.3 Calcul des Escaliers

L'escalier travaille à la flexion simple en considérant la dalle comme une poutre uniformément chargée et en tenant des types d'appuis sur lesquels elle repose: Pour déterminer les sollicitations, on a se base sur la méthode RDM.

L'escalier est un élément qui n'est pas exposé aux intempéries, donc les fissurations sont considérées comme peu nuisibles.

Dans notre projet on a 2 types d'escalier :

• 1 er type : 7 étages.

• 2^{éme} type : (RDC et sous-sol).

III.3.1 Escalier type 1 : étage courant

➤ Volée 01

a) Charges et surcharges

La volée : $G_V = 8.726 \text{ KN/m}^2$

$$Q_V = 2.5 \text{ KN/m}^2$$

Le palier : $G_p = 5.150 \text{ KN/m}^2$

$$O_P = 2.5 \text{ KN/m}^2$$

Avec:

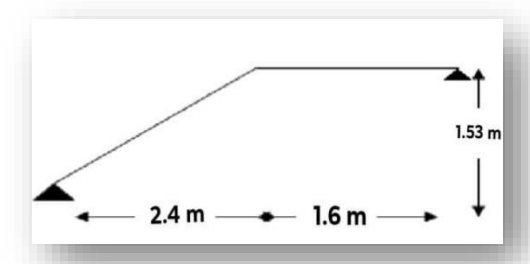
Gy: Charge permanente de la volée.

Qv: Charge variable de la volée.

G_p: Charge permanente du palier.

Q_P: Charge variable du palier.

b) Schéma statique



c) Combinaisons des charges

o **E.L.U**: $P_u = 1,35 G + 1,5 Q$

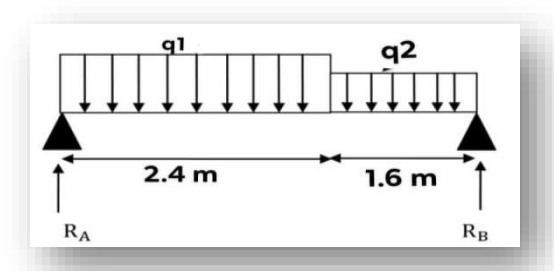
 \circ **E.L.S**: $P_{ser} = G + Q$

Les escaliers étudient pour une bande de 1 m.

Tableau III.2: Les combinaisons des charges d'escalier type 1.

Désignation	Volée q1 (KN/ml)	Palier q2 (KN/ml)
ELU	15.53	10.703
ELS	11.226	7.65

d) Calcul des sollicitations



e) Calcul des réactions

$$\sum M_{/B} = 0 \Rightarrow 4RA - (15.53 \times 2.4 \times 2.8) - (10.703 \times 1.6 \times 0.8) = 0$$

$$\Rightarrow$$
 RA = 29.515 KN

$$\sum F_V = 0 \Rightarrow R_A + R_B = (15.53 \times 2.4) + (10.703 \times 1.6)$$

$$\Rightarrow$$
 R_B = 24.882 KN

> ELS

$$\sum M_{/B} = 0 \Rightarrow 4RA - (11.266 \times 2.8 \times 2.4) - (7.65 \times 1.6 \times 0.8) = 0$$

$$\Rightarrow$$
 RA = 21.307 KN.

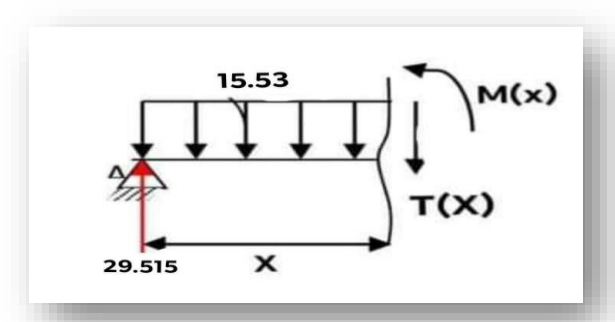
$$\Sigma F_V = 0 \Rightarrow RA + RB = (11.226 \times 2.4) + (7.65 \times 1.6)$$

$$\Rightarrow$$
 R_B = 39.182 KN.

a) Calcul des moments et efforts tranchants

> ELU

• Pour: $0 \le x \le 2.4 \text{ m}$



1) Effort tranchant

$$\sum F_V = 0 \Rightarrow T(x) = 29.515 - 15.53 \text{ x}$$

$$x = 0 \rightarrow T(x) = 29.515 \text{ KN}$$

$$x = 2.4 \rightarrow T (x) = -7.757 \text{ KN}$$

2) Moment fléchissant

$$M(x) = 29.515 x - 15.53 \frac{x^2}{2}$$

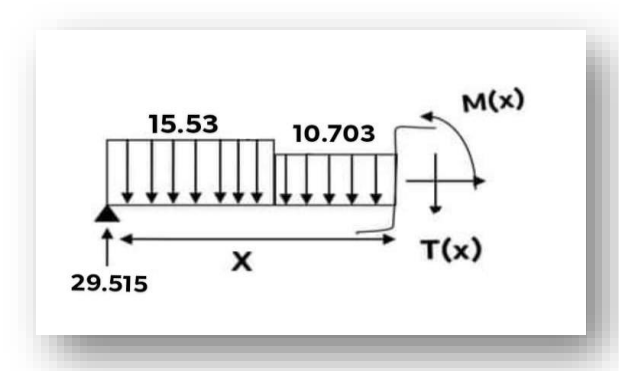
$$\frac{dM(x)}{dx} = 0 \Rightarrow 15.53 \text{ x} - 31.86 = 0 \Rightarrow \text{x} = 1.9 \text{ m}$$

$$x = 0 \rightarrow M(x) = 0 \text{ KN. m}$$

$$x = 1.9 \rightarrow M(x) = 28.046KN.m$$

$$x = 2.4 \rightarrow M(x) = 26.11KN.m$$

o Pour:
$$2.4 \le x \le 4m$$



1) Effort tranchant

$$\Sigma F_V = 0 \Rightarrow T(x) = 29.515 - 15.53 \times 2.4 - (x - 2.4) \cdot 10.703$$

$$x = 2.4 \rightarrow T (x) = -7.757 \text{ KN}$$

$$x = 4 \rightarrow T(x) = -24.882 \text{ KN}$$

$$T(x)_{max} = 29.515 \text{ KN}$$

2) Moment fléchissant

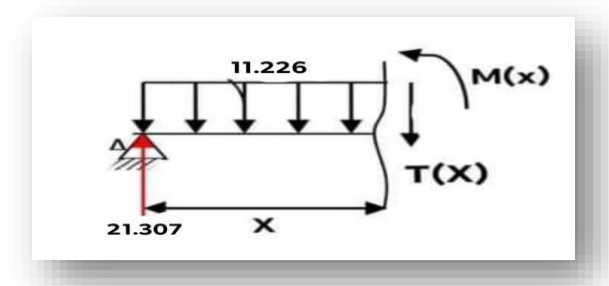
$$M(x) = 29.515 \ x - 2.4 \ (x - \frac{2.4}{2}) \ 15.53 - \frac{(x - 2.4)^2}{2} \ 10.703$$

$$x = 2.4 \rightarrow M(x) = 26.11KN.m$$

$$x = 4 \rightarrow M(x) = 0 KN.m$$

> ELS

Pour: $0 \le x \le 2.4 \text{ m}$



1) Effort tranchant

$$\sum F_V = 0 \Rightarrow T(x) = 21.307 - 11.226 \text{ x}$$

$$x = 0 \rightarrow T(x) = 21.307 \text{ KN}$$

$$x = 2.4 \rightarrow T (x) = -5.57 \text{ KN}$$

2) Moment fléchissant

$$M(x) = 21.307 x - 11.226 \frac{x^2}{2}$$

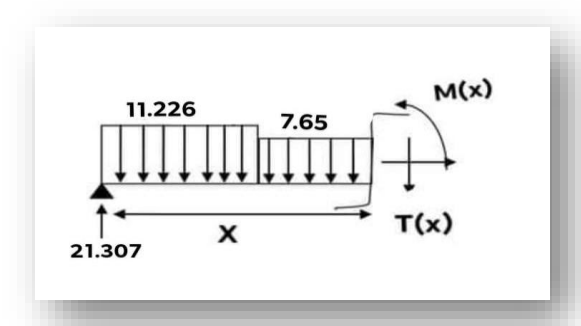
$$\frac{dM(x)}{dx} = 0 \Rightarrow 21.375-11.226 \text{ x } = 0 \Rightarrow \text{x} = 1.9 \text{ m}$$

$$x = 0 \rightarrow M(x) = 0 KN.m$$

$$x = 1.9 \rightarrow 20.22KN.m$$

$$x = 2.4 \rightarrow M(x) = 18.81KN.m$$

Pour: $2.4 \le x \le 4m$



1) Effort tranchant

$$\sum F_V = 0 \Rightarrow T(x) = 21.307-11.226 \times 2.4 - (x - 2.4) 7.65$$

$$x = 2.4 \rightarrow T (x) = 5.64 \text{ KN}$$

$$x = 4 \rightarrow T(x) = -17.875KN$$

$$T(x)_{max} = 21.307 \text{ KN}$$

2) Moment fléchissant

$$M(x) = 21.307 \text{ x} - 2.4 \text{ (x} - \frac{2.4}{2}) 11.226 - 7.65 \frac{(x-2.4)^2}{2}$$

$$x = 2.4 \rightarrow M(x) = 18.81KN.m$$

$$x = 4 \rightarrow M(x) = 0 KN.m$$

$$M(x)_{max} = 21.307KN.m$$

On prend la valeur maximale de moment et d'effort tranchant

Le moment sur appuis : $M_a = (0.3, 0.5) M_0$

Le moment sur travée : $M_t = (0.7, 0.85) M_0$

Tableau III.3: Tableau récapitulatif des sollicitations de Volée 01.

Désignation	M ₀ (KN. m)	M _a = 0.5Mo (KN. m)	$\begin{aligned} \mathbf{M}_t &= \mathbf{0.85M_0} \\ (\mathbf{KN.m}) \end{aligned}$	Tu (KN)
ELU	28.046	14.023	23.84	29.515
ELS	21.307	10.653	18.11	

> ELU

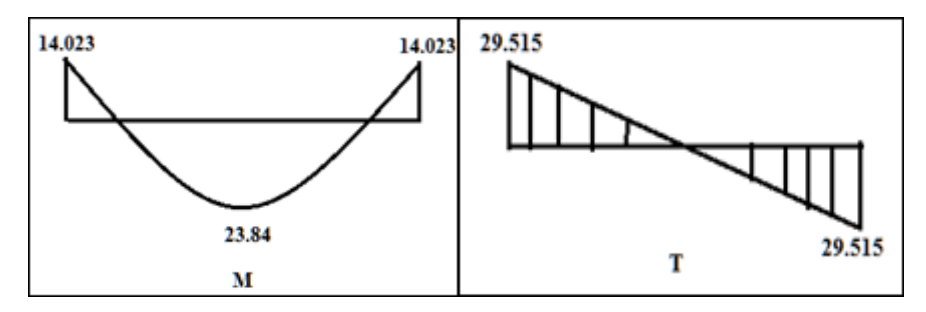


Figure III.5: Diagramme des moments et des efforts tranchants en ELU.

> ELS

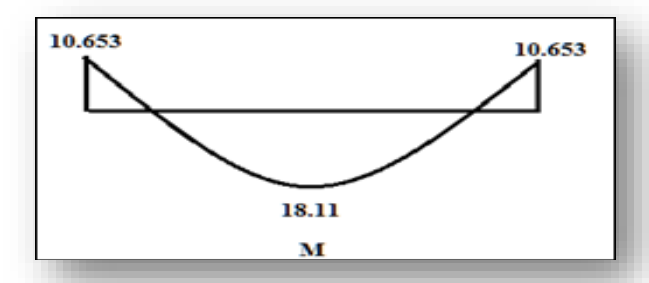


Figure III.6: Diagramme des moments en ELS.

o Calcul du Ferraillage

L'escalier est calculé comme une poutre à section rectangulaire travaillant à la flexion simple Le calcul des armatures se fait sur une bande de 1 m de largeur.

Pour simplifier les calculs on prend e = 15 cm.

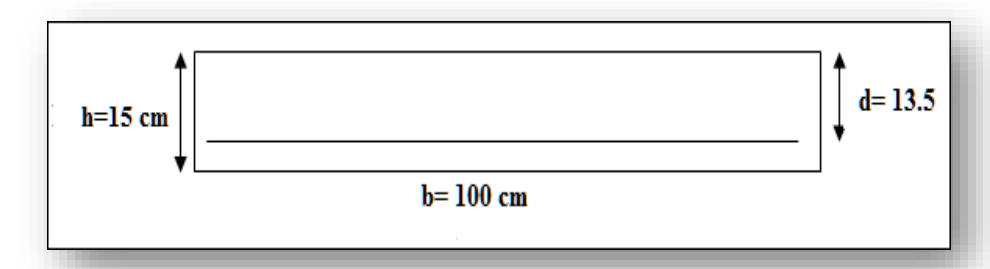


Figure III.7: Section d'escalier à ferrailler.

Le tableau suivant représente le calcul de ferraillage à la flexion simple.

Tableau III.4: Ferraillage des escaliers.

Désignation	M (KN. m)	b (cm)	d (cm)	μ_{bu}	α	Z (mm)	A cal (cm ²)	A min (cm ²)	A adopte (cm²)
Travée	23.84	100	13.5	0.09	0.12	128.52	5.33	1.96	5HA12=5.65
Appuis	14.023	100	16.2	0.054	0.07	131.22	3.07	1.96	4HA10=3.14

Les armatures de répartition : $A_t = \frac{As}{4}$

Tableau III.5 : les armatures de répartition.

Désignation	A_t (cm ²)	A adopte (cm ²)
Travée	1.41	3HA8=1.51
Appuis	0.79	3HA8=1.51

o Espacement entre les armatures

> Armatures longitudinales

$$S_t \le min (3h; 33 cm) = 33 cm$$

Travée :
$$S_t = \frac{100}{4} = 25 \text{cm}$$

Appuis :
$$S_t = \frac{100}{4} = 25$$
cm

> Armatures transversales

$$S_t \le min (4h; 45 cm) = 45 cm$$

Travée :
$$S_t = \frac{100}{3} = 33 \text{cm}$$

Appuis :
$$S_t = \frac{100}{3} = 33$$
cm

Vérifications

Vérification de la contrainte de cisaillement

$$\tau_u \leq \bar{\tau_u}$$

$$\tau_u = \frac{T_u}{bd} = \frac{29.515 \times 10^3}{1000 \times 135} = 0.22 \text{ MPa}$$

Fissuration peu nuisible $= \min (\frac{0.2 f_{C28}}{\gamma_b}; 5 \text{ MPA}) = \min (3.33; 5) = 3.33 \text{ MPa}$

$$\tau_u = 0.22 \text{ MPa} \le \overline{\tau_u} = 3.33 \text{MPa} \dots \text{CV}$$

→ Pas de risque de rupture par cisaillement, donc les armatures transversales ne sont pas nécessaires.

Vérification de l'état limite de compression du béton (ELS)

$$\sigma_{bc} = \frac{M_{Ser \times Y}}{I} \le \overline{\sigma_{bc}} = 0.6 \times 25 = 15 \text{MPa}$$

o Position de l'axe neutre

$$\frac{1}{2}$$
 by² + n (y - d) A_{S0} - n (d-y) A_{S} = 0

o Moment d'inertie

$$I = \frac{1}{3} \text{ by}^3 + n (y - d) A_{S0} - n (d-y)^2 A_S$$

Les résultats trouvés en travée et sur appui dans les deux sens sont regroupés dans le tableau suivant:

Tableau III.6: Vérification des contraintes à l'ELS.

	M _{ser} (KN. m)	Y (cm)	<i>I</i> (cm ⁴)	σ _{bc} (MPA)	$\overline{\sigma_{bc}}$ (MPA)	$\sigma_{bc} \le \overline{\sigma_{bc}}$
travée	18.11	4.01	9512	7.63	15	C.V
Appuis	10.653	3.13	6087.13	5.48	15	C.V

Vérification de la flèche

La vérification de la flèche n'est pas nécessaire si les conditions suivantes sont vérifiées:

Avec:
$$h = 0.15 \text{ m}$$
 $l = 4 \text{ m}$. $A_{stt} = 5.65 \text{ cm}^2$

⇒ Donc il y'a un risque de la flèche:

> Calcul de la flèche

Il faut que:

$$f = \frac{M_t}{10 \times E_i \times I_{fi}} \le f = 0.05 \text{ cm} + \frac{L}{100}$$

Avec:

I_{fi}: L'inertie fissurée

 E_i : Module instantané de béton (E_i = 32164.2MPa)

$$I_f = \frac{1.1I_0}{1 + \lambda i \times u} = 14273.44 \text{ cm}^4$$

$$u = 1 - \frac{1.75 f_{t28}}{4\rho \sigma_s + n f_{t28}} = 0.28$$

$$\lambda i = \frac{0.05 f_{t28}}{2 + \left(3 \frac{b_0}{b}\right) \rho} = 5.25$$

$$f = \frac{18.11 \times 10^6}{10 \times 32164.2 \times 13154.99} = 0.0043 \le f = 0.05 \text{ cm} + \frac{400}{1000} = 0.45 \dots \text{CV}$$

III.3.2 Escalier type 2: (RDC)

➤ Volée 02

a) Charges et surcharges

La volée : $G_V = 8.79 \text{ KN/m}^2$

$$Q_V = 2.5 \text{ KN/m}^2$$

Le palier : $G_p = 5.15 \text{ KN/m}^2$

$$Q_P = 2.5 \text{ KN/m}^2$$

Avec:

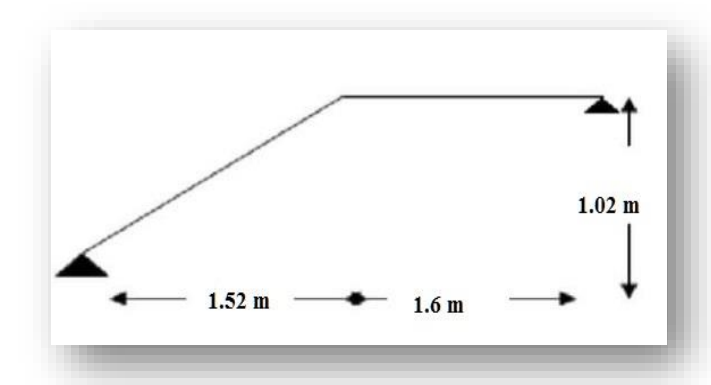
G_V : Charge permanente de la volée

Qv : Charge variable de la volée

G_p: Charge permanente du palier

Q_P: Charge variable du palier

b) Schéma statique



c) Combinaisons des charges

o **E.L.U**: $P_u = 1,35 G + 1,5 Q$

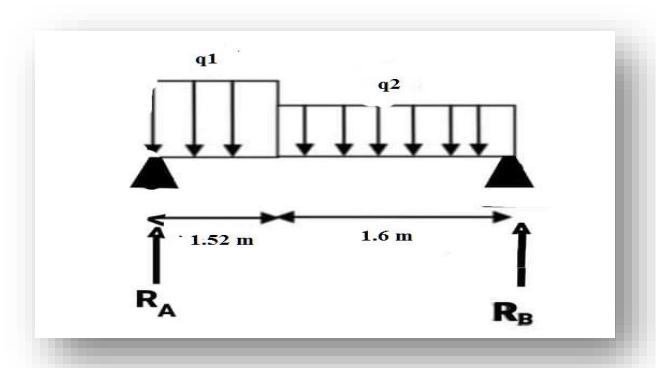
 \circ **E.L.S**: $P_{ser} = G + Q$

Les escaliers étudient pour une bande de 1 m.

Tableau III.7: Les combinaisons des charges d'escalier type 2.

Désignation	Volée q1 (KN/ml)	Palier q2 (KN/ml)
ELU	15.62	10.70
ELS	11.29	7.65

✓ Calcul des sollicitations



d) Calcul des réactions

> ELU

$$\sum M_{AB} = 0 \Rightarrow 3.12R_A - (15.62 \times 1.52 \times 2.36) - (10.70 \times 1.6 \times 0.8) = 0$$

$$\Rightarrow$$
 R_A = 22.34 KN

$$\sum F_V = 0 \Rightarrow R_A + R_B = (15.62 \times 1.52) + (10.70 \times 1.6)$$

$$\Rightarrow$$
 R_B = 18.52 KN

> ELS

$$\sum M_B = 0 \Rightarrow 3.12R_A - (11.29 \times 0.6 \times 1.9) - (7.65 \times 1.6 \times 0.8) = 0$$

$$\Rightarrow$$
 R_A = 16.12 KN.

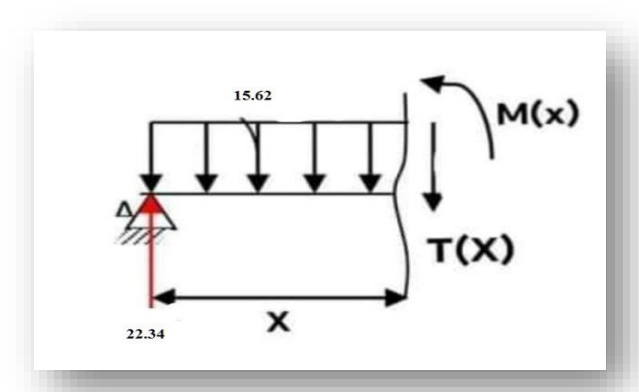
$$\sum F_V = 0 \Rightarrow R_A + R_B = (11.29 \times 0.6) + (7.65 \times 1.6)$$

$$\Rightarrow$$
 R_B = 13.28 KN.

e) Calcul des moments et efforts tranchants

> ELU

• Pour: $0 \le x \le 1.52 \text{ m}$



1) Effort tranchant

$$\sum F_V = 0 \Rightarrow T(x) = 22.34 - 15.62 \text{ x}$$

$$x = 0 \rightarrow T(x) = 22.34 \text{ KN}$$

$$x = 1.52 \rightarrow T (x) = -1.4 \text{ KN}$$

2) Moment fléchissant

$$M(x) = 22.34 \text{ x} - 15.62 \frac{x^2}{2}$$

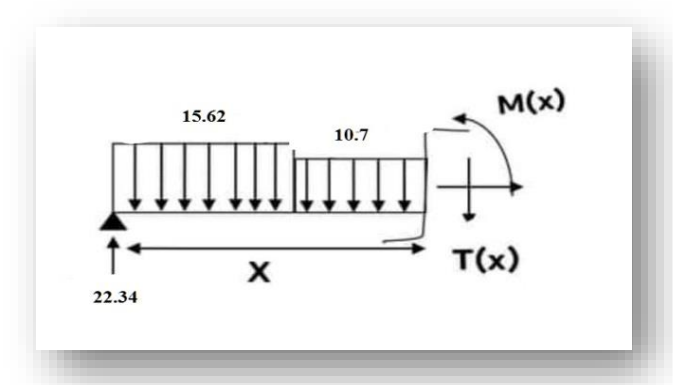
$$\frac{dM(x)}{dx} = 0 \Rightarrow 15.62 \text{ x} - 22.34 = 0 \Rightarrow \text{x} = 1.43 \text{ m}$$

$$x = 0 \rightarrow M(x) = 0 KN.m$$

$$x = 1.43 \rightarrow M(x) = 15.97KN.m$$

$$x = 1.52 \rightarrow M(x) = 15.91KN.m$$

o Pour: $1.52 \le x \le 3.12 \text{ m}$



1) Effort tranchant

$$\sum F_V = 0 \Rightarrow T(x) = 22.34-15.62 \times 1.52 - (x - 1.52) 10.7$$

$$x = 1.52 \rightarrow T (x) = -1.27 KN$$

$$x = 3.12 \rightarrow T (x) = -18.39 \text{ KN}$$

$$T(x)_{max} = 22.34 \text{ KN}$$

2) Moment fléchissant

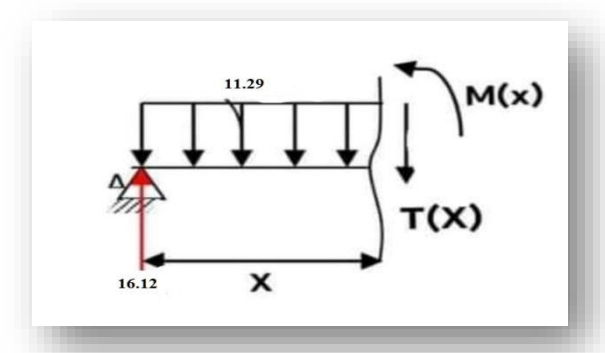
$$M(x) = 22.34 \text{ x} - 1.52 (x - \frac{1.52}{2}) 15.62 - \frac{(x - 1.52)^2}{2} 10.70$$

$$x = 1.52 \rightarrow M (x) = 15.90 KN. m$$

$$x = 3.12 \rightarrow M (x) = 0 KN. m$$

> ELS

Pour: $0 \le x \le 1.52 \text{ m}$



1) Effort tranchant

$$\sum F_{V} = 0 \Rightarrow T(x) = 16.12 - 11.29 \text{ x}$$

$$x = 0 \rightarrow T(x) = 16.12 \text{ KN}$$

$$x = 1.52 \rightarrow T (x) = -1.04 \text{ KN}$$

2) Moment fléchissant

$$M(x) = 16.12 x - 11.29 \frac{x^2}{2}$$

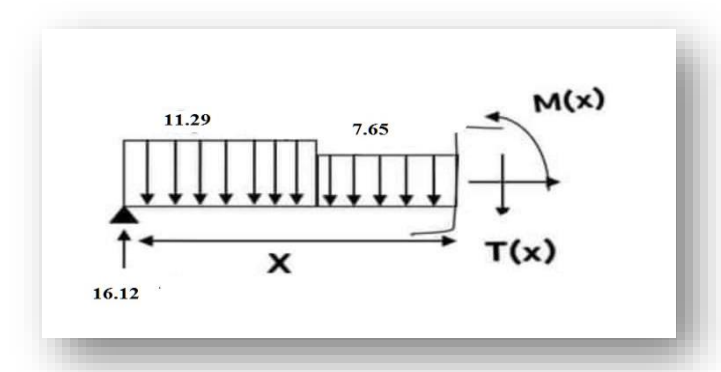
$$\frac{dM(x)}{dx} = 0 \Rightarrow 16.12-11.29 \text{ x } = 0 \Rightarrow \text{x} = 1.43 \text{ m}$$

$$x = 0 \rightarrow M(x) = 0 KN.m$$

$$x = 1.43 \rightarrow 11.51KN.m$$

$$x = 1.52 \rightarrow M(x) = 11.46KN.m$$

Pour: $1.52 \le x \le 3.12 \text{ m}$



1) Effort tranchant

$$\sum F_V = 0 \Rightarrow T(x) = 16.12\text{-}11.26 \times 1.52 + (x - 1.52) 7.65$$

 $x = 1.52 \rightarrow T(x) = -1.03 \text{ KN}$
 $x = 3.12 \rightarrow T(x) = -13.27 \text{ KN}$

$$T(x)_{max} = 16.12 \text{ KN}$$

2) Moment fléchissant

$$M(x) = 16.12 \text{ x} - 1.52(x - \frac{1.52}{2}) 11.29 - 7.65 \frac{(x - 1.52)^2}{2}$$

$$x = 1.52 \rightarrow M(x) = 11KN.m$$

$$x = 3.12 \rightarrow M(x) = 0 KN.m$$

 $M(x)_{max} = 11KN.m$

On prend la valeur maximale de moment et d'effort tranchant.

Tableau III.8: Tableau récapitulatif des sollicitations de Volée 02.

Désignation	M ₀ (KN. m)	M _a = 0.5M ₀ (KN. m)	$M_t = 0.85M_0$ (KN. m)	Tu (KN)
ELU	15.97	8	13.57	22.34
ELS	11.51	5.8	9.8	/

> E.L.U

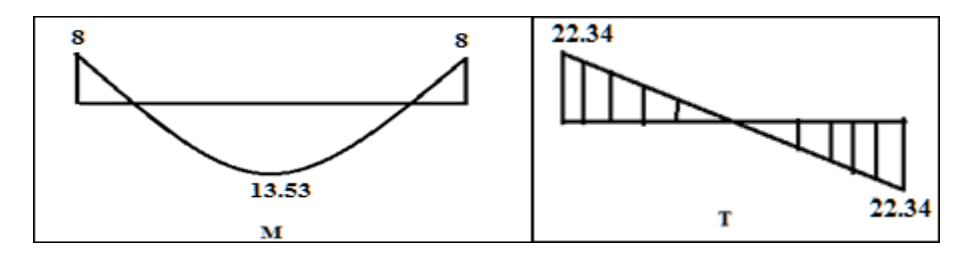


Figure III.8: Diagramme des moments et des efforts tranchants en E.L.U.

> E.L.S

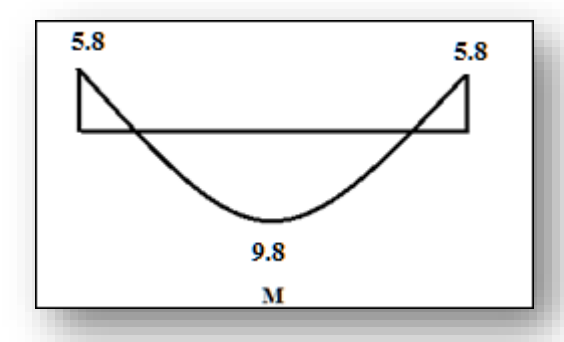


Figure III.9: Diagramme des moments en E.L.S.

o Calcul du Ferraillage

L'escalier est calculé comme une poutre à section rectangulaire travaillant à la flexion Simple; Le calcul des armatures se fait sur une bande de 1 m de largeur.

Pour simplifier les calculs on prend e = 15 cm.

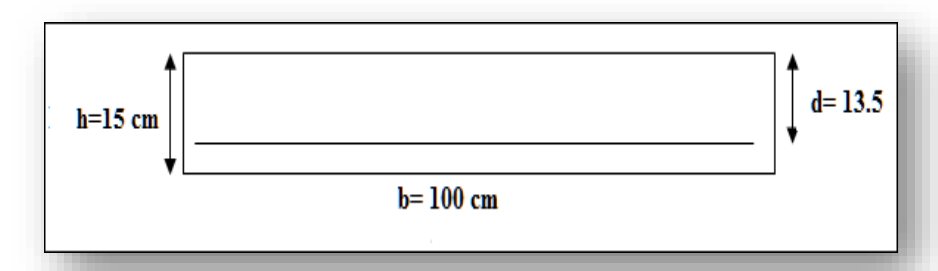


Figure III.10: Section d'escalier à ferrailler.

Le tableau suivant représente le calcul de ferraillage à la flexion simple.

Tableau III.9: Ferraillage des escaliers.

Désignation	M (KN.)	b (cm)	d (cm)	μ_{bu}	α	Z (mm)	A cal (cm ²)	A min (cm ²)	A adopte (cm ²)
Travée	13.53	100	13.5	0.05	0.07	133.22	2.96	1.96	5HA10=3.93
Appuis	8	100	13.5	0.03	0.04	132.84	1.73	1.96	5HA8=2.51

 \triangleright Les armatures de répartition : $A_t = \frac{As}{4}$

Tableau III.10: Les armatures de répartition.

Désignation	A_t (cm ²)	A adopte (cm ²)
Travée	0.98	3HA8=1.51
Appuis	0.627	3HA8=1.51

o Espacement entre les armatures

> Armatures longitudinales

$$S_t \le min (3h; 33 cm) = 33 cm$$

Travée :
$$S_t = \frac{100}{4} = 25 \text{cm}$$

Appuis :
$$S_t = \frac{100}{4} = 25 \text{cm}$$

> Armatures transversales

$$S_t \le \min (4h; 45 \text{ cm}) = 45 \text{ cm}$$

Travée :
$$S_t = \frac{100}{3} = 33 \text{cm}$$

Appuis :
$$S_t = \frac{100}{3} = 33$$
cm

Vérifications

> Vérification de la contrainte de cisaillement

$$\tau_u \leq \bar{\tau_u}$$

$$\tau_u = \frac{T_u}{bd} = \frac{22.34 \times 10^3}{1000 \times 135} = 0.17 \text{ MPa}$$

Fissuration peu nuisible : $\overline{\tau_u} = \min(\frac{0.2 f_{c28}}{\gamma_b}; 5 \text{ MPA}) = \min(3.33; 5) = 3.33 \text{ MPa}$

$$\tau_u = 0.17 \text{ MPA} \le \overline{\tau_u} = 3.33 \text{MPa}$$
 CV

→ Pas de risque de rupture par cisaillement, donc les armatures transversales ne sont pas nécessaires.

> Vérification de l'état limite de compression du béton (ELS)

$$\sigma_{bc} = \frac{M_{Ser \times Y}}{I} \le \overline{\sigma_{bc}} = 0.6 \times 25 = 15 \text{MPa}$$

o Position de l'axe neutre

$$\frac{1}{2}$$
 by² + n (y - d) A_{S0} - n (d-y) A_{S} = 0

o Moment d'inertie

$$I = \frac{1}{3} by^3 + n (y - d) A_{S0} - n (d-y)^2 A_S$$

Les résultats trouvés en travée et sur appui dans les deux sens sont regroupés dans le tableau suivant :

Tableau III.11: Vérification des contraintes à l'ELS.

	M _{ser} (KN. m)	Y (cm)	(cm ⁴)	σ _{bc} (MPA)	σ bc (MPA)	$\sigma_{bc} \le \overline{\sigma_{bc}}$
travée	9.8	3.44	7322.87	4.6	15	C.V
Appuis	8	2.83	5041.91	4.49	15	C.V

> Vérification de la flèche

La vérification de la flèche n'est pas nécessaire si les conditions suivantes sont vérifiées:

Avec:
$$h = 0.15 \text{ m}$$
 $l = 3.12 \text{m}$. $A_{stt} = 1.51 \text{ cm}^2$

$$\frac{h}{l} \ge \frac{1}{16} \longrightarrow 0.048 < 0.0625 \dots \text{c.n.v}$$

$$\frac{h}{l} \ge \frac{M_0}{10 \times M_t} \longrightarrow 0.048 < 0.085 \dots \text{c.n.v}$$

$$\frac{A_{S app}}{bd} \le \frac{4.2}{f_e} \longrightarrow 0.0019 < 0.010 \dots \text{c.v.v}$$

⇒ Donc il n pas un risque de la flèche:

> Calcul de la flèche

Il faut que:

$$f = \frac{M_t}{10 \times E_i \times I_{fi}} \le f = 0.05 \text{ cm} + \frac{L}{100}$$

Avec:

I_{fi}: L'inertie fissurée

 E_i : Module instantané de béton (E_i = 32164.2MPa)

$$I_f = \frac{1.1I_0}{1 + \lambda i \times u} = 17763.61 \text{ cm}^4$$

$$u = 1 - \frac{1.75 f_{t28}}{4\rho\sigma_s + nf_{t28}} = -0.28$$

$$\lambda i = \frac{0.05 f_{t28}}{2 + \left(3 \frac{b_0}{b}\right) \rho} = 14$$

$$f = \frac{7.22 \times 10^6}{10 \times 32164.2 \times 17763.61} = 0.0012 \le f = 0.05 \text{ cm} + \frac{400}{1000} = 0.45 \dots \text{C.V}$$

III.3.3 Etude de la poutre palière

Cette poutre est soumise à son poids propre et de mur qui repose sur lui-même, aux charges transmises de l'escalier et aux moments de torsion.

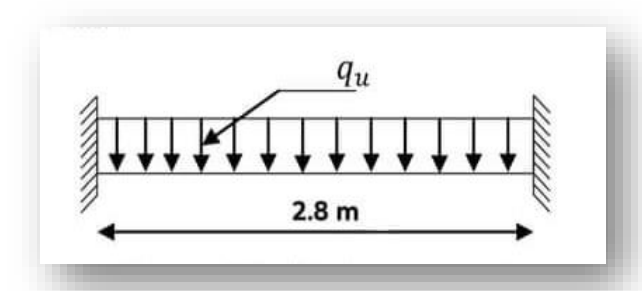


Figure III.11: Schéma statique de la poutre palière.

b = 30 cm

III.3.3.1 Dimensionnement

On a : L = 2.8 m = 280 cm

❖ D'après le BAEL, la condition de flèche :

→ $10.5 \le b \le 24.5$

$$\frac{Lmax}{15} \le h \le \frac{Lmax}{10} \longrightarrow 18.66 \le h \le 28 \longrightarrow h = 35 \text{ cm}$$

 $0.3h \le b \le 0.7h$

$$b = 30 \text{ cm} \ge 20 \text{ cm} \dots \text{CV}$$

$$h = 35 \text{ cm} \ge 30 \text{ cm} \dots \text{CV}$$

On adopte une section de (30x35) cm²

> Calcul à la flexion simple

Charges revenant à la poutre palière:

o Poids propre

$$G_0$$
 = $b \times h \times \gamma_b$ = $0.3 \times 0.35 \times 25$ = 2.63 KN/m

o Poids du mur

$$P_{mur} = G_{mur} \times h_{mur} = 2.810 \times 1.53 = 4.3 \text{ KN/m}$$

Réaction : La charge transmise par l'escalier : c'est la réaction d'appui au point B

$$(R_B = q_{escalier})$$

o **ELU**:
$$q_{escalier} = 27.036$$
 KN

$$q_u = 1.35 (G_0 + P_{mur}) + q_{escalier} = 1.35 (2.63 + 4.3) + 27.036 = 36.4 \text{ KN/m}$$

o **ELS**:
$$q_{escalier} = 19.475 \text{ KN}$$

$$q_u = G_0 + P_{mur} + q_{escalier} 2.63 + 4.3 + 19.475 = 26.405 \text{ KN/m}$$

> Effort tranchant et moment fléchissant

1) Effort tranchant

ELU:
$$T_u = \frac{q_u \times L}{2} = \frac{36.4 \times 2.8}{2} = 50.96 \text{ KN}$$

ELS:
$$T_s = \frac{q_s \times L}{2} = \frac{26.405 \times 2.8}{2} = 36.97 \text{ KN}$$

2) Moment fléchissant

$$M_{0U} = \frac{q_u \times L^2}{8} = \frac{36.4 \times 2.8^2}{8} = 35.7 \text{ KN}$$

$$M_{0S} = \frac{q_u \times L^2}{8} = \frac{26.405 \times 2.8^2}{8} = 25.9 \text{ KN}$$

o En travée

ELU:
$$M_{tu} = 0.85 M_0 = 0.85 * 35.7 = 30.35 KN. m$$

ELS:
$$M_{ts} = 0.85 M_0 = 0.85 * 25.9 = 22 KN. m$$

o Sur appuis

ELU:
$$M_{au} = 0.5 M_0 = 17.85 \text{ KN. m}$$

ELS:
$$M_{as} = 0.5M_0 = 12.95$$
 KN. m

III.3.3.2 Calcul du ferraillage

Calcul de la section d'armature à la flexion simple :

> Armatures Principales

On résume les calculs de ferraillage dans le tableau ci-après :

Les A_{adp} \mathbf{M} b \mathbf{Z} d A cal A min α μ_{bu} Désignation (KN.m)(cm) (cm) (mm) (cm^2) (cm^2) barres (cm^2) 3.39 3HA12 Travée 30.35 **30** 31.5 0.072 0.093 303.28 2.87 1.14 2.36 **3HA10** 1.14 **Appuis** 17.85 **30** 31.5 0.042 0.054 308.2 1.66

Tableau III.12: Tableau récapitulatif de ferraillage de la poutre palière.

> Armatures transversales

$$\emptyset_t \le \min\left(\frac{h}{35}, \frac{b}{10}, \emptyset_l\right) \implies \emptyset_t \le \min\left(\frac{35}{35}, \frac{30}{10}, 1.4\right) \implies \emptyset_t = 1$$

On prend $\emptyset_t = 6 \text{ mm donc } 4\text{HA6}$ $\Rightarrow A_t = 1.31 \text{ cm}^2 \text{ (1 cadre + 1 étirer)}$

> L'espacement

D'après CBA93 (Article A.5.1.2.2 et A.5.1.2.3)

$$St \le min (0.9d; 40 cm) = \rightarrow St \le min (0.9 \times 31.5; 40 cm) St = 15 cm$$

III.3.3.3 Vérifications

> Vérification de la contrainte de cisaillement à la flexion simple

$$\tau_u \le \overline{\tau_u}$$

$$\tau_u = \frac{\tau_u}{hd} = \frac{50.96 \times 10^3}{3000 \times 315} = 0.54 \text{ MPa}$$

Fissuration peu nuisible
$$\frac{1}{2}$$
 = min $(\frac{0.2 f_{c28}}{\gamma_b}; 5 \text{ MPa})$ = min $(3.33; 5)$ = 3.33 MPa

$$\tau_u = 0.54 \text{ MPa} \leq \overline{\tau_u} = 3.33 \text{MPa}$$
 CV

→ Pas de risque de rupture par cisaillement, donc les armatures transversales ne sont pas nécessaires.

Vérification de l'état limite de compression du béton (ELS)

$$\sigma_{bc} = \frac{M_{ser \times Y}}{I} \le \sigma_{bc} = 0.6 \times 25 = 15 \text{MPa}$$

> Position de l'axe neutre

$$\frac{1}{2} by^2 + n (y - d)A_{S0} - n(d-y) A_S = 0$$

> Moment d'inertie

$$I = \frac{1}{3} by^3 + n (y - d) A_{S0} - n (d-y)^2 A_S$$

Les résultats trouvés en travée et sur appui dans les deux sens sont regroupés dans le tableau suivant :

	<i>M_{ser}</i> (KN. m)	Y (cm)	<i>I</i> (cm ⁴)	σ _{bc} (MPA)	σ bc (MPA)	<i>σ_{bc}</i> ≤ σ bc
Travée	25.9	29.64	260482.10	2.94	15	C.V
Appuis	17.85	7.38	23741.62	5.54	15	C.V

Tableau III.13: Vérification des contraintes à l'ELS.

> Vérification de la flèche

La vérification de la flèche n'est pas nécessaire si les conditions suivantes sont vérifiées:

$$\frac{h}{l} \ge \frac{1}{16} \longrightarrow 0.185 \ge 0.0625 \dots CV$$

$$\frac{h}{l} \ge \frac{M_0}{10 \times M_t} \longrightarrow 0.125 \ge 0.085 \dots CV$$

$$\frac{A_{S app}}{bd} \le \frac{4.2}{f_e} \longrightarrow 0.0024 < 0.0105 \dots CV$$

Donc la vérification de la flèche n'est pas nécessaire.

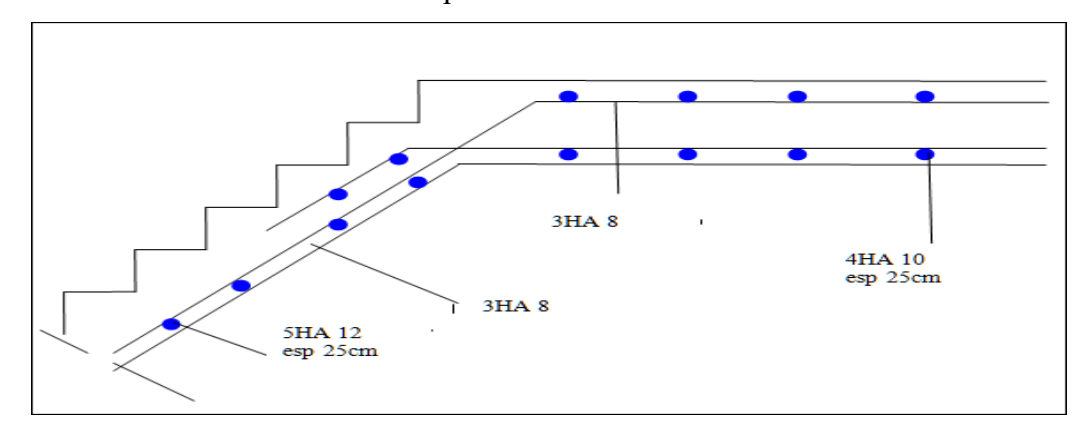


Figure III.12: Schéma de ferraillage d'escalier type 1.

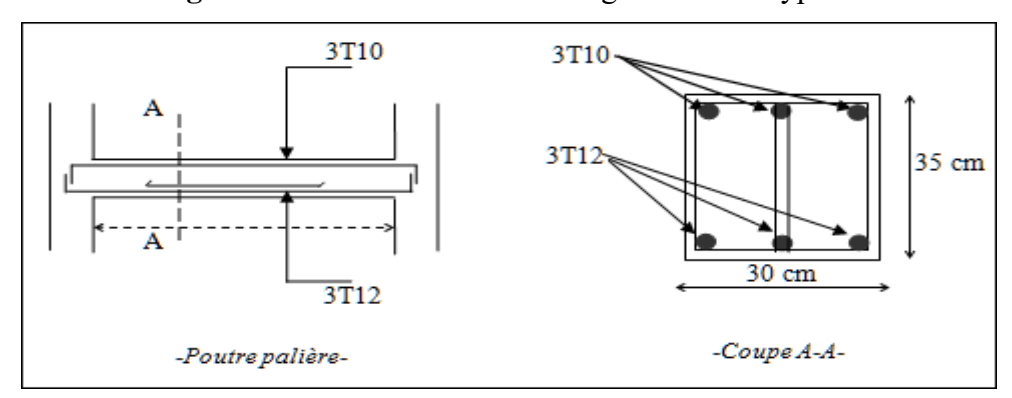


Figure III.13: Schéma de ferraillage de poutre palière.

N.B: le ferraillage de la poutre palière est le même dans la travée et au niveau d'appui.

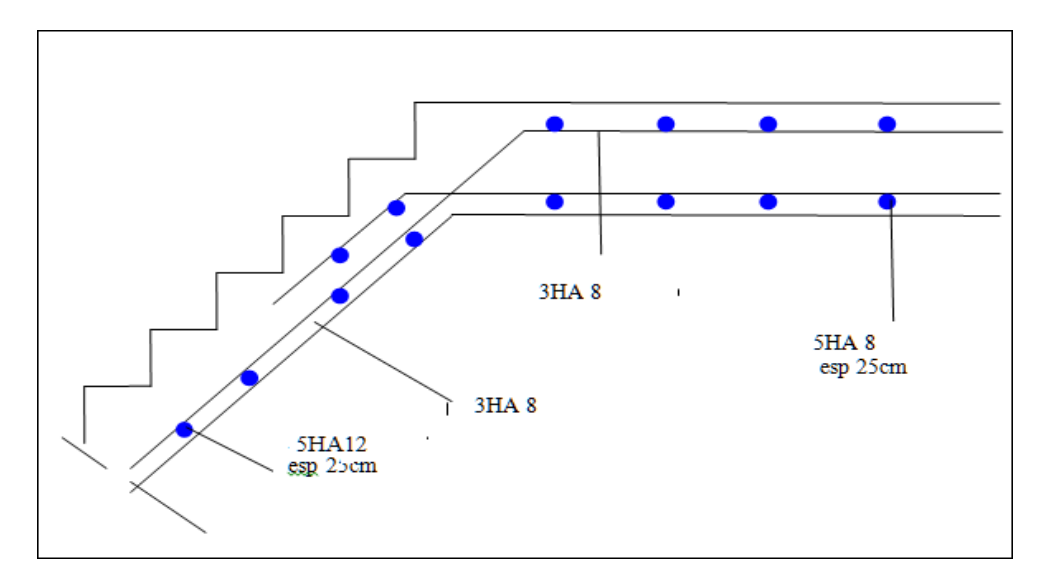


Figure III.14: Schéma de ferraillage d'escalier type 2.

III.4 Etude des planchers

Ce type de plancher est constitué de corps creux qui ne sont que des éléments de remplissage, de poutrelles qui sont des éléments principaux de résistance, et d'une dalle de compression. Le calcul sera fait pour deux éléments :

- > Poutrelles.
- > Dalle de compression.

III.4.1 Calcul des poutrelles

III.4.1.1 Disposition des poutrelles

La disposition des poutrelles se fait suivant deux critères :

- Critère de la petite portée : Les poutrelles sont disposées parallèlement à la plus petite portée
- Critère de continuité : Si les deux sens ont les mêmes dimensions, alors la poutre elles sont disposées parallèlement au sens du plus grand nombre d'appuis.

Dans notre cas les poutrelles sont disposées selon le premier critère. Nos données :

$$b = 65cm$$
 $h_t = 20cm$ $h_0 = 4cm$ $b_0 = 10cm$

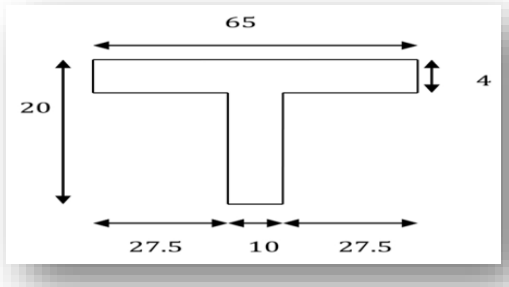


Figure III.15: Schéma d'une poutrelle.

III.4.1.2 Méthode de calcul

Les poutrelles sont calculées en section en T comme des poutres continues soumise à la flexion simple et au cisaillement sous la charge Q.

Pour le ferraillage, il faut calculer les sollicitations internes le moment et l'effort tranchant (M,V) par la méthode de RDM (méthode des 3 moments).

Pour les éléments (poutre continue) on utilise :

- la méthode forfaitaire.
- la méthode de Caquot.

A. La méthode forfaitaire

A.1 Domaine d'applications: BAEL 91(article B.6.2.2.1.0)

On applique la méthode forfaitaire pour le calcul des planchers à surcharges modérées lorsque les conditions suivantes sont satisfaites :

- ▶ Plancher à surcharges modérées : $Q \le \min(2 G; 5 KN/m^2)$
- ► Le rapport entre deux travées successives : $0.8 \le \frac{L_i}{L_{i+1}} \le 1.25$
- Le moment d'inertie est constant sur tout le long de la travée.
- > Fissuration peu nuisible.

On note:

- Si la première condition n'est pas vérifiée cela signifie que c'est un plancher à surcharge élevée, donc nous appliquons « la méthode de Caquot ».
- Si la première condition est vérifiée mais la seconde, la troisième ou la quatrième condition ne sont pas vérifiées, nous appliquons « la méthode de Caquot minorée ».

➤ Application de la méthode "BAEL 91(E.1.2)"

Soit une poutre continue soumise à une charge uniformément répartie q

Et Soit :
$$\alpha = \frac{Q}{Q+G}$$
 avec α : Coefficient traduit l'importance de $\frac{Q}{Q+G}$

> Moment sur appuis

1) Appuis de rive: Sur les appuis de rive les moments sont nuls, cependant on les ferrailles (aciers de fissuration) avec une quantité d'acier équilibrant un moment égale à (-0.15 M_0) .

2) Appuis intermédiaires:

o Poutres sur deux travées : Les moments sont de l'ordre de (-0.6 M₀)

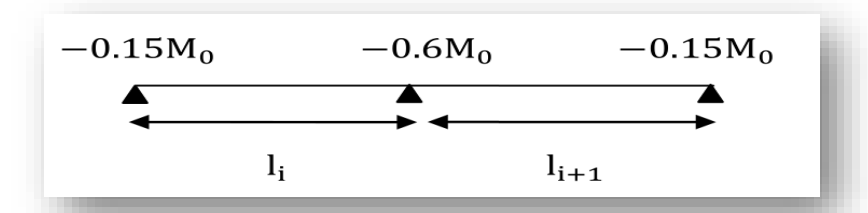


Figure III.16: Moments sur une poutre à deux travées.

O Poutres à plus de deux travées : Ces moment sont de l'ordre de :

(-0.5 M₀): Pour les appuis voisins de l'appui de rive.

(-0.4 M₀): Pour les autres appuis intermédiaires.

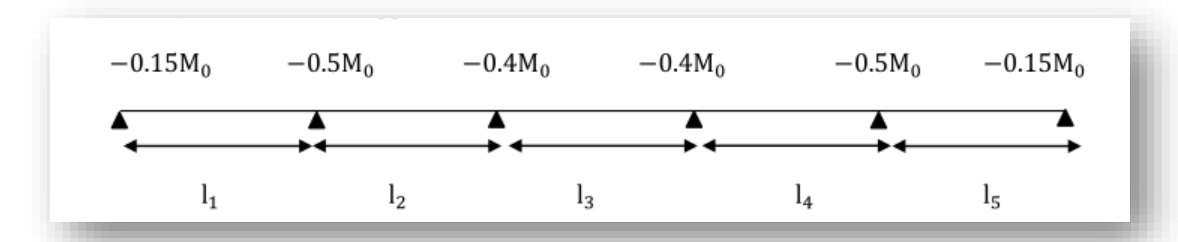


Figure III.17: Moments sur une poutre à plus de deux travées.

Tel que M₀ : Le maximum des deux moments isostatique encadrant l'appui considéré :

$$\mathbf{M}_0 = \frac{q L^2}{2}$$

> Moment en Travées

Les moments en travée sont déterminés à partir des deux conditions suivantes :

$$M_{t+} \frac{M_g + M_d}{2} \ge \text{Max} (1+0.3 \text{ M}_0; 1.05 \text{ M}_0)$$

$$M_t \ge \frac{1.2 + 0.3\alpha}{2} \,\mathrm{M}_0$$
 pour une travée de rive.

$$M_t \ge \frac{1+0.3\alpha}{2} M_0$$
 pour une travée intermédiaire.

Tel que M₀ : Moment isostatique de la travée considérée.

> Evaluation des efforts tranchants

Les efforts tranchants sont évalues soit forfaitairement en supposant la discontinuité entre les travées, dans ce cas les efforts tranchants hyperstatiques sont confondus même avec les efforts tranchants isostatiques sauf pour les premiers appuis intermédiaires (voisin de rive).

L'effort tranchant isostatique doit être majoré de :

- 15 % s'il s'agit d'une poutre à deux travées.
- 10 % s'il s'agit d'une poutre à plus de deux travées.

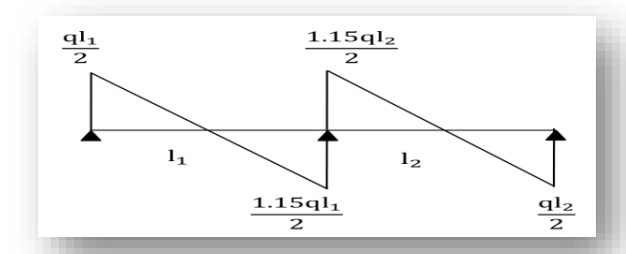


Figure III.18: Diagramme des efforts tranchants d'une poutre à 2 travées.

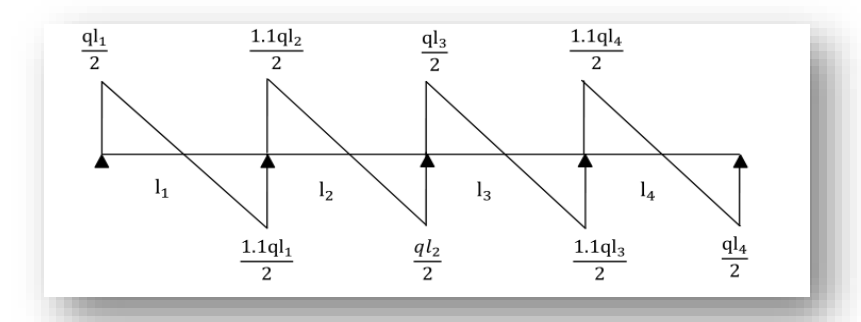


Figure III.19: Diagramme des efforts tranchants d'une poutre plusieurs travées.

A.2 La méthode de Caquot "BAEL 91 (Annexe E.2)"

➤ Domaine d'applications "BAEL 91(article B.6.2.2.20)"

Lorsque l'une des conditions précédentes n'est pas satisfaite, ou si le plancher supporte des surcharges élevées (Q ≥ min (2 G, 5KN/m²)), on applique la méthode de Caquot.

Le principe repose sur la méthode des trois moments simplifiée et corrigée pour tenir compte de :

- La variation des moments d'inerties des sections transversales le long de la ligne moyenne de la poutre.
- L'amortissement des efforts de chargement des travées successives.
- Application de la méthode

➤ Moment sur appuis "BAEL 91(article E.2.2.1)"

Le moment aux appuis est donné par l'expression suivante (sous charge répartie):

$$M_i = \frac{q_g \times l{\iota_g}^3 + q_d \times l{\iota_d}^3}{8.5 \; (l'_g + l'_d)}$$

Tel que:

 l'_q Et l'_d : longueur fictive.

 $q_d\ et\ q_g$: Chargement à gauche et à droite de l'appui respectivement.

l' = -0.81: travée intermédiaire

1 : travée de rive

➤ Moment en travée "BAEL 91(article E.2.2.2)"

$$M_{t} = M_{0}\left(x\right) + M_{g}\left(1 - \frac{x}{l}\right) + M_{d}\left(\frac{x}{l}\right) \quad Avec \qquad M_{0} = q\left(\frac{x}{2}\right)\left(1 - x\right)$$

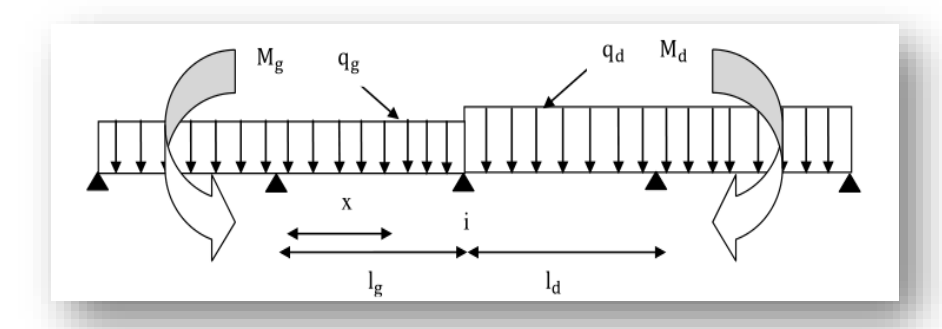


Figure III.20: Paramètres utilisées dans la méthode de Caquot.

$$X = \frac{l}{2} - \frac{Mg - Md}{ql}$$

> Effort tranchant "BAEL 91(Article E.2.2.3)"

Les efforts tranchants sont déterminés en utilisant la méthode de la RDM:

$$Vi = \pm \frac{ql}{2} - \frac{Mg - Md}{l}$$

Avec:

Md: Moment sur l'appui de droite de la travée considérée.

Mg: Moment sur l'appui de gauche de la travée considérée.

l: Portée de la travée.

> Méthode de Caquot minoré

Cette méthode consiste à calculer les moments au niveau des appuis avec la méthode de Caquot mais en remplaçant la charge permanente G par une charge permanente minorée :

$$G' = \frac{2}{3}G$$

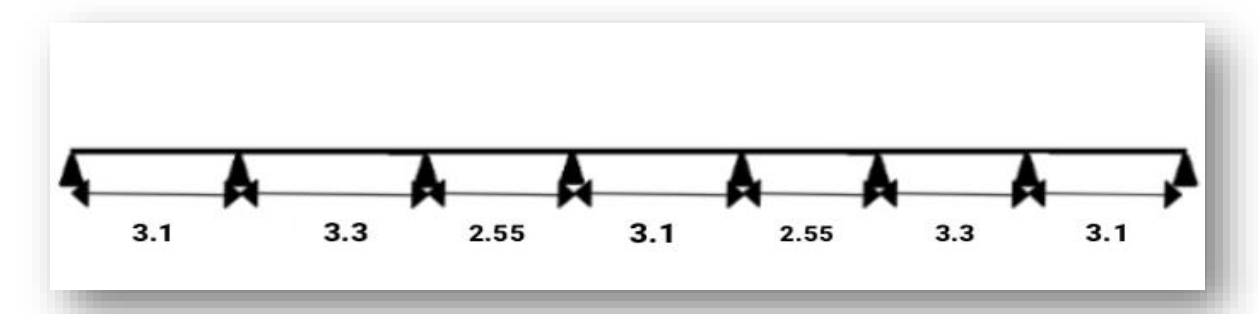
Remarque:

Pour le calcul des moments max en travée, nous utilisons la charge permanente réelle G.

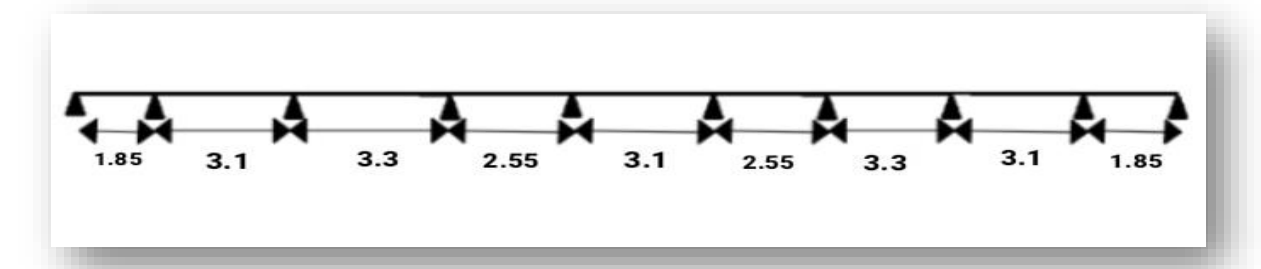
> Les différents types des poutrelles

Dans notre cas on distingue:

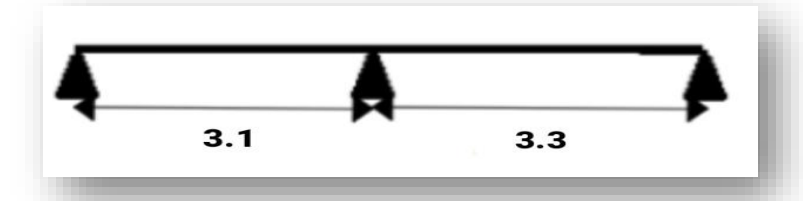
• Type 1



• Type 2



• Type 3



III.4.1.3 Calcul des charges revenant aux poutrelles

4 Plancher terrasse inaccessible

$$G = 6.336 \text{ KN/m}^2$$

$$O = 1 \text{ KN/m}^2$$

$$q_u$$
= (1.35 ×6.336 +1.5 ×1) 0.65 = 6.53 KN/ml.

$$q_{ser} = (6.336 + 1) \ 0.65 = 4.77 \ \text{KN/ml}.$$

♣ Plancher étage courant

$$G = 5.24 \text{ KN/m}^2$$

$$Q = 1.5 \text{ KN/m}^2$$

$$q_u$$
= (1.35 ×5.24+1.5 ×1.5) 0.65 = 6.06 KN/ml.

$$q_{ser} = (5.24 + 1.5) \ 0.65 = 4.4 \ \text{KN/ml}.$$

III.4.1.4 Choix de la méthode de calcul des sollicitations

Dans notre projet, nous disposons de deux natures de poutrelles :

- ❖ Poutrelles isostatiques : la détermination des sollicitations se fait par l'application des méthodes de la RDM.
- ❖ Poutrelles hyperstatique (continues) : les sollicitations se déterminent soit par l'application de la méthode forfaitaire ou la méthode de Caquot.

Le choix de la méthode de calcul à suivre pour les différents types est défini dans le tableau suivant :

Types de poutrelles	Conditions d'application de la méthode forfaitaire	Vérification	Méthode adoptée
Types: 1.2	$0.8 \leq \frac{L_i}{L_{i+1}} \leq 1.25$	Non vérifiées	Méthode de Caquot minorée
Type: 3		Poutre isostatique	Méthode de la RDM

III.4.1.5 Les sollicitations dans les différents types des poutrelles

- > Plancher terrasse inaccessible
 - Type 1
 - o ELU

Tableau III.14: Sollicitation a l'ELU (poutrelle type 1 (terrasse inaccessible)).

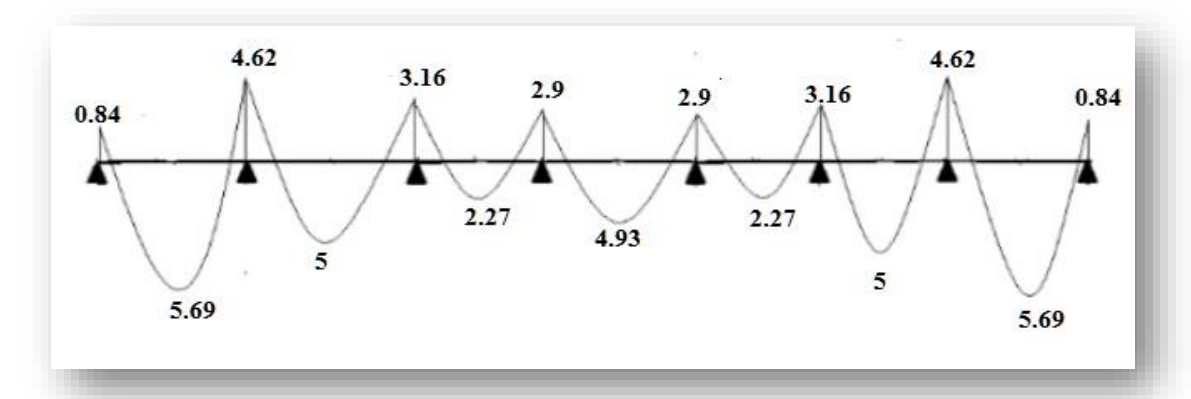
travée	l	l'	$q_{\rm u}$	q'_{u}	Mg	M_d	X	Mo	Mt	Tg	Td
AB	3.1	3.1	6.52	4.68	-0.84	-4.62	1.32	7.66	5.69	8.62	-11.6
BC	3.3	2.64	6.52	4.68	-4.62	-3.16	1.71	8.86	5	11.2	-10.32
CD	2.55	2.04	6.52	4.68	-3.16	-2.9	1.29	5.3	2.27	8.41	-8.21
DE	3.1	2.48	6.52	4.68	-2.9	-2.9	1.55	7.83	4.93	10.106	-10.106
EF	2.55	2.04	6.52	4.68	-2.9	-3.16	1.26	5.3	2.27	8.21	-8.41
FG	3.3	2.64	6.52	4.68	-3.16	-4.62	1.58	8.86	5	10.32	-11.2
GH	3.1	3.1	6.52	4.68	-4.62	-0.84	1.78	7.66	5.69	11.6	-8.62

o ELS

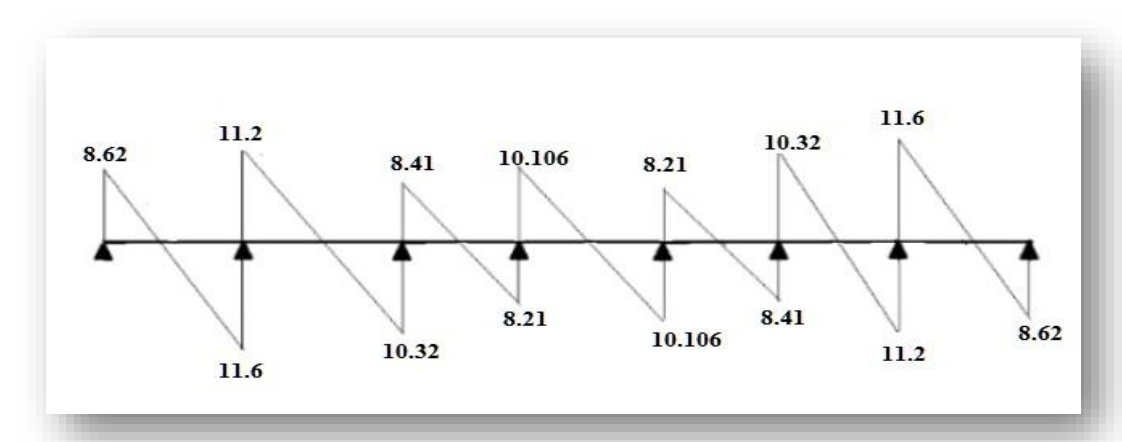
Tableau III.15: Sollicitation a l'ELS (poutrelle type 1 (terrasse inaccessible)).

travée	l	l'	$q_{\rm u}$	$\mathbf{q'_u}$	M_{g}	M_d	X	Mo	Mt	Tg	T_d
AB	3.1	3.1	4.76	3.4	-0.61	-3.36	1.32	5.6	5.17	6.3	-8.46
BC	3.3	2.64	4.76	3.4	-3.36	-2.3	1.71	6.47	3.66	8.18	-7.53
CD	2.55	2.04	4.76	3.4	-2.3	-2.1	1.29	3.87	1.68	6.15	-6
DE	3.1	2.48	4.76	3.4	-2.1	-2.1	1.55	5.717	2.66	7.38	-7.38
EF	2.55	2.04	4.76	3.4	-2.1	-2.3	1.26	3.87	1.68	6	-6.15
FG	3.3	2.64	4.76	3.4	-2.3	-3.36	1.58	6.47	3.66	7.53	-8.18
GH	3.1	3.1	4.76	3.4	-3.36	-0.61	1.78	5.6	5.17	8.46	-6.3

> ELU

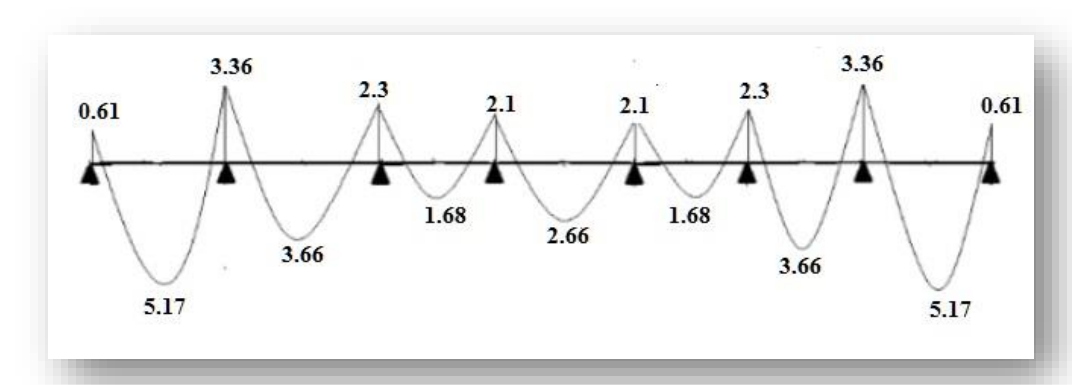


 \mathbf{M}



 \mathbf{T}

> ELS



 \mathbf{M}

Figure III.21: Evaluation des moments et efforts tranchants type 01.

• Type 2

o ELU

Tableau III.16: Sollicitation a l'ELU (poutrelle type 2 (terrasse inaccessible)).

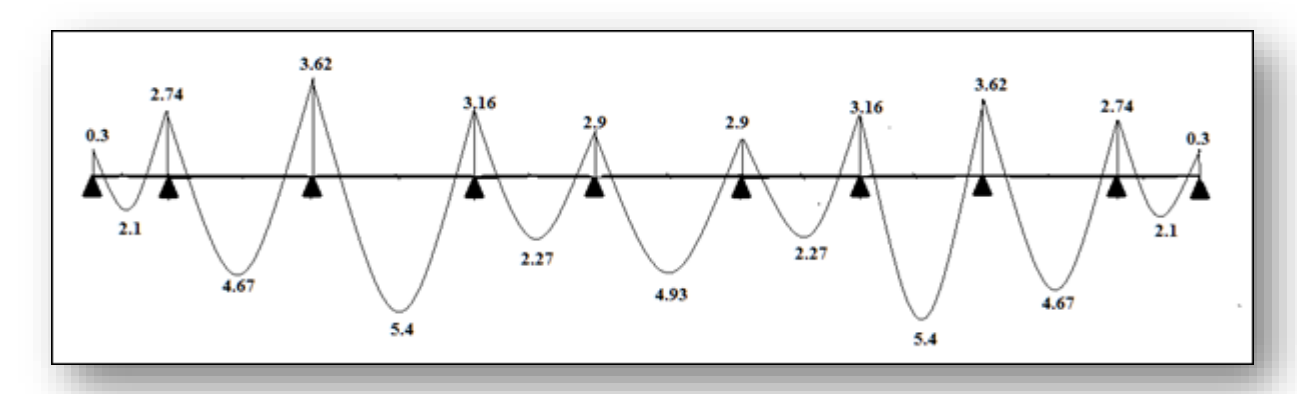
travée	l	l'	q_u	$\mathbf{q'_u}$	M_{g}	M_d	X	M_0	Mt	Tg	Td
AB	1.85	1.85	6.52	4.68	-0.3	-2.71	0.7	2.62	2.1	4.55	-7.51
BC	3.1	2.48	6.52	4.68	-2.74	-3.62	1.5	7.82	4.67	9.81	-10.4
CD	3.3	2.64	6.52	4.68	-3.62	-3.16	1.67	8.87	5.4	10.9	-10.61
DE	2.55	2.04	6.52	4.68	-3.16	-2.9	1.29	5.3	2.27	8.41	-8.21
EF	3.1	2.48	6.52	4.68	-2.9	-2.9	1.55	7.83	4.93	10.106	-10.106
FG	2.55	2.04	6.52	4.68	-2.9	-3.16	1.26	5.3	2.27	8.21	-8.41
GH	3.3	2.64	6.52	4.68	-3.16	-3.62	1.62	8.87	5.4	10.61	-10.9
HI	3.1	2.48	6.52	4.68	-3.62	-2.74	1.6	7.82	4.67	10.4	-9.81
IJ	1.85	1.85	6.52	4.68	-2.71	-0.3	1.15	2.62	2.1	7.51	-4.55

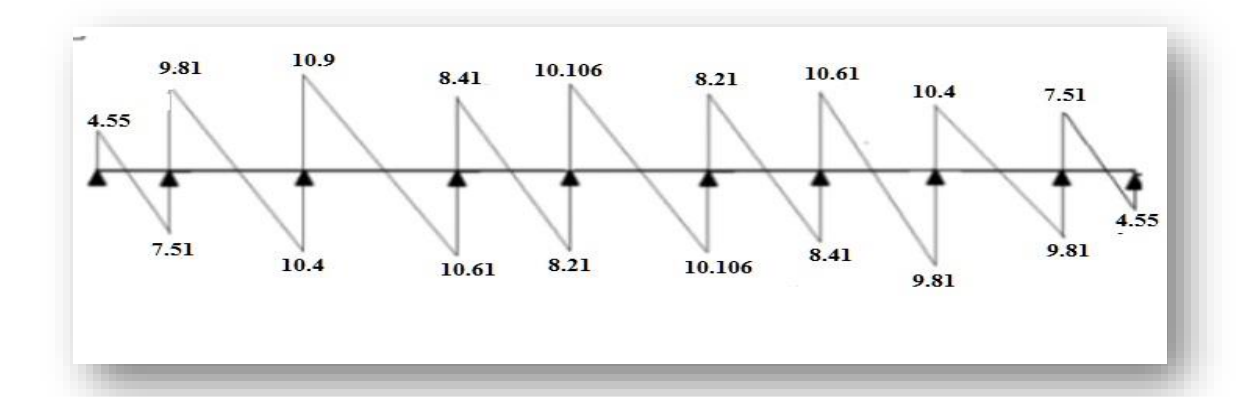
o ELS

Tableau III.17: Sollicitation a l'ELS (poutrelle type 2 (terrasse inaccessible)).

travée	l	l'	$\mathbf{q}_{\mathbf{u}}$	$\mathbf{q'_u}$	M_{g}	M_d	X	M_0	Mt	Tg	Td
AB	1.85	1.85	4.76	3.4	-0.22	-2	0.7	1.92	1.2	3.32	-5.48
BC	3.1	2.48	4.76	3.4	-2	-2.63	1.5	5.712	3.402	7.17	-7.6
CD	3.3	2.64	4.76	3.4	-2.63	-2.3	1.67	6.48	3.94	8	-7.8
DE	2.55	2.04	4.76	3.4	-2.3	-2.1	1.29	3.87	1.68	6.15	-6
EF	3.1	2.48	4.76	3.4	-2.1	-2.1	1.55	5.71	3.61	7.38	-7.38
FG	2.55	2.04	4.76	3.4	-2.1	-2.3	1.26	3.87	1.68	6	-6.15
GH	3.3	2.64	4.76	3.4	-2.3	-2.63	1.62	6.48	3.94	7.8	-8
HI	3.1	2.48	4.76	3.4	-2.63	-1.97	1.6	5.712	3.402	7.6	-7.17
IJ	1.85	1.85	4.76	3.4	-1.97	-0.21	1.13	1.71	1.05	5.48	-3.32

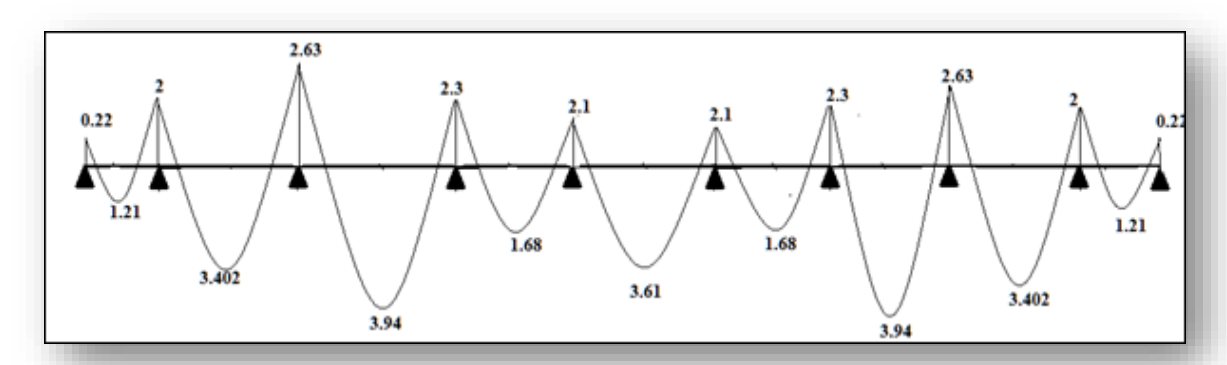
o ELU





 \mathbf{T}

> ELS



 \mathbf{M}

Figure III.22: Evaluation des moments et efforts tranchants type 02

- **Type 3**
- Poutrelle à deux travées (Terrasse inaccessible):appliquons la Méthode forfaitaire.
- * ELU

 $q_u = 6.52 \text{ KN}$

> Calcul les moments isostatique

Travée (AB):
$$M_{AB} = \frac{q_u \times l^2}{8} = \frac{6.52 \times 3.1^2}{8} = 7.83 \text{ KN. m}$$

Travée (BC):
$$M_{BC} = \frac{q_u \times l^2}{8} = \frac{6.52 \times 3.3^2}{8} = 8.9 \text{ KN.m}$$

> Calcul les moments sur appuis

$$M_A = M_c = -0.15 M_0^{max} = -0.15 \times 8.9 = -1.34 \text{ KN. m}$$

$$M_B = -0.6 \text{ max } (M_A, M_B) = -0.6 \times 8.9 = -5.34 \text{KN.} m$$

> Calcul les moments sur travée

Soit
$$\alpha = \frac{Q}{Q+G} = \frac{1}{1+6.33} = 0.14$$

- Travée de rive (AB) :
$$M_t \ge + (\frac{1.2 + 0.3 \times \alpha}{2}) M_0$$
 dans une travée de rive.

$$M_t \ge + (\frac{1.2 + 0.3 \times 0.14}{2}) \ 7.83 = 4.9 \ KN.m$$

$$M_t + (\frac{Mg + Md}{2}) \ge [max (1 + 0.3\alpha ; 1.05)] M_0$$

$$M_t + (\frac{0+5.34}{2}) \ge [max (1 + 0.3 \times 0.14; 1.05)] 7.83$$

$$M_t = 5.55 \ KN. \ m \rightarrow M_{tAB} = 5.55 \ KN. \ m$$

- Travée de rive (BC) :
$$M_t \ge + (\frac{1.2 + 0.3 \times \alpha}{2}) M_0$$
 dans une travée de rive.

$$M_t \ge + (\frac{1.2 + 0.3 \times 0.14}{2}) \text{ 8.9 = 5.53KN.m}$$

$$M_t + (\frac{Mg + Md}{2}) \ge [max (1 + 0.3\alpha ; 1.05)] M_0$$

$$M_t + (\frac{5.34+0}{2}) \ge [max (1 + 0.3 \times 0.14; 1.05)] 8.9$$

$$M_t = 6.7 \text{KN.m} \rightarrow M_{tBC} = 6.7 \text{KN.m}$$

Tableau III.18: Terrasse inaccessible cas de l'E.L.U.

Travée	L	Mo	M_{g}	M _d	Mt
AB	3.1	7.83	-1.34	-5.34	4.9
BC	3.3	8.9	-5.34	-1.34	5.53

> Evaluation des efforts tranchants

- Travée de rive (AB)

$$V_1 = \frac{q_u \times l}{2} = \frac{6.52 \times 3.1}{2} = 10.106 \text{ KN}$$

$$V_2 = -1.15 V_1 = -11.62 KN$$

- Travée de rive (BC)

$$V_2 = 1.15 V_1 = 11.62 KN$$

$$V_1 = -\frac{q_u \times l}{2} = -\frac{6.52 \times 3.3}{2} = -10.8 \text{ KN}$$

* E.L.S

$$q_u = 4.76 \text{ KN}$$

> Calcul les moments isostatique

Travée (AB):
$$M_{AB} = \frac{q_s \times l^2}{8} = \frac{4.76 \times 3.1^2}{8} = 5.72 \text{ KN.m}$$

Travée (BC):
$$M_{BC} = \frac{q_s \times l^2}{8} = \frac{4.76 \times 3.3^2}{8} = 6.48 \text{ KN. m}$$

> Calcul les moments sur appuis

$$M_A = M_c = -0.15 M_0^{max} = -0.15 \times 6.48 = -1 KN.m$$

$$M_B = -0.6 \text{ max } (M_A, M_B) = -0.6 \times 6.48 = -3.9 \text{ KN. } m$$

> Calcul les moments sur travée

Soit
$$\alpha = \frac{Q}{Q+G} = \frac{1}{1+4.76} = 0.17$$

- Travée de rive (AB)

$$M_t \ge + \left(\frac{1.2 + 0.3 \times \alpha}{2}\right) M_0$$
 dans une travée de rive.

$$M_t \ge + (\frac{1.2 + 0.3 \times 0.17}{2}) 5.72 = 3.6 \text{ KN.m}$$

$$M_t + (\frac{Mg + Md}{2}) \ge [max (1 + 0.3\alpha ; 1.05)] M_0$$

$$M_t + (\frac{0+6.48}{2}) \ge [max (1+0.3 \times 0.17; 1.05)] 5.72$$

$$M_t = 2.77 \ KN. \ m \rightarrow M_{tAB} = 2.77 \ KN. \ m$$

- Travée de rive (BC)

$$M_t \ge + \left(\frac{1.2 + 0.3 \times \alpha}{2}\right) \, M_0$$
 dans une travée de rive.

$$M_t \ge + (\frac{1.2 + 0.3 \times 0.17}{2}) \ 6.48 = 4.05 \ KN.m$$

$$M_t + (\frac{Mg + Md}{2}) \ge [max (1 + 0.3\alpha ; 1.05)] M_0$$

$$M_t + (\frac{6.48+0}{2}) \ge [max (1 + 0.3 \times 0.14; 1.05)] 6.48$$

$$M_t = 3.6 \ KN. \ m \rightarrow M_{tBC} = 3.6 \ KN. \ m$$

Tableau III.19: Terrasse inaccessible cas de l'E.L.S.

Travée	L	\mathbf{M}_{0}	$\mathbf{M}_{\mathbf{g}}$	M_d	$\mathbf{M_t}$
AB	3.1	5.72	-1	-3.9	2.77
BC	3.3	6.48	-3.9	-1	3.6

Evaluation des efforts tranchants

• Travée de rive (AB)

$$V_1 = \frac{q_s \times l}{2} = \frac{4.76 \times 3.1}{2} = 7.4 \text{ KN}$$

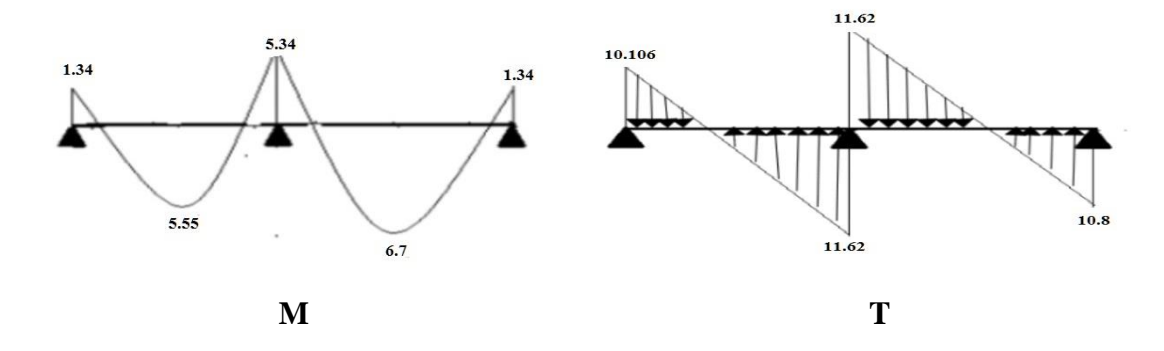
$$V_2 = -1.15 V_1 = -8.51 KN$$

• Travée de rive (BC)

$$V_2 = 1.15 V_1 = 8.51 KN$$

$$V_1 = -\frac{q_s \times l}{2} = -\frac{4.76 \times 3.3}{2} = -7.9 \text{ KN}$$

- ELU



- ELS

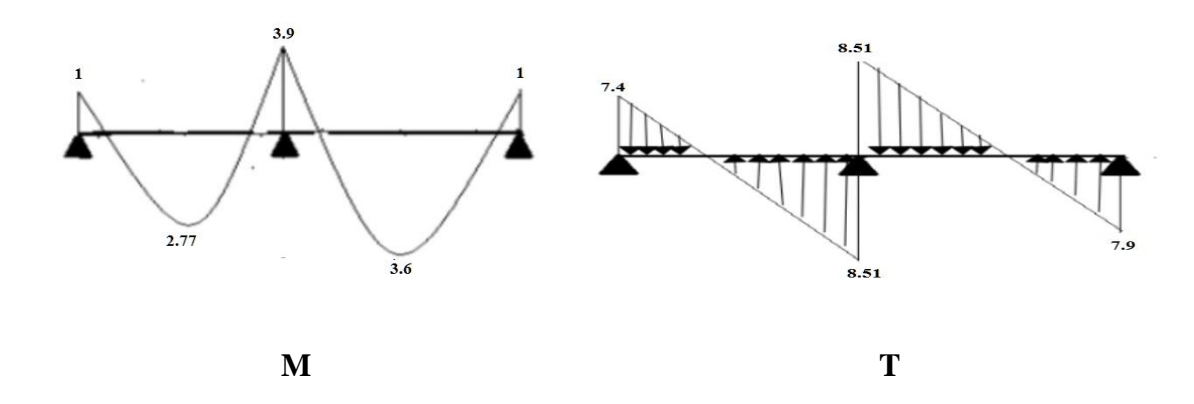


Figure III.23: Evaluation des moments et efforts tranchants type 03.

- > Plancher étage courant
- **❖** Type 1
- o ELU

Tableau III.20: Sollicitation a l'ELU (poutrelle type 1 (étage courant)).

travée	l	l'	$q_{\rm u}$	$\mathbf{q'_u}$	M_{g}	M_d	X	M_0	M_t	Tg	T_d
AB	3.1	3.1	6.09	4.55	-0.83	-4.5	1.31	7.21	5.31	8	-10.9
BC	3.3	2.64	6.09	4.55	-4.5	-3.1	1.72	8.3	4.84	10.49	-9.64
CD	2.55	2.04	6.09	4.55	-3.1	-2.8	1.29	5	2.05	7.9	-7.66
DE	3.1	2.48	6.09	4.55	-2.8	-2.8	1.55	7.33	4.53	9.46	-9.46
EF	2.55	2.04	6.09	4.55	-2.8	-3.1	1.26	5.5	2.05	7.66	-7.9
FG	3.3	2.64	6.09	4.55	-3.1	-4.5	1.58	8.3	4.84	9.64	-10.49
GH	3.1	3.1	6.09	4.55	-4.5	-0.83	1.77	7.21	5.31	10.9	-8

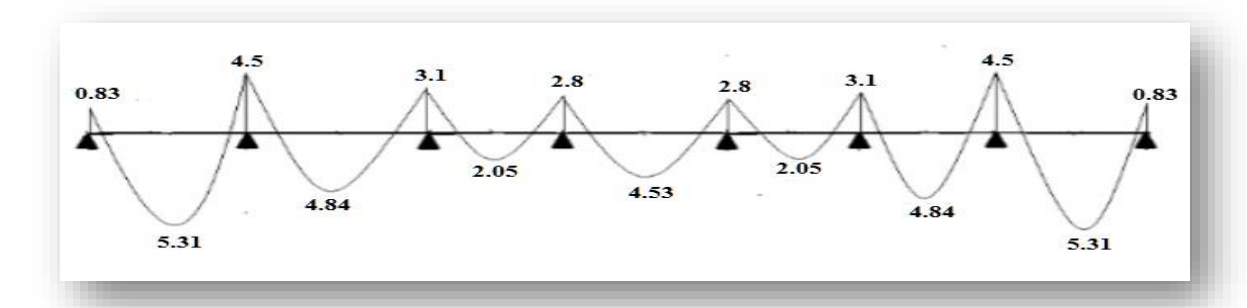
o ELS

Tableau III.21: Sollicitation a l'ELS (poutrelle type 1 (étage courant))

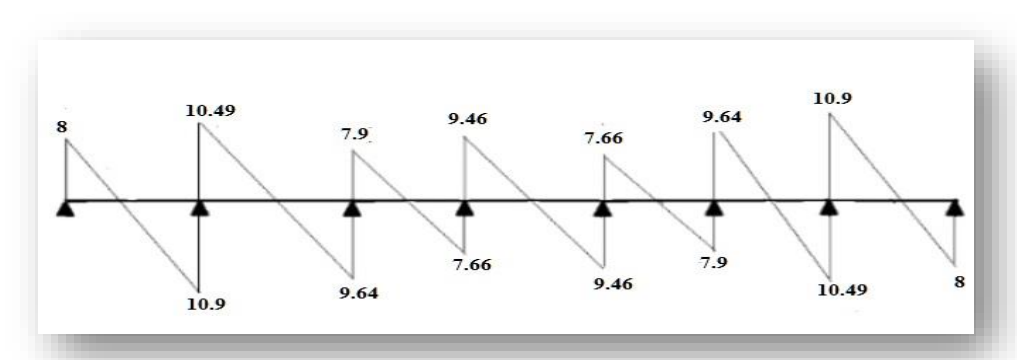
travée	l	l'	$\mathbf{q}_{\mathbf{u}}$	$\mathbf{q'_u}$	Mg	M_d	X	Mo	Mt	T_{g}	Td
AB	3.1	3.1	4.407	3.26	-0.6	-3.22	1.31	5.16	3.8	5.78	-7.86
BC	3.3	2.64	4.407	3.26	-3.22	-2.2	1.72	6	3.31	7.57	-7
CD	2.55	2.04	4.407	3.26	-2.2	-2.01	1.29	3.6	1.51	5.71	-5.25

DE	3.1	2.48	4.407	3.26	-2.01	-2.01	1.55	5.28	2.39	6.82	-6.82
EF	2.55	2.04	4.407	3.26	-2.01	-2.2	1.26	3.6	1.51	5.25	-5.71
FG	3.3	2.64	4.407	3.26	-2.2	-3.22	1.58	6	3.31	7	-7.57
GH	3.1	3.1	4.407	3.26	-3.22	-0.6	1.77	5.16	3.8	7.86	-5.78

> ELU

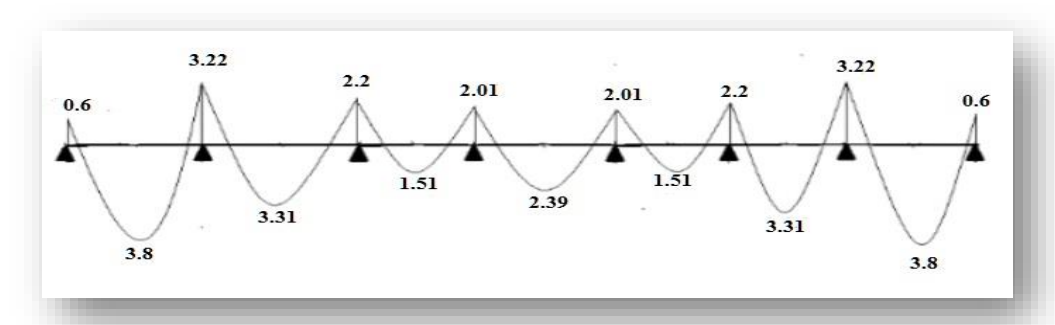


 \mathbf{M}



T

> ELS



 \mathbf{M}

Figure III.24: Evaluation des moments et efforts tranchants type 01.

***** Type 2

o ELU

ľ 1 travée q'_{u} M_g M_d M_0 M_t T_g T_{d} X q_{u} AB 1.85 1.85 -0.29 -2.67 0.7 4.20 -7.08 6.1 4.55 2.46 1.45 4.55 -3.52 7.32 4.25 9.19 -9.73 BC 3.1 2.48 6.1 -2.67 1.51 3.3 5.02 -9.94 CD2.64 4.55 -3.52 -3.09 1.67 8.30 10.20 6.1 2.55 4.55 -7.67 DE 2.04 -3.09 -2.81 1.3 5 2.06 7.89 6.1 3.1 2.48 4.55 -2.81 -2.8 7.33 4.51 9.46 -9.46 **EF** 1.55 6.1 $\mathbf{F}\mathbf{G}$ 2.55 2.04 4.55 -2.81 -3.09 2.06 **7.67** -7.89 6.1 1.3 5 3.3 4.55 -10.20 GH 2.64 6.1 -3.09 -3.52 1.63 8.30 5.02 4.94 4.25 -9.19 HI 3.1 2.48 6.1 4.55 -3.52 -2.67 1.6 7.32 9.73 IJ 1.85 1.85 6.1 4.55 -2.67 -0.29 1.17 2.46 1.45 7.08 -4.20

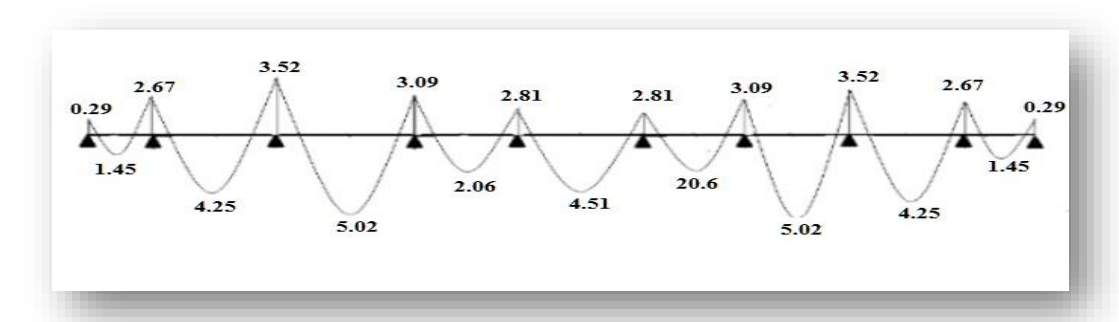
Tableau III.22: Sollicitation a l'ELU (poutrelle type 2 (étage courant)).

o ELS

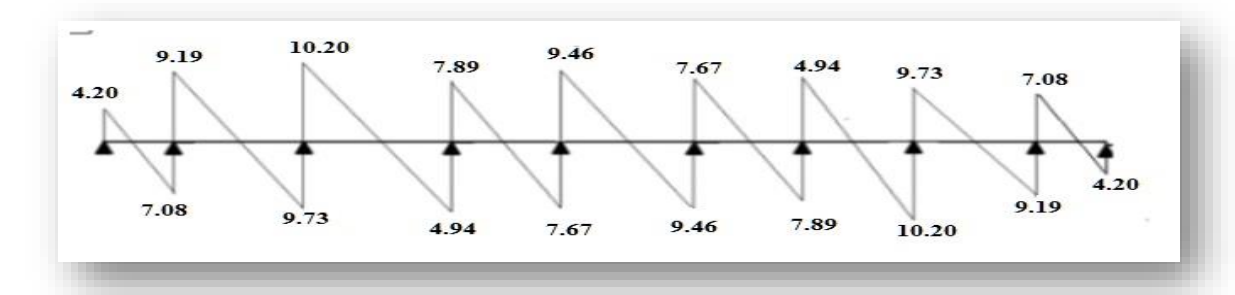
Tableau III.23 : Sollicitation a l'ELS (poutrelle type 2 (étage courant)).

	l	ľ	$\mathbf{q}_{\mathbf{u}}$	$\mathbf{q'_u}$	Mg	M_d	X	M_0	Mt	Tg	T_d
AB	1.85	1.85	4.41	3.26	-0.21	-1.91	0.7	1.78	1.06	3.05	-5.11
BC	3.1	2.48	4.41	3.26	-1.91	-2.52	1.51	5.29	3.09	6.64	-7.04
CD	3.3	2.64	4.41	3.26	-2.52	-2.20	1.67	6	3.66	7.38	-7.18
DE	2.55	2.04	4.41	3.26	-2.20	-2.1	1.3	3.58	1.48	6.69	-6
EF	3.1	2.48	4.41	3.26	-2.1	-2.1	1.55	5.3	3.28	6.84	-5.55
FG	2.55	2.04	4.41	3.26	-2.1	-2.20	1.26	3.58	1.48	5.55	-6.84
GH	3.3	2.64	4.41	3.26	-2.20	-2.52	1.63	6	3.66	7.18	-7.38
HI	3.1	2.48	4.41	3.26	-2.52	-1.91	1.59	5.29	3.09	7.04	-6.64
IJ	1.85	1.85	4.41	3.26	-1.91	-0.21	1.16	1.78	1.06	5.11	-3.05

o ELU

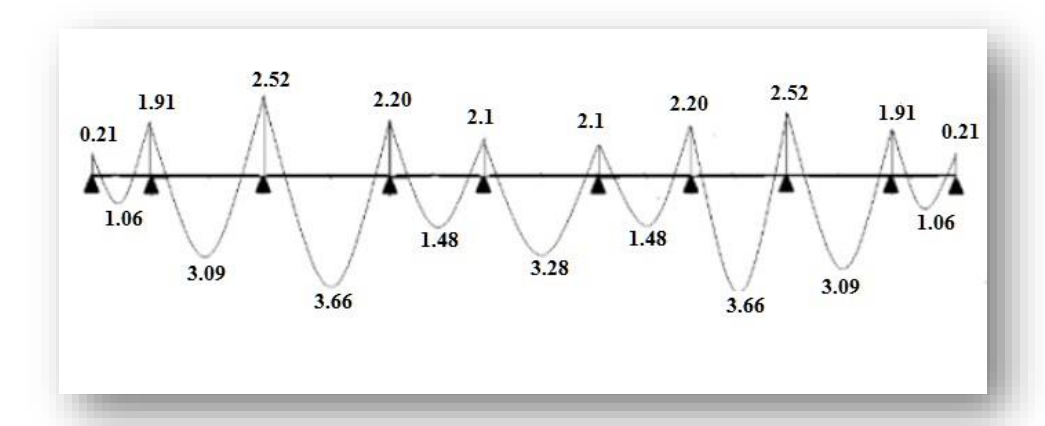


M



T

o ELS



 \mathbf{T}

Figure III.25: Evaluation des moments et efforts tranchants type 02.

- **Type 3**
- Poutrelle à deux travées (étage courant):appliquons la Méthode forfaitaire.
- * ELU
- > Calcul les moments isostatique

Travée	L	\mathbf{M}_{0}	$M_{ m g}$	M_d	$\mathbf{M_t}$
AB	3.1	7.33	-1.25	-5	5.31
BC	3.3	8.3	-5	-1.25	6.47

- **Evaluation des efforts tranchants**
- Travée de rive (AB)

$$V_1 = \frac{q_u \times l}{2} = \frac{6.1 \times 3.1}{2} = 9.5 \text{ KN}$$

$$V_2 = -1.15 V_1 = -10.93 KN$$

- Travée de rive (BC)

$$V_2 = 1.15 V_1 = 10.93 KN$$

$$V_1 = -\frac{q_u \times l}{2} = -\frac{6.1 \times 3.3}{2} = -10.1 \text{ KN}$$

- * E.L.S
- > Calcul les moments isostatique

Travée	L	Mo	M_{g}	$\mathbf{M}_{\mathbf{d}}$	M_t
AB	3.1	5.3	-0.9	-3.6	2.75
BC	3.3	6	-3.6	-0.9	3.4

- > Evaluation des efforts tranchants
- Travée de rive (AB)

$$V_1 = \frac{q_s \times l}{2} = \frac{4.407 \times 3.1}{2} = 6.83 \text{ KN}$$

$$V_2 = -1.15 V_1 = -7.9 KN$$

• Travée de rive (BC)

$$V_2 = 1.15 V_1 = 7.9 KN$$

$$V_1 = -\frac{q_s \times l}{2} = -\frac{4.407 \times 3.3}{2} = -7.27 \text{ KN}$$

> ELU

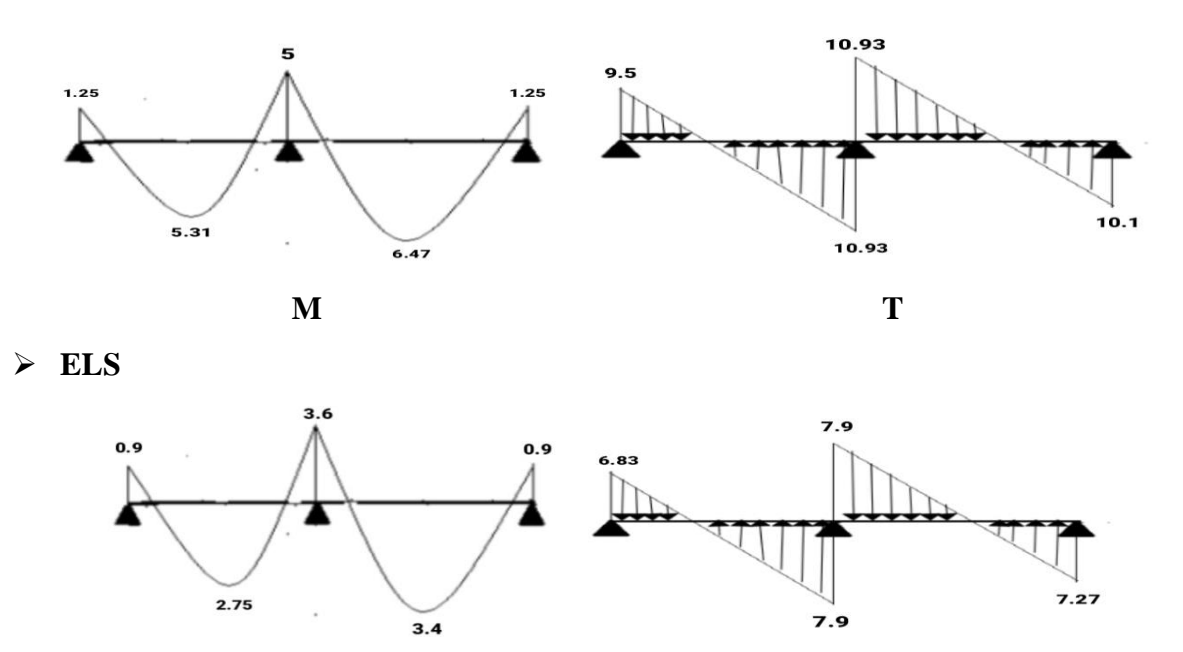


Figure III.26: Evaluation des moments et efforts tranchants type 03.

T

 \mathbf{M}

Tableau III.24: Sollicitations maximales dans les différents types de poutrelles.

Type des		ELU			Effort Trancha nt		
poutrelles	Ma _{rive} KN. m	Ma _{inter^{max} <i>KN</i>. <i>m</i>}	M _{t max} KN. m	Ma _{rive} KN. m	Ma _{inter^{max} <i>KN</i>. <i>m</i>}	M _{t max} KN. m	T _{max} KN
	1	r	Terrasse in	accessible			
Type 1	-0.84	-4.62	5.69	-0.61	-3.36	5.17	11.6
Type 2	-0.3	-3.62	5.4	0.21	-2.63	3.94	10.9
Type 3	-1.34	-5.34	6.7	-1	-3.9	3.6	11.62
			Etage co	urant			
Type 1	-0.83	-4.5	5.31	-0.6	-3.22	3.8	10.9
Type 2	-0.29	-3.52	5.02	-0.21	-2.52	3.66	10.2
Type 3	-1.25	-5	6.47	-0.9	-3.6	3.4	10.93

III.4.1.6 Ferraillages des poutrelles

- **✓** Terrasse inaccessible
- **♣** Type 1
- Sollicitations maximales
- o **ELU**

$$Ma_{rive} = -0.84 \text{ KN.m}$$

$$Ma_{intermax} = -4.62 \text{ KN.m}$$

$$M_{t \, max} = 5.69 \, \text{KN.m}$$

$$T_{max} = 11.6$$
KN.m

Calcul a l'ELU:

✓ En travée

Le moment équilibré par la table de compression Mtu :

$$M_{tu} = b h_0 f_{bu} (d - \frac{h_0}{2})$$

b= 65 cm; h = 20 cm; d = 0.9 h = 18 cm;
$$b_0 = 10$$
 cm; $h_0 = 4$ cm; $f_{bu} = 14.17$ MPA

$$M_{\text{tu}} = 650 \times 40 \times 14.17 \ (180 - \frac{40}{2}) = 5.69 \ \text{KN.m} \ge M_{tmax} = 5.69 \ \text{KN.m}$$

L'axe neutre passe par la table de compression, donc la table n'est pas entièrement comprimée, la section en Té sera calculée comme une section rectangulaire :

$$(b \times h) = (65 \times 20) \text{ cm}$$

$$\mu_{bu} = \frac{M_{tu}}{bd^2 f_{bu}} = \frac{5.69 \times 10^6}{650 \times 180^2 \times 14.17} = 0.019$$

$$\mu_{bu} = 0.019 \le \mu_{AB} = 0.186$$
 pivot A

$$\mu_{bu} = 0.019 \le \mu_1 = 0.391$$
 AS = 0

$$\alpha = 1.25 \times (1 - \sqrt{1 - 2\mu}) = 1.25 \times (1 - \sqrt{1 - 2(0.019)}) = 0.024$$

$$Z = d (1-0.4\alpha) = 180 (1-0.4 \times 0.024) = 178.27 \text{ mm}$$

$$A_t = \frac{M_{tu}}{Z \times \frac{fe}{\gamma_S}} = \frac{5.69 \times 10^6}{178.27 \times \frac{400}{1.15}} = 91.8 \text{ mm}^2 \implies A_t = 0.92 \text{ cm}^2$$

> Vérification de condition de non fragilité

$$A_{min} = 0.23bd \frac{f_{t28}}{f_e} = 0.23 \times 65 \times 18 \times \frac{2.1}{400} = 1.41 \text{ cm}^2$$

$$A_s = max (1.4; 0.92) = 1.41 cm^2$$

On adopte:
$$As = 3HA10 = 2.36 \text{ cm}^2$$

> Aux appuis

Le moment aux appuis est négatif, ce qui revient à dire que la table de compression est tendue, et le béton tendu n'intervient pas dans la résistance, pour cela, on va considérer une section rectangulaire : $(b_0 \times h) = (10 \times 20)$ cm

> Appui de rive

$$Ma_{rive} = -0.84 \text{ KN.m}$$

$$\mu_{bu} = \frac{M_{tu}}{bd^2 f_{bu}} = \frac{0.84 \times 10^6}{100 \times 180^2 \times 14.17} = 0.018$$

$$\mu_{bu} = 0.018 \le \mu_{AB} = 0.186$$
 pivot A

$$\mu_{hu} = 0.018 \le \mu_1 = 0.391$$
 AS = 0

$$\alpha = 1.25 \times (1 - \sqrt{1 - 2\mu}) = 1.25 \times (1 - \sqrt{1 - 2(0.018)}) = 0.023$$

$$Z = d (1-0.4\alpha) = 180 (1-0.4 \times 0.023) = 178.34 \text{ mm}$$

$$A_{a \text{ rive}} = \frac{M_{a \text{ rive}}}{Z \times \frac{fe}{V_s}} = \frac{0.85 \times 10^6}{178.34 \times \frac{400}{1.15}} = 13.70 \text{ mm}^2$$
 $A_{a \text{ rive}} = 0.14 \text{ cm}^2$

Vérification de condition de non fragilité

$$A_{min} = 0.23bd \frac{f_{t28}}{f_e} = 0.23 \times 10 \times 18 \times \frac{2.1}{400} = 0.22 \text{ cm}^2$$

$$A_s = \max (0.14; 0.22) = 0.22 \text{ cm}^2$$

On adopte: $As = 1HA10 = 0.79 \text{ cm}^2$

> Appui intermédiaire

$$Ma_{intermax} = -4.62 \text{ KN.m}$$

$$\mu_{bu} = \frac{M_{a inter}}{bd^2 f_{bu}} = \frac{4.62 \times 10^6}{100 \times 180^2 \times 14.17} = 0.1$$

$$\mu_{bu} = 0.1 \le \mu_{AB} = 0.186$$
 pivot A

$$\mu_{bu} = 0.1 \le \mu_1 = 0.391$$
 AS = 0

$$\alpha = 1.25 \times (1 - \sqrt{1 - 2\mu}) = 1.25 \times (1 - \sqrt{1 - 2(0.1)}) = 0.13$$

$$Z = d (1-0.4\alpha) = 180 (1-0.4 \times 0.13) = 170.64 \text{ mm}$$

$$A_{a \text{ inter}} = \frac{M_{a \text{ inter}}}{Z \times \frac{fe}{\gamma_s}} = \frac{4.62 \times 10^6}{170.64 \times \frac{400}{1.15}} = 77.84 \text{ mm}^2 \rightarrow A_{a \text{ rive}} = 0.78 \text{ cm}^2$$

> Vérification de condition de non fragilité

$$A_{min} = 0.23bd \frac{f_{t28}}{f_e} = 0.23 \times 10 \times 18 \times \frac{2.1}{400} = 0.22 \text{ cm}^2$$

$$A_s = \max (0.78; 0.22) = 0.78 \text{ cm}^2$$

On adopte:
$$As = 2HA10 = 1.57 \text{ cm}^2$$

Les résultats de calcul sont résumés dans le tableau suivant :

Tableau III.25: Calcul du ferraillage des poutrelles.

Type des poutrelles	Zone	M KN. m	μ_{bu}	α	Z	A_{cal} cm ²	A_{min} cm ²	A_{adopte} cm ²		
	Terrasse inaccessible									
	Travée	5.69	0.019	0.024	178.27	0.92	1.41	3HA10=2.36		
Type 1	Appuis De rive	-0.84	0.018	0.023	178.34	0.14	0.22	1HA10=0.79		
	Appuis Inter	-4.62	0.1	0.13	170.64	0.78	0.22	2HA10=1.57		

				1	1	•	1	,
	Travée	5.4	0.018	0.022	178.41	0.87	1.41	3HA10=2.36
Type 2	Appuis De rive	-0.3	0.0063	0.008	179.42	0.05	0.22	1HA10=0.79
	Appuis Inter	-3.62	0.08	0.10	172.8	0.6	0.22	2HA10=1.57
	Travée	6.7	0.022	0.028	178.41	1.08	0.06	2HA10=1.57
Type 3	Appuis De rive	-1.34	0.004	0.005	179.64	0.21	0.06	1HA10=0.79
	Appuis Inter	-5.34	0.019	0.024	178.27	0.86	0.06	2HA10=1.57
]	Etage cou	ırant			
	Travée	5.31	0.017	0.021	178.49	0.86	1.41	3HA10=2.36
Type 1	Appuis De rive	-0.83	0.018	0.023	178.34	0.14	0.22	1HA10=0.79
	Appuis Inter	-4.5	0.1	0.13	170.64	0.78	0.22	2HA10=1.57
	Travée	5.02	0.017	0.025	178.2	0.80	1.41	3HA10=2.36
Type2	Appuis De rive	-0.29	0.006	0.013	179.1	0.04	0.22	1HA10=0.79
	Appuis Inter	-3.52	0.076	0.1	172.8	0.58	0.22	2HA10=1.57
	Travée	6.47	0.022	0.028	178.41	1.04	0.06	2HA10=1.57
Type 3	Appuis de rive	-1.25	0.0042	0.0053	179.62	0.20	0.06	1HA10=0.79
	Appuis Inter	-5	0.017	0.021	178.5	0.8	0.06	2HA10=1.57

Vérifications à l'ELU

• Vérification de la contrainte de cisaillement

On doit vérifier que : $\tau_u \le \overline{\tau_u}$

$$T_{max} = 11.6$$
KN.m

Fissuration peu nuisible

$$\overline{\overline{\tau_u}} = min (3.33 ; 5MPa) = 3.33 MPa$$

$$\tau_u = \frac{T_u}{bd} = \frac{11.6 \times 10^3}{100 \times 180} = 0.64 \text{ MPa} < 3.33 \text{ MPa} \dots \text{CV}$$

⇒ Pas de risque de rupture par cisaillement.

> choix des armatures transversales

$$Q_t \le \min(\frac{h}{35}; \frac{b_0}{10}; Q_{l max}) \Rightarrow Q_t \le \min(5.74; 10; 12) = 5.71$$

$$Q_t = 6 \text{ mm} \implies At = 2\text{HA8} = 0.57 \text{ cm}^2$$

> Espacement entre cadre (St)

L'espacement des armatures transversales St est définit par le minimum entre les trois conditions qui suivent:

$$S_{t1} = min (0.9h; 40cm) = 16.2 cm$$

$$S_{12} = \frac{At \times fe}{0.4 h_0} = \frac{0.57 \times 400}{0.4 \times 10} = 57 \text{ cm}$$

$$S_{t3} = \frac{0.9 \times At \times fe}{b \times \gamma_s(\tau_u - 0.3 f_{t28})} = \frac{0.9 \times 0.57 \times 400}{10 \times 1.15(0.64 - 0.3 \times 2.1)} = 1784.34 cm$$

$$S_t = 16.2 \rightarrow S_t = 15 \text{ cm}$$

Vérification des armatures longitudinales A₁ vis-à-vis de l'effort T_u

❖ Appuis de rive

$$A_1 \ge \frac{\gamma s}{fe} T_u$$

$$A_1 = A_{trav\acute{e}e} = A_{rive} = 2.36 + 0.79 = 3.15 \text{ cm}^2$$

$$A_l \ge \frac{1.15}{400}(11.6 \times 10^3) = 33.35 \text{ mm}^2 \ge 0.29 \text{ cm}^2 \dots \text{CV}$$

• Appuis intermédiaires

$$A_l \ge \frac{\gamma s}{fe} \left(T_u + \frac{M_{inter}}{0.9 d} \right)$$

$$A_l \geq \frac{1.15}{400} (11.6 \times 10^3 - \frac{4.62 \times 10^6}{0.9 \times 180}) = -32.9 \text{ mm}^2 < 0 \dots \text{ Pas de vérification à faire au niveau de l'appui}$$

intermédiaire, car l'effort est négligeable devant l'effet du moment.

• Vérification de la bielle

$$\sigma_{bc} \le \frac{0.8 f_{c28}}{v_b}$$
 Et $\sigma_{bc} = \frac{2 T_U}{a b_0}$

$$T_{\rm u} \le \frac{0.8 \, f_{c28} \times a \, b_0}{1.5 \times 2}$$

$$a = min (0.9 \times 18 ; 40-4 cm) = 16.2 cm$$

$$T_u = (0.267 \times 16.2 \times 100 \times 25) \ 10^{-3} = 108.14 \ KN$$

$$T_u = 11.6 \text{ KN} \le 108.14 \text{ KN} \dots \text{CV}$$

⇒ Pas de risque d'écrasement du béton au niveau de l'appui.

• Vérification de la jonction table-nervure

On doit vérifier que :

$$\tau_u = \frac{T_u \, b_1}{0.9bdh_0} \le \overline{\tau_u}$$

$$b_1 = 27.5 \text{ cm}$$
 $\overline{\tau_u} = 3.33 \text{ MPa}$

Pas de risque de rupture à la jonction table nervure.

Les résultats de calcul sont résumés dans le tableau suivant :

	Vérification de la		ngitudinale Aux opuis	Vérification	Vérification de la
Types	contrainte de cisaillement	Appui rive	Appui inter	de la bielle	jonction table nervure
	$\tau_u = \frac{T_u}{bd} \leq \overline{\tau_u}$	$A_l \ge \frac{\gamma s}{fe} T_u$	$\frac{A_{l} \geq}{fe} \left(T_{u} + \frac{M_{inter}}{0.9 d} \right)$	$ \frac{T_{\mathrm{u}} \leq}{\underbrace{0.8 f_{c28} \times a b_0}_{1.5 \times 2}} $	$\tau_u = \frac{T_u b_1}{0.9bdh_0} \\ \leq \overline{\tau_u}$
		Terrasse	inaccessible		
Type 1	$0.64 \le 3.33$	$3.15 \ge 0.33$	3.15 ≥-0.48	11.6 ≤108.14	0.71≤3.33
Type 2	0.6≤3.33	3.15≥0.31	$3.15 \ge -0.32$	10.9≤108.14	0.71≤3.33
Type 3	$0.65 \le 3.33$	2.36≥0.33	/	11.62≤108.14	/
		Etage	courant		
Type 1	0.6≤3.33	3.15≥0.31	3.15 ≥-0.32	10.9≤108.14	0.67≤3.33
Type2	0.57≤3.33	$3.15 \ge 0.38$	3.15 ≥-0.33	11.6 ≤108.14	0.67≤3.33
Type 3	$0.61 \le 3.33$	2.36≥0.33	/	10.20≤108.14	/

Tableau III.26: Vérification a l'ELU.

✓ Vérifications à l'ELS

Vérification des contraintes

* En travée

$$M_{tmax} = 5.17 \text{ KN.m}$$

$$\sigma_{bc} \leq \overline{\sigma_{bc}} = 15 \text{ MPa}$$

$$\sigma_{bc} = \frac{M_{ser} \times y}{I}$$

> Position de l'axe neutre

$$H = \frac{bh_0^2}{2} - 15A_t \text{ (d-}h_0) = \frac{65 \times 4^2}{2} - 15 \times 2.36 \text{ (18-4)} = 24.4 \text{ cm}^2$$

 $H > 0 \rightarrow 1$ 'axe neutre passe par la table; d'où calcul d'une section rectangulaire $b \times h$.

Calcul y

$$\frac{1}{2}by^{2} + n (y-d) As - n (d-y) A \qquad As = 0$$

Y = 3.92 m

> Moment d'inertie

$$I = \frac{1}{3}by^3 + n (d-y)^2 A + n(y-d) As$$
 $As = 0$

$$I = 8323.04 \text{ cm}^4$$

$$\sigma_{bc} = \frac{5.17 \times 39.2 \times 10^6}{8323.04 \times 10^4} = 2.43 \text{ MPa}$$

$$\sigma_{bc}$$
= 2.43 MPa $\leq \overline{\sigma_{bc}}$ = 15 MPaCV

Sur appuis intermédiaires

$$M_{ainter} = -3.36$$
 KN.m

$$\sigma_{bc} \leq \overline{\sigma_{bc}} = 15 \text{ MPa}$$

$$\sigma_{bc} = \frac{M_{ser} \times y}{I}$$

> Position de l'axe neutre

$$H = \frac{bh_0^2}{2} - 15A_t \text{ (d-}h_0) = \frac{65 \times 4^2}{2} - 15 \times 1.57 \text{ (18-4)} = 190.30 \text{cm}^2$$

 $H > 0 \rightarrow 1$ 'axe neutre passe par la table; d'où calcul d'une section rectangulaire $b \times h$.

> Calcul y

$$\frac{1}{2}by^2 + n \text{ (y-d) As - n (d-y) A}$$
 As = 0Y = 3.27 m

> Moment d'inertie

$$I = \frac{1}{3} by^{3} + n (d-y)^{2}A + n(y-d) As \qquad As = 0 \qquad I = 5867.30 \text{ cm}^{4}$$

$$\sigma_{bc} = \frac{3.36 \times 32.7 \times 10^{6}}{5867.3 \times 10^{4}} = 1.9 \text{ MPa}$$

 σ_{bc} = 1.9 MPA $\leq \overline{\sigma_{bc}}$ = 15 MPaCV Les résultats de calcul sont résumés dans le tableau suivant :

Tableau III.27: Vérification a l'ELS.

Тур		Er	ı travée			En a	ppui			
	(KN . m)	Y (cm	<i>I</i> (cm ⁴)	σ _{bc} (MPA)	<i>M_a</i> (KN. m)	Y (cm)	<i>I</i> (cm ⁴)	σ _{bc} (MP A)	σ _{bc} (M PA)	$rac{\sigma_{bc}}{\sigma_{bc}}$
				Terr	asse inacc	essible				
Typ 1	5.17	3.92	8323.04	2.43	-3.36	3.27	5867.30	1.9	1.5	C v
Typ 2	3.94	3.92	8323.04	1.85	-2.63	3.27	5867.30	1.46	15	C v
Typ 3	3.6	3.27	5929.93	2	-3.9	3.27	5929.93	2.15	15	Cv
				I	Etage coura	ant				
Typ 1	3.8	3.92	8323.04	1.8	-3.22	3.27	5867.30	1.8	15	Cv
Typ 2	3.6	3.92	8323.04	1.72	-2.52	3.27	5867.30	1.4	15	Cv
Typ 3	3.4	3.27	5929.93	1.87	-3.6	3.27	5929.93	2	15	Cv

➤ Vérification de la flèche "BAEL 91(article B.6.5.1)"

$$\bullet \quad \frac{h}{l} \ge \frac{1}{16}$$

$$\bullet \quad \frac{h}{l} \ge \frac{M_0}{10 \times M_t}$$

$$\bullet \quad \frac{A_{S\,app}}{bd} \leq \frac{4.2}{f_e}$$

Les trois conditions ne sont pas vérifiées, donc il est nécessaire de calculer la flèche

Il faut que:

$$f = \frac{M_t}{10 \times E_i \times I_{fi}} \le f = 0.05 \text{ cm} + \frac{L}{100}$$

Ifi: L'inertie fissurée

 E_i : Module instantané de béton (E_i = 32164.2MPa)

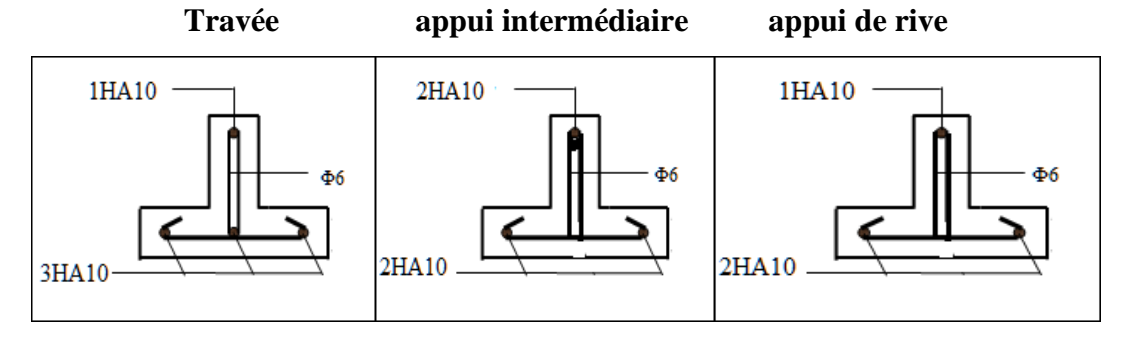
$$\begin{split} & I_{\rm f} = \frac{1.1I_0}{1 + \lambda i \times u} \\ & u = 1 - \frac{1.75 \, f_{t28}}{4\rho \sigma_s + n f_{t28}} = \\ & \lambda i = \frac{0.05 f_{t28}}{2 + \left(3\frac{b_0}{b}\right)\rho} \end{split}$$

Tableau III.28: Vérification des flèches

Type	$\mathbf{I_f}$	u	λi	$f \leq f$						
	Terrasse inaccessible									
Type 1	47148.63	0.62	5.25	0.0009≤0.45						
Type2	12174.53	0.62	5.25	0.001≤0.45						
Type 3	11301.18	0.67	5.25	0.0009≤0.45						
		Etage coura	nt							
Type 1	12497.23	0.6	5.25	0.0009≤0.45						
Type 2	12497.23	0.6	5.25	0.0009≤0.45						
Type 3	11427.59	0.66	5.25	0.002≤0.45						

> Schéma de ferraillage

❖ Type 1 et 2 (étage courant, terrasse inaccessible)



❖ Type 3 (étage courant, terrasse inaccessible)

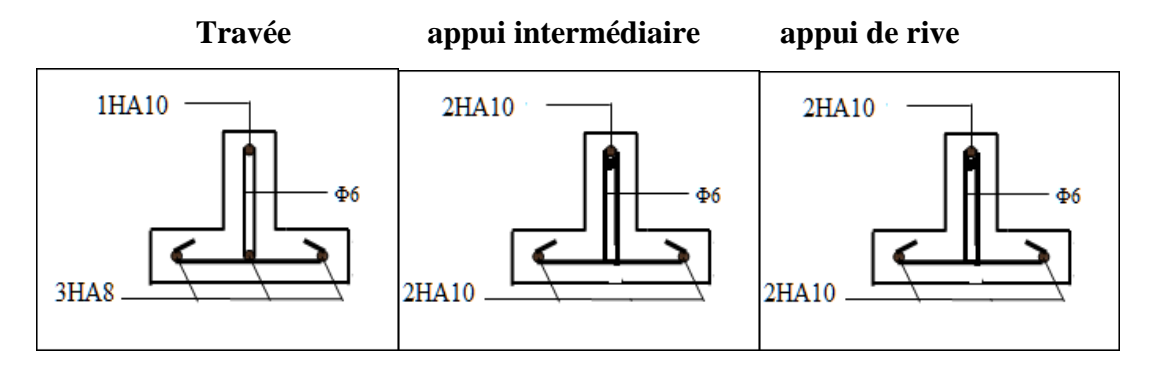


Figure III.27 : Les schémas de ferraillages des poutrelles.

III.4.2 Etude de la dalle de compression "CBA93 article(B.6.8.4.2.3)"

Selon le CBA93 article(B.6.8.4.2.3) la dalle de compression, sera armée par un quadrillage de barres dont les dimensions de mailles ne doivent pas dépasser :

- ➤ 20 cm (5 p.m.) pour les armatures perpendiculaires aux nervures.
- ➤ 33 cm (3 p.m.) pour les armatures parallèles aux nervures.

D'après le même article cité ci-dessus les sections des armatures sont calculées comme suit :

Armatures perpendiculaires aux poutrelles

50 cm \leq entre axes des poutrelles $I_0 = 65$ cm ≤ 80 cm

$$A_{
m perpendiculair} = rac{4 \times I_0}{f_e}$$

 $f_e = 235$ MPa: Car c'est du treillis soudés (Rond Lisse « RL »).

$$A_{\text{perpendiculair}} = \frac{4 \times 65}{235} = 1.106 \text{ cm}^2/\text{ml}$$

Avec $S_t = 20 \text{ cm}$

> Armatures parallèles aux poutrelles

$$A_{\text{parallèle}} = \frac{A_{\text{perpendiculair}}}{2} = \frac{1.106}{2}$$

$$A_{\text{parallèle}} = 0.533 \text{ cm}^2/\text{ml}$$

Avec $S_t = 33$ cm

On choisit : Un treillis soudés \emptyset_6 (150 ×150) mm²

5HA 6/ml = 1.41 cm² perpendiculaires aux poutrelles et St = $20cm \le 20cm$ vérifiée.

4HA 6/ml = 1.13 cm² parallèles aux poutrelles St = 25 cm < 33cmvérifiée.

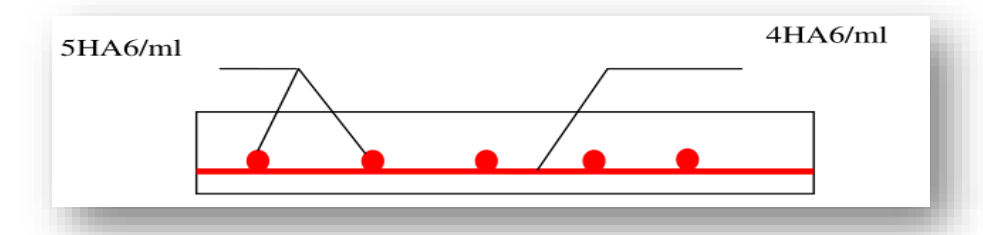


Figure III.28: Schéma de ferraillage de la dalle de compression.

III.5 plancher en dalle pleine

Les dalles pleines sont des éléments d'épaisseur faible par rapport aux autres dimensions, chargées perpendiculairement à leur plan moyen reposant sur deux, trois ou quatre appuis et même des dalles pleines en porte à faux (console).

Dans notre structure, nous avons des dalles pleines sous forme rectangulaire qui reposent sur quatre appuis, pour le calcul nous choisissons la dalle la plus sollicitée.

III.5.1 Evaluation des charges

$$G = 6230 \text{ N/m}^2$$

a) ELU

$$qu = 1.35G + 1.5Q = 1.35 \times 6230 + 1.5 \times 5000$$

$$qu = 15910.5 \text{ N/m}^2$$

b) ELS

$$qser$$
=G+Q=5230 +5000= 11230 N/m²

$$\rho = \frac{lx}{ly} = \frac{300}{400} = 0.75 > 0.4$$
 \rightarrow La dalle travaille dans les deux sens

Dans ce cas les moments sont déterminés suivant les deux directions lxetly.

III.5.2 Calcule des moments

Pour le calcul des moments on utilise les dispositions indiquées a l'annexe E3 des règles

BAEL91:

✓ Dans le sens de la petite portée : $Mx = \mu x q_u L x^2$

✓ Dans le sens de la grande portée : $My = \mu y Mx$

Les coefficients μx et μy sont fonction de :

$$\rho = \frac{lx}{ly}$$
 et v

Avec : v: coefficient de poisson

uxet uy sont donnés par l'abaque de calcul des dalles rectangulaire

$$\rho = 0.75$$

$$\rightarrow \mu x = 0.062$$

$$\rightarrow \mu y = 0.509$$

$$Mx = \mu x q u L x^2 = 8878.06 \text{ N.m}$$

$$My = \mu y Mx = 4518.93 \text{ N.m}$$

• Moments en travées

$$Mtx = 0.75Mx = 0.75 \times 8878.06 = 6658.55N.m$$

$$Mty=0.75$$
My $0.75\times4518.93 = 3389.19N.m$

• Moment sur appuis

$$Ma_x = Ma_y = 0.5 \times Mx = 4439.03 \text{ N.m}$$

III.5.3 Ferraillage de la dalle

B =100 cm; h =15 cm; d = 0,9h=13.5 cm;
$$f_e$$
=400MPa

fc28=25MPa; ft28=2,1MPa;
$$\sigma$$
s=348MPa; fbc =14.16 MPa

Les résultats sont récapitulés dans le tableau suivant :

Tableau III.29 : Ferraillage de dalle pleine.

	sens	Mu (N.m)	μ	As' (cm ²)	α	Z (cm ²)	Acal (cm ²)	Choix	Aadp (cm²)
travée	X-X	6658.55	0.025	0	0.031	13.33	1.43	4HA8	2.01
tra	у-у	3389.19	0.013	0	0.016	13.41	1.42	4HA8	2.01
appuis	x-x y-y	4439.03	0.017	0	0.021	13.38	0.95	3НА8	1.51

a) Espacement

✓ Travée

Sens x-x: st
$$=\frac{100}{4}$$
 = 25 cm < min (3h; 33cm) CV

Sens y-y: st =
$$\frac{100}{4}$$
 = 25 cm < min (3h; 33cm) CV

✓ Appuis

Sens x-x: st
$$=\frac{100}{3}$$
 = 33 cm < min (3h; 33cm) CV

Sens y-y: st
$$=\frac{100}{3}$$
 = 33 cm < min (3h; 33cm) CV

b) Condition de non fragilité"(BAELA.4.2.1)"

$$\int Ax \ge \rho_0 \frac{(3-\rho)}{2} bh = 1.35 \text{ cm}^2$$
$$Ay \ge \rho_0 bh = 1.2 \text{ cm}^2$$

Avec:
$$\rho_0 = 0.08\%$$
 pour les barres haut adhérence $\rho = \frac{lx}{ly} = 0.75$

✓ Travée

Sens x-x:Ax=3.14 cm²>Asmin=0.99 cm².....vérifiée

Sens y-y: $Ay = 1.51 \text{cm}^2 > Asmin = 0.88 \text{ cm}^2$vérifiée

✓ Appuis

Sens x-x: $Ax = 2.01 \text{ cm}^2 > Asmin = 0.99 \text{cm}^2$vérifiée

Sens y-y: $Ay = 2.01 \text{cm}^2 > Asmin = 0.88 \text{cm}^2$vérifiée

c) Vérification de l'effort tranchante

$$\tau u \le \overline{\tau u}$$

$$\tau u = \frac{vumax}{bd}$$

$$Vux = \frac{qulxly}{2lx+ly} = 19092.6 \text{ N}$$

$$Vuy = \frac{qulx}{3} = 15910.5 \text{ N}$$

$$Vumax = max (vux; vuy)$$
 $\rightarrow vumax = 19092.6 N$

$$\tau u = \frac{19092.6}{1000 \times 135} = 0.14 \ MPa$$

- Fissuration préjudiciable:

$$\overline{\tau u} = \min (0.15 \frac{fc28}{\gamma b}; 4\text{MPa})$$

$$\overline{\tau u} = \min (2.5; 4MPa) \rightarrow \overline{\tau u} = 2.5 \text{ MPa}$$

$$\tau u = 0.16 \text{MPa} \le \overline{\tau u} = 2.5 \text{ MPa} \dots \text{CV}$$

Pas de risque de rupture par cisaillement ; donc les armatures transversale ne sont pas nécessaire.

III.5.4 Vérification à l'ELS

a) Evaluation des sollicitations à ELS

$$\rho = \frac{lx}{ly} = 0.75 \implies v = 0.2$$

$$\begin{cases} \mu x = 0.0685 \\ \mu y = 0.643 \end{cases}$$

$$\begin{cases} Mx = \mu x q_{ser} lx^2 = 6978.78 \text{ N.m} \\ My = \mu y M_x = 4487.35 \text{ N.m} \end{cases}$$

$$\begin{cases} Mtx = 0.85Mx = 5931.96 \text{ N.m} \\ Mty = 0.85My = 3814.24 \text{ N.m} \\ Ma = 0.3Mx = 2093.63 \text{ N.m} \end{cases}$$

b) Vérification des contraintes

$$\sigma_{bc}$$
 ≤ $\overline{\sigma bc}$

$$\overline{\sigma b}c = 0.6fc_{28} = 15 MPa$$
✓ Détermination de la valeur de « y »:

$$\frac{1}{2}b y^2 + n(y-c')As' - n(d-y)As = avec n = 0$$

✓ Moment d'inertie :

$$I = \frac{1}{3} by^3 + n(d-c')As' + n(d-y)^2 As = 0$$

Les résultats trouvés en travée et sur appui dans les deux sens sont regroupés dans le tableau suivant :

 $\sigma_{bc} \leq$ As Mser(N.m) Y (cm) I (cm) $\sigma bc(MPa)$ $\overline{\sigma bc}$ (cm^2) 5931.96 6087.13 3.14 3.13 3.05 3814.24 1.51 2.26 3246.32 2.65 2093.63 2.01 2.57 4167.69 1.29

Tableau III.30: Vérification à l'ELS.

c) Vérification de la flèche "(BAELB.6.5, 1)"

Si les trois conditions suivantes de la flèche sont vérifiées, le calcul de la flèche ne s'imposera pas :

$$\frac{h}{l} \ge \frac{1}{16}$$
 0.0375\geq 0.0625 CNV
$$\frac{h}{l} \ge \frac{1}{10} \times \frac{Mt}{M0}$$
 0.0375\geq 0.085 CNV
$$\frac{As}{hd} \le \frac{4.2}{fe}$$
 0.002\leq 0.0105 CV

Donc il y'a un risque de la flèche :

Il faut que

$$f = \frac{M_t}{10 \times E_i \times I_{fi}} \le f = 0.05 \text{ cm} + \frac{L}{100}$$

Avec:

I_{fi}: L'inertie fissurée

 E_i : Module instantané de béton (E_i = 32164.2MPa)

$$I_f = \frac{1.1I_0}{1 + \lambda i \times u} = 2764.21 \text{ cm}^4$$

$$u = 1 - \frac{1.75 \, f_{t28}}{4\rho \sigma_s + n f_{t28}} = 0.52$$

$$\lambda i = \frac{0.05 f_{t28}}{2 + \left(3 \frac{b_0}{h}\right) \rho} = 21$$

$$f = \frac{7.22 \times 10^6}{10 \times 32164.2 \times 17763.61} = 0.004 \le f = 0.05 \ cm + \frac{400}{1000} = 0.45 \ \dots \dots CV$$

III.6 Balcons

Les balcons sont des plaques minces et planes est définie comme une plaque horizontale, dont l'épaisseur est relativement faible par rapport aux autres dimensions. Cette plaque peut être encastrée sur deux ou plusieurs appuis, comme elle peut être assimilée à une console (Balcon).

Dans notre cas on a des balcons reposant sur trois appuis. Donc le calcul se fait comme une dalle pleine.

III.6.1 Evaluation des charges

 $G=5330 \text{ N/m}^2$

 $Q = 3500 \text{ N/m}^2$

III.6.2 Combinaison des charges

& ELU

$$qu=1.35G+1.5Q=1.35\times5330+1.5\times3500=12445.5 \text{ N/m}2$$

***** ELS

$$\rho = \frac{lx}{ly} = \frac{1.25}{2.25}$$

 $\rho = 0.55 > 0.4 \Rightarrow$ La dalle travaille dans les deux sens

Dans ce cas les moments sont déterminés suivant les deux directions lx et ly.

III.6.3 Calcule des moments

Pour le calcul des moments on utilise les dispositions indiquées a l'annexe E3 des règles BAEL91 :

✓ Dans le sens de la petite portée : $Mx = \mu x q_u L x^2$

✓ Dans le sens de la grande portée : $My = \mu y Mx$

Les coefficients μx et μy sont fonction de :

$$\rho = \frac{lx}{ly} \text{ et } y$$

Avec : v: coefficient de poisson

 μ_x et μ_y sont donnés par l'abaque de calcul des dalles rectangulaire.

$$\rho = 0.55 \ Donc: \mu x = 0.088$$

 μy ne sont pas prendre en considération $\rho < 0.557$

$$Mx = \mu x q u L x^2 = 1711.26 \text{ N.m}$$

$$My = Mx = 1711.26 \text{ N.m}$$

> Moment en travée

$$Mtx = Mty = 0.85 Mx = 0.85 \times 1711.26 = 1454.57 N.m$$

> Moment sur appuis

$$M_{ax} = M_{ay} = 0.3Mx = 0.3 \times 1711.26 = 513.38 \text{ N.m}$$

$$M_{ax} = M_{ay} = 0.5Mx = 0.5 \times 1711.26 = 855.63 \text{ N.m}$$

III.6.4 Ferraillage du balcon

B = 100cm; h = 15 cm; d = 0.9h=13.5cm; f_e =400MPa

fc28=25MPa ; ft28=2,1MPa ; σs =348MPa; fbc=14.16 MPa

Les résultats sont récapitulés dans le tableau suivant :

Tableau III.31: Ferraillage de dalle pleine.

	sens	Mu (N/m²)	μ	As' (cm ²)	α	Z (cm ²)	Acal (cm ²)	Choix	Aadp(cm ²)
travée	x-x y-y	1454.57	0.0056	0	0.007	13.46	0.31	4HA8	2.01
appuis	x-x y-y	855.63	0.0033	0	0.0041	13.48	0.18	4HA8	2.01

d) Espacement

✓ Travée:

Sens x-x: st
$$=\frac{100}{4}$$
 = 25 cm < min (3h; 33cm) CV

Sens y-y: st =
$$\frac{100}{4}$$
 = 25 cm < min (3h; 33cm) CV

✓ Appuis:

Sens x-x: st =
$$\frac{100}{4}$$
 = 25 cm < min (3h; 33cm) CV

Sens y-y: st =
$$\frac{100}{4}$$
 = 25 cm < min (3h; 33cm) CV

e) Condition de non fragilité "(BAELA.4.2.1)"

$$h=e=15 \text{ cm}$$
; $b=100 \text{ cm}$

$$\int Ax \ge \rho_0 \frac{(3-\rho)}{2} bh = 1.47 \text{ cm}^2$$

$$Ay \ge \rho_0 bh$$

Avec:
$$\widehat{\rho_0} = 0.08\%$$
 pour les barres haut adhérence

$$\rho = \frac{lx}{ly} = 0.55$$

✓ Travée

Sens x-x:
$$Ax=2.01 \text{ cm}^2 > Asmin=1,47 \text{cm}^2$$
.....vérifiée

✓ Appuis

Sens x-x:
$$Ax = 2.01 \text{ cm}^2 > Asmin = 1,47 \text{cm}^2$$
.....vérifiée

Sens y-y:
$$Ay = 2.01 \text{ cm}^2 > Asmin = 1,2 \text{ cm}^2$$
.....vérifiée

f) Vérification de l'effort tranchante

$$\tau u \le \overline{\tau u}$$

$$\tau u = \frac{vumax}{bd}$$

$$Vux = \frac{qulxly}{2lx+ly} = 7369.05 \text{ N}$$

$$Vuy = \frac{qulx}{3} = 5185.63 \text{ N}$$

$$Vumax = max (vux; vuy) \rightarrow vumax = 7369.05 N$$

$$\tau u = \frac{7369.05}{1000 \times 135} = 0.055 \text{ MPa}$$

- Fissuration préjudiciable:

$$\overline{\mathsf{tu}} = \min(0.15 \frac{fc28}{\gamma b}; 4\text{MPa})$$

$$\overline{\tau u} = \min (2.5; 4 \text{ MPa}) \rightarrow \overline{\tau u} = 2.5 \text{ MPa}$$

$$\tau u = 0.055 \text{ MPa} \le \overline{\tau u} = 2.5 \text{ MPa} \dots \text{CV}$$

Pas de risque de rupture par cisaillement ; donc les armatures transversale ne sont pas nécessaire.

III.6.5 Vérification à l'ELS

c) Evaluation des sollicitations à ELS

$$\rho = \frac{lx}{ly} = 0.55 \Rightarrow v = 0.2$$

$$\begin{cases} \mu x = 0.092 \\ \mu y = 0.420 \end{cases}$$

$$\begin{cases} Mx = \mu x q_{ser} 1x^2 = 1269.31 \text{ N.m} \\ My = \mu y M_x = 533.11 \text{ N.m} \end{cases}$$

$$\begin{cases} M_{tx} = 0.85 \text{Mx} = 1078.91 \text{ N.m} \\ Mty = 0.85 \text{My} = 453.14 \text{ N.m} \\ Ma = 0.3 \text{Mx} = 380.79 \text{ N.m} \end{cases}$$

d) Vérification des contraintes

$$\sigma_{bc} \leq \overline{\sigma bc}$$

$$\overline{\sigma b}$$
c = 0.6fc₂₈ = 15 MPa

✓ Détermination de la valeur de « y » :

$$\frac{1}{2}b \ y^2 + n(y-c')As' - n(d-y)As = avec \ n = 0$$

✓ Moment d'inertie :

$$I = \frac{1}{3} by^3 + n(d-c')As' + n(d-y)^2 As = 0$$

Les résultats trouvés en travée et sur appui dans les deux sens sont regroupés dans le tableau suivant :

 $\sigma_{bc} \leq$ As Mser(N.m) Y (cm) I (cm) $\sigma bc(MPa)$ $\overline{\sigma bc}$ (cm^2) 1078.91 2.01 2.57 4167.69 0.66 X-X 453.14 2.01 2.57 4167.69 0.28 380.79 2.01 4167.69 0.23 2.57

Tableau III.32: Vérification des contraintes à l'ELS.

C) vérification de la flèche''(BAELB.6.5, 1)"

Si les trois conditions suivantes de la flèche sont vérifiées, le calcul de la flèche ne s'imposera pas :

Avec: h=0.15 m; l= 1.25 m;= 2.01 cm²

$$\frac{h}{l} \ge \frac{1}{16} \longrightarrow 0.12 \ge 0.06 \dots \text{CV}$$

$$\frac{h}{l} \ge \frac{1}{10} \times \frac{Mt}{M0} \longrightarrow 0.12 \ge 0.085 \dots \text{CV}$$

$$\frac{As}{hd} \le \frac{4.2}{fe} \longrightarrow 0.0014 \le 0.0105 \dots \text{CV}$$

Les trois conditions sont vérifiées, donc le calculer de la flèche ne s'impose pas.

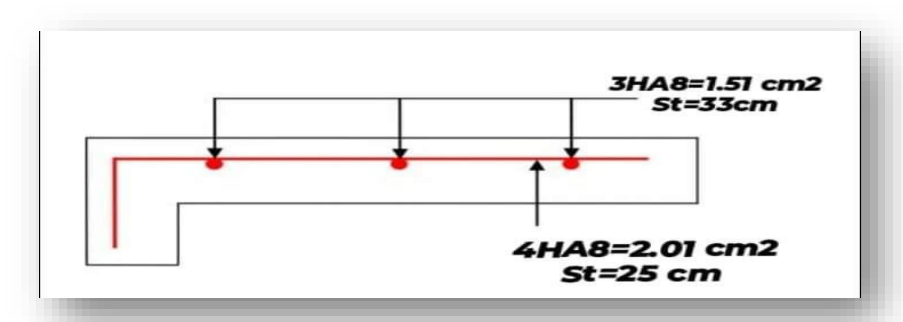


Figure III.29: Disposition constructive des armatures de balcon.

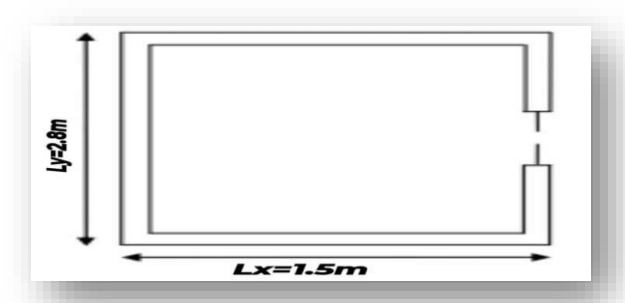
III.7 Ascenseur

L'ascenseur est un appareil mécanique, servant au déplacement des personnes vers les différents niveaux. Il se constitue d'une cabine, qui se déplace le long d'une glissière verticale munie d'un dispositif mécanique permettant le déplacement de la cabine.

III.7.1 pré dimensionnement

La dalle d'ascenseur doit avoir une certaine rigidité vu le poids de la machine.

Nous avons deux conditions à vérifier :



Résistance à la flexion

$$\frac{lx}{50} \le e \le \frac{lx}{40}$$

$$3 \le e \le 3.75$$

Condition de l'ENA

L'entreprise nationale des ascenseurs (E.N.A) préconise que l'épaisseur de la dalle machine est $e \ge 25cm$

On prend: e=25cm

III.7.2 combinaison des charges

G= 59.54 KN

Q=1 KN

$$\circ$$
 ELU: $qu=1.35G+1.5Q=81.88$ KN

$$\circ$$
 ELS: *qser* = G+Q= 60.54 KN

III.7.3 calcul des efforts

Le calcul des efforts de la dalle se fait selon la méthode de calcul des dalles reposantes sur 4 côtés.

Calcul de "ρ "

$$\rho = \frac{lx}{ly} = \frac{1.5}{2.8} = 0.54$$

$$0.4 \le 0.54 \le 1$$
 \Rightarrow la dalle travaille dans les deux sens
$$\begin{cases} Mx = \mu x \text{qul} x^2 \\ My = \mu y Mx \end{cases}$$

$$\begin{cases} Mx = \mu x \text{ qul } x^2 \\ My = \mu y \text{ Mx} \end{cases}$$

• ELU

$$\begin{cases} \mu x = 0.089 \\ \mu y \text{ ne sont pas prendre en considération } \rho < 0.557 \\ Mx = 16.40 \text{ KN} \\ My = Mx = 16.40 \text{ KN} \end{cases}$$

✓ Moment en travée

 $Mtx = Mty = 0.85M_x = 13.94 KN.m$

✓ Moments sur appuis

 $Ma = 0.3M_x = 4.92 \ KN.m$

ELS

$$\mu x = 0.093 \implies Mx = 12.67 \ KN. m$$

$$\mu y = 0.411 \implies MY = 5.21KN.m$$

✓ Moment en travée

$$Mtx = 0.85M_x = 10.77 KN.m$$

$$Mty=0.85M_v = 4.43 \ KN. m$$

✓ Moments sur appuis

 $Ma_x=0.3M_x=3.801 \ KN. m$

 $Ma_v=0.3M_v=1.563 \ KN. m$

 $Ma=Max (Ma_x; Ma_y) = 3.801 KN. m$

III.7.4 Ferraillage de la dalle

Le ferraillage de la dalle machine se fait comme suit :

Pour une bande de 1m, on aura une section (b x h) = (100x25) cm2 qui travaille en flexion simple.

On a: b=100 cm; h=25cm; d=0,9h=22,5cm;

 $\sigma bc = 14,17$ MPa; $\sigma s = 348$ MPa

Tableau III.33: Tableau récapitulatif des résultats de ferraillage.

		Mt(KN.m)	μ	As' (cm ²)	α	Z (cm ²)	As (cm ²)	choix	Aadp(cm ²)
4 mary á a	X-X	13.94	0.019	0	0.025	22.28	1.79	5HA8	2.51
travée	y-y	13.94	0.019	0	0.025	22.28	1.79	5HA8	2.51
a nnui a	X-X	4.92	0.006	0	0.0075	22.43	0.63	5HA8	2.51
appuis	у-у	4.92	0.006	0	0.0075	22.43	0.63	5HA8	2.51

Espacement

✓ En travée

$$St = \frac{100}{5} = 20 \text{ cm} \le \min (3h; 33\text{ cm}) = 33 \text{ cm} \dots \text{CV}$$

Sens (y-y)

$$St = \frac{100}{5} = 20 \text{ cm} \le \min (4\text{h}; 45\text{cm}) = 45 \text{ cm} \dots \text{CV}$$

✓ Sur appuis

$$St = \frac{100}{5} = 20 \text{ cm} \le \min (3\text{h}; 33\text{cm}) = 33 \text{ cm} \dots \text{CV}$$

Sens (y-y)

$$St = \frac{100}{5} = 20 \text{ cm} \le \min (4h; 45\text{cm}) = 45 \text{ cm} \dots \text{CV}$$

III.7.5 Vérification à l'ELU

a) Condition de non fragilité

$$Ax \ge \rho_0 \frac{(3-\rho)}{2} bh = 1.47 \text{ cm}^2 \implies Ax = 2.46 \text{ cm}^2$$

$$Ay \ge \rho_0 bh \implies Ay = 2 \text{ cm}^2$$

Avec:
$$\rho_0 = 0.08\%$$
 pour les barres haut adhérence $\rho = \frac{lx}{ly} = 0.55$

✓ Travée

Sens x-x:
$$Ax$$
=2.51 cm²> $Asmin$ =2.46 cm².....vérifiée

Sens y-y :
$$Ay = 2.51 \text{ cm}^2 > Asmin = 2 \text{ cm}^2$$
.....vérifiée

✓ Appuis

Sens x-x :
$$Ax = 2.51 \text{ cm}^2 > Asmin = 2.46 \text{ cm}^2$$
.....vérifiée

Sens y-y :
$$Ay = 2.51 \text{ cm}^2 > Asmin = 2 \text{ cm}^2$$
.....vérifiée

b) Vérification de la contrainte de cisaillement

$$\tau u \leq \overline{\tau u}$$

$$\tau u = \frac{vumax}{bd}$$

$$Vux = \frac{qulxly}{2lx+ly} = 59.29 \text{ KN}$$

$$Vuy = \frac{qulx}{3} = 40.94 \text{ KN}$$

$$Vumax = max (vux; vuy) \rightarrow vumax = 59.29 \text{ KN}$$

$$\tau u = \frac{7369.05}{1000 \times 135} = 0.26 \text{ MPa}$$

Fissuration préjudiciable:

$$\overline{\tau u}$$
 =0.05fc₂₈ =1.25 MPa

$$\tau u = 0.26 \, MPa \le \overline{\tau u} = 1.25 \, MPa \dots CV$$

Pas de risque de rupture par cisaillement ; donc les armatures transversale ne sont pas nécessaire.

III.7.6 Vérification à l'ELS

a) La contrainte dans le béton

$$\sigma_{bc} \leq \overline{\sigma bc}$$

$$\overline{\sigma b}$$
c = 0.6fc₂₈ = 15 MPa

✓ Détermination de la valeur de « y » :

$$\frac{1}{2}b \ y^2 + n(y-c')As' - n(d-y)As = avec \ n = 0$$

✓ Moment d'inertie :

$$I = \frac{1}{3} by^3 + n(d-c')As' + n(d-y)^2 As = 0$$

Les résultats trouvés en travée et sur appui dans les deux sens sont regroupés dans le tableau suivant :

Tableau III.34: Vérification des contraintes de la dalle en travée et sur appuis dans les 2 sens.

		$\mathbf{M}_{t}(KN.m)$	As (cm ²)	Y(cm)	I(cm)	$\sigma bc(MPa)$	$\sigma_{bc} \le \overline{\sigma bc}$
tra vée	X-X	10.77	2.51	3.76	14994.13	2.7	ij
ב ב	y-y	4.43	2.51	3.76	14994.13	1.11	vérifi ée
appu	is	3.801	2.51	3.76	14994.13	0.95	À

b) La contrainte dans l'acier

$$\sigma st \leq \overline{\sigma st}$$

$$\sigma st = \frac{15Ms(d-y)}{I}$$

Fissuration préjudiciable:

$$\overline{\sigma st} \le \min\left(\frac{1}{2} \text{ fe}; 110\sqrt{\mu \times ftj}\right)$$

Les résultats trouvés en travée et sur appui dans les deux sens sont regroupés dans le tableau suivant :

Tableau III.35 : Vérification des contraintes dans l'acier de la dalle en travée et sur appuis dans les 2 sens.

		$\mathbf{M}_{\mathrm{s}}(KN.m)$	$\sigma_{st}(MPa)$	$\overline{\sigma st}$	$\sigma_{st} \leq \overline{\sigma st}$
Twowis	X-X	10.77	201.91	201.63	C.N.V
Travée	у-у	4.43	83.05	201.63	C.V
appu	is	3.801	71.26	201.63	C.V

c) Vérification de la flèche

Si les trois conditions suivantes de la flèche sont vérifiées, le calcul de la flèche ne s'imposera pas :

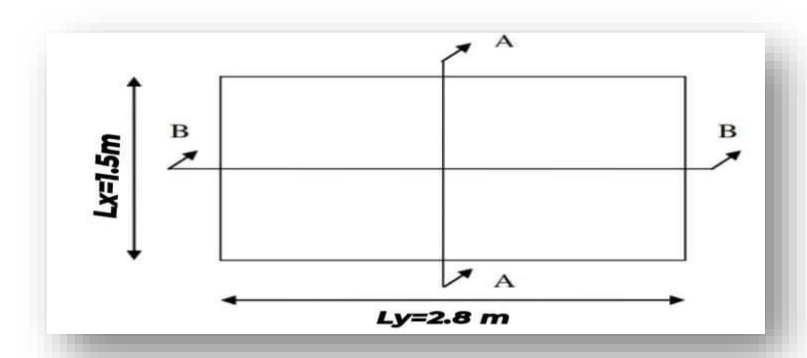
• Sens (x-x)

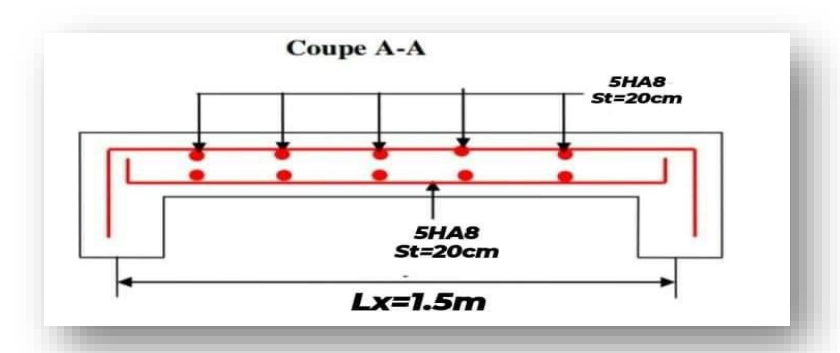
$$\frac{h}{l} \ge \frac{1}{16}$$
 0.166 \ge 0.0625 CV
$$\frac{h}{l} \ge \frac{1}{10} \times \frac{Mt}{M0}$$
 0.166 \ge 0.085 CV
$$\frac{As}{bd} \le \frac{4.2}{fe}$$
 0.0014 \le 0.0105 CV

• Sens (y-y)

$$\frac{h}{l} \ge \frac{1}{16}$$
 → 0.089 ≥ 0.0625 CV
 $\frac{h}{l} \ge \frac{1}{10} \times \frac{Mt}{M0}$ → 0.089 ≥ 0.085 CV
 $\frac{As}{bd} \le \frac{4.2}{fe}$ → 0.0014 ≤ 0.0105 CV

Les trois conditions sont vérifiées, donc le calculer de la flèche ne s'impose pas.





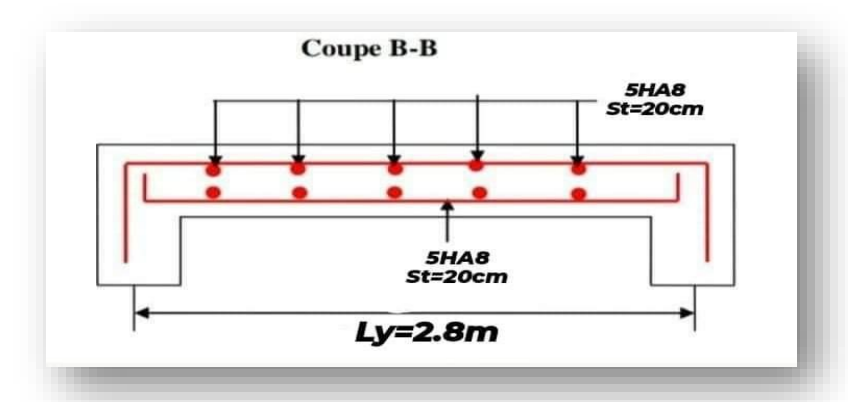


Figure III.30: Ferraillage de la dalle machine.

III.8 Conclusion

Dans ce chapitre; on a pour déterminer le ferraillage des éléments secondaires de notre structure, et ceci on répond à toutes les exigences du RPA99 version 2003, BAEL 91 modifié en 99, et le CBA 93.

1) L'acrotère:

- Les armatures longitudinales: 4HA10

- Les armatures transversales: 4HA6

2) Les escaliers:

• Type 01:

- Les armatures longitudinales

Appuis: 4HA10 travées: 5HA12

- Les armatures transversales

Appuis: 3HA8 travées: 4HA8

• Type 02:

- Les armatures longitudinales

Appuis: 4HA16 travées: 5HA8

- Les armatures transversales:

Appuis: 3HA8 travées: 3HA8

• La poutre palière:

- Les armatures longitudinales

Appuis: 3HA14+1HA12 travées: 3HA14

- Les armatures transversales: 4HA8

3) Les planchers

- Type 01 et 02:
- Les armatures longitudinales:

Appuis: 2HA10 travées: 1HA10

- Les armatures transversales: 1 étier Ø6

• Type 03:

- armatures longitudinales:

Appuis: 2HA10 travées: 1HA10

- Les armatures transversales: 1 étier Ø6

4) Dalle pleine:

• Sens x-x

Appuis: 3HA8 travées: 4HA8

• Sens y-y

Appuis: 3HA8 travées: 4HA8

5) Balcon:

• Sens x-x

Appuis: 4HA8 travées: 4HA8

• Sens y-y

Appuis: 4HA8 travées: 4HA8

6) L'ascenseur:

• Sens x-x

Appuis: 5HA8 travées: 5HA8

• Sens y-y

Appuis: 5HA8 travées: 5HA8

Chapitre IV Etude dynamique en zone sismique

IV.1 Introduction

Un séisme est une libération soudaine d'énergie qui se produit à l'intérieur de la terre et qui peut occasionner des dégâts considérables à cause des ondes élastiques qui se propagent depuis le foyer jusqu'à n'importe quel point de la surface.

Il se produit de très nombreux séismes tous les jours, mais la plupart ne sont pas ressentis par les humains. Environ cent mille séismes sont enregistrés chaque année sur la planète. Les plus puissants d'entre eux comptent parmi les catastrophes naturelles les plus destructrices.

Les règlements parasismiques visent à assurer une protection acceptable des vies humaines et des constructions vis-à-vis des effets des actions sismiques par une conception et un dimensionnement appropriés.

En Algérie, les règles parasismiques Algériennes « RPA 99/ V 2003 » définissent les règles ainsi que les dispositions constructives.

IV.2 l'étude sismique

IV.2.1 Objective de l'étude dynamique

L'analyse dynamique de structure a pour but de connaître son comportement vibratoire en réponse à des forces d'excitations dynamiques. Cela permet d'éviter un problème de résonance ou de corriger les dimensionner des éléments.

L'objectif initial de l'étude dynamique d'une structure est la détermination de ses caractéristiques dynamiques propres lors de ces vibrations libre non- amortie. Cela nous permet de calculer les efforts et les déplacements maximums lors d'un séisme.

IV.2.2 Modélisation de la structure

Pour l'évaluation des forces sismiques, on utilise le logiciel «Autodesk Robot Structural Analysais Professional 2014» qui contient différentes méthodes de calcul sismique.

Pour notre cas, on a choisie « Analyse modale spectrale » qui est basée sur la méthode dynamique modale spectrale qui prend en compte la réponse de la structure suivant les modes déterminés en se basant sur les hypothèses suivantes:

- ✓ Masse supposée concentrée au niveau des nœuds principaux (nœud maître).
- ✓ Seuls les déplacements horizontaux sont pris en compte.
- ✓ Les planchers et les fondations sont considérés rigides dans leur plan.
- ✓ Le nombre de mode à prendre en compte est tel que la somme des coefficients de participation modale soit au moins égale à 90%.

➤ Présentation du logiciel de calcul (Autodesk Robot 2014)

Robot est un logiciel dérivé de la société Autodesk. Il est destiné à modéliser, analyser et dimensionner les différents types de structure, grâce à une interface graphique unique. Il offre de nombreuses possibilités pour l'analyse statique et dynamique, il est basé sur la méthode des éléments finis.

Ce logiciel permet de créer des structures, les calculées, vérifier les résultats obtenus, dimensionner les éléments spécifiques de la structure, la dernière étape gérée par robot permet de définir la note de calcul ainsi que des plans de ferraillage. Ce logiciel offre un calcul plus étendu par rapport aux autres codes car il est avantagé par l'intégration du règlement RPA et la configuration aves le règlement international BAEL.

> Modélisation des éléments structuraux

La modélisation des éléments structuraux est effectuée comme suit :

- ✓ Les éléments en portique (poutres-poteaux) ont été modélisés par des éléments finis de type poutre à deux nœuds ayant six degrés de liberté par nœud.
- ✓ Les voiles ont été modélisés par des éléments coques à quatre nœuds.
- ✓ Les planchers sont simulés par des diaphragmes rigides et le sens des poutrelles peut être automatiquement introduit.

> Modélisation de la masse

La masse de la structure est calculée par l'équation (G+ β Q) imposée par RPA/ version 2003 (dans notre cas β =0,2) pour un bâtiment à usage d'habitation.

La masse volumique attribuée au matériau constituant les éléments modélisée est prise égale à celle du béton armé 25KN/m³.

La masse des éléments non structuraux (l'acrotère et des murs extérieurs ...) a été répartie sur les poutres concernées.

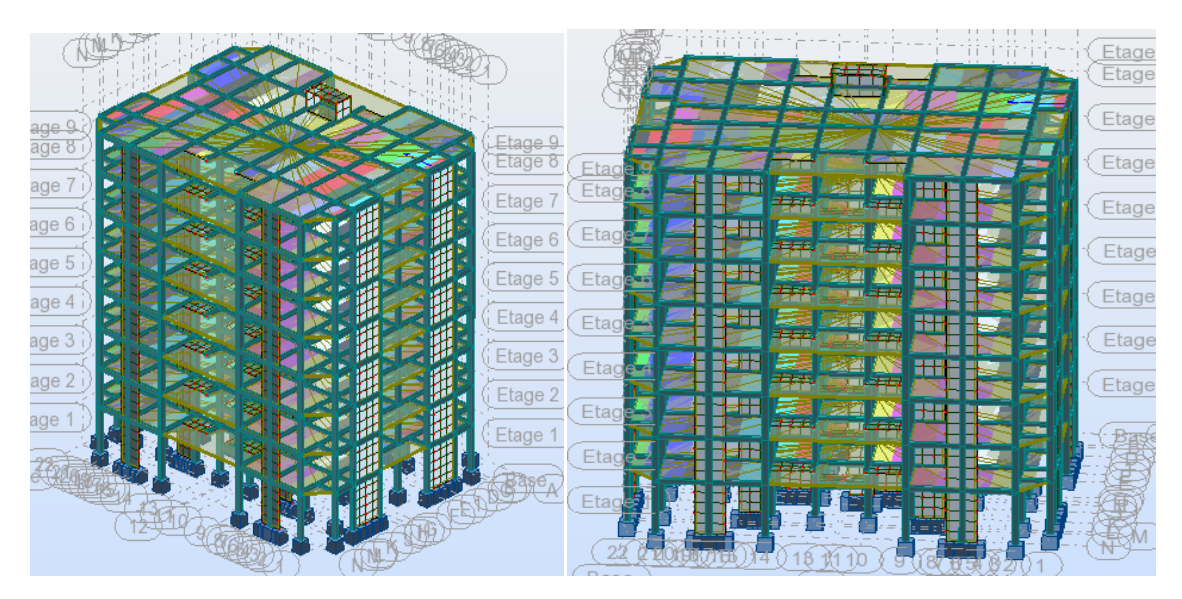


Figure IV.1: Modélisation 3D de la structure.

IV.3 Méthode de calcul

Selon l'article 4.1.1 de RPA99, les forces sismiques peuvent être déterminées par trois méthodes :

- par la méthode statique équivalente.
- par la méthode d'analyse modale spectrale.
- par la méthode d'analyse dynamique par accéléra grammes.

IV.3.1 Méthode statique équivalente (article 4.2 du RPA99/2003)

Selon cette méthode les forces réelles dynamiques développées dans la structure sont remplacées par un système de forces statiques fictives appliquées successivement suivant deux directions orthogonales et ayant des effets équivalents à ceux des forces réelles.

a) Conditions d'application

La méthode statique équivalente peut être utilisée dans les conditions suivantes :

- ➤ Le bâtiment ou bloc étudié, satisfaisait aux conditions de régularité en plan et en élévation prescrites au chapitre III, paragraphe 3.5 avec une hauteur au plus égale à 65m en zones I et II et à 30m en zones III.
- Le bâtiment ou bloc étudié présente une configuration irrégulière tout en respectant, outres les conditions de hauteur énoncées en a), les conditions complémentaires suivantes :
- 1) Zone I: Tous groupes
- 2) Zone II: Groupe d'usage 3
 - Groupe d'usage 2, si la hauteur est inférieure ou égale à 7 niveaux ou 23m.
 - Groupe d'usage 1B, si la hauteur est inférieure ou égale à 5 niveaux ou 17m.
 - Groupe d'usage 1A, si la hauteur est inférieure ou égale à 3 niveaux ou 10m.

- 3) Zone III : Groupes d'usage 3 et 2, si hauteur est inférieure ou égale à 5 niveaux ou 17m.
 - Groupe d'usage 1B, si la hauteur est inférieure ou égale à 3 niveaux ou 10m.
 - Groupe d'usage 1A, si la hauteur est inférieure ou égale à 2 niveaux ou 8m.

b) Méthode de modélisation

- ➤ Le modèle du bâtiment à utiliser dans chacune des deux directions de calcul est plan avec les masses concentrées au centre de gravité des planchers et un seul degré de liberté en translation horizontale par niveau sous réserve que les systèmes de contreventement dans les deux (2) directions puissent être découplés
- La rigidité latérale des éléments porteurs du système de contreventement est calculée à partir de sections non fissurées pour les structures en béton armé ou en maçonnerie.
- > Seul le mode fondamental de vibration de la structure est à considérer dans le calcul de la force sismique totale.

c) Calcul de la force sismique totale (RPA art 4, 2,3)

La force sismique totale V, appliquée à la base de la structure, doit être calculée successivement dans deux directions horizontales orthogonales selon la formule :

$$V = \frac{A \times D \times Q}{R} \times W$$

Avec:

A: Coefficient d'accélération de zone.

Le coefficient d'accélération de zone dépend de la zone sismique et le groupe d'usage du bâtiment:

Tableau IV.1: Coefficient d'accélération de zone.

	Zone						
Groupe	I	II	III				
1A	0.12	0.25	0.35				
1b	0.10	0.20	0.30				
2	0.08	0.15	0.25				
3	0.05	0.10	0.15				

Dans notre cas:

- Groupe d'usage 2
- Zone sismique IIa (Mila)

 \Rightarrow Donc: A = 0.15

R : Coefficient de comportement global de la structure.

Sa valeur est donnée par le tableau 4.3 du RPA99/Version 2003 en fonction du système de contreventement. Pour notre structure, on a un système contreventé par des voiles.

 \Rightarrow Donc: R = 4

Q : facteur de qualité.

Le facteur de qualité de la structure est fonction de :

- la redondance et de la géométrie des éléments qui la constituent.
- la régularité en plan et en élévation.
- la qualité du contrôle de la construction.

La valeur de Q est déterminée par la formule :

$$Q = 1 + \sum_{1}^{5} p_a$$

 P_q : est la pénalité à retenir selon que le critère de qualité q " est satisfait ou non". Sa valeur est donnée au tableau 4.4 du RPA.

Tableau IV.2: Valeur de facteur de qualité.

	p_q				
Critère q	Observé	p_{qx}	Non Observé	p_{qy}	
1. Conditions minimales sur les files de contreventement	non	0.05	non	0.05	
2. Redondance en plan	non	0.05	oui	0	
3. Régularité en plan	non	0.05	non	0.05	
4. Régularité en élévation	non	0.05	non	0.05	
5. Contrôle de la qualité des matériaux	oui	0	oui	0	
6. Contrôle de la qualité de l'exécution	oui	0	oui	0	

$$Q_x = 1 + 0.05 + 0.05 + 0.05 + 0.1 = 1.2$$

$$Q_y = 1 + 0.05 + 0.05 + 0.1 = 1.15$$

Donc on majoré le facteur de qualité et on adopte : $Q_x = Q_y = 1.2$

W: poids total de la structure:

W est égal à la somme des poids Wi, calculés à chaque niveau (i)

$$W = \sum_{i=1}^{n} W_i \quad avec \quad W_i = W_{Gi} + \beta W_{Qi}$$

 W_{Gi} : Poids dû aux charges permanentes et à celles des équipements fixes éventuels, solidaires de la structure.

 W_{Qi} : Charges d'exploitation.

β: Coefficient de pondération, fonction de la nature et de la durée de la charge d'exploitation et donné par le tableau 4.5 du RPA.

Type d'ouvrage Cas β Bâtiments d'habitation, bureaux ou assimilés 0.20 1 2 Bâtiments recevant du public temporairement : Salles d'exposition, de sport, lieux de culte, salles de réunions 0.30 avec places debout. salles de classes, restaurants, dortoirs, salles de réunions avec 0.40 places assises 0.50 3 Entrepôts, hangars 4 1.00 Archives, bibliothèques, réservoirs et ouvrages assimilés 0.60 Autres locaux non visés ci-dessus

Tableau IV.3: Valeurs du coefficient de pondération β .

Dans notre cas: $\beta = 0.2$

$$W = G + 0.2 Q = 37069.10 KN$$

D: facteur d'amplification dynamique moyen, en fonction de la catégorie de site, du facteur de correction d'amortissement (ξ) et de la période fondamentale de la structure (T).

$$D = \begin{cases} 2.5\eta & \text{Si } 0 \le T \le T_2 \\ 2.5\eta \left(\frac{T_2}{T}\right)^{\frac{2}{3}} & \text{Si } T_2 \le T \le 3.0 \text{ sec} \\ 2.5\eta \left(\frac{T_2}{3.0}\right)^{\frac{2}{3}} \cdot \left(\frac{3.0}{T}\right)^{\frac{5}{3}} & \text{Si } T > 3.0 \text{ sec} \end{cases}$$

T₂: Période caractéristique, associée à la catégorie du site et donnée par le tableau 4.7 du RPA.

1 : facteur de correction d'amortissement donné par la formule :

$$\Pi = \sqrt{\frac{7}{(2+\xi)}} \ge 0.7$$

Où ξ (%) est le pourcentage d'amortissement critique fonction du matériau constitutif, du type de structure et de l'importance des remplissages. ξ est donné par le tableau (4-1) présenté ci-après.

Tableau IV.4: Valeurs du coefficient d'amortissement suivant le système structurel.

	Portiq	ue	Voile ou murs	
Remplissage	Béton Armé	Acier	Béton Armé / Maçonnerie	
Léger	6	4	10	
Dense	7	5	10	

Nous avons un système de contreventement en portique par des voiles en béton armé.

On prend : $\xi = 7 \% \rightarrow \eta = 0.8819 > 0.7$

d) Estimation de la période fondamentale de la structure

La valeur de la période fondamentale (T) de la structure peut être estimée à partir de formules empirique en calculée par des méthodes analytiques ou numériques.

$$T = C_t \cdot h_N^{3/4}$$

 h_N : Hauteur mesurée en mètres à partir de la base de la structure jusqu'à dernier niveau (N).

C_t: coefficient fonction du système de contreventement du type de remplissage et donné par le tableau 4.6 du RPA.

Tableau IV.5: Les valeurs du coefficient C_T.

cas	Système de contreventement	Ct
1	Portiques auto stables en béton armé sans remplissage en	0.075
2	maçonnerie.	
3	Portiques auto stables en acier sans remplissage en maçonnerie	0.085
	Portiques auto stables en béton armé ou en acier avec remplissage en maçonnerie.	0.05
4	Contreventement assuré partiellement ou totalement par des voiles en béton armé, des palées triangulées et des murs en maçonnerie.	0.05

Période caractéristique associée à la catégorie de site.

 \rightarrow T₁, T₂ : période caractéristique associée à la catégorie du site.

Tableau IV.6: Valeurs des périodes caractéristiques T1, T2.

Site	S1	S2	S3	S4
T_1 sec	0.15	0.15	0.15	0.15
T_2 sec	0.30	0.40	0.50	0.70

 \Rightarrow Sol ferme \Rightarrow site 2 donc $T_1 = 0.15$ sec et $T_2 = 0.4$ sec.

Calcul de période fondamentale de la structure T :

$$T = C_t \cdot h_N^{3/4}$$
.

Dans notre cas : $C_T = 0.050$; $h_N = 24.99$ m

Donc: $T = 0.050(24.99)^{3/4} = 0.558 \text{ sec.}$

On peut également utiliser aussi la formule suivante : $T = \frac{0.09 \times h_N}{\sqrt{D}}$

Où D est la dimension du bâtiment mesurée à sa base dans la direction de calcul considérée.

$$D_x = 25 \text{ m}, \quad D_y = 19.5 \text{ m}$$

$$\Rightarrow \begin{cases} T_x = 0.45s \\ T_y = 0.51s \end{cases}$$

- $T_x = \min(T_x; T) = \min(0.45; 0.558) = 0.45 s$

- $T_y = \min(T_y; T) = \min(0.51; 0.558) = 0.51 s$

Donc la Période fondamentale statique majorée de 30 % est :

$$- T_x = 1.3 \times 0.45 = 0.585 \text{ s}$$

-
$$T_v = 1.3 \times 0.51 = 0.663$$
 s

On a:

$$\Rightarrow D = 2.5 \eta \left(\frac{T_2}{T}\right)^{2/3} \text{Car } 0.4 \le T \le 3.0 \text{ s} \implies \begin{cases} D_x = 2.04 \\ D_y = 1.88 \end{cases}$$

La force sismique totale à la base de la structure est :

$$V_{st} = \frac{A \times D \times Q}{R} \times W$$

$$V_{st_x} = \frac{0.15 \times 2.04 \times 1.2}{4} \times 37069.10 = 3402.94KN$$

$$V_{st_y} = \frac{0.15 \times 1.88 \times 1.2}{4} \times 37069.10 = 3136.04KN$$

IV.3.2 Méthode dynamique modale spectrale

a) Principe de la méthode dynamique modale spectrale

Par cette méthode, il est recherché pour chaque mode de vibration, le maximum des effets engendrés dans la structure par les forces sismiques représentées par un spectre de réponse de calcul. Ces effets sont par la suite combinés pour obtenir la réponse de la structure.

b) Modélisation

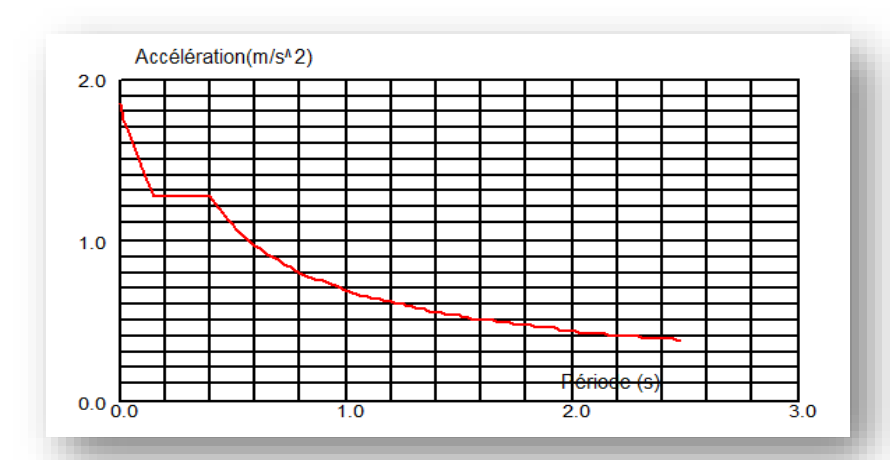
- 1) Pour les structures régulières en plan comportant des planchers rigides, l'analyse est faite séparément dans chacune des deux directions principales du bâtiment. Celui-ci est alors représenté dans chacune des deux directions de calcul par un modèle plan, encastré à la base et où les masses sont concentrées au niveau des centres de gravité des planchers avec un seul DDL en translation horizontale.
- 2) Pour les structures irrégulières en plan, sujettes à la torsion et comportant des planchers rigides, elles sont représentées par un modèle tridimensionnel, encastré à la base et où les masses sont concentrées au niveau des centres de gravité des planchers avec trois (03) DDL (2 translations horizontales et une rotation d'axe vertical).
- 3) Pour les structures régulières ou non régulières comportant des planchers flexibles, elles sont représentées par des modèles tridimensionnels encastrés à la base et à plusieurs DDL par plancher.
- 4) La déformabilité du sol de fondation doit être prise en compte dans le modèle toutes les fois où la réponse de la structure en dépend de façon significative.

- 5) Le modèle de bâtiment à utiliser doit représenter au mieux les distributions des rigidités et des masses de façon à prendre en compte tous les modes de déformation significatifs dans le calcul des forces d'inertie sismiques (ex : contribution des zones nodales et des éléments non structuraux à la rigidité du bâtiment).
- 6) Dans le cas des bâtiments en béton armé ou en maçonnerie la rigidité des éléments porteurs doit être calculée en considérant les sections non fissurées. Si les déplacements sont critiques particulièrement dans le cas de structures associées à des valeurs élevées du coefficient de comportement, une estimation plus précise de la rigidité devient nécessaire par la prise en compte de sections fissurées.
- c) **Spectre de calcul:** L'action sismique est représentée par le spectre de calcul suivant : Comme il est indiqué dans l'article : 4.3.3 du RPA 99 / version 2003.

$$\frac{S_a}{g} = \begin{cases}
1,25A \left[1 + \frac{T}{T_1} \left(2,5\eta \frac{Q}{R} - 1 \right) \right] & \text{si } 0 \le T \le T_1 \\
2,5\eta \left(1,25A \right) \left(\frac{Q}{R} \right) & \text{si } T_1 \le T \le T2 \\
2,5\eta \left(1,25A \right) \left(\frac{Q}{R} \right) \left(\frac{T_2}{T} \right)^{\frac{2}{3}} & \text{si } T_2 \le T \le 3,0 \text{sec} \\
2,5\eta \left(1,25A \right) \left(\frac{T_2}{3,0} \right)^{\frac{2}{3}} \left(\frac{3}{T} \right)^{\frac{5}{3}} \left(\frac{Q}{R} \right) & \text{si } T > 3,0 \text{sec}
\end{cases}$$

Pour notre étude le spectre de repense étant intégrée dans le logiciel robot structural analysais avec lequel nous avons modélisé la structure, les données correspondantes à notre projet sont :

- La zone IIa.
- ➤ Groupe d'usage 2.
- Facteur de qualité ($Q_x = Q_y = 1.25$).
- ➤ Coefficient de comportement global de la structure R=4.
- > Site ferme S2.
- Le pourcentage d'amortissement critique ζ= 7.
 Pour notre l'étude de ce projet le spectre de réponse est donné par le logiciel.



* Représentation graphique du spectre de réponse :

FigureIV.2: Diagramme de spectre de réponse.

> Disposition des voiles de contreventement

Cette étape elle dépend des résultats modales avant de mettre les voiles pour avoir une idée de la déformation de la structure (torsion, translation suivant x et y) et de la période des modes principaux (x) et (y), toujours on essayer d'éliminer la torsion dans les deux premiers modes et diminuer les périodes suivant x et y et on approche le centre de rigidité vers le centre de gravité.

La disposition idéale que nous avons trouvée est représentée dans la figure suivante :

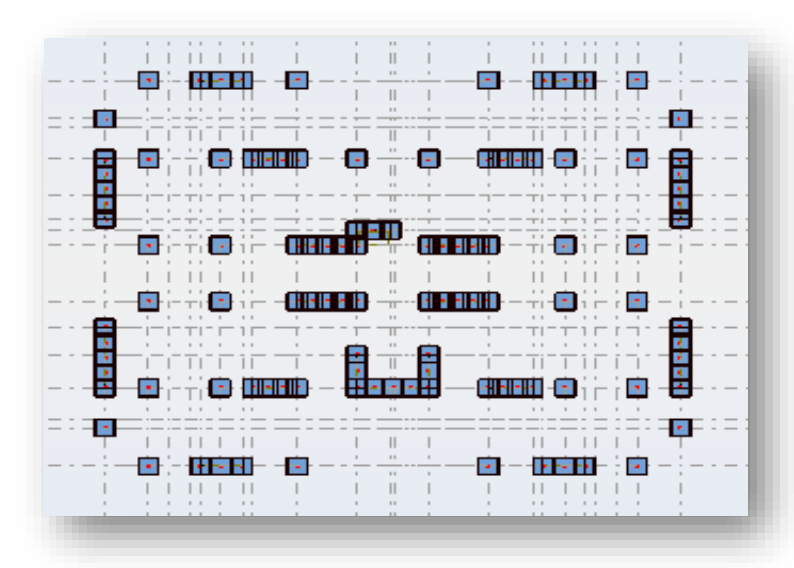


Figure IV.3: Plans de disposition des voiles.

IV.3.3 Mode de vibration et taux de participation des masses

Les différents modes de vibration ainsi que la période et le taux de participation massique qui leur revient sont résumés dans le tableau suivant :

Mode	Fréquence [Hz]	Période [sec]	Masse Cumulés UX [%]	Masse Cumulés UY [%]	Masses Modale UX [%]	Masses Modale UY [%]
1	,168	0.59	0.00	72.72	0.00	72.72
2	1.87	0.53	62.30	72.72	62.30	0.00
3	2.08	0.48	71.94	72.72	9.64	0.00
4	6.35	0.16	71.95	88.28	0.00	15.56
5	7.13	0.14	85.86	88.28	13.91	0.00
6	8.28	0.12	88	88.28	2.15	0.00
7	13.61	0.07	88	93.91	0.00	5.63
8	15.45	0.06	93.19	93.91	5.19	0.00
9	18.21	0.05	93.65	93.91	0.46	0.00
10	21.81	0.05	93.65	93.91	0.00	2.60

Tableau IV.7: Modes propres, Périodes propres et Masses effectives.

> Analyse des résultats

D'après les résultats obtenus dans le tableau ci-dessus, on voit bien que le taux de participation massique selon l'axe Y atteint les 90% au bout du 7 ^{émé} mode, et selon l'axe X au bout du 8 ^{émé} mode.

IV.3.4 Les modes de vibrations

- Le premier mode est un mode de translation suivant l'axe Y-Y:

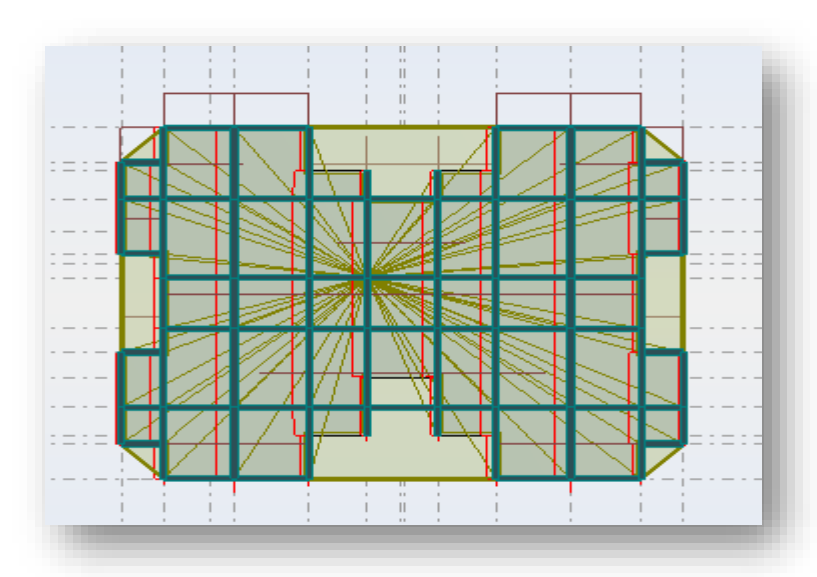


Figure IV.4: Mode 1 de déformation (translation suivant l'axe Y-Y).

Le deuxième mode est un mode de translation suivant l'axe X-X :

Figure.IV.5: Mode 2 de déformation (translation suivant l'axe X-X).

- Le troisième mode est une rotation selon l'axe Z-Z:

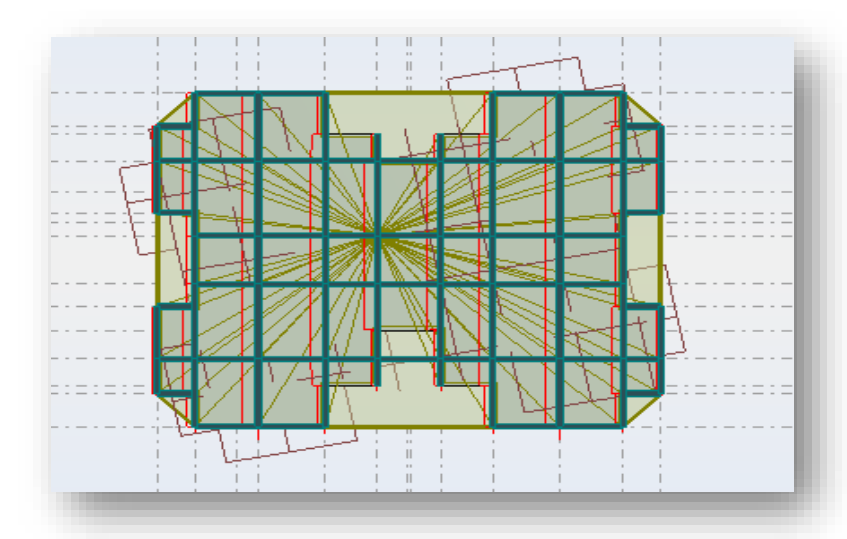


Figure.IV.6: Mode 3 de déformation (rotation suivant Z-Z).

IV.4 Vérification des résultats vis-à-vis du RPA 99/Version2003

IV.4.1 Vérification de l'effort tranchant à la base

En se référant à l'article 4-3-6 du RPA99/Version2003, qui stipule que la résultante des forces sismiques à la base V_t obtenue par combinaison des valeurs modales ne doit pas être inférieure à 80% de la résultante des forces sismiques déterminée par la méthode statique équivalente. $V_{statique}$

$$V_{dynamique} = \frac{A \times Q \times D \times \alpha}{R} \times W$$

On doit vérifier que $V_{dynamique} \ge 0.8 V_{statique}$

Avec:

 $V_{dynamique}$: L'effort tranchant dynamique (calculé par la méthode spectrale modale).

Si $V_{dynamique} < 0.8 V_{statique}$ il faudra augmenter tous les paramètres de la réponse dans le rapport :

0.8V_{statique}

V_{dynamique}

Les résultats sont résumés dans le tableau suivant :

Tableau IV.8: Vérification de l'effort tranchant à la base.

Sens	V _{dynamique} (KN)	V _{statique} (KN)	0.8 V _{statique}	Remarque
X-X	2840.27	3402.94	2722.35	$V_{dynamique} \ge 0.8 V_{statique}$
y-y	2757.52	3136.04	2508.83	$V_{dynamique} \ge 0.8 V_{statique}$

IV.4.2 Vérification vis-à-vis des déplacements

Le déplacement horizontal à chaque niveau K de la structure est calculé par :

$$\delta_k = R \times \delta_{ek}$$
 RPA99 (Article 4.4.3).

 δ_{ek} : Déplacement dû aux forces F_i (y compris l'effet de torsion).

R: Coefficient de comportement.

Le déplacement relatif au niveau K par rapport au niveau K-1 est égal à :

$$\Delta_k = \delta_k - \delta_{k-1}$$

Avec : $\Delta_k < 1\% \times h_e$ **RPA99** (Article 5.10)

Tableau IV.9: Vérification des déplacements relatifs selon X-X.

Niveau	δ_{ek} (cm)	δ _k (cm)	δ _{K-1} (cm)	Δ _K (cm)	h _K (cm)	$\frac{\Delta_{\mathbf{K}}}{\mathbf{h}_{\mathbf{k}}}$ (%)	Observation
RDC	0.3	1.2	0	1.2	357	0.0033	Vérifier
01	0.81	3.24	1.2	2.04	306	0.0066	Vérifier
02	1.438	5.752	3.24	2.512	306	0.0082	Vérifier
03	2.11	8.44	5.752	2.688	306	0.0088	Vérifier
04	2.774	11.096	8.44	2.656	306	0.0087	Vérifier
05	3.394	13.576	11.096	2.48	306	0.0081	Vérifier
06	3.953	15.812	13.576	5.236	306	0.0171	Vérifier
07	4.473	17.892	15.812	2.08	306	0.0068	Vérifier

Tableau IV.10: Vérification des déplacements relatifs selon Y-Y.

Niveau	δ_{ek} (cm)	δ _k (cm)	δ _{K-1} (cm)	Δ _K (cm)	h _K (cm)	$\frac{\Delta_{\mathrm{K}}}{\mathrm{h_{\mathrm{k}}}}$ (%)	Observation
RDC	0.396	1.584	0	1.584	357	0.0044	Vérifier
01	0.974	3.896	1.584	2.312	306	0.0075	Vérifier
02	1.714	6.856	3.896	2.96	306	0.0097	Vérifier
03	2.501	10.004	6.856	3.148	306	0.0102	Vérifier
04	3.270	13.08	10.004	3.076	306	0.0100	Vérifier
05	3.981	15.924	13.08	2.844	306	0.0093	Vérifier
06	4.613	18.452	15.924	2.528	306	0.0082	Vérifier
07	5.157	20.628	18.452	2.176	306	0.0071	Vérifier

IV.4.3 Justification de l'effet P-Δ

L'effet du second ordre (ou effet de $P-\Delta$) peut être négligé lorsque la condition suivante est satisfaire à tous les niveaux:

$$\theta = \frac{Pk\Delta k}{Vkhk} \le 0.10$$
 L'article 5.9 duRPA99/version2003

-P_K: poids total de la structure et des charges des exploitations associés au-dessus du niveau "K".

-V_K: effort tranchant d'étage au niveau "K" (V_K = $F_t + \sum F_i$).

 $-\Delta_K$: déplacement relatif du niveau "K" par rapport a K-1.

 $-h_k$: hauteur de l'étage "K".

- Si 0.10 ≤ θ_k≤ 0.20, les effets P- Δ peuvent être pris en compte de manière approximative en amplifiant les effets de l'action sismique calculés au moyen d'une analyse élastique du 1° ordre par le facteur : 1/(1-θ_K)
- Si $\theta_k > 0.20$ la structure est partiellement instable et doit être redimensionnée.

Les résultats sont résumés dans le tableau suivant :

Tableau IV.11: Vérification de l'effet $P-\Delta$ selon le sens X-X.

Etage	$P_K(KN)$	Δ_{k} (m)	V_k (KN)	h_k (m)	θ
RDC	36352.37	0.003	2840.25	3.57	0.01
01	31039.11	0.0051	2753.79	3.06	0.0187
02	26237.92	0.0063	2577.28	3.06	0.0209
03	21201.49	0.0067	2316.76	3.06	0.0200
04	16370.07	0.0066	1983.54	3.06	0.0178
05	11538.66	0.0062	1562.47	3.06	0.0149
06	6707.25	0.0056	1042.67	3.06	0.0117
07	1874.85	0.0052	351.48	3.06	0.0090

Tableau IV.12: Vérification de l'effet P- Δ selon le sens Y-Y.

Etage	$P_K(KN)$	Δ_{k} (m)	V_k (KN)	h_k (m)	θ
RDC	36352.37	0.0037	2757.52	3.57	0.0136
01	31039.11	0.0061	2661.40	3.06	0.0232
02	26237.92	0.0074	2488.95	3.06	0.0254
03	21201.49	0.0079	2231.46	3.06	0.0245
04	16370.07	0.0077	1910.68	3.06	0.0215
05	11538.66	0.0071	1508.12	3.06	0.0177
06	6707.25	0.0063	1008.42	3.06	0.0136
07	1874.85	0.0054	750.34	3.06	0.009

Remarque:

On voit bien que la condition est largement satisfaite, donc l'effet P- Δ n'est pas à prendre en considération dans les calculs.

IV.4.4 Effort normal réduits

Dans le but d'éviter ou limiter le risque de rupture fragile sous sollicitation d'ensemble dues au séisme. Le RPA99 (7.4.3.1) exige de vérifier l'effort normal de compression de calcul qui est limité par la condition suivante :

On entend par effort normal réduit, le rapport :

$$V = \frac{N_d}{B_c \times f_{C28}} \le 0.3$$

Avec:

 N_d : désigne l'effort normal de calcul s'exerçant sur une section de béton.

 B_c : est l'aire (section brut) de cette dernière.

 f_{cj} : est la résistance caractéristique du béton.

Pour calculer l'effort normal « N_d » selon le CBA, (l'Article B.8.2.2) pour un poteau soumis aux charges dues à la pesanteur et au séisme: "Les combinaisons d'action à considérer sont celles données par les RPA." Les combinaisons du RPA pour un ouvrage avec des voiles (mixte) sont connues :

✓ Vérification d'effort normal réduit des poteaux

$$V = \frac{N_d}{B_c \times f_{c28}} \le 0.3$$

Tableau IV.13: Vérification d'effort normal réduit des poteaux.

Poteau	$N_d(N)$	$B_c (\mathrm{mm}^2)$	fc_{28}	V	observation
35*35	804884.57	122500	25	0.26	CV
35*45	1039014.08	157500	25	0.26	CV

IV.4.5 Vérification au renversement

Le moment de renversement qui peut être causé par l'action sismique doit être calculé par rapport au niveau de contact sol-fondation.

La vérification au renversement de la structure s'avère nécessaire pour justifier la stabilité d'un ouvrage sollicité par des efforts d'origine sismique. Donc il faut vérifier que:

$$M_{\rm S}/M_{\rm r} > 1.5$$

Mr: moment de renversement provoqué par les charges horizontales.

$$M_{\mathbf{r}} = \sum V_i \times h_i$$

Ms: moment stabilisateur provoqué par les charges verticales.

$$Ms = W \times L/2$$

W: le poids total de la structure

ETAGE Vx (KN) hi (m) Mr (KN) Xg(m)W(KN) Ms (KN) **RDC** 2840,25 3.57 308.6622 2753,79 01 6.63 1170.2613 2577,28 2524.4388 02 9.69 2316,76 12.75 03 4248.555 37069.1 12.5 463363.75 1983,54 04 15.81 6657.1167 05 1562,47 18.87 9808.626 **06** 1042,67 21.93 15157.797 8783.4852 **07** 351,48 24.99

Tableau IV.14: Moment de renversement provoqué par les charges horizontales sens (x).

- Verifications

 $M_R = 48658.9422 \text{ KN}$

 $M_S = 463363.75 \text{ KN}$

• $\frac{MS}{MR}$ = 9.52 \geq 1.5....La condition est vérifiée.

Tableau IV.15: Moment de renversement provoqué par les charges horizontales sens (y).

ETAGE	Vy (KN)	hi (m)	Mr (KN)	<i>yg</i> (m)	W (KN)	Ms (KN)
RDC	2757.52	3.57	343.1484			361423.73
01	2661.4	6.63	1143.3435			
02	2488.95	9.69	2495.0781		37069.1	
03	2231.46	12.75	4089.945	9.75		
04	1910.68	15.81	6364.4736	9.13		
05	1508.12	18.87	9429.339			
06	1008.42	21.93	14431.694			
07	350.34	24.99	8754.9966			

Verifications

 $M_R = 47052.0182 \text{ KN}$

 $M_S = 361423.73 \text{ KN}$

- $\frac{MS}{MR}$ =7.68 \ge 1.5....La condition est vérifiée.
- ⇒ La stabilité au renversement est alors vérifiée pour les deux sens.

IV.5 Exigence du RPA99/V2003 pour les systèmes mixtes

Le RPA99 (Article 3.4.A) exige pour les systèmes mixtes ce qui suit:

Sous charges verticales

Les voiles doivent reprendre au moins 20% des sollicitations.

Les portiques doivent reprendre au plus 80% des sollicitations.

Sous charges horizontales

Les voiles doivent reprendre au moins 75% des sollicitations.

Les portiques doivent reprendre au plus 25% des sollicitations.

IV.6 Conclusion

Plusieurs dispositions ont été modélisées afin d'arriver à satisfaire toutes les exigences du RPA99/Version 2003, car l'aspect architectural a été un véritable obstacle pour la disposition des voiles.

Dimensions finales des différents éléments :

- les voiles : e = 18 cm.
- Les poutres : Poutre principale: (30×30).

Poutre chainage: (30×40).

Les poteaux : Poteau 01: s-sol, RDC et étage courant: (35×45).

Poteau 02: s-sol, RDC et étage courant: (35×35).

Chapitre V ferraillage des éléments structuraux

V.1 Introduction

La structure est un ensemble tridimensionnel des poteaux, poutres et voiles, liés rigidement et capables de reprendre la totalité des forces verticales et horizontales (ossature auto stable).

L'étude des portiques sera effectuée en se basant sur le calcul du portique le plus défavorable et sous différentes sollicitations. Le portique est constitué par l'assemblage des poteaux et des poutres.

❖ Poteaux : Ce sont des éléments porteurs verticaux en béton armé, ils constituent les points d'appui pour transmettre les charges aux fondations.

Ils sont sollicités en compression simple ou en flexion composée.

❖ Poutres : Ce sont des éléments porteurs horizontaux en béton armé, elles transmettent les charges aux poteaux, leur mode de sollicitation est la flexion simple.

Pour pouvoir ferrailler les éléments de la structure, on a utilisé l'outil informatique à travers le logiciel d'analyse des structures (Robot Structural Analysais 2014), qui permet la détermination des différents efforts internes de chaque section des éléments pour les différentes combinaisons de calcul.

V.2 Les poutres

Les poutres sont les éléments horizontaux qui ont le rôle de transmettre les charges apportées par les dalles aux poteaux

Le calcul des poutres est effectué pour chaque axe en fonction des moments maximums en travée et en appui, les calculs seront donc faits en flexion simple à partirdu règlement BAEL 91; puis, on se rapportera au règlement du RPA 99 V 2003 pour vérifier le ferraillage minimum qui est en fonction de la section du béton.

Le calcul se fait avec les combinaisons suivantes :

• Combinaison fondamentale : BAEL 91

E.L.U:
$$1,35G + 1,5Q$$

E.L.S: $G + Q$

• Combinaison accidentelle: RPA 99 V 2003

$$\begin{cases} G + Q \mp E \\ 0.8G \pm E \end{cases}$$

Pour les combinaisons accidentelles et fondamentales, on prend les moments maximums et on vérifier avec la combinaison ELS.

Concernant notre structure, nous avons deux types de poutres à étudier :

- \triangleright Poutres principales (30 × 40).
- \triangleright Poutres secondaires (30 × 30).

V.2.1 Recommandation du RPA99/Version 2003

- **Armatures longitudinales (Art 7.5.2.1)**
- ➤ Le pourcentage total minimum des aciers longitudinaux sur toute la longueur de la poutre est de 0.5% en toute section du béton.
- ➤ Le pourcentage total maximum des aciers longitudinaux est de :
 - 4% en zone courante.
 - 6% en zone de recouvrement.
- ➤ La longueur minimale de recouvrement est de 40 Ø en zone II.
- L'ancrage des armatures longitudinales supérieures et inférieures dans les poteaux de rive et d'angle doit être effectué avec des crochets à 90°.

❖ Armatures transversales (Art 7.5.2.2)

La quantité d'armatures transversales minimale est donnée par :

$$A_t = 0.003 \times S_t \times b$$

- L'espacement maximum entre les armatures transversales, est donné comme suit :
 - $S_t = \min(\frac{h}{4}; 12 \times \emptyset_l)$ Dans la zone nodale et en travée si les armatures Comprimées sont nécessaires.
 - $S_t \le \frac{h}{2}$: en dehors de la zone nodale.
- ➤ La valeur du diamètre des armatures longitudinales Øl à prendre est le plus petit diamètre utilisé et dans le cas d'une section en travée avec des armatures comprimées, c'est le diamètre le plus petit des aciers comprimés.
- Les premières armatures transversales doivent être disposées à 5cm au plus du nu de l'appui ou de l'encastrement.

V.2.2 Ferraillage des poutres

V.2.2.1 Poutre principale

a) Les armatures longitudinales

Les sollicitations obtenues pour les différentes combinaisons sont données par le logiciel robot 2014.

Tableau V.1: Sollicitations de la poutre principale.

	ELU (KN	V.m)	ELS (KN	V.m)	0.8G+E (KN.m)		
section	M_t M_a		M_t	M_t M_a		M_a	
30×40	28.48	-64.32	20.65	-46.71	108.48	-119.40	

❖ Ferraillage en travée

 $M_{t max} = 108.48 \text{ KN.m}$

$$\mu_{bu} = \frac{M_{tu}}{bd^2 f_{bu}} = \frac{108.48 \times 10^6}{300 \times 360^2 \times 14.17} = 0.197$$

$$\mu_{bu} = 0.197 \le \mu_l = 0.391 \hspace{1cm} A_S\text{'} =$$

$$\alpha$$
= 1.25 × (1- $\sqrt{1-2\mu}$) = 1.25 × (1- $\sqrt{1-2(0.197)}$ = 0.277

$$Z = d (1-0.4\alpha) = 360 (1-0.4 \times 0.277) = 320.112 \text{ mm}$$

$$A_{t} = \frac{M_{tu}}{Z \times \frac{fe}{\gamma_{s}}} = \frac{108.48 \times 10^{6}}{320.112 \times \frac{400}{1.15}} = 974.284 \text{ mm}^{2} \implies A_{t} = 9.74 \text{ cm}^{2}$$

On adopte : $3HA16 + 3HA14 = 10.65 \text{ cm}^2$

❖ Vérification de la condition de non fragilité

$$A_{min} = 0.23 \text{ b d } \frac{f_{t28}}{f_e}$$

$$f_{t28}$$
= 0.6+0.06 f_{c28} = 0.6+0.06×25= 2.1 MPA

$$A_{min} = 0.23 \times 300 \times 360 \times \frac{2.1}{400} = 130.41 \text{ mm}^2 \implies A_{min} = 1.30 \text{ cm}^2$$

$$A_s = \max (A_{min}; A_{calcul}) = \max (1.30; 9.74) = 9.74 \text{ cm}^2$$

* Ferraillage en appui

$$M_{a \text{ max}} = -119.40 \text{ KN.m}$$

$$\mu_{bu} = \frac{M_{au}}{bd^2 f_{bu}} = \frac{119.40 \times 10^6}{300 \times 360^2 \times 14.17} = 0.217$$

$$\mu_{bu} = 0.217 \le \mu_l = 0.391$$
 As' = 0

$$\alpha = 1.25 \times (1 \text{-} \sqrt{1 - 2\mu} \text{ }) = 1.25 \times (1 \text{-} \sqrt{1 - 2(0.217)} = 0.310$$

$$Z = d (1-0.4\alpha) = 360 (1-0.4 \times 0.310) = 315.36 \text{ mm}$$

$$A_{t} = \frac{M_{tu}}{Z \times \frac{fe}{\gamma_{s}}} = \frac{119.40 \times 10^{6}}{315.36 \times \frac{400}{1.15}} = 1088.52 \text{ mm}^{2} \implies A_{t} = 10.88 \text{ cm}^{2}$$

On adopte : $3HA16 + 3HA16 = 12.06 \text{ cm}^2$

Vérification de la condition de non fragilité

$$A_{min} = 0.23 \text{ b d} \frac{f_{t28}}{f_0}$$

$$f_{t28} = 0.6 + 0.06 \; f_{c28} = 0.6 + 0.06 \times 25 = 2.1 \; MPa$$

$$A_{min} = 0.23 \times 300 \times 360 \times \frac{2.1}{400} = 130.41 \text{ mm}^2 \implies A_{min} = 1.30 \text{ cm}^2$$

$$A_s = max (A_{min}; A_{calcul}) = max (1.30; 10.88) = 10.88 cm^2$$

$$A_s = 10.88 \text{cm}^2 \ge A_{min} = 1.30 \text{ cm}^2$$
 CV

M b d A min A cal A adopte Z (mm) α μ_{bu} (cm) Désignation (KN. m)(cm) (cm^2) (cm^2) (cm^2) Travée 108.48 **300** 0.197 0.277 9.74 3HA16+3HA14=10.65 360 320.112 1.30 **Appuis** -119.40 300 **360** 0.217 0.310 315.36 10.88 1.30 3HA16+3HA26=12.06

Tableau V.2: Ferraillage des poutres principales.

> Vérification du ferraillage des poutres principales

Armatures minimales : (RPA. Art.7.5.2.1)

$$b=30 \text{ cm}$$
 $h=40 \text{ cm}$

$$A_{min} = 0.005 \times b \times h = 0.005 \times 30 \times 40 = 6 \text{ cm}^2$$

❖ Armatures maximales : (RPA A.7.5.2.1)

Zone nodale :
$$A_{max} = 4\% \text{ (b } \times \text{h)} = 0.04 \times 30 \times 40 = 48 \text{ cm}^2$$

Zone de recouvrement :
$$A_{max} = 6\%$$
 (b x h) = $0.06 \times 30 \times 40 = 72$ cm²

Vérifications à l'ELU

• Vérification de la contrainte de cisaillement

On doit vérifier que : $\tau_u \le \overline{\overline{\tau_u}}$

$$T_{max} = 78.99 \text{ KN.m}$$

Fissuration non préjudiciable

$$\overline{\overline{\tau}_{u}} = \min (0.2 \frac{f_{c28}}{\gamma_{h}}; 5\text{MPa}) = \min (0.2 \frac{25}{1.5}; 5\text{MPa}) = 3.33 \text{ MPa}$$

$$\tau_u = \frac{T_u}{bd} = \frac{78.99 \times 10^3}{300 \times 360} = 0.731 \text{MPA} < 3.33 \text{ MPa} \dots \text{CV}$$

⇒ Pas de risque de rupture par cisaillement.

b) Calcul du ferraillage transversal

Les armatures transversales des poutres sont calculées à l'aide de la formule (BAEL91) :

$$\emptyset_t \leq \min\left(\frac{h}{35}; \frac{b}{10}; \emptyset_{l \min}\right)$$

Avec : Ø : lediamètreminimaldesarmatureslongitudinalesdu poutre.

$$\emptyset_t \le \min(\frac{400}{35}; \frac{300}{10}; 1.2) \implies \emptyset_t = 1.2 \text{ cm Donc on prend } \emptyset_t = 8 \text{ mm}$$

- \Rightarrow $A_t = 4\text{HA8} = 2.01 \text{ cm}^2 \text{ (un cadre et un étrier)}.$
- > Calcul de l'espacement
- o Selon BAEL91

L'espacement des armatures transversales St est définit par le minimum entre les trois conditions qui suivent:

$$S_{t1} = min (0.9h; 40cm) = min (0.9 \times 40; 40 cm) = 36 cm$$

$$S_{t2} = \frac{At \times fe}{0.4 \text{ h}} = \frac{2.01 \times 400}{0.4 \times 30} = 67 \text{ cm}$$

$$S_{t3} = \frac{0.9 \times \text{At} \times \text{fe}}{b \times \gamma_s(\tau_u - 0.3 f_{t28})} = \frac{0.9 \times 2.01 \times 400}{30 \times 1.15 \; (0.731 - 0.3 \times 2.1)} = 207.66 \; \text{cm}$$

$$S_t = min(S_{t1}; S_{t2}; S_{t3}) \rightarrow S_t = 36 cm$$

o Selon RPA 99

L'espacement est calculé par le RPA99 V2003 :

- dans la zone nodale : $S_t = \min(\frac{h}{4}; 12 \times \emptyset_l)$

St = min
$$(\frac{40}{4}; 12 \times 1.2) = 10$$
cm.

Donc on adopte St = 8 cm

- En dehors de la zone nodale: $S_t \le \frac{h}{2} = \frac{40}{2} = 20$ cm

Donc on adopte St = 15 cm

> Vérification des sections d'armatures transversales minimales

$$A_{tmin} \leq A_t$$

$$A_{tmin} = 0.3\% \times \text{St} \times \text{b} = 0.003 \times 15 \times 30 = 1.35 \text{ cm}^2$$

$$A_{tmin}$$
= 1.35 cm² $\leq A_t$ = 2.01 cm²CV

➤ La longueur minimale de recouvrement :

$$L_r = 40 \times \emptyset_l = 40 \times 1.2 = 48$$
 cm.

> Vérifications à l'ELS

> Vérification des contraintes

$$\sigma_{bc} \leq \overline{\sigma_{bc}} = 15 \text{ MPa}$$

$$\sigma_{bc} = \frac{M_{ser} \times y}{I}$$

* En travée

$$M_{tmax} = 20.65 \text{ KN.m}$$

> Position de l'axe neutre

$$\frac{1}{2}by^2 + n (d-y) As' - n (d-y) As = 0$$

$$As = 0$$

$$n = 15$$

$$As = 10.65 \rightarrow y = 14cm$$

> Moment d'inertie

$$I = \frac{1}{3}by^3 + n (d-y)^2 As + n(d-y) As$$

→
$$I = 100403 \text{ cm}^4$$

$$\sigma_{bc} = \frac{20.65 \times 140 \times 10^6}{100403 \times 10^4} = 7.444 \text{ MPa} \le \overline{\sigma_{bc}} = 15 \text{ MPa} \dots \text{CV}$$

Sur appuis

$$M_a = -46.71 \text{ KN.m}$$

> Position de l'axe neutre

> Moment d'inertie

►
$$I = \frac{1}{3}by^3 + n (d-y)^2 As + n(d-y) As$$

→ $I = 117820 \text{ cm}^4$

$$\sigma_{bc} = \frac{46.71 \times 160 \times 10^6}{117820 \times 10^4} = 6.343 \text{ MPa} \le \overline{\sigma_{bc}} = 15 \text{ MPa} \dots \text{CV}$$

	M _{ser} (KN. m)	Y (cm)	<i>I</i> (cm ⁴)	σ_{bc} (MPA)	σ _{bc} (MPA)	$\sigma_{bc} \le \sigma_{bc}$
Travée	20.65	14	100403	7.444	15	CV
Appuis	-46.71	16	117820	6.343	15	CV

> Vérification de la flèche

La vérification de la flèche n'est pas nécessaire si les conditions suivantes sont vérifiées:

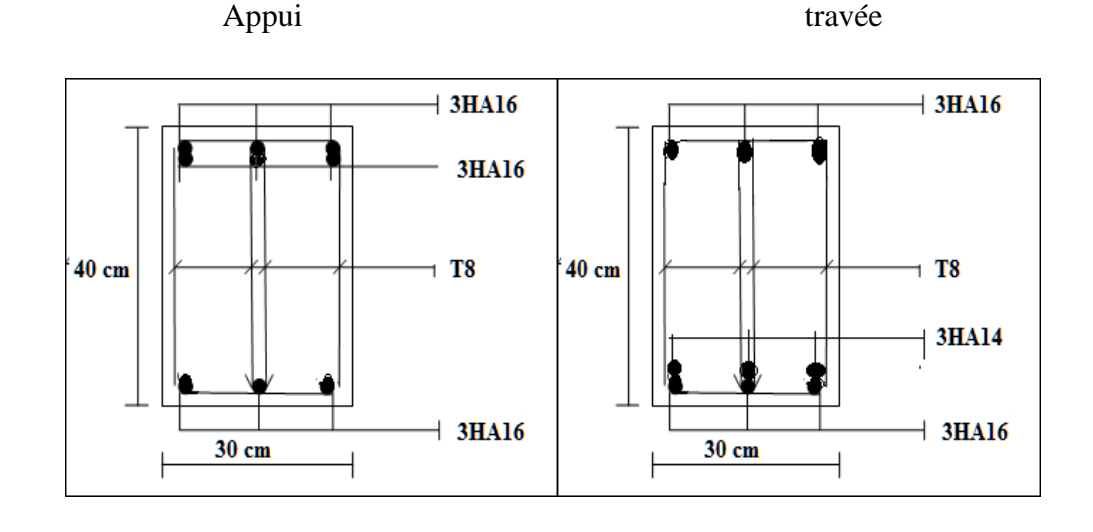
L= 4m h= 0.4 m

$$\frac{h}{l} \ge \frac{1}{16} \longrightarrow 0.1 \ge 0.0625 \dots CV$$

$$\frac{h}{l} \ge \frac{M_t}{10 \times M_0} \longrightarrow 0.1 \ge 0.085 \dots CV$$

$$\frac{A_{S app}}{bd} \le \frac{4.2}{f_e} \longrightarrow 0.009 < 0.0105 \dots CV$$

Donc la vérification de la flèche n'est pas nécessaire.



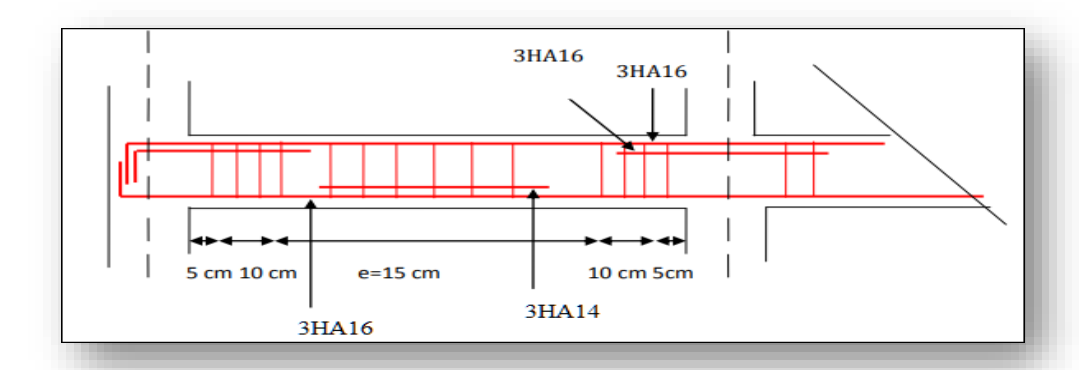


Figure V.1: Schéma de ferraillage des poutres principales.

V.2.2.2 Poutre secondaire

a) Les armatures longitudinales

Les sollicitations obtenues pour les différentes combinaisons sont données par le logiciel robot2014.

Tableau V.4: Sollicitations de la poutre secondaire.

	ELU (KN.m)	ELS (KN.m)	0.8G+E (KN.m)	
section	M_t M_a		M_t M_a		M_t	M_a
30×30	39.15	-43.39	28.58	-31.58	69.90	-72.55

❖ Ferraillage en travée

$$M_{t max} = 69.90 \text{ KN.m}$$

b=30 cm

h= 30 cm d=
$$0.9 \times h = 0.9 \times 30 = 27$$
 cm

$$\mu_{bu} = \frac{M_{tu}}{bd^2 f_{bu}} = \frac{69.90 \times 10^6}{300 \times 270^2 \times 14.17} = 0.23$$

$$\mu_{bu} = 0.23 \le \mu_1 = 0.391$$
 $A_S = 0$

$$\alpha = 1.25 \times (1 - \sqrt{1 - 2\mu}) = 1.25 \times (1 - \sqrt{1 - 2(0.23)}) = 0.33$$

$$Z = d (1-0.4\alpha) = 270 (1-0.4 \times 0.33) = 234.36 \text{ mm}$$

$$A_t = \frac{M_{tu}}{Z \times \frac{fe}{\gamma_s}} = \frac{69.90 \times 10^6}{234.36 \times \frac{400}{1.15}} = 857.5 \text{ mm}^2 \implies A_t = 8.58 \text{ cm}^2$$

On adopte : $6HA14 = 9.24 \text{ cm}^2$

Vérification de la condition de non fragilité

$$A_{min} = 0.23 \text{ b d} \frac{f_{t28}}{f_e}$$

$$f_{t28}$$
= 0.6+0.06 f_{c28} = 0.6+0.06×25= 2.1 MPa

$$A_{min} = 0.23 \times 300 \times 270 \times \frac{2.1}{400} = 87.81 \text{ mm}^2 \rightarrow A_{min} = 0.88 \text{ cm}^2$$

$$A_s = \max (A_{min}; A_{calcul}) = \max (0.88; 8.58) = 8.58 \text{ cm}^2$$

Ferraillage en appui

$$M_{a max} = -72.55$$
 KN.m

$$\mu_{bu} = \frac{M_{au}}{bd^2 f_{bu}} = \frac{72.55 \times 10^6}{300 \times 270^2 \times 14.17} = 0.234$$

$$\mu_{bu} = 0.234 \le \mu_1 = 0.391$$
 AS

$$\alpha$$
= 1.25 × (1- $\sqrt{1-2\mu}$) = 1.25 × (1- $\sqrt{1-2(0.234)}$ = 0.338

$$Z = d (1-0.4\alpha) = 270 (1-0.4 \times 0.338) = 233.5 \text{ mm}$$

$$A_t = \frac{M_{tu}}{Z \times \frac{fe}{\gamma_s}} = \frac{72.55 \times 10^6}{233.5 \times \frac{400}{1.15}} = 893.3 \text{ mm}^2 A_t = 8.93 \text{ cm}^2$$

On adopte : 6HA14= 9.24 cm²

Vérification de la condition de non fragilité

$$A_{min} = 0.23 \text{ b d} \frac{f_{t28}}{f_e}$$

$$f_{t28}$$
= 0.6+0.06 f_{c28} = 0.6+0.06×25= 2.1 MPa

$$A_{min} = 0.23 \times 300 \times 270 \times \frac{2.1}{400} = 87.81 \text{ mm}^2 \rightarrow A_{min} = 0.88 \text{ cm}^2$$

$$A_s = \max (A_{min}; A_{calcul}) = \max (0.88; 8.58) = 8.58 \text{ cm}^2$$

Tableau V.5: Ferraillage des poutres secondaires.

Désignation	M (KN. m)	b (cm)	d (cm)	μ_{bu}	α	Z (mm)	A cal (cm ²)	A min (cm ²)	A adopte (cm ²)
Travée	69.90	300	270	0.23	0.33	234.36	8.58	0.88	6HA14=9.24
Appuis	-72.55	300	270	0.234	0.338	233.5	8.93	0.88	6НА14=9.24

Vérification du ferraillage des poutres secondaires

Armatures minimales (RPA. Art.7.5.2.1)

b=30 cmh=30 cm

$$A_{min} = 0.005 \times b \times h = 0.005 \times 30 \times 30 = 4.5 \text{ cm}^2$$

❖ Armatures maximales : (RPA A.7.5.2.1)

Zone nodale : $A_{max} = 4\%$ (b × h) = $0.04 \times 30 \times 30 = 36$ cm²

Zone de recouvrement : $A_{max} = 6\%$ (b x h) = $0.06 \times 30 \times 40 = 54$ cm²

Vérifications à l'ELU

Vérification de la contrainte de cisaillement

On doit vérifier que : $\tau_u \leq \overline{\tau_u}$

$$\tau_{\rm a} < \overline{\tau_{\rm u}}$$

$$T_{max} = 32.13 \text{ KN.m}$$

Fissuration non préjudiciable

$$\overline{\overline{\tau}}_{u} = \min (0.2 \frac{f_{c28}}{v_{h}}; 5\text{MPa}) = \min (0.2 \frac{25}{1.5}; 5\text{MPa}) = 3.33 \text{ MPa}$$

$$\tau_u = \frac{T_u}{bd} = \frac{32.13 \times 10^3}{300 \times 270} = 0.4 \text{ MPa} < 3.33 \text{ MPa} \dots \text{CV}$$

⇒ Pas de risque de rupture par cisaillement.

b) Calcul du ferraillage transversal

Les armatures transversales des poutres sont calculées à l'aide de la formule (BAEL91) :

$$\emptyset_t \leq \min\left(\frac{h}{35}; \frac{b}{10}; \emptyset_{l \min}\right)$$

Avec : Ø : le diamètre minimale des armatures longitudinales de la poutre.

$$\emptyset_t \le \min(\frac{300}{35}; \frac{300}{10}; 1.4) \implies \emptyset_t = 1.4 \text{ cm Donc on prend } \emptyset_t = 8 \text{ mm}$$

 \Rightarrow $A_t = 4\text{HA8} = 2.01 \text{ cm}^2 \text{ (un cadre et un étrier)}.$

> Calcul de l'espacement

Selon BAEL91

L'espacement des armatures transversales St est définit par le minimum entre les trois conditions qui suivent:

$$S_{t1} = min (0.9h; 40cm) = min (0.9 \times 30; 40 cm) = 27 cm$$

$$S_{t2} = \frac{At \times fe}{0.4 \times h} = \frac{2.01 \times 400}{0.4 \times 30} = 67 \text{ cm}$$

$$S_{t3} = \frac{0.9 \times At \times fe}{b \times \gamma_s(\tau_u - 0.3 f_{t28})} = \frac{0.9 \times 2.01 \times 400}{30 \times 1.15 (0.4 - 0.3 \times 2.1)} = -91.19 \text{ cm}$$

$$S_t = \min (S_{t1}; S_{t2}; S_{t3}) \rightarrow S_t = 27 \text{ cm}$$

O Selon RPA 99

L'espacement est calculé par le RPA99 V2003 :

- dans la zone nodale : $S_t = \min(\frac{h}{4}; 12 \times \emptyset_l)$

St = min
$$(\frac{30}{4}; 12 \times 1.4) = 7.5$$
 cm.

Donc on adopte St = 7 cm

- dans la zone courant : $S_t \le \frac{h}{2} = \frac{30}{2} = 15$ cm

Donc on adopte St = 15 cm

> Vérification des sections d'armatures transversales minimales

$$A_{tmin} \leq A_t$$

$$A_{tmin} = 0.3\% \times 15 \times b = 0.003 \times 15 \times 30 = 1.35 \text{ cm}^2$$

$$A_{tmin}$$
= 1.35 cm² $\leq A_t$ = 2.01 cm²CV

La longueur minimale de recouvrement :

$$L_r = 40 \times \emptyset_l = 40 \times 1.4 = 56$$
 cm.

Vérifications à l'ELS

Vérification des contraintes

$$\sigma_{bc} \le \overline{\sigma_{bc}} = 15 \text{ MPa}$$

$$\sigma_{bc} = \frac{M_{ser} \times y}{I}$$

* En travée

 $M_{tmax} = 28.58 \text{ KN.m}$

> Position de l'axe neutre

$$\frac{1}{2}by^2 + n (d-y) As' - n (d-y) As = 0$$

$$As = 0$$

$$n = 15$$

 \rightarrow Y=11.84 cm

> Moment d'inertie

$$I = \frac{1}{3}by^3 + n (d-y)^2 As + n(d-y) As$$

$$I = 4845.803 \text{ cm}^4$$

$$\sigma_{bc} = \frac{28.58 \times 118.4 \times 10^6}{4845.8032 \times 10^4} = 6.98 \text{ MPa}$$

$$\sigma_{bc}$$
= 6.98MPa $\leq \overline{\sigma_{bc}}$ = 15 MPaCV

Sur appuis

$$M_a = -31.58 \text{ KN.m}$$

> Position de l'axe neutre

$$\frac{1}{2}by^2 + n (d-y) As' - n (d-y) A s$$

$$As = 0$$

$$As = 12.81 \rightarrow Y = 11.84 \text{ cm}$$

> Moment d'inertie

$$I = \frac{1}{3}by^3 + n (d-y)^2 As + n (d-y) As$$
 $\rightarrow I = 4845.803 \text{ cm}^4$

$$\sigma_{bc} = \frac{31.58 \times 118.4 \times 10^6}{4845.8032 \times 10^4} = 7.71 \text{MPa}$$

$$\sigma_{bc}$$
= 7.71 MPa $\leq \overline{\sigma_{bc}}$ = 15 MPaCV

Tableau V.6: Vérification des contraintes à l'ELS de poutres principales.

	<i>M_{ser}</i> (KN. m)	Y (cm)	<i>I</i> (cm ⁴)	σ_{bc} (MPA)	σ _{bc} (MPA)	$\sigma_{bc} \le \sigma_{bc}$
Travée	28.58	11.84	4845.8032	6.98	15	C.V
Appuis	-31.58	11.84	4845.8032	7.71	15	C.V

❖ Vérification de la flèche

La vérification de la flèche n'est pas nécessaire si les conditions suivantes sont vérifiées:

$$L= 3.3 \text{ m}$$
 $h= 0.4 \text{ m}$

$$\frac{h}{l} \ge \frac{1}{16} \longrightarrow 0.12 \ge 0.0625 \dots \text{CV}$$

$$\frac{h}{l} \ge \frac{M_t}{10 \times M_0} \longrightarrow 0.12 \ge 0.085 \dots \text{CV}$$

$$\frac{A_{S app}}{bd} \le \frac{4.2}{f_e} \longrightarrow 0.000114 < 0.0105 \dots \text{CV}$$

Donc la vérification de la flèche n'est pas nécessaire.

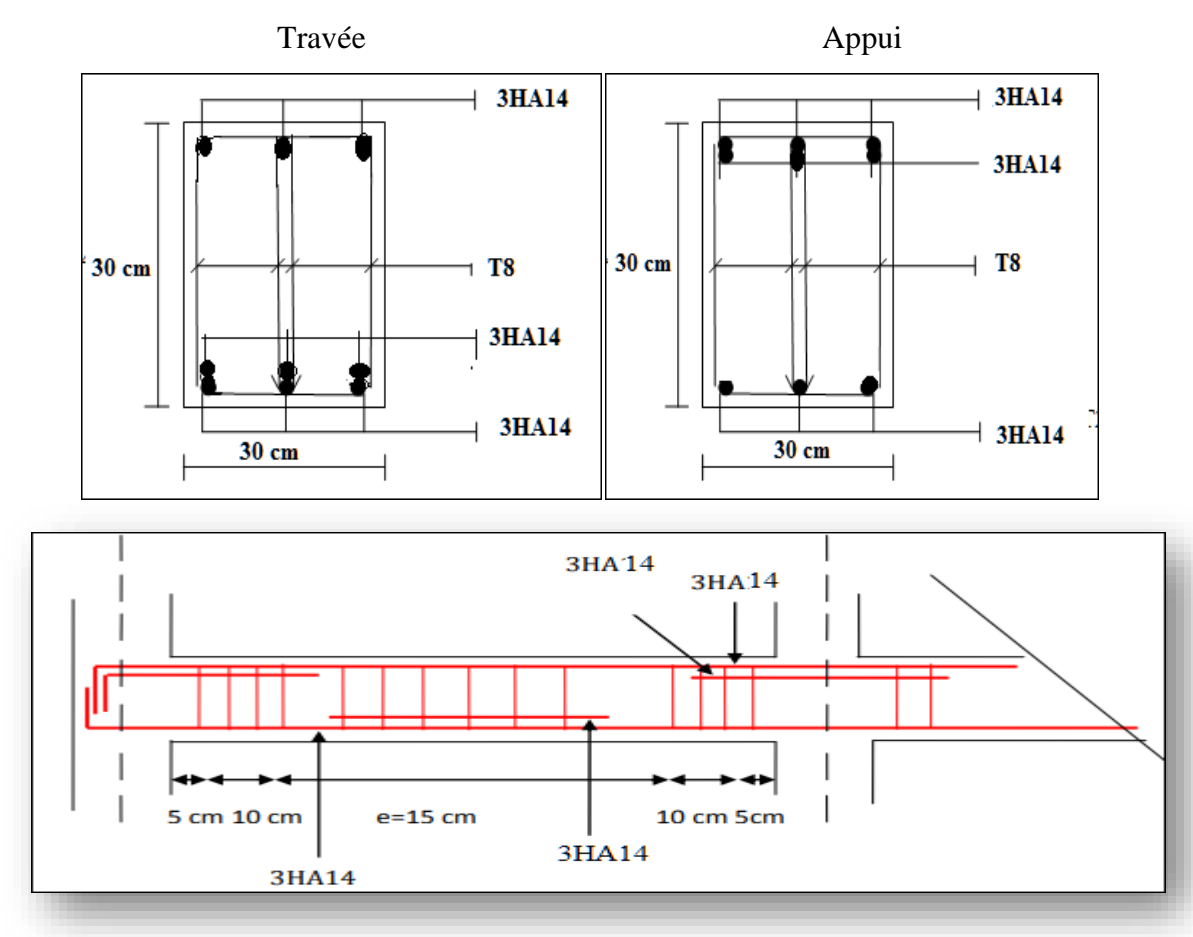


Figure V.2: Schéma de ferraillage des poutres secondaires.

V.3 Les Poteaux

Les poteaux est soumis à un effort normal « N » et à un moment de flexion « M » dans les deux directions longitudinal et transversale donc les poteaux sont sollicités en flexion compos Il est recommandé de calculer le ferraillage du poteau central, considéré comme le plus sollicité et de généraliser le ferraillage trouvé pour ceux d'angle et de rive.

Les armatures sont obtenues à l'état l'imite ultime sous l'effort de sollicitations les plus défavorables suivants les deux directions :

Caractéristiques mécaniques des matériaux

Tableau V.7: Caractéristiques mécaniques des matériaux.

Situation		Béton		Acier (FeE400)			
	γb	Fc28 (Mpa)	f_{bu} (MPa)	$\gamma_{ m s}$	Fe (MPa)	σ _s (MPa)	
Durable	1,5	25	14,17	1,15	400	347.82	
Accidentelle	1,15	25	18.48	1	400	400	

En fonction du type de sollicitation, nous distinguons les différentes combinaisons suivantes :

- 1.35G+1.5Q
- G+Q+E
- G+Q-E
- G+Q
- 0.8G+E
- 0.8G-E

La section d'acier sera calculée pour différentes combinaisons d'efforts internes

- ✓ N_{Max}; M_{correspondant}
- ✓ N_{Min}; M_{correspondant}
- ✓ M_{Max}; N_{correspondant}

V.3.1 Recommandations du RPA99/2003

❖ Coffrage RPA (Art 7.4.1)

Les dimensions de la section transversales des poteaux doivent satisfaire les conditions suivantes :

- Min $(b_1; h_1) \ge 25$ cm
- Min $(b_1; h_1) \ge \frac{h_e}{20}$
- $-1/4 \le \frac{b_1}{h_1} \le 4$

Armatures longitudinales (Art 7.4.2.1)

Les armatures longitudinales de nos poteaux (Zone IIa) doivent être à haute adhérence, droites et sans crochets :

- Leur pourcentage minimal sera de : $A_{min} = 0.8\%$
- Leur pourcentage maximal sera de :
 - $A_{max} = 4\%$ en zone courante
 - $A_{max} = 6\%$ en zone de recouvrement
- Le diamètre minimum est de 12 mm
- La longueur minimale des recouvrements est de : 40 Ø en Zone II

- La distance entre les barres verticales dans une face du poteau ne doit pas dépasser : 25 cm en Zone II
- Les jonctions par recouvrement doivent être faites si possible, à l'extérieur des zones nodales (zones critiques).
- La zone nodale est constituée par le nœud poutres poteaux proprement dit et les extrémités des barres qui y concourent.

Les longueurs à prendre en compte pour chaque barre sont données dans la figure V.3.

h'= Max(
$$\frac{h_e}{6}$$
; b_1 ; b_1 ; h_1 ; 60 cm)

l' = 2h

 h_e : est la hauteur de l'étage

 b_1 ; h_1 : Dimensions de la section transversale du poteau

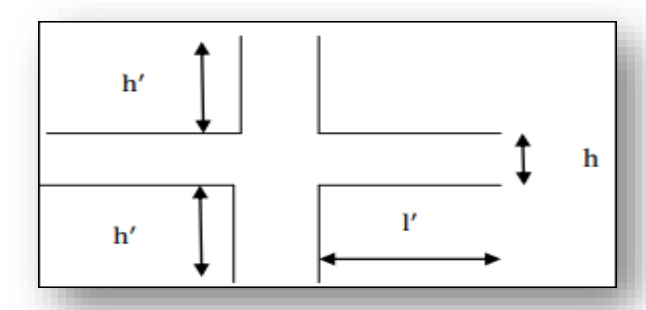


Figure V.3: Zone nodale.

❖ Armatures transversales (Art 7.4.2.2)

Le rôle des armatures transversales consiste à :

- ➤ Empêcher les déformations transversales du béton et le flambement des armatures longitudinales.
- Reprendre les efforts tranchants et les sollicitations des poteaux au cisaillement.
- ➤ Maintenir les armatures longitudinales.

D'après (ART 7.4.2.2) RPA99/version2003, les armatures transversales des poteaux sont calculées à l'aide de la formule :

$$\frac{A_t}{t} = \frac{P \times V_u}{h_1 \times f_e}$$

Avec:

Vu: L'effort tranchant de calcul.

 h_1 : Hauteur totale de la section brute.

fe: Contrainte limite élastique de l'acier d'armature transversale.

ρ: est un coefficient correcteur qui tient compte du mode fragile de la rupture.

$$\begin{cases} \rho = 2.5 & \text{Si } \lambda_g \geq 5 \\ \rho = 3.75 & \text{Si } \lambda_g \leq 5 \end{cases} \implies \lambda_g \text{Est l'élancement géométrique du poteau.}$$

$$\lambda_g = \frac{_{Lf}}{^{a}} Ou \frac{_{Lf}}{^{b}} = > L_f = 0.7 h_0$$

 h_0 : Hauteur libre. / a et b : sont les dimensions de la section du poteau.et lf longueur de flambement du poteau

t: Espacement entre les armatures transversales telle que :

 \triangleright En zone nodale : t \le min (10\,\varphi_t, 15 cm)

 \triangleright En zone courante : t < 15 \emptyset_1

 \emptyset_l : Diamètre minimal des armatures longitudinales du poteau.

La quantité d'armatures transversales minimales :

$$\frac{A_t}{b.\,t} \geq \begin{cases} 0{,}30\% & \text{Si $\lambda_g \geq 5$} \\ 0{,}80\% & \text{Si $\lambda_g \leq 3$} \\ \text{interpoler entre les valeurs limites précédentes} & \text{Si $3 \leq \lambda \leq 5$} \end{cases}$$

Les cadres et les étriers doivent être fermés par des crochets à 135° ayant une longueur droite de $10 \ \emptyset_t$ minimums.

V.3.2 Ferraillage des poteaux

> Sollicitations dans les poteaux

Tableau V.8: Sollicitations dans les poteaux.

	ELU		G+(Q+E	0.8G+E		
	N _{max} (KN)	M _{corr} (KN.M)	M _{max} (KN.M)	N _{corr} (KN)	N _{min} (KN)	M _{corr} (KN. M)	
35×35	752.80	4.23	- 51.91	270.35	-1030.02	-31.04	
35×45	1006.87	1.1	-74.62	424.11	-596.67	-19.09	

Exemple de calcul

1) Armatures longitudinales

Nous exposerons un exemple de calcul pour les poteaux de l'étage courant, et le reste des résultats de ferraillage des autres niveaux seront donnés dans un tableau récapitulatif.

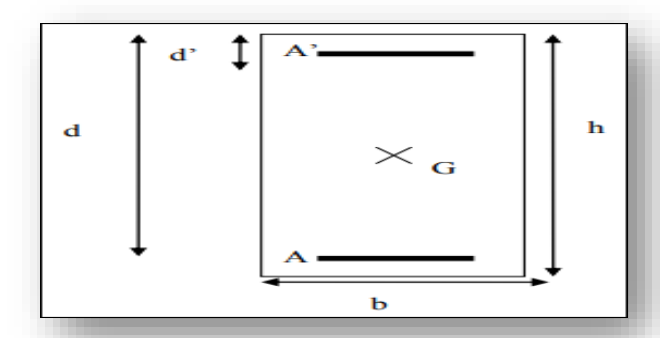


Figure V.4: Section du poteau à ferrailler.

a) $1^{\text{er}} \text{ cas} : N_{max} \rightarrow M_{corr}$

$$N_{max} = 752.80 \text{ KN}$$

$$M_{corr}$$
= 4.23 KN.m

Nu > 0: donc le poteau est soumis à un effort de compression.

• Calcul de l'excentricité

En adopte une excentricité totale de calcule :

$$e = e_0 + e_2 + e_a$$

Avec:

e₀: Excentricité de la résultante.

e₂ : Excentricité due aux effets du second ordre liée à la déformation de la structure.

 e_a : Excentricité additionnelle traduisant les imperfections géométriques initiales.

• Calcul l'excentricité de la résultante

$$e_0 = \frac{Mu}{Nu} = \frac{4.23}{752.80} = 0.0056 \text{ m}$$

• Calcul l'excentricité additionnelle

$$e_a = \max(2 \text{ cm}, \frac{L}{250}) \rightarrow e_a = \max(2; \frac{306}{250}) \rightarrow e_a = 2 \text{ cm} = 0.02 \text{ m}$$

$$e_1 = e_0 + e_a = 0.0056 + 0.02 = 0.0256 \text{ m}$$

• Calcul l'excentricité due aux effets du second ordre

L'excentricité du deuxième ordre (e_2) liée à la déformation de la structure. Pour déterminer l'excentricité du second ordre.

$$\frac{Lf}{h} \le \max(15; 20 \frac{e1}{L})$$

 L_f : Longueur de flambement de la pièce : $L_f = L \times 0.7$ $\Rightarrow L_f = 3.06 \times 0.7 = 2.142$ m

h: hauteur totale de la section dans la direction du flambement.

$$\frac{214.2}{35} = 6.12 \le \max(15; 0.083) \dots \text{CV}$$

Donc le calcul se faire dans la flexion composée :

- Donc on calcul e₂

$$e_2 = \frac{3l^2f}{10^4h} (2+\alpha \emptyset)$$

 α : le rapport de moment de première ordre de la charge permanente au moment total de premier ordre

$$\alpha = \frac{M_G}{MG + MQ} = \frac{16.68}{16.68 + 2.75} = 0.86$$
 $\phi = 2$

$$e_2 = \frac{3 \times 2.142^2}{0.35 \times 10^4} (2 + 0.86 \times 2) = 0.015 \text{ m}$$

$$e = e_2 + e_0 + e_a = 0.015 + 0.0056 + 0.02 = 0.0406 \text{ m}$$

Il faut vérifier que :

$$M_2 = N_u - (b \times h \times f_{bu}) \left(\frac{h}{2} - d'\right) > M_U$$

$$M_2 = 752.80 - (0.35 \times 0.35 \times 14170) (0.175 - 0.03) = 501.11 \text{ KN.m} \times M_U \dots \text{CV}$$

$$M_3 = N_u (\frac{h}{2} - d') - (0.337h - 0.81d') (b \times h \times f_{bu}) < M_U$$

$$M_3 = 752.8 (0.175 - 0.03) - (0.337 \times 0.35 - 0.81 \times 0.03)(0.35 \times 0.35 \times 14170)$$

$$M_3 = -53.404 \text{ KN.m} < M_U \dots \text{CNV}$$

Donc il faut calculer:

$$\psi = \frac{0.3754 \times b \times h^2 \times f_{bu} + N_u \left(\frac{h}{2} - d'\right) - M_U}{(0.871 \times h - d')(b \times h \times f_{bu})} = \psi = \frac{0.3754 \times 0.35 \times 0.35^2 \times 14170 + 752.8(\ 0.175 - 0.03) - 4.23}{(0.871 \times 0.35 - 0.03)(0.35 \times 0.35 \times 14170)} = 0.7$$

Donc $\Psi \le 0.8095$

La section est partiellement tendue et le calcul sera fait par assimilation à la flexion simple.

$$M_u$$
= N_u .e =752.80× 0.0406 = 30.56 KN.m

$$M_{ua} = M_u + N_u \times (d - \frac{h}{2}) = 30.56 + 752.8 \times (0.32 - 0.175) = 140 \text{ KN.m}$$

$$\mu_{bu} = \frac{M_{ua}}{bd^2 f_{bu}} = \frac{140 \times 10^6}{350 \times 320^2 \times 14.17} = 0.3 < \mu_l = 0.391... A_S = 0$$

$$\alpha = 1.25 \times (1 - \sqrt{1 - 2\mu}) = 1.25 \times (1 - \sqrt{1 - 2(0.3)}) = 0.5$$

$$Z = d (1-0.4 \alpha) = 0.32 (1-0.4 \times 0.5) = 0.260 m$$

$$A_{u1} = \frac{M_{ua}}{Z \times \sigma_{st}} = \frac{140 \times 10^6}{260 \times \frac{400}{1.15}} = 15.48 \text{ cm}^2$$

b)
$$2^{\text{\'eme}}$$
 cas: $M_{max} \rightarrow N_{corr}$

$$M_{max} = -51.91 \text{ KN.m}$$

$$N_{corr} = 270.35 \text{ KN}$$

Nu > 0: donc le poteau est soumis à un effort de compression.

• Calcul de l'excentricité

En adopte une excentricité totale de calcule :

$$e = e_0 + e_2 + e_a$$

1) Calcul l'excentricité de la résultante

$$e_0 = \frac{Mu}{Nu} = \frac{-51.91}{270.35} = -0.19 \text{ m}$$

2) Calcul l'excentricité additionnelle

$$e_a = \max (2 \text{ cm}, \frac{L}{250}) = e_a = \max (2; \frac{306}{250}) \implies e_a = 2 \text{ cm} = 0.02 \text{ m}$$

 $e_1 = e_0 + e_a = 0.02 - 0.19 = -0.17 \text{ m}$

3) Calcul l'excentricité due aux effets du second ordre

L'excentricité du deuxième ordre (e_2) liée à la déformation de la structure. Pour déterminer l'excentricité du second ordre

$$\frac{Lf}{h} \le \max(15; 20 \frac{e1}{h})$$

 L_f : Longueur de flambement de la pièce : $L_f = L \times 0.7$ $\rightarrow L_f = 3.06 \times 0.7 = 2.142$ m

h: hauteur totale de la section dans la direction du flambement.

$$\frac{214.2}{35}$$
 = 6.12 \le max (15; 0.07) CV

Donc le calcul se faire dans la flexion composée :

- Donc on calcul e2

$$e_2 = \frac{3l^2f}{10^4h} (2+\alpha \emptyset)$$

 α : le rapport de moment de première ordre de la charge permanente au moment total de premier ordre

$$\alpha = \frac{M_G}{MG + MO} = \frac{16.68}{16.68 + 2.75} = 0.86$$
 $\phi = 2$

$$e_2 = \frac{3 \times 2.142^2}{0.35 \times 10^4} (2 + 0.86 \times 2) = 0.015 \text{ m}$$

$$e = e_2 + e_0 + e_a = 0.015 + -0.19 + 0.02 = -0.155 \text{ m}$$

Il faut vérifier que :

$$M_2 = N_u - (b \times h \times f_{bu}) \left(\frac{h}{2} - d'\right) > M_U$$

$$M_2 = 270.35 - (0.35 \times 0.35 \times 14170) (0.175 - 0.03) = -212.5 \text{ KN.m} < M_U \dots \text{CV}$$

$$M_3 = N_u (\frac{h}{2} - d') - (0.337h - 0.81d') (b \times h \times f_{bu}) < M_U$$

$$M_3 = 270.35 (0.175 - 0.03) - (0.337 \times 0.35 - 0.81 \times 0.03) (0.35 \times 0.35 \times 14170)$$

$$M_3 = -123.20 \text{ KN.m} < M_U \dots \text{CNV}$$

Donc il faut calculer:

$$\psi = \frac{0.3754 \times b \times h^2 \times f_{bu} + N_u \left(\frac{h}{2} - d'\right) - M_U}{(0.871 \times h - d')(b \times h \times f_{bu})}$$

$$\psi = \frac{0.3754 \times 0.35 \times 0.35^2 \times 14170 + 270.35(0.175 - 0.03) + 51.91}{(0.871 \times 0.35 - 0.03)(0.35 \times 0.35 \times 14170)} = 0.19$$

Donc $\Psi < 0.8095$

La section est partiellement tendue et le calcul sera fait par assimilation à la flexion simple.

$$M_u$$
= N_u .e =270.35× (-0.155)= -41.90 KN.m

$$M_{ua} = M_u + N_u \times (d - \frac{h}{2}) = -41.90 + 270.35 \times (0.32 - 0.175) = -2.7 \text{ KN.m}$$

$$\alpha = 1.25 \times (1 - \sqrt{1 - 2\mu}) = 1.25 \times (1 - \sqrt{1 - 2(0.005)}) = 0.006$$

$$Z = d (1-0.4 \alpha) = 0.32 (1-0.4 \times 0.006) = 0.319 m$$

$$A_{u1} = \frac{M_{ua}}{Z \times \sigma_{st}} = \frac{2.7 \times 10^6}{319 \times \frac{400}{1.15}} = 0.24 \text{ cm}^2$$

c)
$$3^{\text{\'eme}} \text{ cas} : N_{min} \rightarrow M_{corr}$$

$$e_G = \frac{M_u}{N_u} = \frac{-31.04}{-1030.02} = 0.030 \text{ m} = 3 \text{ cm}$$

$$e_G \le d - \frac{h}{2} = 32 - \frac{35}{2}$$
La section est entièrement comprimée

$$M_{ua} = N_u(d - \frac{h}{2} + e_G) = -1030.02 (0.32 - 0.175 + 0.03) = -118.45 \text{ KN.m}$$

$$A_1 = \frac{M_{ua}}{(d-d')\sigma_s} = \frac{118.45 \times 10^6}{(320-30)347.83} = 11.74 \text{ cm}^2$$

$$A_2 = \frac{N_u}{\sigma_s} - A_1 = \frac{1030.02 \times 10^3}{347.83} - 1174 = 17.87 \text{ cm}^2$$

$$A = A_1 + A_2 = 11.74 + 17.87 = 29.61 \text{ cm}^2$$

> La section d'acier minimale

SelonRPA99/Version 2003:

$$A_{min} = 0.8\% \times b \times h \Longrightarrow Amin = 0.008 \times 35 \times 35 \implies A_{min} = 9.8 \text{ cm}^2$$

> La section d'acier maximale

Selon RPA99/Version 2003:

En zone courante :
$$A_{max} = 4\% \times b \times h \Longrightarrow A_{max} = 0.04 \times 35 \times 35 = 49 \text{cm}^2$$

En zone de recouvrement :
$$A_{max} = 6\% \times b \times h \Longrightarrow A_{max} = 0.06 \times 35 \times 35 = 73.5 \text{ cm}^2$$

> Armatures finales

$$A_f = \max (A_{calcule\acute{e}}; A_{RPA}) = 29.61 \text{ cm}^2$$

Le calcul du ferraillage des poteaux des différents niveaux a été mené de la même manière, les résultats sont résumés dans le tableau suivant :

La sect	ion (cm²)	4	4	4	4	Choix des barres	
b (cm)	h (cm)	$rac{A_{min}}{ ext{Cm}^2}$	A _{calcul} Cm ²	$rac{A_{max}}{ ext{Cm}^2}$	A _{adoptée} Cm ²		
35	35	9.8	29.61	29.61	31.42	10HA20	
35	45	12.60	19.06	19.06	20.61	4HA20+4HA16	

Tableau V.9: Ferraillage des poteaux.

2) Les armatures transversales

Soit à calculer les armatures transversales du poteau du RDC de section (35x35) cm.

$$A_{adopt\acute{e}e} = 37.30 \text{ cm}^2 = 12 \text{HA} 20$$

Donc
$$\varphi_{l min} = 2 \text{ cm}$$
 $L_f = 0.7 \times 3.06 = 2.142 \text{ m}$

Calcul de la section de ferraillage transversale A_t :

$$\lambda_g = \left(\frac{l_f}{a} \ ou \ \frac{l_f}{b}\right)$$

$$\lambda_g = \left(\frac{2.142}{0.35}ou\frac{2.142}{0.35}\right) \lambda_g = (6.12; 6.12) > 5 \text{ alors}: \rho_a = 2.5$$

D'aprés les recommandations du RPA l'espacement t est pris égale à :

► En zone nodale : $t \le min (10\emptyset_l, 15 cm) = min (10 \times 2; 15 cm) = 15 cm$ → $t \le 15 cm$

On adoptera alors t = 10 cm

 \triangleright En zone courante : t < 15 \emptyset_l = 15× 2 = 30 cm

On adoptera alors t = 15 cm

$$\frac{A_{t}}{t} = \frac{P \times V_{u}}{h_{1} \times f_{e}} + A_{t} = \frac{P \times V_{u}}{h_{1} \times f_{e}} t = \frac{2.5 \times 65.82 \times 10^{3}}{350 \times 400} \times 150 = 1.77 \text{ cm}^{2}$$

Calcul de la section de ferraillage transversale minimale $A_{t min}$

$$\lambda_{g} = 6.12 \implies A_{t \ min} = 0.3\% \times t \times b = 0.003 \times 15 \times 35 = 1.6 \text{ cm}^{2}$$

Le diamètre des armatures transversales : $\phi_t \ge \frac{\phi_\ell}{3}$

$$\phi_t \ge \frac{\phi_l}{3} = \frac{20}{3} = 6.66mm$$

Le tableau ci-après résume la résultante de calcul des armatures transversales pour les différents poteaux des différents niveaux.

Sections (cm ²)	35×35	35×45
φ_{lmin} (cm)	2	1.6
L_f (cm)	2.5	2.5
L_r (cm)	80	64
λ_{g} (cm)	7.14	5.6
ρ _a	2.5	2.5
V (KN)	65.82	108.52
t _{zone nodale} (cm)	10	10
t _{zone courante} (cm)	15	15
A_t (cm ²)	1.77	2.54
$A_{t min} \text{ (cm}^2)$	1.6	1.6
$A_{tdadopt\acute{e}\acute{e}}$ (cm ²)	2.01	3.02
Nombre des barres	4HA8	6HA8

Tableau V.10: Armatures transversales adoptées pour les poteaux.

V.3.3 Vérifications

V.3.3.1 Vérification au flambement

Les éléments soumis à la flexion composée doivent être justifiés vis-à-vis du flambement; l'effort normal ultime est définit comme étant l'effort axial maximal que peut supporter un poteau sans subir des instabilités par flambement.

$$N_u = \alpha \left[\frac{B_r \times f_{c28}}{0.9 \times \gamma_b} + A_s \frac{f_e}{\gamma_s} \right]$$

α: Coefficient fonction de l'élancement

 B_r : Section réduite du béton

 A_s : Section d'acier comprimée prise en compte dans le calcul.

$$\alpha = \frac{0.85}{1 + 0.2\left(\frac{\lambda}{35}\right)^2} \dots Si \lambda \leq 50$$

$$\alpha = 0.6 \left(\frac{50}{\lambda}\right)^2$$
 si $50 \le \lambda \le 70$

Exemple de calcul (RDC) (35×45) cm²

 $L_f = 0.7 \times L_0 = 0.7 \times 3.57 = 2.5 \text{ m}$ (Longueur de flambement).

$$i = \sqrt{\frac{I}{b \times h}} = \sqrt{\frac{h^2}{12}} = \sqrt{\frac{0.45^2}{12}} = 0.13 \text{ m (Rayon de giration)}.$$

$$\lambda = \frac{L_f}{i} = \frac{2.5}{0.13} = 19.23 \Rightarrow \alpha = 0.80$$

$$B_r$$
= (h-0.02) (b-0.02)= (0.35-0.02)(0.45-0.02)= 0.1419 cm²

$$\gamma_b = 1.50 \; ; \gamma_s = 1.15 \; ; A_s = 24.13 \; \text{cm}^2$$

$$N_u = 0.8 \left[\frac{0.1419 \times 25}{0.9 \times 1.5} + 24.13 \times 10^{-4} \frac{400}{1.15} \right] = 2775.44 \text{ KN}$$

On a $N_{max} = 1006.87$ KN $< N_u = 2775.44$ KN condition vérifiée, Il n'y a pas de risque de flambement.

Le même calcul s'applique pour tous les autres poteaux, et les résultats sont représenté dans le tableau:

 N_u sectio i $\boldsymbol{B_r}$ L_0 A_s N_{max} $L_f(\mathbf{m})$ λ α (cm^2) (cm^2) (cm) (KN) (m) (KN) 3.57 25 0.77 37.70 1089 2562.8 752.80 35×35 2.5 0.10 2775.4 35×45 3.57 2.5 0.13 19.23 0.8 24.13 1419 1006.87

Tableau V.11: Vérification des poteaux au flambement.

On voit bien que $N_{max} < N_u$ pour tous les niveaux, donc il n'y a pas de risque de flambement

V.3.3.2 Vérification des contraintes de cisaillement

Selon le RPA 99 (Art: 7.4.3.2)

$$\tau_{bu} \leq \overline{\tau_{bu}}$$
 Tel que $\overline{\tau_{bu}} = \rho_d \times f_{c28}$

$$\mathrm{Avec}: \rho_d = \begin{cases} 0.075 \ si\lambda g \ \geq 5 \\ 0.04 \ si\lambda g \ < 5 \end{cases} \ \lambda g = \frac{l_f}{a} \ \mathrm{ou} \ \lambda g = \frac{l_f}{b}$$

$$\tau_{bu} = \frac{V_u}{b \times d}$$

Tous les résultats de calculs effectués sont représentés dans le tableau suivant :

Tableau V.12: Vérification aux sollicitations tangentielles.

Section (cm ²)	$L_f(\mathbf{m})$	λg	$ ho_d$	d (cm)	V _u (KN)	τ _{bu} (MPa)	T _{bu} (MPa)
35×35	2.142	6.12	0.075	32	65.82	0.6	1.875
35×45	2.5	5.6	0.04	42	108.52	0.74	1

On déduit que la condition exigée par le RPA99/2003 sur les sollicitations tangentielles est vérifiée pour tous les étages.

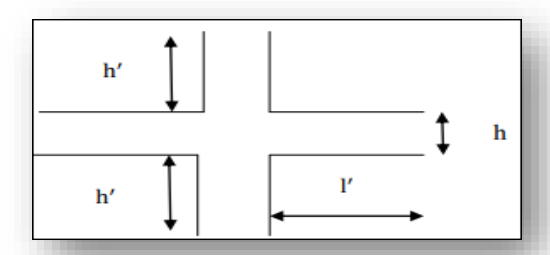
V.3.4 Détermination de la zone nodale

La détermination de la zone nodale est nécessaire car à ce niveau qu'on disposera les armatures transversales d'une façon à avoir des espacements très rapprochés à cause de la sensibilité de cet endroit qu'est constitué par le nœud poteau poutre.

Les jonctions par recouvrement doivent être faites si possible à l'extérieur de ces zones nodales sensibles...... (Selon le RPA).

h'= Max(
$$\frac{h_e}{6}$$
; b_1 ; h_1 ; 60 cm)

$$1' = 2h$$



 h_e : est la hauteur de l'étage

 b_1 ; h_1 : Dimensions de la section transversale du poteau

1) RDC et sous-sol (35×45)

$$1' = 2 \times 45 = 90 \text{ cm}$$

$$h'= Max(\frac{357}{6}; 45; 35; 60 cm) = 60$$

2) RDC et sous-sol (35×35)

$$1' = 2 \times 35 = 70 \text{ cm}$$

$$h'=Max(\frac{357}{6};35;35;60 \text{ cm})=60$$

3) Etages courante (35×45)

$$1' = 2 \times 45 = 90 \text{ cm}$$

$$h'= Max(\frac{357}{6}; 45; 35; 60 \text{ cm}) = 60$$

4) Etages courante (35×35)

$$1' = 2 \times 45 = 90 \text{ cm}$$

$$h'= Max(\frac{357}{6}; 35; 35; 60 \text{ cm}) = 60$$

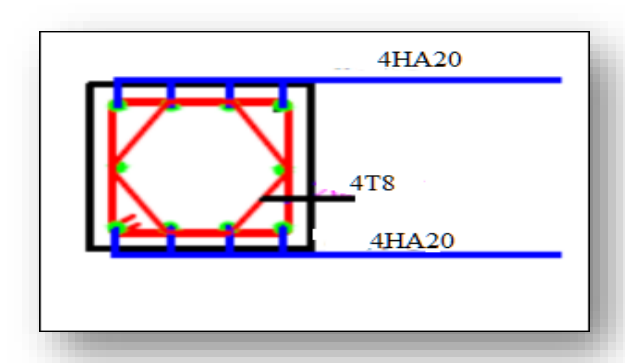


Figure V.5: Schéma de ferraillage des poteaux (35×35).

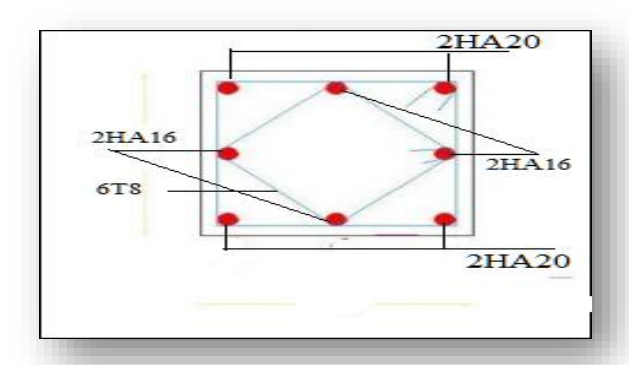


Figure V.6: Schéma de ferraillage des poteaux (35×45).

V.4 Les Voiles

V.4.1 Introduction

Les voiles sont des éléments structuraux de contreventement qui doivent reprendres les forces horizontales dues au vent (action climatique) ou aux séismes (action géologique), ils sont particulièrement efficaces pour assurer la résistance aux forceshorizontales grâces à leur rigidités importante dans ce plan. Leur calcule se fait dans les deux directions, horizontalement pour résister à l'effort tranchant dues aux action sismiques (E) et verticalement à la flexion composée sous un effort normal et un moment de flexiondues aux chargespermanentes (G) et aux surcharges d'exploitation (Q).

V.4.2 Les combinaisons des charges

Selon le règlement parasismique algérienne (RPA99) les combonaisons à considérer dans notre cas (voiles) sont les suivants:

ttat limite ultime:

- situation durable: 1,35G+1,Q

- situation accidentelle: $G+Q\pm E$

 $0.8G\pm E$

❖ Etat limite servise: G+Q

V.4.3 Procédure de ferraillage des voiles

Le calcul des armatures sera fait par la méthode des contraintes et vérifié selon RPA99.V2003 sous les sollicitations suivantes:

• S1: M_{max}; N_{correspondent}

• S2: N_{max}; M_{corresponsant}

• S3: N_{min}; M_{correspondant}

V.4.4 Méthode de calcul

Pour le calcul du ferraillage on a partagé l'ouvrage en deux parties:

- o Partie 1: RDC, étage 1, étage 2, étage 3.
- o Partie 2: étage 4, étage 5, étage 6, étage 4.

La méthode consiste à déterminer le diagramme des contraintes à partir des sollicitations les plus défavorables, en utilisant la méthode **de NAVIER-BERNOULLIE** pour déterminer les contraintes :

$$\sigma_a = \frac{N}{A} + \frac{M \times V}{I} \sigma_b = \frac{N}{A} - \frac{M \times V}{I}$$

Telle que:

$$N: L'effortnormale appliqué . \\ A: La section transvers a le duvoile . \\ M: Le moment fléchissant appliqué . \\ V: Le centre de gravité de la section duvoile dans le sens duplanmoyen . \\ I: Le moment d'inertie duvoile .$$

- > Suivant la position de l'axe neutre et l'effort appliqué la section peut-être :
- **1ére cas (SEC)**: Si(σ_a , σ_b)> 0 \Rightarrow La section du voile est entiérement comprimé (SEC) pas de zone tendu, la zone courante est armée par le minimum exigé par le RPA99/Version2003($A_{min} = 0.2\%$. B).

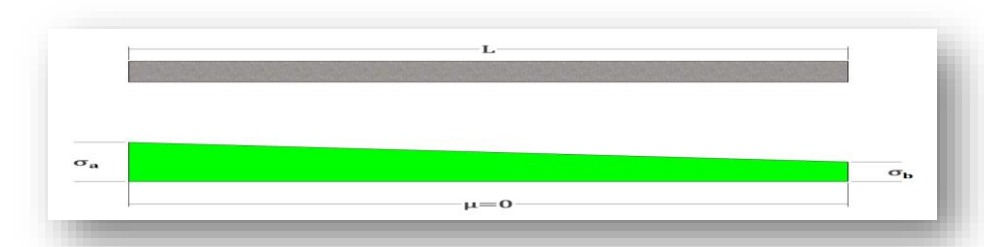


Figure V.7: Section entièrement comprimée.

- 2 éme cas (SET): Si(σ_a , σ_b) < 0 \Rightarrow La section du voile est entiérement tendu (SET) pas de zone comprimé.
 - ✓ l'effort de traction égale à : $F_T = \frac{(\sigma_a + \sigma_b) \times L \times e}{2}$
 - ✓ La section d'armature verticale égale à : $A_T = \frac{F_T}{\sigma_{st}}$

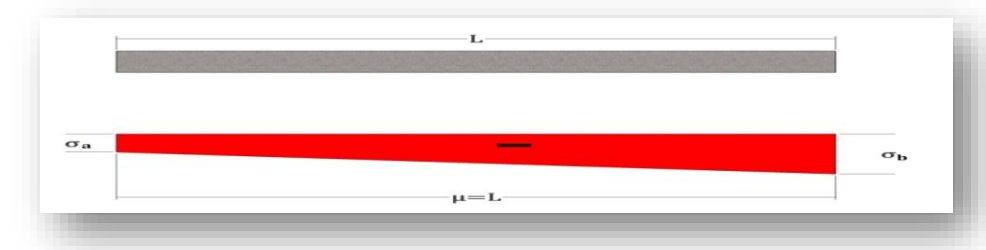


Figure V.8: Section entièrement tendue.

- 3 éme cas (SPC): Si(σ_a , σ_b)sont des signes différent la section du voile est partiellement comprimé, on calcule le volume des contraintes pour la zone tendu.
 - ✓ La longueur de la zone tendue égale à : $\mu = \frac{L}{(\frac{\sigma_a}{\sigma_h} + 1)}$
 - ✓ L'effort de traction égale à : $F_T = \frac{\sigma_b \times \mu \times e}{2}$
 - ✓ La section d'armature verticale égale à : $A_T = \frac{F_T}{\sigma_{st}}$

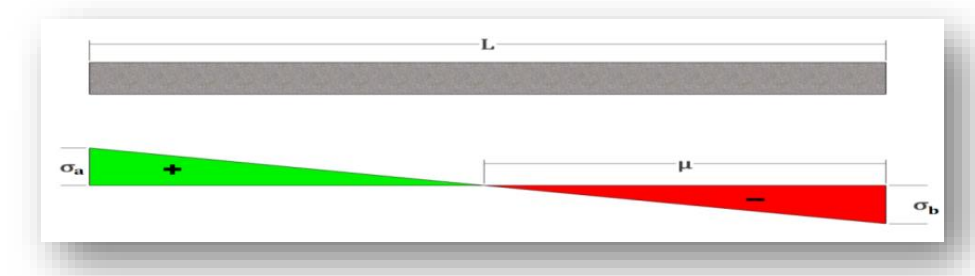


Figure V.9: Section partiellement comprimée.

V.4.4.1 Calcul de L_c et L_t

- **E** section entièrement tendue (SET): $L_t = L$
- **Section** partiellement comprimée (SPC): $L_t = L \left(\frac{\sigma 1}{\sigma 1 + \sigma 2} \right)$
- section entièrement comprimée (SEC): L_c= L

V.4.4.2 Calcul de l'effort normal ultime

- \blacksquare entièrement tendue (SET): $\frac{\sigma 1 + \sigma 2}{2} L_t \times e$
- \blacksquare section partiellement comprimée (SPC): $\frac{\sigma^2}{2}Lt \times e$
- \blacksquare section entièrement comprimée (SEC): $\frac{\sigma 1 + \sigma 2}{2} Lc \times e$

V.4.4.3 Calcul des armatures vertical

- \blacksquare entièrement tendue (SET): $Av = Nul-B \times Fc_{28}$
- **E** section partiellement comprimée (SPC): $Av = \frac{Nul}{fe}$
- **Section** entièrement comprimée (SEC): $Av = \frac{Nul B*fc28}{fe}$

V.4.4.4 Armature minimale de RPA99

D'aprés le RPA 2003 (ART 7.7.4.1)

$$A_{\min rpa} = 0.20\% \times b \times L_t$$
 pour (SET et SPC)

$$A_{\min rpa} = 0.20\% \times b \times L_c$$
 pour (SEC)

Avec:

b: l'épaisseur du voile.

 L_t et L_c : longueur de la section tendue ou comprimée.

V.4.5 Calcule des armatures longitudinales et transversales

• Recommandation du RPA (V2003.ART.7.7.4)

> Armature longitudinale

Les armatures verticales reprennent les efforts de flexion, Ils sont calculés en flexion composée, et disposés en deux nappes parallèles aux faces des voiles. Ces armatures doivent respecter les conditions suivantes :

✓ Le pourcentage minimum des armatures verticales sur toute la zone tendue sous l'action des forces verticales et horizontales est :

$$A_{\min} = 0.2\% . B$$

- ✓ Les barres verticales des zones extrêmes doivent être ligaturés avec des cadres horizontaux dont l'espacement (St < e).
- ✓ Si des efforts importants de compression agissent sur l'extrémité, les barres verticales doivent respecter les conditions imposées aux poteaux.
- ✓ Les barres verticales du dernier niveau doivent être munies de crochets à la partie supérieure. Toutes les autres barres n'ont pas de crochets (jonction par recouvrement).
- ✓ A chaque extrémité du voile, l'espacement des barres doit être réduit de moitié sur 1/10 de la longueur du voile. Cet espacement d'extrémité doit être au plus égal à 15 cm.

> Armature horizontale

$$A_{\rm H} \ge 0.15 \%. B$$

Les armatures horizontales sont destinées à reprendre les efforts tranchants, elles doivent être disposées en deux nappes vers les extrémités des armatures verticales pour empêcher leurs flambements et munies de crochets à 135° ayant une longueur de $10 \ \emptyset$.

> Armature transversale

Les armatures transversales sont destinées essentiellement à retenir les barres verticales intermédiaires contre le flambement, elles sont au minimum en nombre de quatre épingles par mètre carré.

> Armature potelets

On doit prévoir à chaque extrémité du voile (où du trumeau) un potelet armé par des barres verticales dont la section est supérieure ou égale à 4 Ø10.

❖ Règles communes entre les armateurs verticales et horizontales (art A7-7-4-3RPA99)

- •Le pourcentage minimum d'armatures verticales et horizontales des trumeaux, est donné comme suit :
 - ✓ Globalement dans la section du voile 0,15 %.
 - ✓ En zone courante 0,10 %.
- L'espacement des barres horizontales et verticales doit être inférieur à la plus petite des deux (2) valeurs suivantes : $S \le (30 \text{ cm}, 1.5\text{e})$
- La longueur de recouvrement doit être égale à :
 - √ 40∅ pour les barres situées dans les zones où le renversement du signe des efforts est possible.
 - ✓ 20∅ pour les barres situées dans les zones comprimées sous l'action de toutes les combinaisons possibles de charges.

❖ Recommandation BAEL

> Armature longitudinale

- ✓ Section entièrement tendue : Amin ≥ max $(\frac{N_u}{2\sigma_s}; B.\frac{f_{t28}}{f_e}; 0,005. B)$
- ✓ Section partiellement comprimée : Amin $\ge \max(0,23. \text{ B}.\frac{f_{t28}}{f_e}; 0,005. \text{ B})$
- ✓ Section entièrement comprimée : Amin ≥ 4 cm²/ml

> Armature horizontale

$$A_{\rm H} = \frac{\tau u \times e \times st}{0.8 \times fe} \text{avec: } \tau u = \frac{1.4 \text{Vd}}{e \times d}$$

- Les résultats de calcules des armatures longitudinales sont affichée dans les tableaux cidessous:
 - On a six types de voile leurs Caractéristiques géométriques sont afficheé dans le tableau suivant :

Tableau V.13: Caractéristique géométrique des voiles.

	L(m)	e(m)	V(m)	B(m ²)	I(m ⁴)
Vx1 (L=3,10m) (e=0,18m)	3,10	0,18	1,55	0,558	0,447
Vx2 (L=2,55m) (e=0,18m)	2,55	0,18	1,275	0,459	0,249
Vx3 (L=1,90m) (e=0,18m)	1,90	0,18	0,95	0,342	0,103
Vx4 (L=1,80m) (e=0,2m)	1,80	0,18	0,9	0,324	0,087

Vy1 (L=3m) (e=0,18m)	3	0,18	1,5	0,54	0,405
Vy2 (L=1,65m) (e=0.18m)	1,65	0,18	0,825	0,297	0,067

^{La quantité d'armature verticale nécessaire pour RDC, étage 1, étage 2, étage 3 est résumé dans le tableau suivant :}

Tableau V.14: Calcule des sections d'armatures verticale pour RDC, étage 1, étage 2, étage 3.

cas	N	M	$\sigma a(kn)$	$\sigma b(kn)$	Nature	LT(m)	F(Kn)	As
	(Kn)	(Kn.m)						(cm ²)
	1197,57	92,55	2467,55	1824,82	E.C	//	//	11,16
	250 41	269.62	4550 54	202.56	D.C.	0.51	12.01	0.40
	350,41	268,62	1559,71	- 303,76	P.C	0,51	13,81	0,40
	975 10	969 01	4502 57	1479 10	D.C.	0.75	100.42	2,89
	0/3,10	000,91	4392,37	-14/0,19	r.c	0,75	100,42	2,09
	1695 26	20.74	3799 69	3587 06	E.C	//	//	9,18
	10,0,20	20,7 1	0177,07	2207,00	Lic	<i>"</i>	, , , , , , , , , , , , , , , , , , ,	7,10
	226,30	148,40	6046.23	-2958,21	P.C	0.45	10.81	0,31
	-)	-, -	, , ,	, , ,			- ,-	-)-
	708,70	878,27	1253,76	-267,70	P.C	0,84	223,04	6,41
Ncorr		·		·				
Nmax	1471,75	567,68	9545,10	-938,37	P.C	0,17	14,36	0,41
Mcorr								
Nmin	228,36	551,74	5762,27	-4426,27	P.C	0,83	328,89	9,45
	1471,75	567,68	9545,10	-938,37	P.C	0,17	14,36	0,41
	1002 (5	10.00	2207 52	2002 ((E.C.	11	11	C 40
	1002,65	10,88	3206,53	2982,66	E.C	//	//	6,48
	200 /1	17 77	1137 70	15/1 97	FC	//	//	6,48
	209,41	47,77	1137,79	134,07	E.C	<i>''</i>	''	0,40
	797.11	615.70	8794.58	-3874.15	P.C	0.55	191.93	5,52
	,	020,70	0.75 1,00	0071,20		0,00	22 2,5 0	0,02
	1308,67	2377,46	11228,87	-6381,94	P.C	1,09	624,44	17,94
Mcorr								·
Nmin	122,91	390,63	1674,39	-1219,17	P.C	1,26	138,69	3,99
Mcorr								
Mmax	446,20	2380,84	9644,22	-7991,63	P.C	1,36	977,77	28,10
Ncorr								
NT	1454 (0	201.25	05// 5/	220.52	EC	11	11	5.04
	1454,60	381,35	9500,70	228,53	E.C			5,94
	345 21	61 53	1915 67	408 87	F.C	//	//	5,94
	J7J,21	01,33	1713,07	100,07	1.0	''	''	3,74
	1454.60	381.35	9566.76	228,53	E.C	//	//	5,94
Ncorr			200,10				''	-,- •
	Nmax Mcorr Nmin Mcorr Nmax Ncorr Nmax Ncorr Nmax Ncorr Nmin Mcorr Nmin Mcorr Nmin Mcorr Nmin Mcorr Nmin Mcorr Nmax Ncorr Nmin Mcorr Nmin Mcorr	Nmax 1197,57 Mcorr Nmin Mcorr Mmax Mcorr Nmin Mcorr Mmax Mcorr Nmin Max Mcorr Nmin Mcorr Mmax Mcorr Mmax Mcorr Mmax Mcorr Mmax Mcorr Mmax Mcorr Mmax Max Mcorr Mmax Max Mcorr Mmax Max Mcorr Mmax Max Ma	Nmax (Kn) (Kn.m) Nmax 1197,57 92,55 Mcorr 268,62 Mmax 875,10 868,91 Ncorr 1695,26 20,74 Mcorr 708,70 878,27 Ncorr 1471,75 567,68 Mcorr 1471,75 567,68 Mcorr 1471,75 567,68 Ncorr 1471,75 567,68 Ncorr 1002,65 10,88 Mcorr 1002,65 10,88 Mcorr 1308,67 2377,46 Mcorr 122,91 390,63 Mcorr 122,91 390,63 Mcorr 1454,60 381,35 Mcorr 1454,60 381,35 Mcorr 1454,60 381,35	(Kn) (Kn.m) Nmax Mcorr 1197,57 92,55 2467,55 Mcorr 350,41 268,62 1559,71 Mmax Ncorr 875,10 868,91 4592,57 Nmax Mcorr 1695,26 20,74 3799,69 Mcorr Nmin 226,30 148,40 6046,23 Mcorr Mmax 708,70 878,27 1253,76 Ncorr Nmin 228,36 551,74 5762,27 Mcorr Mmax 1471,75 567,68 9545,10 Ncorr Nmax 1471,75 567,68 9545,10 Ncorr Nmax 1002,65 10,88 3206,53 Ncorr Nmin 209,41 47,77 1137,79 Mcorr Nmax 1308,67 2377,46 11228,87 Ncorr Nmin 122,91 390,63 1674,39 Mcorr Nmax 446,20 2380,84 9644,22 Nmax 1454,60 381,35 9566,76	Nmax Moorr Nmin Moorr Moorr Moorr Nmin Moorr Moorr	Kn Kn.m	Nmax Nmax	Nmax Nmax

• La quantité d'armature verticale nécessaire pour étage 4, étage 5, étage 6, étage 7 est résumé dans le tableau suivant :

Tableau V.15: Calcule des sections d'armatures verticale pour étage 4, étage 5, étage 6, étage 7.

	cas	N (Kn)	M (Kn.m)	$\sigma a(kn)$	$\sigma b(kn)$	Nature	LT(m)	F(Kn)	As(cm ²)
Vx1	Nmax Mcorr	666,01	34,45	1313,06	1074,07	E.C	//	//	11,16
	Nmin Mcorr	95,89	64,88	396,89	-53,20	P.C	0,37	1,75	0,05
	Mmax Ncorr	195,17	112,85	741,20	-41,67	P.C	0,17	0,62	0,02
	Nmax Mcorr	788,91	20,94	1826,10	1611,41	E.C	//	//	9,18
Vx2	Nmin Mcorr	37,08	80,21	491,96	-330,39	P.C	1,02	30,46	0,88
	Mmax Ncorr	119,96	119,93	876,07	-353,50	P.C	0,73	23,32	0,67
	Nmax Mcorr	680,30	0,45	1794,00	1785,52	E.C	//	//	6,84
Vx3	Nmin Mcorr	35,96	7,49	156,88	32,39	E.C	//	//	6,84
	Mmax Ncorr	439,38	75,56	1784,19	528,34	E.C	//	//	6,84
	Nmax Mcorr	462,56	3,39	1316,28	1253,50	E.C	//	//	6,48
Vx4	Nmin Mcorr	17,06	8,67	127,67	-32,89	P.C	0,37	1,21	0,03
	Mmax Ncorr	352,05	98,39	1888,94	66,90	E.C	//	//	6,48
	Nmax Mcorr	668,76	198,03	1773,43	453,23	E.C	//	//	10,8
Vy1	Nmin Mcorr	10,76	254,88	867,53	-867,67	P.C	1,47	122,12	3,51
	Mmax Ncorr	57,05	343,77	1240,98	-1050,82	P.C	1,38	144,54	4,15
	Nmax Mcorr	409,88	4,76	1294,51	1189,61	E.C	//	//	5,94
Vy2	Nmin Mcorr	14,26	6,75	117,59	-31,17	P.C	0,35	1,08	0,03
	Mmax Ncorr	131,67	63,99	1104,12	-306,12	P.C	0,36	10,96	0,32

[•] On prend le max entre (As, A_{RPA},A_{BAEL}) pour le choix de la quantité nécessaire des armatures verticales :

Tableau V.16: Choix des armatures verticales pou RDC, étage 1, étage 2, étage 3.

zone	L(m)	LT(m)	A _{RPA} (cm ²)	A _{BAEL} (cm ²)	As Calcule (cm ²)	A adopté	Choix des barres	Espacement (cm)
	3,10	3,10	11,6	26,24	11,6	30,76	2(14HA12)	25
	2,55	2,55	9,18	21,6	9,18	22,62	2(10HA12)	25
	1,90	0,83	2,99	17,1	9,45	18,1	2(8HA12)	25
1	1,80	1,80	6,48	15,84	6,48	18,1	2(8HA12)	25
	3	1,36	4,89	27	28,10	30,76	2(14HA12)	25
	1,65	1,65	5,94	14,64	5,94	18,1	2(8HA12)	25

Tableau V.17: Choix des armatures verticales pour étage 4, étage 5, étage 6, étage 7.

zone	L(m)	LT(m)	ARPA (cm ²)	ABAEL (cm ²)	As Calcule (cm ²)	A adopté	Choix des barres	Espacement (cm)
	3,10	3,10	11,6	26,24	11,6	30,76	2(14HA12)	25
	2,55	2,55	9,18	21,6	9,18	22,62	2(10HA12)	25
	1,90	1,90	6,84	16,64	6,84	18,1	2(8HA12)	25
2	1,80	1,80	6,48	15,84	6,48	18,1	2(8HA12)	25
	3	1,80	10,8	25,44	10,8	30,76	2(14HA12)	25
	1,65	1,65	5,94	14,64	5,94	18,1	2(8HA12)	25

Les résultat de calcules des armatures horizontles sont affichée dans les tableaux ci-dessous:

	A _h (cm ²)	$A_{h min} (cm^2)$	Nombre des barres	A _{adp} (cm ²)	espacements (cm)
Vx1 (L=3,10m) (e=0,18m)	1,3	8,37	10HA12	11,31	25
Vx2 (L=2,55m) (e=0,18m)	0,94	6,88	8HA12	9,05	25
Vx3 (L=1,90m) (e=0,18m)	0,65	5,13	8HA12	9,05	25
Vx4 (L=1,80m) (e=0,2m)	0,31	4,86	6HA12	6,79	25
Vy1 (L=3m) (e=0,18m)	1,73	8,1	10HA12	11,31	25
Vy2 (L=1,65m) (e=0,18m)	0,48	4,46	6HA12	6,79	25

Tableau V.18: Choix des armatures horizontal pour RDC, étage 1, étage 2, étage 3.

Tableau V.19: Choix des armatures horizontal pour étage 4, étage 5, étage 6, étage 7.

	A _h (cm ²)	$A_{h min}$ (cm ²)	Nombre des barres	A_{adp} (cm ²)	espacements (cm)
Vx1 (L=3,10m) (e=0,18m)	0,53	8,37	10HA12	11,31	25
Vx2 (L=2,55m) (e=0,18m)	0,37	6,88	8HA12	9,05	25
Vx3 (L=1,90m) (e=0,18m)	0,18	5,13	8HA12	9,05	25
Vx4 (L=1,80m) (e=0,2m)	0,36	4,86	6HA12	6,79	25
Vy1 (L=3m) (e=0,18m)	0,66	8,1	10HA12	11,31	25
Vy2 (L=1,65m) (e=0,18m)	0,27	4,46	6НА12	6,79	25

V.4.6 Vérification à L'état limite ultime (ELU)

• Vérification de la contrainte de cisaillement

$$\tau_b \leq \overline{\tau_b}$$

$$\tau_b = \frac{\overline{V}}{b_0 \cdot d}$$

Ou:
$$\begin{cases} \overline{V}: L'effort\ tranchant\ \overline{V} = \mathbf{1}, \mathbf{4}\ V \\ b_0: Epaisseur\ de\ voile \\ d: \text{Hauteur\ utile\ d} = 0,9 \text{h} \end{cases}$$

$$\bar{\tau}_b = 0.2 f_{c28} = 5 \text{ MPA}$$

> Selon BAEL

$$\tau_b \leq \overline{\tau_b}$$

$$\boldsymbol{\tau_b} = \frac{\boldsymbol{V_U}}{\boldsymbol{b_0} \cdot \boldsymbol{d}} \overline{\tau_u} = min\left(0.15 \frac{f_{c28}}{\gamma_b}; 4MPa\right) = 2.5 MPa$$

Les résulatas des calcules et vérification sont affichées dans le tableau suivant :

Tableau V.20:Calcule et Vérification la contrainte de de cisaillement.

zone	voile	V(KN)	\overline{V}	τbael	τrpa	₹ bael	₹ rpa	Observation
	3,10	335,80	470,12	0,67	0,93	2,5	5	CV
	2,55	243,14	340,40	0,59	0,82	2,5	5	CV
1	1,90	167,36	234,31	0,54	0,76	2,5	5	CV
1	1,80	84,17	117,84	0,29	0,40	2,5	5	CV
	3	443,98	621,57	0,91	1,28	2,5	5	CV
	1,65	126,44	177,02	0,47	0,66	2,5	5	CV
	3,10	137,58	192,61	0,27	0,38	2,5	5	CV
	2,55	98,06	137,28	0,24	0,33	2,5	5	CV
	1,90	45,59	63,83	0,15	0,21	2,5	5	CV
2	1,80	91,19	127,67	0,31	0,44	2,5	5	CV
	3	170,59	238,83	0,35	0,49	2,5	5	CV
	1,65	68,98	96,57	0,25	0,36	2,5	5	CV

V.4.7 Schéma du ferraillage

Comme un exemple de schéma du ferraillage, on a choisi le voile 1 (3,10m), Pour RDC, étage 1, étage 2, étage 3:

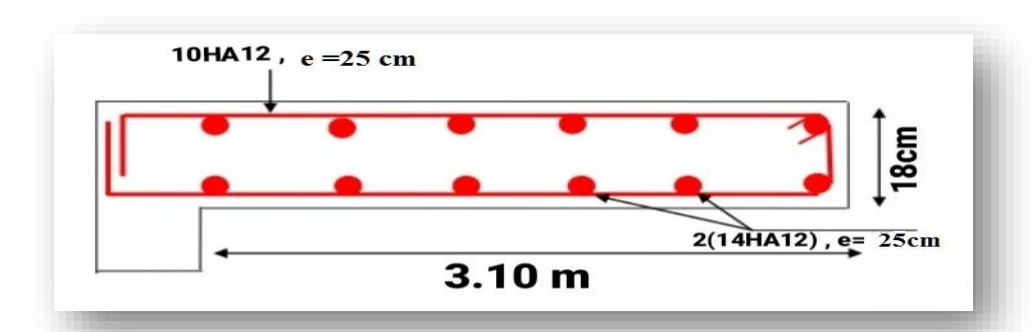


Figure V.10: Schéma de ferraillage des voiles.

V.5 Conclusion

Les éléments principaux jouent un rôle prépondérant dans la résistance et la transmission des sollicitations. Ils doivent donc être correctement dimensionnés et bien armés. Dans la détermination des ferraillages des différents éléments principaux, Au terme de ce chapitre, nous avons étudié ces différents éléments principaux.

Chapitre VI Etude de l'infrastructure

VI.1 Introduction

Une fondation est une partie de l'ouvrage en contact avec le sol auquel il va transmettre toutes les charges permanentes et variables supportées par cet ouvrage au sol dans de bonnes conditions, de façon à assurer la stabilité de l'ouvrage, et pour reprendre les charges et surcharges supportées par la structure. La fondation est donc une partie importante de l'ouvrage car de sa bonne réalisation résulte de la tenue de l'ensemble leur choix dépend essentiellement de la contrainte du sol et des charges de l'ouvrage on distingue deux type de fondation :

- ❖ Fondation superficielles : Elles sont utilisables pour les sols de bonne capacité portante, elles permettent la transmission directe des efforts au sol, cas des semelles isolées, semelles filantes, radiers.
- Fondations profondes: Elles sont utilisées pour les mauvais sols de faible capacité portantela transmission des efforts est assurée par d'autre éléments: cas des semelles sur pieux ou puits.

VI.2 Reconnaissance de sol

Pour projeter correctement une fondation, on doit avoir une bonne connaissance de l'état de lieux au voisinage de construction a édifié, mais il est fondamental de connaitre avec précision les caractéristiques géotechniques des différents couches constituant le terrain.

D'après l'étude géotechnique qui nous a été confiée par le bureau d'étude du sol sont les suivants :

 \triangleright Capacité portante admissible de sol σ_{sol} = 1.5 bar

VI.3 Combinaisons de calcul

Le dimensionnement des fondations superficielles, selon RPA99 (Article 10.1.4.1), se fait sous les combinaisons suivantes:

- -0.8G-E
- -0.8G + E
- -G+Q-E
- -G+Q+E
- > Calcul de la contrainte

$$\sigma_{adm} (ELU) = \frac{q_u^{reel}}{\gamma_q}$$

$$\sigma_{adm} \; (\text{ELS}) = \frac{q_u^{reel}}{\gamma_q}$$

Avec:

 γ_q : Coefficient de sécurité sous les différents états limites.

$$\gamma_q = 2 \text{ (ELU)}$$

$$\gamma_q = 3 \text{ (ELS)}$$

Il est a noté que la contrainte admissible du sol figurant dans le rapport de sol est prise à l'ELS ($\overline{\sigma_{sol}} = 1.5 \text{ bars}$)

$$\sigma_{ELS} \; (\mathrm{ELU}) = \frac{q_u^{reel}}{\gamma_q} - q_u^{reel} = 3\sigma_{ELS}$$

$$\sigma_{ELU} \; (\text{ELS}) = \frac{q_u^{reel}}{\gamma_q} \Longrightarrow q_u^{reel} = 2\sigma_{ELS}$$

$$\Rightarrow \sigma_{ELU} = \frac{3}{2}\sigma_{ELS} = \frac{3}{2} \times 1.5 = 2.25 \text{ bars}$$

VI.4 Choix de type de fondation

Le choix de type de fondations est en fonction de plusieurs paramètres qui sont :

- La capacité portant de terrain de fondation.
- La distance entre axes des poteaux.
- Les charges transmises au sol.
- L'incidence économique.
- La nature et l'homogénéité du bon sol.
- > La facilité de réalisation.

Pour notre structure, les types de fondations sont :

- > Semelles isolées.
- > Semelles filantes sous deux poteaux et les voiles.
- Radiers.

VI.4.1 Vérification des semelles isolées

Nous proposant en premier lieu des semelle isolées pour cela, nous allons procéder a une petite vérification.

La vérification à faire : $\frac{N}{A \times B} \le \overline{\sigma_{sol}}$

N.B: Pour cette vérification on prend la semelle la plus sollicitée.

N: effort normal transmis par la semelle au sol.

 $\overline{\sigma_{sol}}$: Contrainte admissible du sol, $\overline{\sigma_{sol}}$ = 1.5 bars = 150 KN.

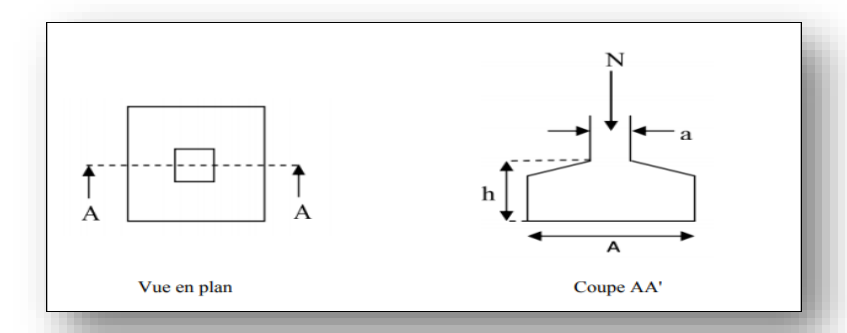


Figure VI.1: Semelle isolé.

$$\frac{N}{A \times B} \le \overline{\sigma_{sol}} \rightarrow A \times B \ge \frac{N}{\overline{\sigma_{sol}}}$$

On a une semelle rectangulaire, donc on doit satisfaire la condition d'homothétie.

$$\frac{A}{a} = \frac{B}{b} \rightarrow A = \frac{a \times B}{b} \rightarrow B \ge \sqrt{\frac{b \times N}{a \times \overline{\sigma_{sol}}}}$$

a, b : Dimensions du poteau à la base.

⇒ **ELU**: N= 1006.87 KN
$$\rightarrow$$
 B $\geq \sqrt{\frac{0.45 \times 1006.87}{0.35 \times 225}} = 2.4 \text{ m}$

⇒ **ELS**: N= 733.67 KN
$$\Rightarrow$$
 B $\geq \sqrt{\frac{0.45 \times 733.67}{0.35 \times 150}} = 2.51 \text{ m}$

⇒ **ELA**: N= 1407.39 KN
$$\Rightarrow$$
 B $\geq \sqrt{\frac{0.45 \times 1407.39}{0.35 \times 225}} = 2.84 \text{ m}$

D'après le résultat, et en tenant compte des distances entre les poteaux dans les deux directions, on remarque que l'utilisation des semelles isolées ne convient pas pour notre cas à cause du chevauchement des semelles voisines, ce qui nous a conduits à vérifier les semelles filantes.

VI.4.2 Vérification de la semelle filante

Pour la vérification, nous allons choisir la file de portique qui nous semble être la plus sollicitée (dans le sens xx). La surface totale des semelles est donné par :

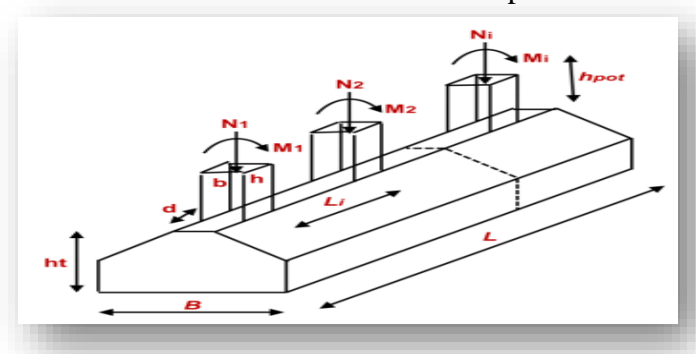


Figure VI.2: Semelle filante.

$$\overline{\sigma_{sol}} \ge \frac{N}{S} = \frac{N}{B \times L}$$
 $B \ge \frac{N}{\overline{\sigma_{sol}} \times L}$

Avec:

B: Largeur de la semelle.

L: Longueur de la semelle.

 N_i : L'effort normal provenant du poteau « i ».

• Portique sens X-X

 $N_{ser} = 39865.99 \text{ KN}$

L = 25 m

 σ_{sol} (ELU) =2.25 bars

La vérification à faire est : $\sigma_{sol} \ge \frac{N_{ser}}{S} = \frac{N_{ser}}{B \times L}$ $B \ge \frac{N_{ser}}{\sigma_{sol} \times L}$

$$B \ge \frac{N_{ser}}{\sigma_{sol}^2 \times L} = \frac{39865.99}{225 \times 25} = 7.08 \text{ m}$$

Vu la distance entre les axes des deux portiques parallèles on remarque qu'il y a un chevauchement entre les deux semelles filantes, d'où l'emploi des semelles filantes est impossible, donc on passe au radier général.

VI.4.3 Radier général

Un radier est une dalle pleine de très grandes dimensions réalisée sous toute la surface de la construction.

Cette dalle peut être massive (de forte épaisseur) ou nervurée; dans ce cas la dalle est mince mais elle est raidie par des nervures croisées de grande hauteur.

Dans notre cas, on optera pour un radier nervuré (plus économique que pratique).

Le radier se trouve justifié, si les semelles continues ou isolées deviennent très larges en raison :

- De la faible capacité portante du sol.
- Des charges élevées du bâtiment.
- Du rapprochement des poteaux.
- Des difficultés d'établir des pieux (vibration nuisible).
- De charges excentrées en rive de bâtiment.

Ce type de fondation présente plusieurs avantages qui sont :

- L'augmentation de la surface de la semelle, minimise la forte pression apportée par la structure.
- La réduction des tassements différentiels.
- Néglige les irrégularités ou l'hétérogénéité du sol.
- La facilité d'exécution.
- Lorsque le sous-sol d'un bâtiment est inondable : le radier joue alors le rôle d'un cuvelage étanche pouvant résister aux sous-pressions.

 Lorsque la capacité portante du sol est faible : le radier est alors conçu pour jouer un rôle répartiteur de charges. Son étude doit toujours s'accompagner d'une vérification du tassement général de la construction.

VI.4.3.1 Différents types de radiers

Tous les radiers sont mis en place sur un béton de propreté ou un lit de sable.

- Radier plat d'épaisseur constante.
- Radier nervuré (le plus économique).
- Radier vouté.
- > Radier champignon.

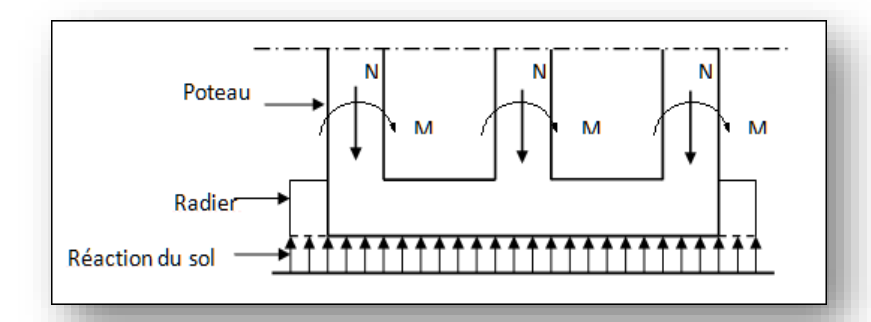


Figure VI.3: Schéma du radier.

VI.4.3.2 Pré dimensionnement de radier

Condition de coffrage

 h_t : Hauteur des nervures.

 h_r : Hauteur de la dalle.

 L_{max} : La plus grande portée entre deux éléments porteurs successifs. $L_{max} = 4 \text{ m}$

> La nervure

$$h_t \ge \frac{L_{max}}{10} = \frac{400}{10} = 40 \text{ cm}$$
 on prend $h_n = 50 \text{ cm}$

$$b_n \ge \frac{h_n}{2} = \frac{60}{2} = 30 \text{ cm}$$
 on prend $b_n = 40 \text{ cm}$

> La dalle

$$h_r \ge \frac{L_{max}}{20} = \frac{400}{20} = 20 \text{ cm}$$
 on prend $h_d = 30 \text{ cm}$

> Remarque:

Pour éviter une section d'armatures très grandes on va augmenter les dimensions des nervures et la dalle, on prend:

- $h_n = 80 \text{ cm}$
- $b_n = 50 \text{ cm}$

• $h_d = 40 \text{ cm}$

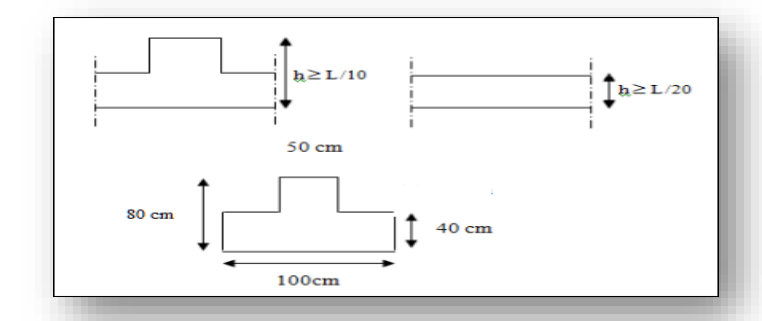


Figure VI.4: Coffrage du radier.

• Condition de rigidité

$$L_{max} \leq \frac{\pi}{2} L_e$$

 L_{max} : Plus grande distance entre deux poteaux :

 L_e : Longueur élastique.

$$L_e \ge \sqrt[4]{\frac{4 \times E \times I}{k \times b}}$$

E : Module d'élasticité du béton, $E = 3,216 \cdot 10^7 \text{ KN/m}^2$

I : inertie d'une bande d'1 m de radier. I = $\frac{bh^3}{12}$

K: coefficient de raideur du sol, rapporté à l'unité de surface pour un sol moyen $K=4\times10^4~KN/m^3$ b: largeur du radier (bande de 1m).

D'où:

$$h_t \geq \sqrt[3]{\frac{48L_{max}^4 \ K}{\pi^4 \ E}} = \sqrt[3]{\frac{48\times 4^4*4\times 10^4}{3,14^4\times 3,216\times 10^7}} = 0.54 \ m$$

On a:

Calcul de la surface du radier

$$S_{\text{rad}} \ge \frac{N}{\overline{\sigma_{sol}}}$$

S_{rad}: Surface totale du radier.

N : effort normal total transmis par l'ouvrage (le plus défavorable).

 $\overline{\sigma_{sol}}$: Contrainte admissible du sol

• ELU: N= 54477.90 KN

$$S_{\text{rad}} \ge \frac{54477.90}{225} = 242.124 \text{ m}^2$$

• ELS: N= 39865.99 KN

$$S_{rad} \ge \frac{39865.99}{150} = 265.8 \text{ m}^2$$

Donc:
$$S_{rad} = 265.8 \text{ m}^2$$

On a :
$$S_{batiment} = 407.23 \text{ m}^2$$

$$S_{rad} = 265.8 < S_{bat} = 407.23 \text{ m}^2$$
 \rightarrow Le radier ne comporte pas de débord

$$S_{rad} = S_{bat} = 407.23 \text{ m}^2$$

Dimensions du radier :

Nous adopterons pour les dimensions suivantes:

- Hauteur de la nervure : $h_t = 80 \text{ cm}$
- Hauteur de la table du radier : $h_r = 40$ cm
- La surface du radier : $S_{rad} = 407.23 \text{ m}^2$

VI.4.3.3 Les vérifications

1) Vérification au poinçonnement

Le poinçonnement se manifeste là où il y a une concentration des charges. Pour vérifier le non poinçonnement du radier (dalle) le BAEL 91 propose de vérifier la condition suivante :

(Article A.5.2.42) BAEL 91.

$$N_u \le 0.045 \times h_n \times U_c \times \frac{f_{c28}}{v_b}$$

N_u: L'effort normal sur le poteau

U_c: Le périmètre du contour cisaillé projeté sur le plan moyen du radier.

$$N_{u} = 1326.97 \text{ KN}$$

$$h_t = 80 \text{ cm}$$

On a :
$$A = a + h = 0.35 + 0.8 = 1.15 \text{ m}$$

$$B = b + h = 0.45 + 0.8 = 1.25 \text{ m}$$

$$U_c = 2(A+B) = 2(1.15 + 1.25) = 9.6 \text{ m}$$

$$N_u = 1326.97 \le 0.045 \times 9.6 \times 0.8 \times \frac{25 \times 10^3}{1.5}$$

$$N_u = 1326.97 \le 5760 \text{ KN} \dots$$
 Condition vérifiée

Donc il n'y a pas risque de poinçonnement du radier.

2) Vérification au cisaillement

$$\tau_{\rm u} = \frac{V_{\rm d}}{b \times d} \le \overline{\tau_{\rm u}} = \min(0.15 \frac{f_{\rm c28}}{V_{\rm h}}; 4\text{MPa}) = 2.5 \text{ MPa}$$

On considère une bande de largeur b =1m

N_d: Effort normal de calcul résultant de la combinaison la plus défavorable.

$$N_d = 39865.99 \text{ KN}$$

$$V_{d} = \frac{N_{d} \times L_{max}}{2 \times S_{rad}} = \frac{39865.99 \times 4 \times 1}{2 \times 407.23} = 195.8 \text{ KN}$$

$$d \ge \frac{V_d}{b \times \overline{\tau_u}} = \frac{195.8 \times 10^3}{1000 \times 2.5} = 0.08 \text{ m} \implies d = 25 \text{ cm}$$

$$\tau_u = \frac{195.8 \times 10^{-3}}{1 \times 25} = 0.01 \text{ MPa} \le \overline{\tau} = 2,5 \text{ MPa}$$
 Condition vérifiée

3) Vérification sous l'effet de la pression hydrostatique

$$N \ge F_s \times \gamma_w \times H \times S_{radier}$$

Avec:

N: Poids total du bâtiment à la base du radier: N = 39865.99 KN

 F_s : oefficient de sécurité vis à vis du soulèvement $F_s = 1,5$.

 γ_w : Poids volumique de l'eau $~\gamma_w~=10~Kn/m^3$

H: hauteur de la partie ancrée du bâtiment H = 3.57 m

 S_{radier} : surface du radier ($S = 407.23 \text{ m}^2$).

$$F_s \; \times \gamma_w \; \times H \; \times S_{radier} = 1,5 \; x \; 10 \; x \; 3.57x \; 407.23 = 21807.17 \; KN \leq 39865.99 KN \; \dots \quad C.V$$

4) Vérification des contraintes des sols

Cette vérification consiste à satisfaire la condition suivante dans le sens longitudinal et transversal.

On a : $\overline{\sigma_{sol}}$ = 1.5 bars

$$\sigma_{\rm m} = \frac{3\sigma_{\rm max} + \sigma{\rm min}}{4} \le \overline{\sigma_{sol}}$$

$$\sigma_{x,y} = \frac{N}{s} \pm \frac{M_y}{I} (x,y)$$

> Caractéristique géométrique

Position du centre de gravité du radier :

-
$$X_G = 12.5$$
m

-
$$Y_q = 9.75 \text{ m}$$

Les coordonnées du centre de gravité du bâtiment :

-
$$X_{G \ batiment} = 12.42 \ m$$

-
$$Y_{Ghatiment} = 9.37 \text{ m}$$

> Moments d'inertie

Il est donné par :

$$I = (I_i + S_i d_i^2)$$
 Avec :

I_i: moment d'inertie du panneau (i).

S_i: aire du panneau considéré (i).

d_i: distance entre le CDG du panneau (i) et le CDG du radier

Les moments d'inertie du radier suivant les deux directions sont :

$$I_{xx} = 20100.84 \text{ m}^4$$

$$I_{yy} = 9939.83 \text{ m}^4$$

> Calcul de l'excentricité

L'excentricité entre le centre d'application des résultantes des efforts de la superstructure et le centre de gravité du radier est donnée comme suit :

$$e_x = |12.5 - 12,42| = 0,08 \text{ m}.$$

$$e_v = |9,75 - 9,37| = 0,38 \text{ m}.$$

> Le radier est sollicité par les efforts suivants

N : Effort normal du au charges verticales.

$$N = N_{batiment} + N_{radier}$$

$$N_{radier} = (s_{radier} \times h \times 25) + (0.5 \times 0.8 \times 25 \times 234.4) = 5830.3 \text{ KN}$$

$$N_{hatiment} = 39855.99 \text{ KN}$$

$$N = 6415.3 + 39855.99 = 46271.29 \text{ KN}$$

M : Moment d'excentricité dus aux charges verticales.

$$M = N \times e$$

$$M_X$$
= N× e_x = 46271.29 ×0.08 =3701.7 KN.m

$$M_{\nu} = N \times e_{\nu} = 46271.29 \times 0.38 = 1758.09 \text{ KN.m}$$

5) Vérification au non soulèvement des fondations

• Sens X-X

$$N = 46271.29KN$$
 , $M = 3701.7KN.m$,

$$\sigma_{max} = \frac{N}{S} + \frac{M}{I} \times y = 115.42 \text{ KN/m}^2$$

$$\sigma_{min} = \frac{N}{S} - \frac{M}{I} \times y = 111.83 \text{ KN/m}^2$$

$$\sigma_m = \frac{3\sigma_{max} + \sigma_{min}}{4} = 114.5 \text{ KN/m}^2 \leq \overline{\sigma_{sol}} = 150 \dots \text{Condition vérifiée}$$

• Sens Y-Y

$$N=4627129 \text{ KN}$$
 , $M=17580.6 \text{ KN.m}$

$$\sigma_{max} = \frac{N}{S} + \frac{M}{I} \times X = 135.73 \text{ KN/m}^2$$

$$\sigma_{min} = \frac{N}{S} - \frac{M}{I} \times X = 91.51 \text{KN/m}^2$$

$$\sigma_m = \frac{3\sigma_{max} + \sigma_{min}}{4} = 124.67 \text{KN/m}^2 \le \overline{\sigma_{sol}} = 150 \dots \text{Condition vérifiée}$$

Vérification la stabilité au renversement du radier

D'après RPA2003 (art 10.1.5) le radier reste stable si cette condition est vérifiée :

$$e = \frac{M}{N} \le \frac{B}{4}$$

• Sens X-X

• Sens Y-Y

$$e = \frac{17360.8}{45686.29} = 0.38 \text{ m} \le \frac{11.24}{4} = 4.88 \text{ m}$$
......Condition vérifiée

VI.4.3.4 Ferraillage du radier

1) Ferraillage de la dalle du radier

Le radier sera calculé comme une dalle pleine renversée, et sollicité en flexion simple causée par la réaction du sol, il faut considérer le poids propre du radier comme une charge favorable. On calculera le panneau le plus défavorable et on adoptera le même ferraillage pour tout le radier.

A. Calcul des sollicitations

> ELU

$$q_u = \frac{N_u}{S_{rad}} = \frac{60308.2}{407.23} = 148.1 \text{ KN/m}^2$$

$$L_x = 3.3 \text{ m}$$
 ; $L_y = 4.3 \text{ m}$

$$\rho = \frac{L_x}{L_y} = \frac{3.3}{4.3} = 0.76 > 0.4$$
 \rightarrow La dalle travaille dans les deux directions

\bullet ELU (v =0)

$$\begin{cases} u_x = 0.0608 \\ u_y = 0.5274 \end{cases}$$
 (Annexe 3)

Le calcul des sollicitations se fait en supposant que la dalle est simplement appuyée.

$$\begin{cases} M_{ox} = u_x \times l_x^2 \times q_u = 98.06 KN. m \\ M_{oy} = M_{ox} \times u_y = 51.72 KN. m \end{cases}$$

Moment en travée

$$\begin{cases} M_t^x = 0.85 \times M_{ox} = 83.35 \text{ KN.m} \\ M_t^y = 0.85 \times M_{oy} = 44 \text{ KN.m} \end{cases}$$

Moment aux appuis

$$M_a^x = -0.5 \times M_{ox} = M_a^y = -49 \text{ KN. m}$$

Le ferraillage se fait pour une section (b × h)= (1× 0,4) m^2

> condition de non fragilité suivante

Pour h> 12cm et
$$\rho > 0.4$$

$$\begin{cases} A_x^{min} = \rho_0 \left(\frac{3-\rho}{2}\right) bh \\ A_y^{min} = \rho_0 bh \end{cases}$$

Pour les HA FeE400 ; $\rho_0 = 0.0008$

Les résultats du ferraillage sont résumés dans le tableau suivant :

Tableau VI.1: Section d'armateur du radier à l'ELU.

Loc	Localisation		A _{cal} Cm ²	A _{min} Cm ²	A _{adopteé} Cm ²	Nombre des barres
4	Sens xx	83.35	6.82	3.52	7.70	5HA14
travée	Sens yy	44	3.55	3.2	4.62	3HA14
appuis		-49	3.96	3.52	4.62	3НА14

B. Vérifications à l'ELS

$$q_s = \frac{N_S}{S_{rad}} = \frac{45696.3}{407.23} = 112.21 \text{ KN/m}^2$$

•ELS (v=0.2)

$$\begin{cases} u_x = 0.0672 \\ u_y = 0.658 \end{cases}$$
 (Annexe 3)

Le calcul des sollicitations se fait en supposant que la dalle est simplement appuyée

$$\begin{cases} M_{ox} = u_x \times l_x^2 \times q_u = 82.11 KN. m \\ M_{oy} = M_{ox} \times u_y = 54.02 \ KN. m \end{cases}$$

Moment en travée :

$$\begin{cases} M_t^x = 0.85 \times M_{ox} = 69.8 \text{ KN. m} \\ M_t^y = 0.85 \times M_{oy} = 46 \text{ KN. m} \end{cases}$$

Moment aux appuis :

$$M_a^x = -0.5 \times M_{ox} = M_a^y = -41.1 \; KN. \, m$$

Les résultats de calcul des contraintes sont résumés dans le tableau suivant :

Tableau VI.2: Vérification des contraintes à l'ELS.

Localisa	tion	M _{ser} (KN.m)	Y (Cm)	I (Cm ⁴)	$egin{array}{l} \sigma_{bc} \leq \ \overline{\sigma_{bc}} \ \mathrm{MPa} \end{array}$	obs.	$\sigma_{st} \leq \overline{\sigma_s}$	obs.
travée	XX	69.8	8	107618.7	5.18≤15	CV	272.4≥201.63	CNV
travee	yy	46	6.4	69456.02	4.23≤15	CV	294.05≥201.63	CNV
Appuis		-41.1	6.4	69456.02	3.78≤15	CV	262.73≥201.63	CNV

La contrainte de traction n'est pas vérifiée, donc on doit calculer les armatures à l'ELS.

Loca	Localisation		A _{cal} (Cm ²)	A _{adopte} é (Cm²)	Nombre des barres	St
A	Sens xx	69.8	11.66	12.06	6НА16	20
travée	Sens yy	46	7.68	8.04	4HA16	20
appuis		-41.1	6.87	7.70	5HA14	20

Tableau VI.3: Section d'armateur du radier à l'ELS.

Vérification des espacements

Selon x-x: St = 20 cm $\leq \min(2.5 \text{ h}r, 25 \text{ cm}) = 25 \text{ cm}$

Selon y-y: $St = 20 \ cm < min (3 \ hr; 33cm) = 33cm$

C. Schémas de ferraillage

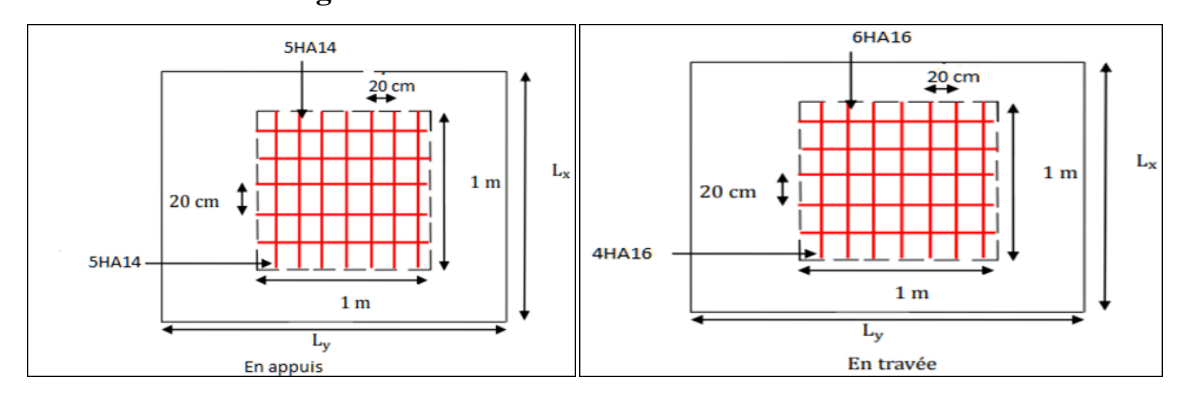


Figure VI.5: Schéma de Ferraillage du radier.

VI.4.3.5 ferraillage des nervures

Les nervures servent d'appuis au radier, la répartition des charges sur chaque travée est triangulaire ou trapézoïdale (selon les lignes de rupture).

Pour la simplification des calculs on ferraille la nervure la plus sollicitée, et on adopte le même ferraillage pour les autres nervures.

• Estimation des charges revenant aux nervures et calcul des sollicitations

Pour simplifier les calculs on remplace les charges trapézoïdales et les charges triangulaires par des charges uniformément réparties.

Charges trapézoïdales

$$\begin{cases} p_m = \frac{p}{2} \left[\left(1 - \frac{\rho_g^2}{3} \right) l_{gx} + \left(1 - \frac{\rho_d^2}{3} \right) l_{xd} \right] \\ p_v = \frac{p}{2} \left[\left(1 - \frac{\rho_g}{3} \right) l_{gx} + \left(1 - \frac{\rho_d}{3} \right) l_{xd} \right] \end{cases}$$

$$\rho_{\mathbf{g}} = \frac{l_{xg}}{l_{yg}} \quad \mathbf{et} \quad \rho_{d} = \frac{l_{xd}}{l_{yd}}$$

Charges triangulaires

 $q_m = q_v = \frac{p}{2} \times \frac{\sum L_{xi}^2}{\sum L_{xi}}$ Dans le cas de plusieurs charges triangulaires sur la même travée

$$q_m = \frac{2}{3} \times p \times L_x$$

 $q_v = \frac{1}{2} \times p \times L_x$ Dans le cas d'une seul charge triangulaire par travée

$$q_u = 148.1 \text{ KN/m}^2 \text{ ; } q_s = 112.21 \text{ KN/m}^2$$

> Sens X-X



Figure VI.6: Chargement de la nervure intermédiaire dans le sens X-X.

> Sens Y-Y

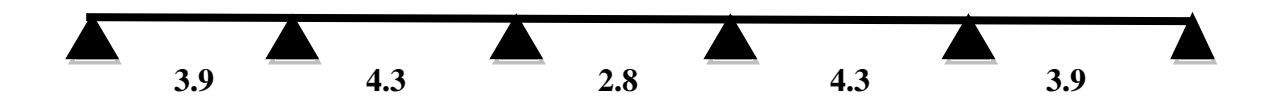


Figure.VI.7: Chargement de la nervure intermédiaire dans le sens Y-Y.

> Calcul des sollicitations

Pour chaque sens, on fait le calcul pour la nervure la plus défavorable, puis on généralise l'étude sur toutes les nervures. Pour la détermination des moments, on va utiliser la méthode de Caquot.

• Moments aux appuis

$$M_a = \frac{p_g \times l_g'^3 + p_d \times l_d'^3}{8.5 \times (l_g' + l_d')}$$

Avec:

Les longueurs fictives : l'= 1 si
→ c' est une travée de rive

 $0.8 \times 1 \text{ si}$ \bullet c' est une travée intermédiaire

Pour l'appui de rive, on a :

$$M_a = 0.15 \times M_0 \text{ Avec } M_0 = \frac{q \times l^2}{8}$$

• Moment en travée

$$M_t(x) = M_0(x) + M_g(1 - \frac{x}{l}) + M_d(\frac{x}{l})$$

$$M_0(\mathbf{x}) = \frac{q \times x}{2}(l - x)$$

$$\chi = \frac{l}{2} - \frac{M_g - M_d}{a \times l}$$

Mg et Md: moments sur appuis de gauche et droite respectivement.

1) Les sollicitations dans les nervures

➤ Sollicitations de la nervure (sens X-X)

Les résultats des calculs sont récapitulés dans le tableau ci-dessous :

Tableau VI.4: Sollicitations sur la nervure dans le sens transversal.

		L'	EL	U	EL	S		ELU	ELS
Travée	L (m)		M_a (K)	N.m)	M_a (K	N.m)	X(m)	M_t	$\boldsymbol{M_t}$
		(m)	$oldsymbol{M}_{oldsymbol{g}}$	M_d	$oldsymbol{M}_{oldsymbol{g}}$	M_d		(KN.m)	(KN.m)
AB	1.85	1.48	8.8	117.24	8.4	88.6	1.35	134.17	102
BC	3.1	2.48	117.24	183.8	88.6	139.1	1.64	427.33	323.55
CD	3.3	2.64	183.8	153.34	139.1	116.2	1.61	474.24	379.83
DE	2.55	2.04	153.34	132.9	116.2	100.7	1.23	296.8	224.9
EF	3.1	2.48	132.9	132.9	100.7	100.7	1.55	338.42	309
FG	2.55	2.04	132.9	153.34	100.7	116.2	1.31	296.8	224.9
GH	3.3	2.64	153.34	183.8	116.2	139.1	1.68	501.45	379.81
HI	3.1	2.48	183.8	117.24	139.1	88.6	1.26	422.9	319.6
IJ	1.85	1.48	117.24	8.8	88.6	8.4	0.5	134.17	102

[➤] Sollicitations de la nervure sens (Y-Y)

Tableau VI.5:Sollicitations sur la nervure dans le sens longitudinal.

Travée	L (m)	L'	EL M _a (K		EI M _a (K		X(m)	ELU M _t	ELS M _t
	_ (111)	(m)	M_g	M_d	M_g	M_d	()	(KN.m)	(KN.m)
AB	3.9	3.12	13.09	257.47	9.95	223.86	3.52	265.33	226.3
BC	4.3	3.44	257.47	300.37	223.86	260.3	2.18	1015	891
CD	2.8	2.24	300.37	300.37	260.3	260.3	1.4	434.6	361.41
DE	4.3	3.44	300.37	275.47	260.3	223.86	3.52	1015	891
EF	3.9	3.12	275.47	13.09	223.86	9.95	2.18	256.33	226.3

²⁾ Les sollicitations maximales dans les nervures :

> Sens transversal (X-X)

Les résultats des calculs sont récapitulés dans le tableau ci-dessous :

Tableau VI.6: Sollicitations max sur la nervure dans le sens transversal.

Localisation	Travée	Appui
M_u (KN.m)	501.45	183.8
M_s (KN.m)	379.83	139.8

> Sens longitudinal (Y-Y)

Les résultats des calculs sont récapitulés dans le tableau ci-dessous :

Tableau VI.7: Sollicitations max sur la nervure dans le sens longitudinal.

Localisation	Travée	Appui
M_u (KN.m)	1015	300.37
$M_{\rm s}$ (KN.m)	891	260.3

3) Ferraillage des nervures

Le ferraillage se fera pour une section en Té en flexion simple.

> Sens (X-X)

$$h_t = 80 \text{ cm}$$
 ; $h_0 = 40 \text{ cm}$; $b_0 = 50 \text{ cm}$

$$b_1 = \leq \min\left(\frac{L_y}{10}; \frac{L_x}{2}\right) \Rightarrow b_1 = \leq \min\left(\frac{3.3}{2}; \frac{2.8}{10}\right)$$

$$b_1 = \le \min(1.65; 0.28)$$
 soit

$$b_1 = 0.28 \text{ m}$$

$$b = 2b_1 + b_0 = 2 \times 28 + 50$$
 soit

$$b = 106cm$$

> Sens (Y-Y)

$$h_t = 80 \text{ cm}$$
 ; $h_0 = 40 \text{ cm}$; $b_0 = 50 \text{ cm}$

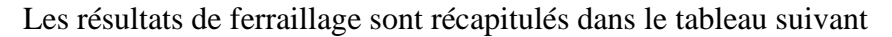
$$b_1 = \leq \min\left(\frac{L_y}{10}; \frac{L_x}{2}\right) \Rightarrow b_1 = \leq \min\left(\frac{4.3}{10}; \frac{2.55}{2}\right)$$

$$b_1 = \le \min(0.43; 1.28)$$
 soit

$$b_1 = 0.42 \text{ m}$$

$$b = 2b_1 + b_0 = 2 \times 42 + 50$$
 soit

$$b = 134cm$$



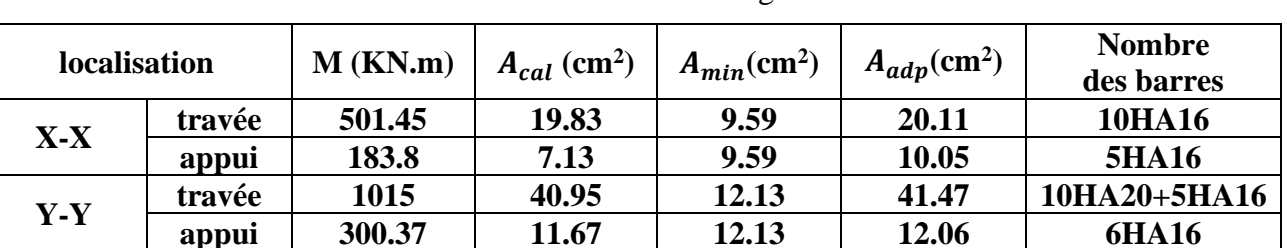


Tableau VI.8: Résultats de ferraillage des nervures.

4) armatures transversales

Le diamètre des armatures transversales est donné par la relation suivante :

$$\emptyset \le (\varphi_{l min}; \frac{h}{35}; \frac{b_0}{10}) \implies \emptyset \le min(16; 17.14; 50)$$

$$soit\emptyset = 10 \ mmetAtrans = 4\emptyset10 = 3.14 \ cm^2 \ (2 \ cadres\emptyset10)$$

On adopte un espacement entre les armatures transversales St = 15 cm

5) Vérification de l'effort tranchant:

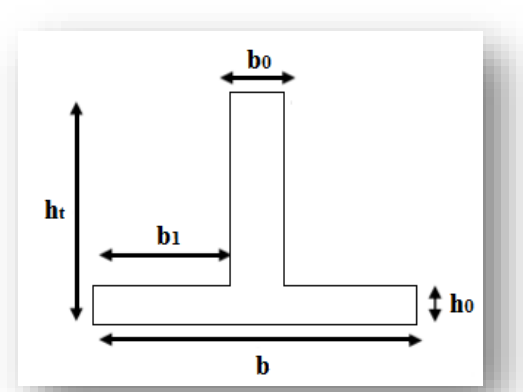
$$\tau_{\rm u} = \frac{V_{\rm u}}{b*d} \le \bar{\tau} = \min(0.1f_{\rm c28}; 4\text{MPa}) = 2.5 \text{ MPa}$$

Tableau VI.9: Vérification de l'effort tranchant dans les nervures.

Sens	Vu (KN)	τ_u (MPa)	Observation
XX	244.4	0.31	Vérifiée
yy	342.8	0.37	Vérifiée

On remarque que les contraintes de cisaillement dans les nervures sont vérifiées.

6) Vérification à l'ELS



> État limite de compression du béton

$$\sigma_{bc} = \frac{M_{ser} \times y}{I} \le \overline{\sigma_{bc}} = 0.6 \times f_{c28} = 15 \text{ MPa}$$

> Les contraintes dans l'acier

La fissuration est préjudiciable, donc la contrainte de traction des armatures est limitée, c'est le cas des éléments exposés aux intempéries.

$$\sigma_{\rm s} \le \min\left(\frac{2}{3} \times f_{\rm e}, 110\sqrt{\eta \times f_{tj}}\right) = 201.63\text{MPa}$$

$$\sigma_s = 15 \times \frac{M_{ser} \times (d-y)}{I} \le \overline{\sigma_s} = 201.63 \text{ MPa}$$

Calcul de y :
$$\frac{b \times y^2}{2} + 15(As + As) \times y - 15 \times (d \times As + d \times As) = 0$$

Calcul de I :
$$\frac{b_0 \times y^3}{3} + 15 \left[As \times (d - y)^2 + As \times (y - d)^2 \right]$$

Les résultats de calcul des contraintes sont résumés dans le tableau suivant :

Tableau VI.10: Vérification des contraintes dans l'acier et dans le béton.

Localisation		M _{ser} (KN.m)	Y (Cm)	I (Cm ⁴)	$egin{array}{c} \sigma_{bc} \leq \ \overline{\sigma_{bc}} \ \mathrm{MPa} \end{array}$	obs	$\sigma_{st} \leq \overline{\sigma_s}$	obs.
	Travée	379.83	18	12075689.85	0.56≤15	\mathbf{CV}	26.89≤201.63	CV
X-X	Appuis	139.8	13.23	891509.44	3.21≤15	CV	165.2≥201.63	CV
у-у	Travée	891	20.66	2222867.4	0.04≤15	CV	326.71≥201.63	CNV
	Appuis	260.3	16.03	793506.3	0.11≤15	CV	2901.66≥201.63	CNV

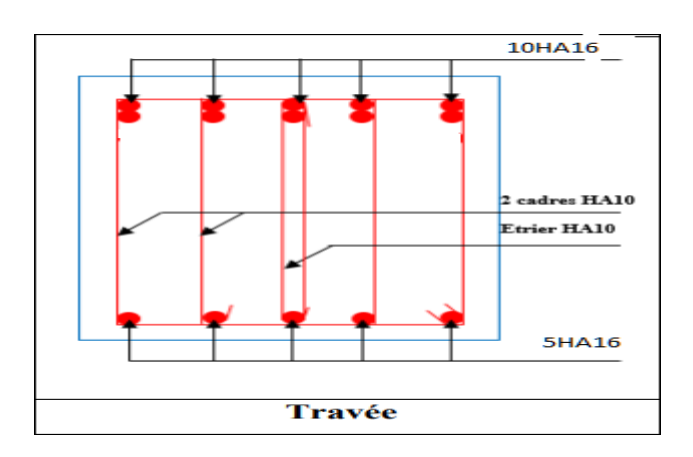
On remarque que les contraintes de traction dans l'acier dans le sens y- y ne sont pas vérifiées, donc on doit recalculer les sections d'armatures à l'ELS.

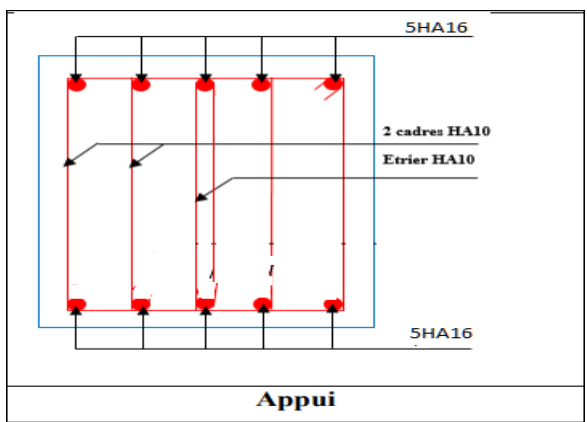
Tableau VI.11: Section d'armateur de la nervure à l'ELS de sens Y-Y.

Localisation		M(KN.m)	A _{cal} (Cm ²)	A _{adopteé} (Cm ²)	Nombre des barres	
	Travée	891	71.56	72.83	9HA32	
Y-Y	Appuis	260.3	20.90	31.42	10HA20	

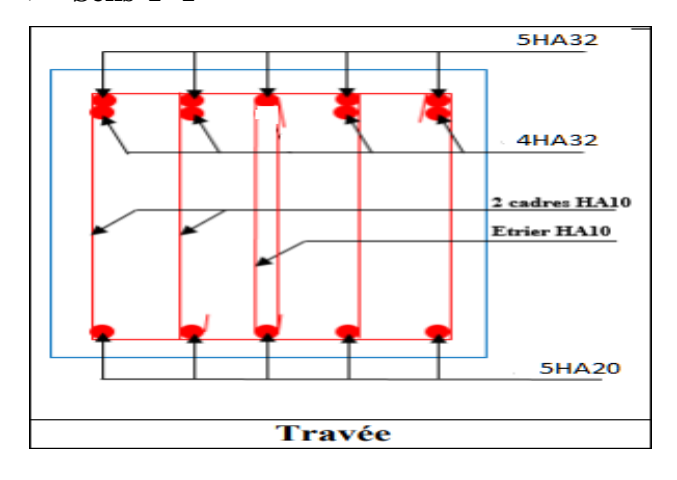
7) Schéma de ferraillage des nervures

> Sens X-X





> Sens Y-Y



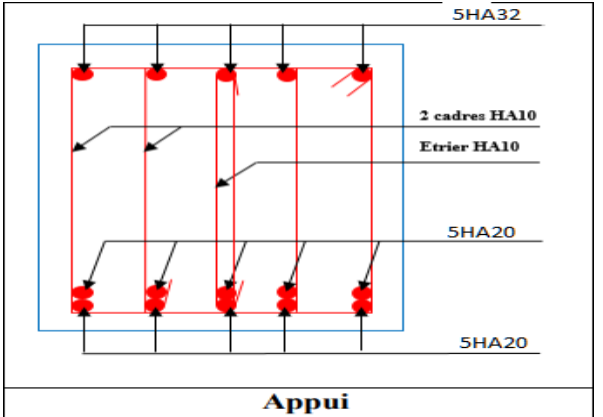


Figure VI.8: Ferraillages des nervures.

VI.5 voile périphérique

VI.5.1 Introduction

Notre structure comporte un voile périphérique qui s'élève du niveau de fondation jusqu'au niveau du plancher de RDC.

Il forme par sa grande rigidité crée à la base un caisson rigide et indéformable avec les planchers du RDC, sous-sol et les fondations.

D'après RPA (Art10.1.2):

- Le voile périphérique doit avoir les caractéristiques minimales ci-dessous:
- ✓ L'épaisseur du voile doit être supérieure ou égale à 15 cm.
- ✓ Les armatures sont constituées de deux nappes.
- ✓ Le pourcentage minimal est de 0,10% dans les deux sens horizontal et vertical.
- Les ossatures au-dessous du niveau de base comportent un voile périphérique continu entre le niveau de fondation et le niveau de base.

VI.5.2 Dimensionnement du mur

On considère le voile comme une dalle pleine reposant sur 4 appuis et qui support les charges horizontales dues aux poussées des terres. On considère le tronçon le plus défavorable.

L'épaisseur (e) du mur sera donnée par la condition suivante:

$$e \ge \left(\frac{he}{25}, \frac{he}{22}, \frac{he}{20}, 15cm\right)$$

he: la hauteur de mur (he = 3,57m)

Alors e=18 cm

L = 4.3 m

* Caractéristique du sol

Poids spécifique: $\gamma h = 18 \, KN/m^2$

Angle de frottement: $\emptyset = 30^{\circ}$

Cohésion: C= 0 bar

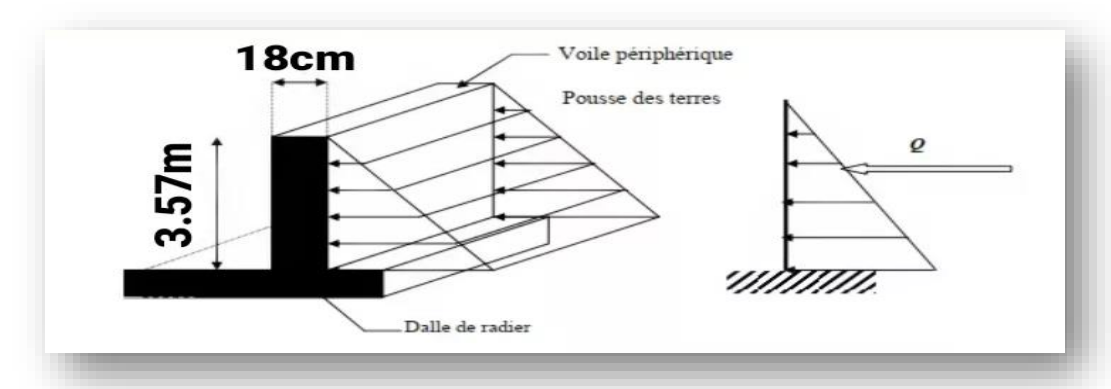


Figure VI.9: Schéma statique d'un voile périphérique.

VI.5.3 Evaluation des charges et surcharges

Les charges et surcharges prise uniformément répartie sur une bande de 1m se situe à la base du voile (cas le plus défavorable).

Selon BAEL91 modifier 99, la charge de poussées des terres est données par:

$$p = \gamma d \times h \times k_0$$

 $\gamma d = 18KN/m^2$: poids spécifique

K₀: coefficient de poussée

$$K_0 = tg^2 \left(\frac{\pi}{4} - \frac{\pi}{2}\right) = 0.33$$

Donc:

$$P = 18 * 0.33 * 3.57 = 21.21 \text{ KN/m}l$$

 $qu = 1.35 * P = 28.63 \text{ KN/m}l$
 $qser = p = 21.21 \text{ KN/m}l$

Pour le calcul des moments on utilise les dispositions indiquées a l'annexe E3 des règles BAEL91.

✓ Dans le sens de la petite portée : $Mx = \mu x q_u L x^2$

✓ Dans le sens de la grande portée : $My = \mu y Mx$

Les coefficients μx et μy sont fonction de :

$$\rho = \frac{lx}{ly} \text{ et } v$$

Avec: v: coefficient de poisson

μxet μy sont donnés par l'abaque de calcul des dalles rectangulaire

• Moments en travées :

$$Mtx = 0.85 * Mx$$

$$Mty = 0.85 * My$$

• Moments en appuis:

$$Max = May = 0.5 * Mx$$

VI.5.4 Ferraillage

Le calcul des armatures se fait à la flexion simple pour une bande de 1m de largeur

b= 100m, h= 18 cm, d= 16,2 cm

Avec: $Amin = 0.1\% * b * h = 1.8 \text{ cm}^2/ml$

❖ Tableau récapitulatif des résultats:

Tableau VI.12 : Ferraillage de voile périphérique.

sens		M(KN.m)	μbu	α	Z(mm)	A cal (cm 2)	Amin (cm ²)	Aadp (cm²)
ra ée	X-X	16,44	0,044	0,056	158,37	2,98	1,8	6HA10=4,71
tr X	у-у	10,67	0,028	0,035	159,73	1,92	1,8	6HA10=4,71
appui		9,67	0,026	0,032	159,92	1,73	1,8	6HA10=4,71

***** Espacement

Sens x-x: st \leq min (2e; 25 cm) \Rightarrow st= 25 cm

Sens y-y: st \leq min (3°; 33cm) \Rightarrow st= 33cm

On prend st= 22 cm

VI.5.5 Vérification à l'ELU

> Vérification de la contrainte de cisaillement

$$\tau u \leq \overline{\tau u}$$

$$\tau u = \frac{vu}{bd}$$

$$Vux = \frac{qulx}{2} + \frac{ly4}{lx4 + ly4} = 51,78 \text{ KN}$$

$$Vuy = \frac{quly}{2} + \frac{lx4}{lx4 + ly4} = 61,88 \text{ KN}$$

$$Vu = \max(vux; vuy) \rightarrow vu = 61, 88 \text{ KN}$$

$$\tau u = \frac{61,88*10^{\circ}3}{1000\times162} = 0.38 \ MPa$$

- Fissuration préjudiciable:

$$\overline{\tau u} = \min(0.15 \frac{fc28}{\gamma b}; 4\text{MPa})$$

$$\overline{\tau u} = \min(2.5; 4MPa) \rightarrow \overline{\tau u} = 2.5 \text{ MPa}$$

$$\tau u = 0.38 \text{ MPa} \le \overline{\tau u} = 2.5 \text{ MPa} \dots \text{CV}$$

Pas de risque de rupture par cisaillement; donc les armatures transversale ne sont pas nécessaire.

VI.5.6 Vérification à l'ELS

Vérification des contraintes dans le béton

$$\sigma bc \leq \overline{\sigma bc}$$

$$\overline{\sigma b}c = 0.6fc_{28} = 15 \text{ MPa}$$

$$\sigma_{bc} = \frac{M_{ser} \times y}{I}$$

✓ Détermination de la valeur de « y » :

$$\frac{1}{2}$$
b y²+ n(y-c')As' - n(d-y)As=0 ; avec As' = 0

✓ Moment d'inertie :

$$I = \frac{1}{3}by^3 + n(d-c')As' + n(d-y)^2As = 0$$

Vérification des contraintes dans le béton

$$\sigma st \leq \overline{\sigma st}$$

$$\sigma st = \frac{15Ms(d-y)}{I}$$

Fissuration préjudiciable:

$$\overline{\sigma st} \le \min(\frac{1}{2} \text{ fe}; 110\sqrt{\mu \times ftj})$$

Les résultats trouvés en travée et sur appui dans les deux sens sont regroupés dans le tableau suivant:

Tableau VI.13: Vérification à l'ELS de voile périphérique.

sens		M(KN.m)	Y (cm)	I(cm ⁴)	σbc (MPa)	σbc (MP)	Obser	σst (MP)	$\overline{\sigma st}$ (MP)	Obser vation
ra ée	X-X	13,97	5,54	13696,07	5,65	15	CV	163,09	201,63	CV
tra vée	у-у	11,72	5,54	13696,07	4,74	15	CV	136,83	201,63	CV
appui		8,11	5,54	13696,07	3,28	15	CV	94,68	201,63	CV

Schéma de ferraillage

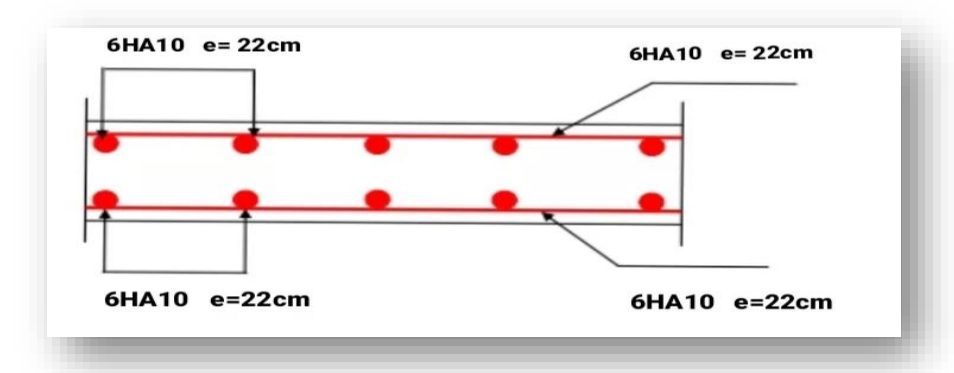


Figure VI.10: Schéma de ferraillage du voile périphérique.

VI.6 Conclusion

Pour connaître le type de fondation qui convient à notre structure, nous avons procédé à un calcul avec semelles isolées. Ces dernières ne convenaient pas à cause du chevauchement qu'elles engendraient. Le même calcul a été mené avec des semelles filantes. Ces dernières ne convenaient pas non plus pour les mêmes raisons.

Nous sommes ensuite passé à un calcul avec fondation sur radier général. Ce dernier a été calculé comme un plancher renversé. Le ferraillage adopté a été vérifié et s'est avéré satisfais.

Conclusion générale

La recherche du bon comportement dynamique de la structure a conduits à dégager un certain nombre de conclusions dont les plus importantes sont :

- La simplicité de la structure doit être respectée en priorité par le concepteur car sa modélisation, son calcul, son dimensionnement et même sa mise en œuvre permettent de prévoir aisément son comportement en cas de séisme.
- ❖ La disposition des voiles influe directement sur le bon comportement de la structure vis-à-vis des sollicitations.
- La vérification de l'interaction entre les voiles et les portiques dans les constructions mixtes est déterminante pour le dimensionnement des éléments structuraux.
- ❖ Vu la particularité de cette structure avec le phénomène de poteaux court ou de colonnes courtes et massives, il se produit un énorme gradient de moment et ainsi un grand effort tranchant a ce niveau, qui entraine, avant même d'atteindre le moment plastique ,une rupture par cisaillement.
- ❖ Pour garantir une stabilité totale de la structure vis-à-vis des déplacements horizontaux, nous avons vérifié l'effet du second ordre (effet P-delta).
- Afin d'éviter toute altération de la zone nodale, avec la formation des rotules plastiques aux niveaux des poteaux, on doit impérativement vérifier les moments résistants aux niveaux des zones nodales.
- le radier est le type de fondation choisi, vu les charges importantes et les petites trames.

Enfin, le travail que nous avons présenté est le couronnement de cinq années d'étude. Il nous permis de faire une rétrospective de nos connaissances accumulées pendant notre cursus universitaire.

Enfin, nous espérons avoir atteint nos objectifs et nous permettra d'exploiter ces connaissances dans la vie pratique.

Référence bibliographiques

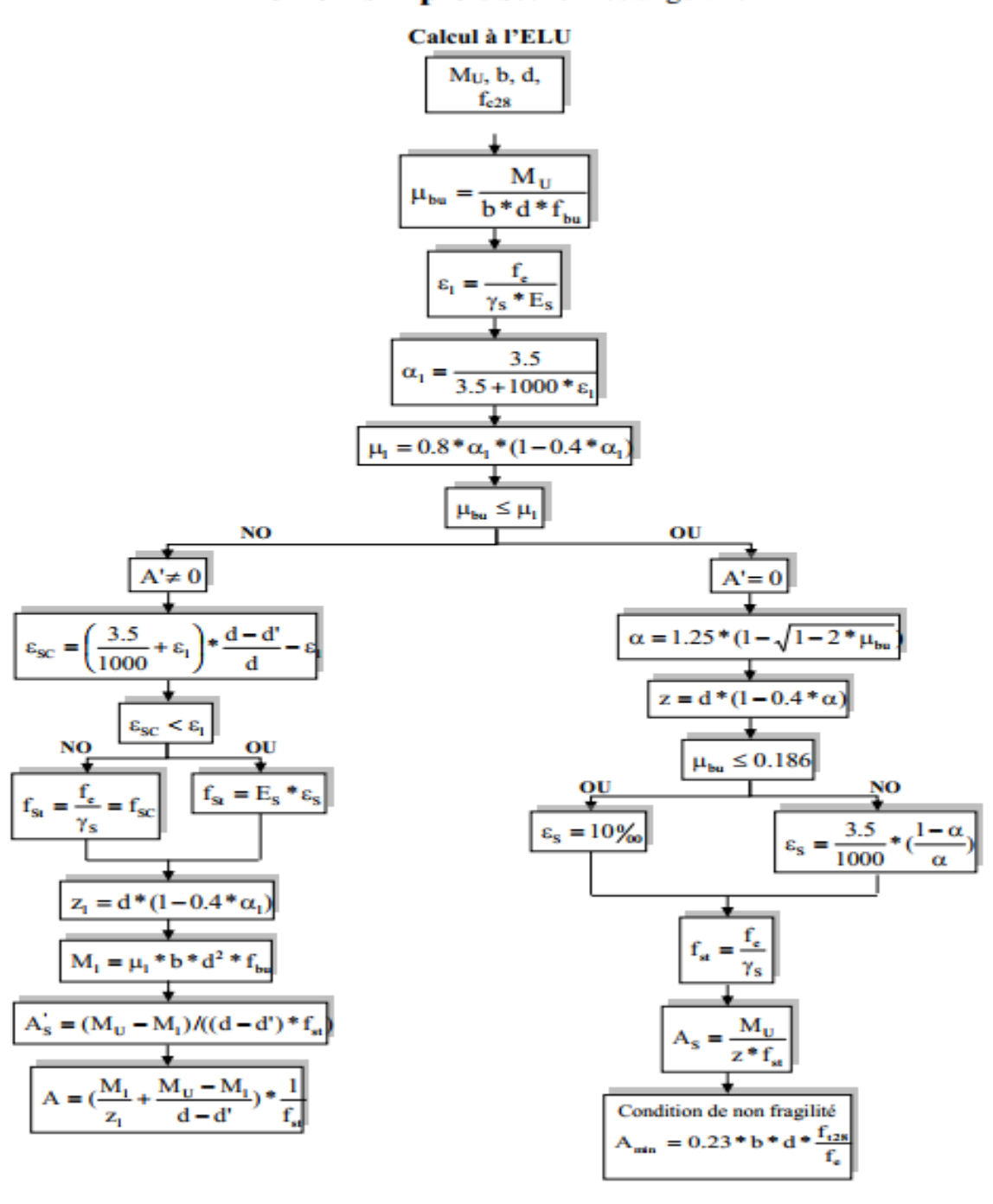
- Règles techniques de conception et de calcul des ouvrages et constructions en béton armé suivant la méthode des états limites révisées 99(BAEL91)
- Règles de conception et de calcul des structures en béton armé (C.B.A93).
- Mr. GUETTICHE.A Cours de béton armé 3éme année génie civil Université de Mila s.n 2018/2019
- Règles Parasismiques Algériennes, Edition CGS, RPA 99 / version 2003.
- Document Technique Réglementaire (DTR B.C.2.2), Charges permanentes et surcharges d'exploitation .1992
- Mr. DROUNA.k Cours de béton Master 1 année génie civil option structure. Université de Mila s.n 2019/2020.

Logiciels utilisés:

- Robot 2014.
- AutoCad 2016.
- Application de calcul Excel.

Annexe 1

Flexion simple: Section rectangulaire



Annexe 2

Table de PIGEAUD

M1 et M2 pour une charge concentrique P = 1 s'exerçant sur une surface réduite u × v au centre d'une plaque ou dalle rectangulaire appuyée sur son pourtour et de dimension

 $Lx \times Ly$ Avec Lx < Ly. $\rho = 0.9$

	u/lx v/ly	0.0	0.1	0.2	0.3	0.4	0.5	0.6	0.7	0.8	0.9	1.0
Valeur de M1	0.0 0.1 0.2 0.3 0.4 0.5 0.6 0.7 0.8 0.9 1.0	/ 0.302 0.260 0.227 0.202 0.181 0.161 0.144 0.132 0.122 0.112	0.254 0.235 0.214 0.196 0.178 0.160 0.146 0.133 0.123 0.114 0.102	0.187 0.183 0.175 0.164 0.153 0.141 0.130 0.121 0.113 0.103 0.093	0.154 0.152 0.148 0.142 0.134 0.126 0.118 0.110 0.102 0.093 0.084	0.131 0.130 0.128 0.124 0.118 0.113 0.106 0.098 0.092 0.084 0.075	0.115 0.114 0.112 0.109 0.105 0.100 0.095 0.088 0.083 0.076 0.068	0.102 0.101 0.099 0.097 0.093 0.089 0.085 0.079 0.074 0.068 0.062	0.090 0.089 0.088 0.086 0.083 0.080 0.077 0.072 0.067 0.062 0.057	0.081 0.080 0.079 0.078 0.075 0.073 0.069 0.065 0.061 0.057	0.073 0.073 0.072 0.070 0.068 0.066 0.063 0.058 0.055 0.051 0.046	0.067 0.066 0.065 0.063 0.060 0.057 0.054 0.049 0.046 0.042
Valeur de M2	0.0 0.1 0.2 0.3 0.4 0.5 0.6 0.7 0.8 0.9	/ 0.253 0.202 0.167 0.143 0.128 0.114 0.102 0.09 0.081 0.073	0.310 0.208 0.175 0.150 0.132 0.118 0.106 0.094 0.083 0.076 0.069	0.200 0.173 0.152 0.135 0.122 0.108 0.096 0.086 0.077 0.071 0.065	0.167 0.151 0.137 0.123 0.110 0.097 0.087 0.078 0.072 0.066 0.060	0.149 0.136 0.123 0.110 0.098 0.088 0.079 0.073 0.066 0.061 0.055	0.134 0.123 0.110 0.099 0.088 0.080 0.073 0.067 0.062 0.056 0.050	0.122 0.110 0.100 0.088 0.081 0.073 0.067 0.062 0.056 0.052 0.047	0.110 0.099 0.089 0.081 0.074 0.067 0.062 0.057 0.052 0.047 0.043	0.098 0.089 0.082 0.074 0.067 0.062 0.056 0.052 0.047 0.043 0.038	0.088 0.081 0.074 0.067 0.061 0.056 0.052 0.047 0.043 0.038 0.035	0.081 0.074 0.067 0.061 0.056 0.051 0.047 0.043 0.038 0.035 0.035

Annexe 3

~ - I = / I	ELU 1	v = 0	ELS $v = 0.2$			
$\alpha = Lx/L_y$	μ_x	μ_{y}	$\mu_{\mathbf{x}}$	μ_{y}		
0.40	0.1101	0.2500	0.0121	0.2854		
0.40	0.1088	0.2500	0.1110	0.2924		
0.42	0.1075	0.2500	0.1098	0.3000		
0.43	0.1062	0.2500	0.1087	0.3077		
0.44	0.1049	0.2500	0.1075	0.3155		
0.45	0.1036	0.2500	0.1063	0.3234		
0.46	0.1022	0.2500	0.1051	0.3319		
0.47	0.1008	0.2500	0.1038	0.3402		
0.48	0.0994	0.2500	0.1026	0.3491		
0.49	0.0980	0.2500	0.1013	0.3580		
0.50	0.0966	0.2500	0.1000	0.3671		
0.51	0.0951	0.2500	0.0987	0.3758		
0.52	0.0937	0.2500	0.0974	0.3853		
0.53	0.0922	0.2500	0.0961	0.3949		
0.54 0.55	0.0908 0.0894	0.2500 0.2500	0.0948	0.4050		
			0.0936	0.4150		
0.56	0.0880	0.2500	0.0923	0.4254		
0.57	0.0865	0.2582	0.0910	0.4357		
0.58	0.0851	0.2703	0.0897	0.4456		
0.59	0.0836	0.2822	0.0884	0.4565		
0.60	0.0822	0.2948	0.0870	0.4672		
0.61	0.0808	0.3075	0.0857	0.4781		
0.62	0.0794	0.3205	0.0844	0.4892		
0.63	0.0779	0.3338	0.0831	0.5004		
0.64	0.0765		0.0819			
		0.3472		0.5117		
0.65	0.0751	0.3613	0.0805	0.5235		
0.66	0.0737	0.3753	0.0792	0.5351		
0.67	0.0723	0.3895	0.0780	0.5469		
0.68	0.0710	0.4034	0.0767	0.5584		
0.69	0.0697	0.4181	0.0755	0.5704		
0.70	0.0684	0.4320	0.0743	0.5817		
0.71	0.0671	0.4471	0.0731	0.5940		
0.72	0.0658	0.4624	0.0719	0.6063		
0.73	0.0646	0.4780	0.0708	0.6188		
0.74	0.0633		0.0696	0.6315		
0.74	0.0621	0.4938 0.5105	0.0684	0.6447		
0.76	0.0608	0.5274	0.0672	0.6580		
0.77	0.0596	0.5440	0.0661	0.6710		
0.78	0.0584	0.5608	0.0650	0.6841		
0.79	0.0573	0.5786	0.0639	0.6978		
0.80	0.0561	0.5959	0.0628	0.7111		
0.81	0.0550	0.6135	0.0617	0.7246		
0.82	0.0539	0.6313	0.0607	0.7381		
0.83	0.0528	0.6494	0.0956	0.7518		
0.84	0.0517	0.6678	0.0586	0.7655		
0.85	0.0506	0.6864	0.0576	0.7794		
0.86	0.0496	0.7052	0.0566	0.7932		
0.87	0.0486	0.7244	0.0556	0.8074		
0.88	0.0476	0.7438	0.0546	0.8216		
0.88	0.04/6	0.7635	0.0537	0.8216		
0.89	0.0466	0.7834	0.0528	0.8502		
0.91	0.0447	0.8036	0.0518	0.8646		
0.92	0.0437	0.8251	0.0509	0.8799		
0.93	0.0428	0.8450	0.0500	0.8939		
0.94	0.0419	0.8661	0.0491	0.9087		
0.95	0.0410	0.8875	0.0483	0.9236		
0.96	0.0401	0.9092	0.0474	0.9385		
0.97	0.0392	0.9322	0.4065	0.9543		
0.98	0.0384	0.9545	0.0457	0.9694		
0.99	0.0376	0.9771	0.0449	0.9847		
1.00	0.0368	1.0000	0.0441	0.1000		
			l			

Annexe 4

Φ	5	6	8	10	12	14	16	20	25	32	40
1	0.20	0.28	0.50	0.79	1.13	1.54	2.01	3.14	4.91	8.04	12.57
2	0.39	0.57	1.01	1.57	2.26	3.08	4.02	6.28	9.82	16.08	25.13
3	0.59	0.85	1.51	2.36	3.39	4.62	6.03	9.42	14.73	24.13	37.70
4	0.79	1.13	2.01	3.14	4.52	6.16	8.04	12.57	19.64	32.17	50.27
5	0.98	1.41	2.51	3.93	5.65	7.70	10.05	15.71	24.54	40.21	62.83
6	1.18	1.70	3.02	4.71	6.79	9.24	12.06	18.85	29.45	48.25	75.40
7	1.37	1.98	3.52	5.50	7.92	10.78	14.07	21.99	34.36	56.30	87.96
8	1.57	2.26	4.02	6.28	9.05	12.32	16.08	25.13	39.27	64.34	100.53
9	1.77	2.54	4.52	7.07	10.18	13.85	18.10	28.27	44.18	72.38	113.10
10	1.96	2.83	5.03	7.85	11.31	15.39	20.11	31.42	49.09	80.09	125.66
11	2.16	3.11	5.53	8.64	12.44	16.93	22.12	34.56	54.00	88.47	138.23
12	2.36	3.39	6.03	9.42	13.57	18.47	24.13	37.70	58.91	96.51	150.80
13	2.55	3.68	6.53	10.21	14.7	20.01	26.14	40.84	63.81	104.55	163.36
14	2.75	3.96	7.04	11.00	15.83	21.55	28.15	43.98	68.72	112.59	175.93
15	2.95	4.24	7.54	11.78	16.96	23.09	30.16	47.12	73.63	120.64	188.50
16	3.14	4.52	8.04	12.57	18.10	24.63	32.17	50.27	78.54	128.68	201.06
17	3.34	4.81	8.55	13.35	19.23	26.17	34.18	53.41	83.45	136.72	213.63
18	3.53	5.09	9.05	14.14	20.36	27.71	36.19	56.55	88.36	144.76	226.20
19	3.73	5.37	9.55	14.92	21.49	29.25	38.20	59.69	93.27	152.81	238.76
20	3.93	5.65	10.05	15.71	22.62	30.79	40.21	62.83	98.17	160.85	251.33